

Comune di Rotella

PROVINCIA DI ASCOLI PICENO

**Adeguamento tecnico/funzionale del Palazzo Magnalbò per
realizzazione di n.11 unità abitative da destinare
temporaneamente a soggetti residenti in edifici distrutti o
danneggiati dagli eventi sismici iniziati il 24 agosto 2016**

RELAZIONE DI VERIFICA SISMICA

TAV. C		
--------	--	--

Progettazione:

S.I.C. s.r.l.

Servizi di Ingegneria e Consulenza

Il Direttore Tecnico:

Dott. Ing. Lucio D'Angelo

Offida - Agosto 2017

Il Responsabile del Procedimento:

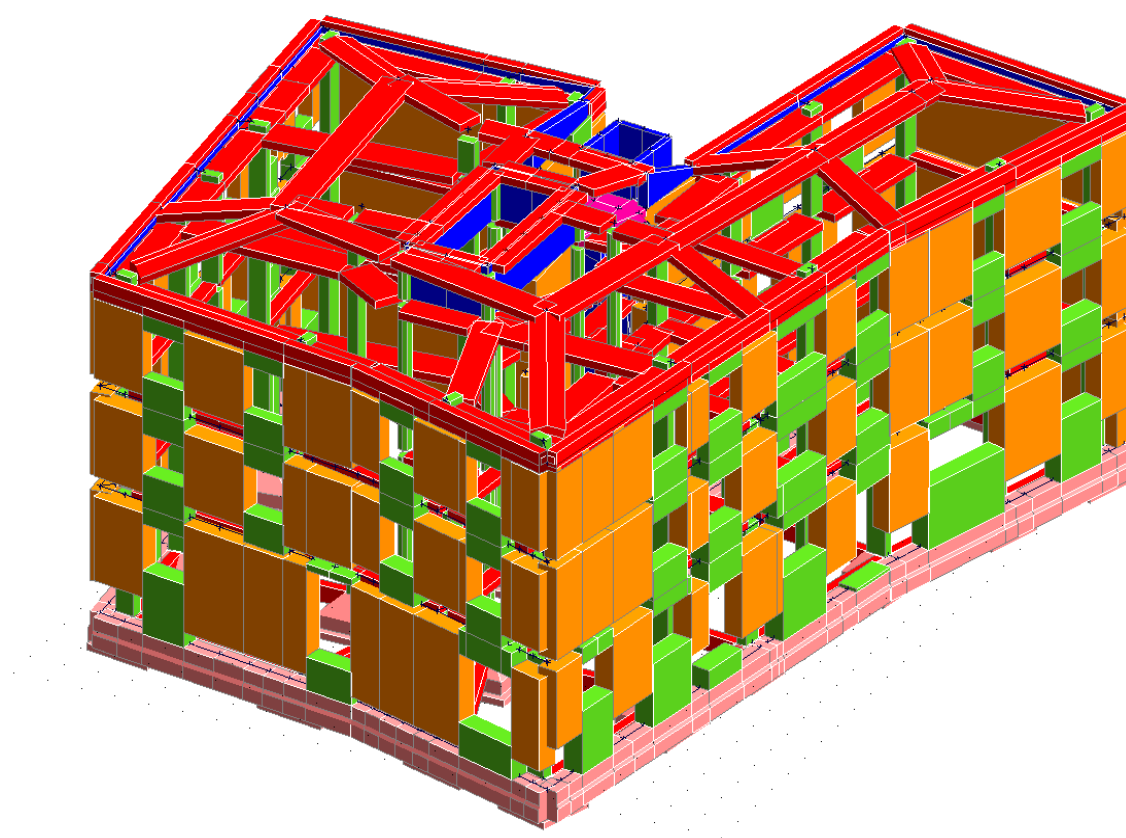
Dott. Giovanni Borraccini

Palazzo Magnalbò
Comune di ROTELLA

RELAZIONE

Ai sensi del Cap. 10.2 delle N.T.C. 2008

ANALISI E VERIFICHE SVOLTE CON L' AUSILIO DI CODICI DI CALCOLO



Indice generale

TIPO ANALISI SVOLTA.....

ORIGINE E CARATTERISTICHE DEI CODICI DI CALCOLO

VALIDAZIONE DEI CODICI

PRESENTAZIONE SINTETICA DEI RISULTATI

INFORMAZIONI SULL' ELABORAZIONE

GIUDIZIO MOTIVATO DI ACCETTABILITA'

Tipo Analisi svolta

- Tipo di analisi e motivazione

L'analisi per le combinazioni delle azioni permanenti e variabili è stata condotta in regime elastico lineare.

Per quanto riguarda le azioni simiche, tenendo conto che per tali azioni si vogliono determinare le prestazioni in termini di capacità in spostamento e di danno per i vari stati limite previsti dalla norma si è reso necessario effettuare un insieme di analisi statiche non lineari incrementali modellando esplicitamente le caratteristiche non lineari degli elementi strutturali.

- Metodo di risoluzione della struttura

La struttura è stata modellata con il metodo degli elementi finiti utilizzando vari elementi di libreria specializzati per schematizzare i vari elementi strutturali.

Nel modello sono stati tenuti in conto i disassamenti tra i vari elementi strutturali schematizzandoli come vincoli cinematici rigidi. La presenza di eventuali orizzontamenti e' stata tenuta in conto o con vincoli cinematici rigidi o con modellazione della soletta con elementi SHELL. I vincoli tra i vari elementi strutturali e quelli con il terreno sono stati modellati in maniera congruente al reale comportamento strutturale.

In particolare, il modello di calcolo ha tenuto conto dell'interazione suolo-struttura schematizzando le fondazioni superficiali (con elementi plinto, trave o piastra) come elementi su suolo elastico alla Winkler.

I legami costitutivi utilizzati nelle analisi globali finalizzate al calcolo delle sollecitazioni sono del tipo elastico lineare.

- Metodo di verifica sezionale

Le verifiche sono state condotte con il metodo degli stati limite (SLU e SLE) utilizzando i coefficienti parziali della normativa di cui al DM 14.01.2008.

Per le verifiche sezionali degli elementi in c.a. ed acciaio sono stati utilizzati i seguenti legami:

Legame parabola rettangolo per il cls

Legame elastico perfettamente plastico o incrudente a duttilità limitata per l'acciaio

- Combinazioni di carico adottate

Le combinazioni di calcolo considerate sono quelle previste dal D.M. 14.01.2008 per i vari stati limite e per le varie azioni e tipologie costruttive. In particolare, ai fini delle verifiche degli stati limite, sono state considerate le combinazioni delle azioni di cui al § 2.5.3 delle NTC 2008, per i seguenti casi di carico:

SLO	NO
SLD	SI
SLV	SI

SLC	NO
Combinazione Rara	NO
Combinazione frequente	NO
Combinazione quasi permanente	NO
SLU terreno A1 – Approccio 1/ Approccio 2	SI
SLU terreno A2 – Approccio 1	NO

◦ Motivazione delle combinazioni e dei percorsi di carico

Il sottoscritto progettista ha verificato che le combinazioni prese in considerazione per il calcolo sono sufficienti a garantire il soddisfacimento delle prestazioni sia per gli stati limite ultimi che per gli stati limite di esercizio.

Le combinazioni considerate ai fini del progetto tengono infatti in conto le azioni derivanti dai pesi propri, dai carichi permanenti, dalle azioni variabili, dalle azioni termiche e dalle azioni sismiche combinate utilizzando i coefficienti parziali previsti dal DM2008 per le prestazioni di SLU ed SLE.

In particolare per le azioni sismiche si sono considerati i percorsi di carico di tipo affine come descritti precedentemente. Tale insieme di percorsi di carico risultano scelti in modo da avere informazioni adeguate sulla risposta non lineare della struttura in tutte le direzioni ed in tutte le condizioni, ovvero sia nello stato integro che nello stato finale vicino al collasso.

Origine e Caratteristiche dei codici di calcolo

Produttore	S.T.S. srl
Titolo	CDSWin
Versione	Rel. 2017
Nro Licenza	35224

Ragione sociale completa del produttore del software:

S.T.S. s.r.l. Software Tecnico Scientifico S.r.l.

Via Tre Torri n°11 – Complesso Tre Torri

95030 Sant'Agata li Battiati (CT).

- ***Affidabilità dei codici utilizzati***

L'affidabilità del codice utilizzato e la sua idoneità al caso in esame, è stata attentamente verificata sia effettuando il raffronto tra casi prova di cui si conoscono i risultati esatti sia esaminando le indicazioni, la documentazione ed i test forniti dal produttore stesso.

La S.T.S. s.r.l., a riprova dell'affidabilità dei risultati ottenuti, fornisce direttamente on-line i test sui casi prova liberamente consultabili all'indirizzo:

<http://www.stsweb.it/STSWeb/ITA/homepage.htm>

Validazione dei codici

L' opera in esame non e' di importanza tale da necessitare un calcolo indipendente eseguito con altro software da altro calcolista

Presentazione sintetica dei risultati

Una sintesi del comportamento della struttura e' consegnata nelle tabelle di sintesi dei risultati, riportate in appresso, e nelle rappresentazioni grafiche allegate in coda alla presente relazione in cui sono rappresentate le principali grandezze (deformate, sollecitazioni, etc..) per le parti piu' sollecitate della struttura in esame.

Tabellina Riassuntiva delle % Massa Eccitata

Il numero dei modi di vibrare considerato (9) ha permesso di mobilitare le seguenti percentuali delle masse della struttura, per le varie direzioni:

DIREZIONE	% MASSA
X	100
Y	100
Z	0

Tabellina Riassuntiva degli Spostamenti SLO/SLD

Stato limite	Status Verifica
SLO	NON CALCOLATO
SLD	VERIFICATO

Tabellina riassuntiva delle verifiche SLU

Tipo di Elemento	Non Verif/Totale	STATUS
Travi c.a. Fondazione	0 su 0	NON PRESENTI
Travi c.a. Elevazione	0 su 0	NON PRESENTI
Pilastrini in c.a.	0 su 0	NON PRESENTI
Shell in c.a.	0 su 0	NON PRESENTI
Piastre in c.a.	0 su 0	NON PRESENTI
Aste in Acciaio	0 su 0	NON PRESENTI
Aste in Legno	0 su 0	NON PRESENTI
Zattera Plinti	0 su 0	NON PRESENTI
Pali/Micropali (Plinti)	0 su 0	NON PRESENTI
Micropali (Travi/Piastre)	0 su 0	NON PRESENTI
Tipologie		NON PRESENTI

Tabellina riassuntiva delle verifiche SLE

Tipo di Elemento	Non Verif/Totale	STATUS
Travi c.a. Fondazione	0 su 0	NON PRESENTI
Travi c.a. Elevazione	0 su 0	NON PRESENTI
Pilastrini in c.a.	0 su 0	NON PRESENTI
Shell in c.a.	0 su 0	NON PRESENTI
Piastre in c.a.	0 su 0	NON PRESENTI
Aste in Acciaio	0 su 0	NON PRESENTI
Aste in Legno	0 su 0	NON PRESENTI

Zattera Plinti	0 su 0	NON PRESENTI
Pali	0 su 0	NON PRESENTI

Tabellina Riassuntiva della Ridistribuzione Plastica

	Numero totale Travi a cui si e' applicata la ridistribuzione plastica	Numero Travi con coeff. di ridistribuzione plastica inferiore al limite di Norma
Ridistribuzione Plastica Travi in C.A.	NON ESEGUITA	NON ESEGUITA

Tabellina Riassuntiva delle Verifiche di Gerarchia delle Resistenze

	Non Verif/Totale	STATUS
Gerarchia Trave Colonna c.a.	0 su 0	NON ESEGUITA
Gerarchia Trave Colonna acc.	0 su 0	NON ESEGUITA

Tabellina Riassuntiva delle Verifiche delle Unioni Metalliche

	Non Verif/Totale	STATUS
Telai	0 su 0	NON PRESENTI
Reticolari	0 su 0	NON PRESENTI

Tabellina riassuntiva delle PushOver

Numero PushOver	PgaSLO/Pga81%	PgaSLD/Pga63%	PgaSLV/Pga10%	PgaSLC/Pga5%
1	0	1.328	.724	0
2	0	1.431	.648	0
3	0	1.647	.728	0
4	0	1.622	.731	0
5	0	1.452	.784	0
6	0	1.582	.686	0
7	0	1.738	.81	0
8	0	1.714	.783	0
9	0	1.328	.708	0
10	0	1.42	.668	0
11	0	1.626	.724	0
12	0	1.66	.752	0
13	0	1.447	.762	0
14	0	1.568	.72	0
15	0	1.718	.797	0
16	0	1.769	.815	0
Min. PgaSL/Pga%	0	1.328	.648	0

**Capacità di resistenza dell'edificio alle azioni sismiche pari almeno al 60%:
VERIFICATA (64.8%)**

Tabellina riassuntiva verifiche Murature

Tipo Verifica	Non Verif/Totale	Coeff. Sicur. Minimi	STATUS
Maschi – Statiche	0 su 0		NON ESEGUITA

Maschi – Sisma Ortog.	7 su 102	.85	VERIFICATO 60%
Maschi – Sisma Parall.	0 su 102		NON ESEGUITA
Architravi	0 su 0		NON PRESENTE
Meccanismi Locali	0 su 0		NON ESEGUITA

Tabellina riassuntiva verifiche Murature Armate

Tipo Verifica	Non Verif/Totale	Coeff. Sicur. Minimi	STATUS
Maschi – Statiche	0 su 0		NON PRESENTE
Maschi – Sisma Ortog.	0 su 0		NON PRESENTE
Maschi – Sisma Parall.	0 su 0		NON PRESENTE
Architravi	0 su 0		NON PRESENTE

Tabellina riassuntiva verifiche Pareti CLS Debolmente Armate

Tipo Verifica	Non Verif/Totale	Coeff. Sicur. Minimi	STATUS
Maschi – Statiche	0 su 0		NON PRESENTE
Maschi – Sisma Ortog.	0 su 0		NON PRESENTE
Maschi – Sisma Parall.	0 su 0		NON PRESENTE
Architravi	0 su 0		NON PRESENTE

Tabellina riassuntiva della portanza

	VALORE	STATUS
Sigma Terreno Massima (kg/cm ²)	1.18	
Coeff. di Sicurezza Portanza Globale		NON CALCOLATO
Coeff. di Sicurezza Scorrimento		NON CALCOLATO
Cedimento Elastico Massimo (cm)	NON CALCOLATO	
Cedimento Edometrico Massimo (cm)	NON CALCOLATO	
Cedimento Residuo Massimo (cm)	NON CALCOLATO	

Tabellina riassuntiva della Stabilita' Globale della struttura

Numero della combinazione di carico	CARICO CRITICO NON CALCOLATO
Valore del moltiplicatore dei carichi	CARICO CRITICO NON CALCOLATO

Informazioni sull' elaborazione

Il software e' dotato di propri filtri e controlli di autodiagnostica che intervengono sia durante la fase di definizione del modello sia durante la fase di calcolo vero e proprio.

In particolare il software è dotato dei seguenti filtri e controlli:

- Filtri per la congruenza geometrica del modello generato
- Controlli a priori sulla presenza di elementi non connessi, interferenze, mesh non congruenti o non adeguate.

Filtri sulla precisione numerica ottenuta, controlli su labilita' o eventuali mal condizionamenti delle matrici, con verifica dell'indice di condizionamento.

Controlli sulla verifiche sezionali e sui limiti dimensionali per i vari elementi strutturali in funzione della normativa utilizzata.

Controlli e verifiche sugli esecutivi prodotti.

Rappresentazioni grafiche di post-processo che consentono di evidenziare eventuali anomalie sfuggite all' autodiagnostica automatica.

In aggiunta ai controlli presenti nel software si sono svolti appositi calcoli su schemi semplificati, che si riportano nel seguito, che hanno consentito di riscontrare la correttezza della modellazione effettuata per la struttura in esame.

Giudizio motivato di accettabilita'

Il software utilizzato ha permesso di modellare analiticamente il comportamento fisico della struttura utilizzando la libreria disponibile di elementi finiti.

Le funzioni di visualizzazione ed interrogazione sul modello hanno consentito di controllare sia la coerenza geometrica che la adeguatezza delle azioni applicate rispetto alla realtà fisica.

Inoltre la visualizzazione ed interrogazione dei risultati ottenuti dall'analisi quali: sollecitazioni, tensioni, deformazioni, spostamenti e reazioni vincolari, hanno permesso un immediato controllo di tali valori con i risultati ottenuti mediante schemi semplificati della struttura stessa.

Si è inoltre riscontrato che le reazioni vincolari sono in equilibrio con i carichi applicati, e che i valori dei taglianti di base delle azioni sismiche sono confrontabili con gli omologhi valori ottenuti da modelli SDOF semplificati.

Sono state inoltre individuate un numero di travi ritenute significative e, per tali elementi, e' stata effettuata una apposita verifica a flessione e taglio.

Le sollecitazioni fornite dal solutore per tali travi, per le combinazioni di carico indicate nel tabulato di verifica del CDSWin, sono state validate effettuando gli equilibri alla rotazione e traslazione delle dette travi, secondo quanto meglio descritto nel calcolo semplificato, allegato alla presente relazione.

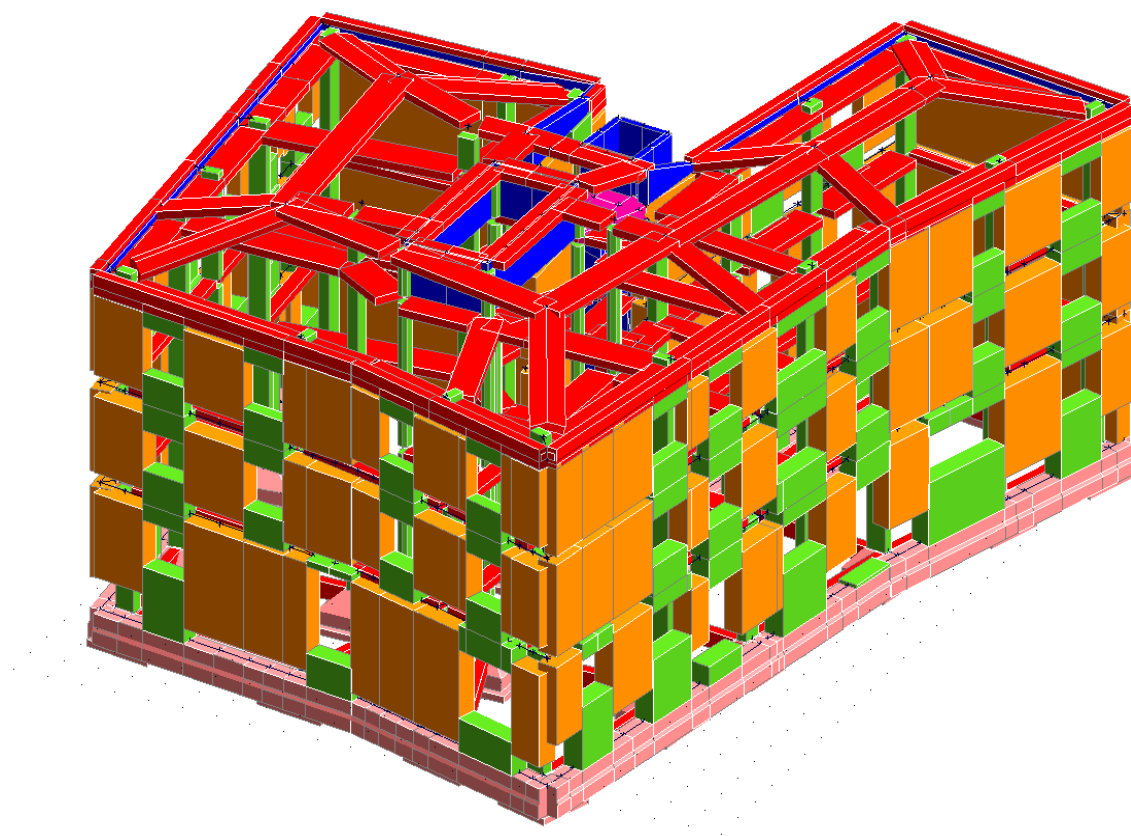
Si sono infine eseguite le verifiche di tali travi con metodologie semplificate e, confrontandole con le analoghe verifiche prodotte in automatico dal programma, si e' potuto riscontrare la congruenza di tali risultati con i valori riportati dal software.

Si è inoltre verificato che tutte le funzioni di controllo ed autodiagnostica del software abbiano dato tutte esito positivo.

Da quanto sopra esposto si puo' quindi affermare che il calcolo e' andato a buon fine e che il modello di calcolo utilizzato e' risultato essere rappresentativo della realtà fisica, anche in funzione delle modalità e sequenze costruttive.

Palazzo Magnalbò
Comune di ROTELLA

RELAZIONE GENERALE



Indice generale

RELAZIONE GENERALE.....	11
• DESCRIZIONE GENERALE DELL’OPERA	11
• INFORMAZIONI GENERALI SULL’ANALISI SVOLTA.....	12
NORMATIVA DI RIFERIMENTO.....	12
REFERENZE TECNICHE (CAP. 12 D.M. 14.01.2008).....	12
MISURA DELLA SICUREZZA	12
MODELLI DI CALCOLO.....	13
• AZIONI SULLA COSTRUZIONE	14
AZIONI AMBIENTALI E NATURALI.....	14
DESTINAZIONE D’USO E SOVRACCARICHI PER LE AZIONI ANTROPICHE.....	15
AZIONE SISMICA.....	16
AZIONI DOVUTE AL VENTO	17
AZIONI DOVUTE ALLA TEMPERATURA	17
NEVE.....	17
AZIONI ANTROPICHE E PESI PROPRI.....	17
COMBINAZIONI DI CALCOLO	18
COMBINAZIONI DELLE AZIONI SULLA COSTRUZIONE.....	18
• TOLLERANZE	19

RELAZIONE GENERALE

OGGETTO: DA DEFINIRE

Per una immediata comprensione delle condizioni sismiche, si riporta il seguente:

RIEPILOGO PARAMETRI SISMICI

Vita Nominale	50
Classe d'Uso	2
Categoria del Suolo	B
Categoria Topografica	1
Latitudine del sito oggetto di edificazione	42.95468
Longitudine del sito oggetto di edificazione	13.56044

• DESCRIZIONE GENERALE DELL'OPERA

Il palazzo, di proprietà del Comune di Rotella, risale indicativamente agli inizi del XX secolo. Esso è ubicato nel centro storico, in via Umberto I, ed è individuato catastalmente al foglio 13 particella 94 del Comune di Rotella. L'area analizzata è ubicata ad una quota di circa 395 metri s.l.m.

Il fabbricato è stato costruito con struttura portante in muratura; successivamente, intorno agli anni '80, è stato oggetto di un radicale intervento di ristrutturazione edilizia con la realizzazione al suo interno di una struttura intelaiata in c.a. su fondazioni superficiali a plinti isolati, con orizzontamenti di piano costituiti da solai in latero-cemento, compresa la copertura.

L'edificio è composto da tre piani fuori terra con ascensore e corpo scale centrali; i piani superiori si affacciano sull'atrio di ingresso al piano terra attraverso una balconata che circonda la scala. Al piano terra sono presenti locali attualmente utilizzati per servizi sanitari pubblici e per attività sociali, culturali ed istituzionali. I piani primo e secondo presentano una suddivisione in ampie camere con relativi bagni, oltre a degli ambienti ad uso comune destinati a servizi, sale e spazi polivalenti.

Il terremoto non ha prodotto alcun danneggiamento al fabbricato, che ha ben reagito alla sequenza sismica, non riportando lesioni, fessurazioni od altro.

• **INFORMAZIONI GENERALI SULL'ANALISI SVOLTA**

NORMATIVA DI RIFERIMENTO

- D.M 14/01/2008 - Nuove Norme Tecniche per le Costruzioni;
Circ. Ministero Infrastrutture e Trasporti 2 febbraio 2009, n. 617 Istruzioni per l'applicazione delle "Nuove norme tecniche per le costruzioni" di cui al D.M. 14 gennaio 2008;

REFERENZE TECNICHE (Cap. 12 D.M. 14.01.2008)

- UNI ENV 1992-1-1 - Parte 1-1: Regole generali e regole per gli edifici.
UNI EN 206-1/2001 - Calcestruzzo. Specificazioni, prestazioni, produzione e conformità.
UNI EN 1993-1-1 - Parte 1-1: Regole generali e regole per gli edifici.
UNI EN 1995-1 – Costruzioni in legno
UNI EN 1998-1 – Azioni sismiche e regole sulle costruzioni
UNI EN 1998-5 – Fondazioni ed opere di sostegno

MISURA DELLA SICUREZZA

Il metodo di verifica della sicurezza adottato è quello degli Stati Limite (SL) che prevede due insiemi di verifiche rispettivamente per gli stati limite ultimi S.L.U. e gli stati limite di esercizio S.L.E..

La sicurezza viene quindi garantita progettando i vari elementi resistenti in modo da assicurare che la loro resistenza di calcolo sia sempre maggiore delle corrispondente domanda in termini di azioni di calcolo.

Le norme precisano che la sicurezza e le prestazioni di una struttura o di una parte di essa devono essere valutate in relazione all'insieme degli stati limite che verosimilmente si possono verificare durante la vita normale.

Prescrivono inoltre che debba essere assicurata una robustezza nei confronti di azioni eccezionali.

Le prestazioni della struttura e la vita nominale sono riportati nei successivi tabulati di calcolo della struttura.

La sicurezza e le prestazioni saranno garantite verificando gli opportuni stati limite definiti di concerto al Committente in funzione dell'utilizzo della struttura, della sua vita nominale e di quanto stabilito dalle norme di cui al D.M. 14/01/2008 e successive modifiche ed integrazioni.

In particolare si è verificata:

- la sicurezza nei riguardi degli stati limite ultimi (S.L.U.) che possono provocare eccessive deformazioni permanenti, crolli parziali o globali, dissesti, che possono compromettere l'incolumità delle persone e/o la perdita di beni, provocare danni ambientali e sociali, mettere fuori servizio l'opera. Per le verifiche sono stati utilizzati i coefficienti parziali relativi alle azioni ed alle

resistenze dei materiali in accordo a quanto previsto dal D.M. 14/01/2008 per i vari tipi di materiale. I valori utilizzati sono riportati nel fascicolo delle elaborazioni numeriche allegate; la sicurezza nei riguardi degli stati limite di esercizio (S.L.E.) che possono limitare nell'uso e nella durata l'utilizzo della struttura per le azioni di esercizio. In particolare di concerto con il committente e coerentemente alle norme tecniche si sono definiti i limiti riportati nell'allegato fascicolo delle calcolazioni;

la sicurezza nei riguardi dello stato limite del danno (S.L.D.) causato da azioni sismiche con opportuni periodi di ritorno definiti di concerto al committente ed alle norme vigenti per le costruzioni in zona sismica;

robustezza nei confronti di opportune azioni accidentali in modo da evitare danni sproporzionati in caso di incendi, urti, esplosioni, errori umani;

Per quanto riguarda le fasi costruttive intermedie la struttura non risulta cimentata in maniera più gravosa della fase finale.

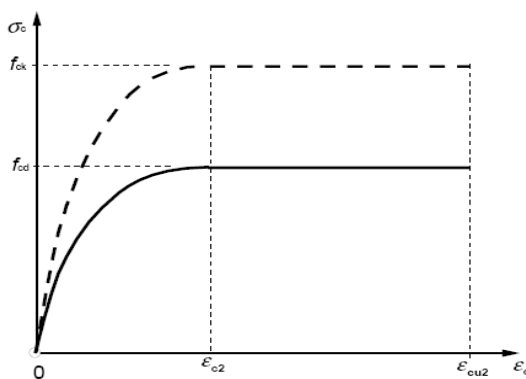
MODELLI DI CALCOLO

Si sono utilizzati come modelli di calcolo quelli esplicitamente richiamati nel D.M. 14/01/2008.

Per quanto riguarda le azioni sismiche ed in particolare per la determinazione del fattore di struttura, dei dettagli costruttivi e le prestazioni sia agli S.L.U. che allo S.L.D. si fa riferimento al D.M. 14/01/08 e alla circolare del Ministero delle Infrastrutture e dei Trasporti del 2 febbraio 2009, n. 617 la quale è stata utilizzata come norma di dettaglio.

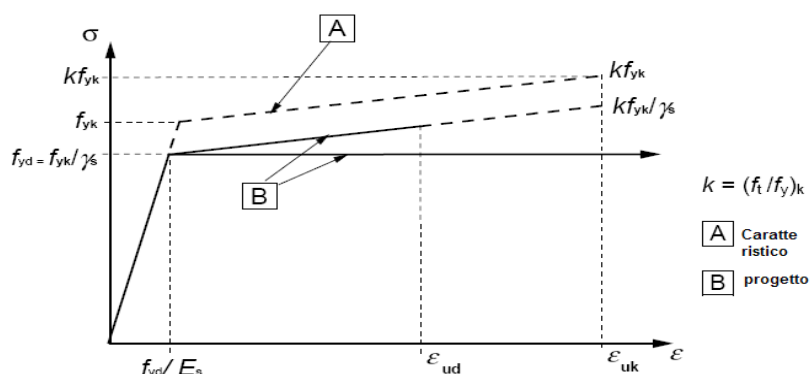
La definizione quantitativa delle prestazioni e le verifiche sono riportati nel fascicolo delle elaborazioni numeriche allegate.

Per le verifiche sezionali i legami utilizzati sono:



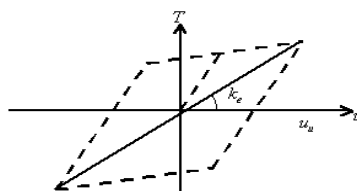
Legame costitutivo di progetto parabola-rettangolo per il calcestruzzo.

Il valore ε_{cu2} nel caso di analisi non lineari sarà valutato in funzione dell'effettivo grado di confinamento esercitato dalle staffe sul nucleo di calcestruzzo.



Legame costitutivo di progetto elastico perfettamente plastico o incrudente a duttilità limitata per l'acciaio.

- legame rigido plastico per le sezioni in acciaio di classe 1 e 2 e elastico lineare per quelle di classe 3 e 4;
- legame elastico lineare per le sezioni in legno;
- legame elasto-viscoso per gli isolatori.



Legame costitutivo per gli isolatori.

Il modello di calcolo utilizzato risulta rappresentativo della realtà fisica per la configurazione finale anche in funzione delle modalità e sequenze costruttive.

- **AZIONI SULLA COSTRUZIONE**

AZIONI AMBIENTALI E NATURALI

Si è concordato con il committente che le prestazioni attese nei confronti delle azioni sismiche siano verificate agli stati limite, sia di esercizio che ultimi individuati riferendosi alle prestazioni della costruzione nel suo complesso, includendo gli elementi strutturali, quelli non strutturali e gli impianti.

Gli stati limite di esercizio sono:

- Stato Limite di Operatività (S.L.O.)
- Stato Limite di Danno (S.L.D.)

Gli stati limite ultimi sono:

- Stato Limite di salvaguardia della Vita (S.L.V.)
- Stato Limite di prevenzione del Collasso (S.L.C.)

Le probabilità di superamento nel periodo di riferimento P_{VR} , cui riferirsi per individuare l'azione sismica agente in ciascuno degli stati limite considerati, sono riportate nella successiva tabella:

Stati Limite P_{VR} :		Probabilità di superamento nel periodo di riferimento V_R
Stati limite di esercizio	SLO	81%
	SLD	63%
Stati limite ultimi	SLV	10%
	SLC	5%

Per la definizione delle forme spettrali (spettri elastici e spettri di progetto), in conformità ai dettami del D.M. 14/01/2008 § 3.2.3. sono stati definiti i seguenti termini:

- Vita Nominale del fabbricato;
- Classe d'Uso del fabbricato;
- Categoria del Suolo;
- Coefficiente Topografico;
- Latitudine e Longitudine del sito oggetto di edificazione.

DESTINAZIONE D'USO E SOVRACCARICHI PER LE AZIONI ANTROPICHE

Per la determinazione dell'entità e della distribuzione spaziale e temporale dei sovraccarichi variabili si farà riferimento alla tabella del D.M. 14/01/2008 in funzione della destinazione d'uso. I carichi variabili comprendono i carichi legati alla destinazione d'uso dell'opera; i modelli di tali azioni possono essere costituiti da:

- carichi verticali uniformemente distribuiti q_k [kN/m²]
- carichi verticali concentrati Q_k [kN]
- carichi orizzontali lineari H_k [kN/m]

Tabella 3.1.II – Valori dei carichi d'esercizio per le diverse categorie di edifici

Categ.	Ambienti	q_k [kN/m ²]	Q_k [kN]	H_k [kN/m]
A	Ambienti ad uso residenziale. Sono compresi in questa categoria i locali di abitazione e relativi servizi, gli alberghi (ad esclusione delle aree suscettibili di affollamento)	2,00	2,00	1,00
B	Uffici. Cat. B1 – Uffici non aperti al pubblico Cat. B2 – Uffici aperti al pubblico	2,00 3,00	2,00 2,00	1,00 1,00

C	Ambienti suscettibili di affollamento.			
	Cat. C1 – Ospedali, ristoranti, caffè, banche, scuole	3,00	2,00	1,00
	Cat. C2 – Balconi, ballatoi e scale comuni, sale convegni, cinema, teatri, chiese, tribune con posti fissi	4,00	4,00	2,00
	Cat. C3 – Ambienti privi di ostacoli per il libero movimento delle persone, quali musei, sale per esposizioni, stazioni ferroviarie, sale da ballo, palestre, tribune libere, edifici per eventi pubblici, sale da concerto, palazzetti per lo sporte relative tribune	5,00	5,00	3,00
D	Ambienti ad uso commerciale.			
	Cat. D1 – Negozi	4,00	4,00	2,00
	Cat. D2 – Centri commerciali, mercati, grandi magazzini, librerie	5,00	5,00	2,00
E	Biblioteche, archivi, magazzini e ambienti ad uso industriale.			
	Cat. E1 – Biblioteche, archivi, magazzini, depositi, laboratori manifatturieri	> 6,00	6,00	1,00*
	Cat. E2 – Ambienti ad uso industriale, da valutarsi caso per caso	-	-	-
F – G	Rimesse e parcheggi.			
	Cat. F – Rimesse e parcheggi per il transito di automezzi di peso a pieno carico fino a 30 kN	2,50	2 x 10,00	1,00**
	Cat. G – Rimesse e parcheggi per il transito di automezzi di peso a pieno carico superiore a 30 kN, da valutarsi caso per caso	-	-	-
H	Coperture e sottotetti.			
	Cat. H1 – Coperture e sottotetti accessibili per sola manutenzione	0,50	1,20	1,00
	Cat. H2 – Coperture praticabili	Secondo categoria di appartenenza		
	Cat. H3 – Coperture speciali (impianti, eliporti, altri) da valutarsi caso per caso	-	-	-

* non comprende le azioni orizzontali eventualmente esercitate dai materiali immagazzinati

** per i soli parapetti o partizioni nelle zone pedonali. Le azioni sulle barriere esercitate dagli automezzi dovranno essere valutate caso per caso

I valori nominali e/o caratteristici q_k , Q_k ed H_k di riferimento sono riportati nella Tab. 3.1.II. delle N.T.C. 2008. In presenza di carichi verticali concentrati Q_k essi sono stati applicati su impronte di carico appropriate all'utilizzo ed alla forma dello orizzontamento.

In particolare si considera una forma dell'impronta di carico quadrata pari a 50 x 50 mm, salvo che per le rimesse ed i parcheggi, per i quali i carichi si sono applicano su due impronte di 200 x 200 mm, distanti assialmente di 1,80 m.

AZIONE SISMICA

Ai fini delle N.T.C. 2008 l'azione sismica è caratterizzata da 3 componenti traslazionali, due orizzontali contrassegnate da X ed Y ed una verticale contrassegnata da Z, da considerare tra di loro indipendenti.

Le componenti possono essere descritte, in funzione del tipo di analisi adottata, mediante una delle seguenti rappresentazioni:

- accelerazione massima attesa in superficie;
- accelerazione massima e relativo spettro di risposta attesi in superficie;
- accelerogramma.

l'azione in superficie è stata assunta come agente su tali piani.

Le due componenti ortogonali indipendenti che descrivono il moto orizzontale sono caratterizzate dallo stesso spettro di risposta. L'accelerazione massima e lo spettro di risposta della componente verticale attesa in superficie sono determinati sulla base dell'accelerazione massima e dello spettro di risposta delle due componenti orizzontali.

In allegato alle N.T.C. 2008, per tutti i siti considerati, sono forniti i valori dei precedenti parametri di pericolosità sismica necessari per la determinazione delle azioni sismiche.

AZIONI DOVUTE AL VENTO

Le azioni del vento sono state determinate in conformità al §3.3 del D.M. 14/01/08 e della Circolare del Ministero delle Infrastrutture e dei Trasporti del 2 febbraio 2009 n. 617. Si precisa che tali azioni hanno valenza significativa in caso di strutture di elevata snellezza e con determinate caratteristiche tipologiche come ad esempio le strutture in acciaio.

AZIONI DOVUTE ALLA TEMPERATURA

E' stato tenuto conto delle variazioni giornaliere e stagionali della temperatura esterna, irraggiamento solare e convezione comportano variazioni della distribuzione di temperatura nei singoli elementi strutturali, con un delta di temperatura di 15° C.

Nel calcolo delle azioni termiche, si è tenuto conto di più fattori, quali le condizioni climatiche del sito, l'esposizione, la massa complessiva della struttura, la eventuale presenza di elementi non strutturali isolanti, le temperature dell'aria esterne (Cfr. § 3.5.2), dell'aria interna (Cfr. § 3.5.3) e la distribuzione della temperatura negli elementi strutturali (Cfr § 3.5.4) viene assunta in conformità ai dettami delle N.T.C. 2008.

NEVE

Il carico provocato dalla neve sulle coperture, ove presente, è stato valutato mediante la seguente espressione di normativa:

$$q_s = \mu_i \cdot q_{sk} \cdot C_E \cdot C_t \quad (\text{Cfr. §3.3.7})$$

in cui si ha:

q_s = carico neve sulla copertura;

μ_i = coefficiente di forma della copertura, fornito al (Cfr. § 3.4.5);

q_{sk} = valore caratteristico di riferimento del carico neve al suolo [kN/m²], fornito al (Cfr. § 3.4.2) delle N.T.C. 2008

per un periodo di ritorno di 50 anni;

C_E = coefficiente di esposizione di cui al (Cfr. § 3.4.3);

C_t = coefficiente termico di cui al (Cfr. § 3.4.4).

AZIONI ANTROPICHE E PESI PROPRI

Nel caso delle spinte del terrapieno sulle pareti di cantinato (ove questo fosse presente), in sede di valutazione di tali carichi, (a condizione che non ci sia grossa variabilità dei parametri geotecnici dei vari strati così come individuati nella relazione geologica), è stata adottata una sola tipologia di terreno ai soli fini della definizione dei lati di spinta e/o di eventuali sovraccarichi.

COMBINAZIONI DI CALCOLO

Le combinazioni di calcolo considerate sono quelle previste dal D.M. 14/01/2008 per i vari stati limite e per le varie azioni e tipologie costruttive.

In particolare, ai fini delle verifiche degli stati limite si definiscono le seguenti combinazioni delle azioni per cui si rimanda al § 2.5.3 delle N.T.C. 2008. Queste sono:

- Combinazione fondamentale, generalmente impiegata per gli stati limite ultimi (S.L.U.) (2.5.1);
- Combinazione caratteristica (rara), generalmente impiegata per gli stati limite di esercizio (S.L.E.) irreversibili, da utilizzarsi nelle verifiche alle tensioni ammissibili di cui al § 2.7 (2.5.2);
- Combinazione frequente, generalmente impiegata per gli stati limite di esercizio (S.L.E.) reversibili (2.5.3);
- Combinazione quasi permanente (S.L.E.), generalmente impiegata per gli effetti a lungo termine (2.5.4);
- Combinazione sismica, impiegata per gli stati limite ultimi e di esercizio connessi all'azione sismica E (v. § 3.2 form. 2.5.5);
- Combinazione eccezionale, impiegata per gli stati limite ultimi connessi alle azioni eccezionali di progetto Ad (v. § 3.6 form. 2.5.6).

Nelle combinazioni per S.L.E., si intende che vengono omessi i carichi Q_{kj} che danno un contributo favorevole ai fini delle verifiche e, se del caso, i carichi G_2 .

Altre combinazioni sono da considerare in funzione di specifici aspetti (p. es. fatica, ecc.). Nelle formule sopra riportate il simbolo + vuol dire “combinato con”.

I valori dei coefficienti parziali di sicurezza γ_{Gi} e γ_{Qj} sono dati in § 2.6.1, Tab. 2.6.I.

Nel caso delle costruzioni civili e industriali le verifiche agli stati limite ultimi o di esercizio devono essere effettuate per la combinazione dell'azione sismica con le altre azioni già fornita in § 2.5.3 form. 3.2.16 delle N.T.C. 2008.

Gli effetti dell'azione sismica saranno valutati tenendo conto delle masse associate ai carichi gravitazionali (form. 3.2.17).

I valori dei coefficienti ψ_{2j} sono riportati nella Tabella 2.5.I..

COMBINAZIONI DELLE AZIONI SULLA COSTRUZIONE

Le azioni definite come al § 2.5.1 delle N.T.C. 2008 sono state combinate in accordo a quanto definito al § 2.5.3. applicando i coefficienti di combinazione come di seguito definiti:

Categoria/Azione variabile	ψ_{0i}	ψ_{1i}	ψ_{2i}
Categoria A Ambienti ad uso residenziale	0,7	0,5	0,3
Categoria B Uffici	0,7	0,5	0,3
Categoria C Ambienti suscettibili di affollamento	0,7	0,7	0,6
Categoria D Ambienti ad uso commerciale	0,7	0,7	0,6
Categoria E Biblioteche, archivi, magazzini e ambienti ad uso industriale	1,0	0,9	0,8
Categoria F Rimesse e parcheggi (per autoveicoli di peso ≤ 30 kN)	0,7	0,7	0,6
Categoria G Rimesse e parcheggi (per autoveicoli di peso > 30 kN)	0,7	0,5	0,3
Categoria H Coperture	0,0	0,0	0,0
Vento	0,6	0,2	0,0
Neve (a quota ≤ 1000 m s.l.m.)	0,5	0,2	0,0

Neve (a quota > 1000 m s.l.m.)	0,7	0,5	0,2
Variazioni termiche	0,6	0,5	0,0

Tabella 2.5.I – Valori dei coefficienti di combinazione

I valori dei coefficienti parziali di sicurezza γ_{Gi} e γ_{Qj} utilizzati nelle calcolazioni sono dati nelle N.T.C. 2008 in § 2.6.1, Tab. 2.6.I.

• TOLLERANZE

Nelle calcolazioni si è fatto riferimento ai valori nominali delle grandezze geometriche ipotizzando che le tolleranze ammesse in fase di realizzazione siano conformi alle euronorme EN 1992-1991-EN206 - EN 1992-2005:

- Copriferro -5 mm (EC2 4.4.1.3)

Per dimensioni ≤ 150 mm ± 5 mm

Per dimensioni ≤ 400 mm ± 15 mm

Per dimensioni ≥ 2500 mm ± 30 mm

Per i valori intermedi interpolare linearmente.

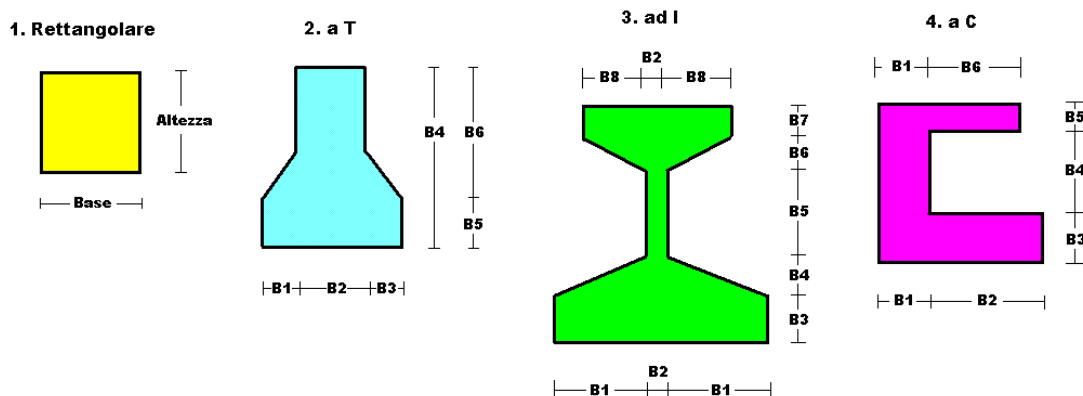
TABULATI DI CALCOLO

• **SPECIFICHE CAMPI TABELLA DI STAMPA**

Le sezioni delle aste in c.a.o. riportate nel seguito sono state raggruppate per tipologia. Le tipologie disponibili sono le seguenti:

- 1) *RETTANGOLARE*
- 2) *a T*
- 3) *ad I*
- 4) *a C*
- 5) *CIRCOLARE*
- 6) *POLIGONALE*

Nelle tabelle sono usate alcune sigle il cui significato è spiegato dagli schemi riportati in appresso:



Per quanto attiene alla tipologia poligonale le diciture V1, V2, ..., V10 individuano i vertici della sezione descritta per coordinate.

In coda alle presenti stampe viene riportata la tabellina riassuntiva delle caratteristiche statiche delle sezioni in parola in termini di area, momenti di inerzia baricentrici rispetto all'asse X ed Y (I_{xg} ed I_{yg}) e momento d'inerzia polare (I_p).

● **SPECIFICHE CAMPI TABELLA DI STAMPA**

Si riporta appresso la spiegazione delle sigle usate nelle tabelle riassuntive dei criteri di progetto per le aste in elevazione, per quelle di fondazione, per i pilastri e per i setti.

Crit.N.ro	: Numero indicativo del criterio di progetto
Elem.	: Tipo di elemento strutturale
%Rig.Tors.	: Percentuale di rigidità torsionale
Mod. E	: Modulo di elasticità normale
Poisson	: Coefficiente di Poisson
Sgmc	: Tensione massima di esercizio del calcestruzzo
tauc0	: Tensione tangenziale minima
tauc1	: Tensione tangenziale massima
Sgmf	: Tensione massima di esercizio dell'acciaio
Om.	: Coefficiente di omogeneizzazione
Gamma	: Peso specifico del materiale
Coprstaffa	: Distanza tra il lembo esterno della staffa ed il lembo esterno della sezione in calcestruzzo
Fi min.	: Diametro minimo utilizzabile per le armature longitudinali
Fi st.	: Diametro delle staffe
Lar. st.	: Larghezza massima delle staffe
Psc	: Passo di scansione per i diagrammi delle caratteristiche
Pos.pol.	: Numero di posizioni delle armature per la verifica di sezioni poligonali
D arm.	: Passo di incremento dell'armatura per la verifica di sezioni poligonali
Iteraz.	: Numero massimo di iterazioni per la verifica di sezioni poligonali
Def. Tag.	: Deformabilità a taglio (si, no)
%Scorr.Staf.	: Percentuale di scorrimento da far assorbire alle staffe
P.max staffe	: Passo massimo delle staffe
P.min.staffe	: Passo minimo delle staffe
tMt min.	: Tensione di torsione minima al di sotto del quale non si arma a torsione
Ferri parete	: Presenza di ferri di parete a taglio
Ecc.lim.	: Eccentricità M/N limite oltre la quale la verifica viene effettuata a flessione pura
Tipo ver.	: Tipo di verifica (0 = solo Mx; 1 = Mx e My separate; 2 = deviata)
Fl.rett.	: Flessione retta forzata per sezioni dissimmetriche ma simmetrizzabili (0 = no; 1 = si)
Den.X pos.	: Denominatore della quantità q^*l^3 per determinare il momento Mx minimo per la copertura del diagramma positivo
Den.X neg.	: Denominatore della quantità q^*l^3 per determinare il momento Mx minimo per la copertura del diagramma negativo
Den.Y pos.	: Denominatore della quantità q^*l^3 per determinare il momento My minimo per la copertura del diagramma positivo
Den.Y neg.	: Denominatore della quantità q^*l^3 per determinare il momento My minimo per la copertura del diagramma negativo
%Mag.car.	: Percentuale di maggiorazione dei carichi statici della prima combinazione di carico
%Rid.Plas	: Rapporto tra i momenti sull'estremo della trave $M^*(ij)/M(ij)$, dove: - $M^*(ij)$ =Momento DOPO la ridistribuzione plastica - $M(ij)$ =Momento PRIMA della ridistribuzione plastica
Linear.	: Coefficiente descrittivo del comportamento dell'asta: 1 = comportamento lineare sia a trazione che a compressione 2 = comportamento non lineare sia a trazione che a compressione. 3 = comportamento lineare solo a trazione. 4 = comportamento non lineare solo a trazione. 5 = comportamento lineare solo a compressione. 6 = comportamento non lineare solo a compressione.
Appesi	: Flag di disposizione del carico sull'asta (1 = appeso, cioè applicato all'intradosso; 0 = non appeso, cioè applicato all'estradosso)
Min. T/sigma	: Verifica minimo T/sigma (1 = si; 0 = no)
Verif.Alette	: Verifica alette travi di fondazione (1 = si; 0 = no)

Kwinkl. : *Costante di sottofondo del terreno*

Si riporta appresso la spiegazione delle sigle usate nelle tabelle riassuntive dei criteri di progetto per le verifiche agli stati limite.

Cri.Nro	: Numero identificativo del criterio di progetto
Tipo Elem.	: Tipo di elemento: trave di elevazione, trave di fondazione, pilastro, setto, setto elastico ("SHela")
fck	: Resistenza caratteristica del calcestruzzo
fcd	: Resistenza di calcolo del calcestruzzo
rcd	: Resistenza di calcolo a flessione del calcestruzzo (massimo del diagramma parabola rettangolo)
fyk	: Resistenza caratteristica dell'acciaio
fyd	: Resistenza di calcolo dell'acciaio
Ey	: Modulo elastico dell'acciaio
ec0	: Deformazione limite del calcestruzzo in campo elastico
ecu	: Deformazione ultima del calcestruzzo
eyu	: Deformazione ultima dell'acciaio
Ac/At	: Rapporto dell'incremento fra l'armatura compressa e quella tesa
Mt/Mtu	: Rapporto fra il momento torcente di calcolo e il momento torcente resistente ultimo del calcestruzzo al di sotto del quale non si arma a torsione
Wra	: Ampiezza limite della fessura per combinazioni rare
Wfr	: Ampiezza limite della fessura per combinazioni frequenti
Wpe	: Ampiezza limite della fessura per combinazioni permanenti
σ Rara	: Sigma massima del calcestruzzo per combinazioni rare
σ Perm	: Sigma massima del calcestruzzo per combinazioni permanenti
σ_f Rara	: Sigma massima dell'acciaio per combinazioni rare
SpRar	: Rapporto fra la lunghezza dell'elemento e lo spostamento massimo per combinazioni rare
SpPer	: Rapporto fra la lunghezza dell'elemento e lo spostamento massimo per combinazioni permanenti
Coef.Visc.:	: Coefficiente di viscosità

• **SPECIFICHE CAMPI TABELLA DI STAMPA**

Si riporta di seguito la spiegazione delle sigle usate nelle tabelle riassuntive dei criteri di progetto per la muratura esistente.

DATI MASCHI MURARI 1/3

Mat. N.ro	: Numero indicativo del materiale esistente
fm	: Resistenza media a compressione della muratura
Tau0	: Resistenza media a taglio della muratura
Mod.E	: Valore medio del Modulo di elasticità normale
Mod.G	: Valore medio del Modulo di elasticità tangenziale
Peso	: Peso specifico medio della muratura
Rete	: Flag di esistenza della rete di rinforzo FRP
Descrizione	: Stringa descrittiva della rete di rinforzo FRP
TipoFibra	: Tipologia della fibra di rinforzo utilizzata
Gram	: Grammatura della rete per unità di superficie
Magl	: Dimensioni della maglia (quadrata)
Traz	: Resistenza a trazione per metro lineare di maglia
Eul	: Allungamento a rottura della fibra utilizzata
NM P.	: Flag di esistenza del rinforzo con Nastri Metallici Pretesi
Sner	: Resistenza allo snervamento del nastro metallico preteso
Rott	: Resistenza a rottura del nastro metallico preteso
Sp.	: Spessore del nastro metallico preteso
Larg	: Larghezza del nastro metallico preteso
IntX	: Interasse della maglia in direzione X
IntY	: Interasse della maglia in direzione Y

DATI MASCHI MURARI 2/3

Mat. N.ro	: Numero indicativo del materiale esistente
Malta buona	: Coeff. corrett. dei par. meccanici muratura dalla Tab.C8A.2.2 Circ.617/2009
Giunti sottili	: Coeff. corrett. dei par. meccanici muratura dalla Tab.C8A.2.2 Circ.617/2009
Ricorsi Listat.	: Coeff. corrett. dei par. meccanici muratura dalla Tab.C8A.2.2 Circ.617/2009
Conness.trasver	: Coeff. corrett. dei par. meccanici muratura dalla Tab.C8A.2.2 Circ.617/2009
NucleoScadente	: Coeff. corrett. dei par. meccanici muratura dalla Tab.C8A.2.2 Circ.617/2009
Iniezioni leganti	: Coeff. corrett. dei par. meccanici muratura dalla Tab.C8A.2.2 Circ.617/2009
Intonaco armat	: Coeff. corrett. dei par. meccanici muratura dalla Tab.C8A.2.2 Circ.617/2009
Rd	: Resistenza a trazione di calcolo dei tiranti agenti sul maschio murario
Rete	: Flag di esistenza della rete di rinforzo in acciaio
Classe CLS	: Classe del cls utilizzato
Classe acc.	: Classe dell'acciaio utilizzato
Fi	: Diametro della maglia della rete in acciaio utilizzata
Pas	: Passo della maglia della rete utilizzata
Spsx	: Spessore del rinforzo dell'intonaco armato sulla faccia sx del maschio
Spdx	: Spessore del rinforzo dell'intonaco armato sulla faccia dx del maschio
Sforz	: Sforzo sul cavo di precompressione
Pass	: Passo dei cavi di precompressione

DATI MASCHI MURARI 3/3

Mat. N.ro	: Numero indicativo del materiale esistente
Gamma	: Peso specifico della muratura
Fk	: Resistenza caratteristica a compressione della muratura
Fkv	: Resistenza caratteristica a taglio della muratura in assenza di carico verticale
Fk/F	: Resistenza caratteristica a compressione della muratura divisa per il fattore di confidenza
Fkv/F	: Resistenza caratteristica a taglio della muratura divisa per il fattore di confidenza
Mod.E	: Valore medio del Modulo di elasticità normale
Mod.G	: Valore medio del Modulo di elasticità tangenziale
Rig.Fess.	: Percentuale della rigidità flessionale della muratura per tenere in conto la riduzione dovuta alla fessurazione
Tagl.	: Deformazione ultima per collasso a taglio (v. punto C8.7.1.4 Circ. 617/2009)
Fless	: Deformazione ultima per collasso a pressoflessione (v. punto C8.7.1.4 Circ. 617/2009)
Descrizione estesa	: Descrizione della muratura utilizzata

- SPECIFICHE CAMPI TABELLA DI STAMPA**

Si riporta appresso la spiegazione delle sigle usate nella tabella coordinate nodi.

Nodo3d	: <i>Numero del nodo spaziale</i>
Coord.X	: <i>Coordinata X del punto nel sistema di riferimento globale</i>
Coord.Y	: <i>Coordinata Y del punto nel sistema di riferimento globale</i>
Coord.Z	: <i>Coordinata Z del punto nel sistema di riferimento globale</i>
Filo	: <i>Numero del filo per individuare le travate in c.a.</i>
Piano Sism.	: <i>Numero del piano rigido di appartenenza del nodo</i>
Peso	: <i>Peso sismico del nodo; ogni canale di carico è stato moltiplicato per il proprio coefficiente di riduzione del sovraccarico</i>

• **SPECIFICHE CAMPI TABELLA DI STAMPA**

Si riporta appresso la spiegazione delle sigle usate nella tabella dati di asta spaziale.

Asta3d	: Numero dell'asta spaziale
Filo in.	: Numero del filo del nodo iniziale
Filo fin.	: Numero del filo del nodo finale
Q. iniz.	: Quota del nodo iniziale
Q. fin.	: Quota del nodo finale
Nod3d iniz.	: Numero del nodo iniziale
Nod3d fin.	: Numero del nodo finale
Cr. Pr.	: Numero del criterio di progetto per la verifica
Sez. N.ro	: Numero in archivio della sezione
Base x Alt	: Per le sezioni rettangolari base ed altezza; per le altre tipologie ingombro massimo della sezione
Magr.	: Dimensione del magrone per sezioni di fondazione
Rot.	: Angolo di rotazione della sezione
dx	: Scostamento in direzione X globale dell'estremo iniziale dell'asta dal nodo iniziale
dy	: Scostamento in direzione Y globale dell'estremo iniziale dell'asta dal nodo iniziale
dz	: Scostamento in direzione Z globale dell'estremo iniziale dell'asta dal nodo iniziale
dx	: Scostamento in direzione X globale dell'estremo finale dell'asta dal nodo finale
dy	: Scostamento in direzione Y globale dell'estremo finale dell'asta dal nodo finale
dz	: Scostamento in direzione Z globale dell'estremo finale dell'asta dal nodo finale

- SPECIFICHE CAMPI TABELLA DI STAMPA**

Si riporta appresso la spiegazione delle sigle usate nella tabella dati di shell spaziale.

Shell	: <i>Numero dello shell spaziale</i>
Filo 1	: <i>Numero del filo del primo nodo</i>
Filo 2	: <i>Numero del filo del secondo nodo</i>
Filo 3	: <i>Numero del filo del terzo nodo</i>
Filo 4	: <i>Numero del filo del quarto nodo</i>
Quota 1	: <i>Quota del primo nodo</i>
Quota 2	: <i>Quota del secondo nodo</i>
Quota 3	: <i>Quota del terzo nodo</i>
Quota 4	: <i>Quota del quarto nodo</i>
Nod3d 1	: <i>Numero del primo nodo</i>
Nod3d 2	: <i>Numero del secondo nodo</i>
Nod3d 3	: <i>Numero del terzo nodo</i>
Nod3d 4	: <i>Numero del quarto nodo</i>
Sez. N.ro	: <i>Numero in archivio della sezione</i>
Spess	: <i>Spessore dello shell</i>
Kwinkl	: <i>Costante di Winkler del terreno se l'elemento è di fondazione; 0 se è di elevazione</i>
Tipo Mat.	: <i>Numero dell'archivio per il tipo di materiale</i>
Mesh X	: <i>Numero di suddivisioni del macro elemento sull'asse X locale</i>
Mesh Y	: <i>Numero di suddivisioni del macro elemento sull'asse Y locale</i>

• **SPECIFICHE CAMPI TABELLA DI STAMPA**

Si riporta appresso la spiegazione delle sigle usate nella tabella vincoli nodali esterni:

- **Nodo3d** : Numero del nodo spaziale
- **Codice** : Codice esplicito per la determinazione del vincolo:

I = incastro
C = cerniera completa
W = *Winkler*
E = esplicito
P = plinto
U = Vincolo unilatero

- **Tx** : Rigidezza traslante in direzione X sul sistema di riferimento locale del vincolo (-1 spostamento impedito)
- **Ty** : Rigidezza traslante in direzione Y sul sistema di riferimento locale del vincolo (-1 spostamento impedito)
- **Tz** : Rigidezza traslante in direzione Z sul sistema di riferimento locale del vincolo (-1 spostamento impedito)
- **Rx** : Rigidezza rotazionale in direzione X sul sistema di riferimento locale del vincolo (-1 spostamento impedito)
- **Ry** : Rigidezza rotazionale in direzione Y sul sistema di riferimento locale del vincolo (-1 spostamento impedito)
- **Rz** : Rigidezza rotazionale in direzione Z sul sistema di riferimento locale del vincolo (-1 spostamento impedito)

SCOSTAMENTO PER I VINCOLI ELASTICI

- **Tr. X**: Scostamento in direzione X globale del sistema di riferimento locale del vincolo
- **Tr. Y**: Scostamento in direzione Y globale del sistema di riferimento locale del vincolo
- **Tr. Z**: Scostamento in direzione Z globale del sistema di riferimento locale del vincolo
- **Azim**: Angolo formato fra la proiezione dell'asse Z locale sul piano XY e l'asse X globale (azimut)
- **CoZe**: Angolo formato fra l'asse Z locale e l'asse Z globale (complemento allo zenit)
- **Ass.** : Rotazione attorno dell'asse Z locale del sistema di riferimento locale

ATTRIBUTO DI VERSO PER I VINCOLI UNILATERI

- **Tr. X** : Attributo sul verso dello spostamento impedito dal vincolo unilatero lungo la direzione X
- **Tr. Y** : Attributo sul verso dello spostamento impedito dal vincolo unilatero lungo la direzione Y
- **Tr. Z** : Attributo sul verso dello spostamento impedito dal vincolo unilatero lungo la direzione Z
- **Rot.X** : Attributo sul verso della rotazione impedita dal vincolo unilatero lungo l'asse vettore X
- **Rot.Y** : Attributo sul verso della rotazione impedita dal vincolo unilatero lungo l'asse vettore Y
- **Rot.Z** : Attributo sul verso della rotazione impedita dal vincolo unilatero lungo l'asse vettore Z

Gli attributi sul verso degli spostamenti e delle rotazioni possono assumere i seguenti valori:

1 = Impedisce gli spostamenti sia positivi che negativi
3 = Impedisce solo gli spostamenti positivi
5 = Impedisce solo gli spostamenti negativi

• **SPECIFICHE CAMPI TABELLA DI STAMPA**

Si riporta appresso la spiegazione delle sigle usate nelle tabelle carichi termici aste, carichi distribuiti aste, carichi concentrati, carichi termici shell e carichi shell.

CARICHI ASTE

- **Asta3d** : Numero dell'asta spaziale
- **Dt** : Delta termico costante
- **ALI.SISMICA** : Coefficiente di riduzione del sovraccarico per la condizione in stampa ai fini del calcolo della massa sismica
- **Riferimento** : Sistema di riferimento dei carichi (0 globale ; 1 locale)
- **Qx** : Carico distribuito in direzione X sul nodo iniziale
- **Qy** : Carico distribuito in direzione Y sul nodo iniziale
- **Qz** : Carico distribuito in direzione Z sul nodo iniziale
- **Qx** : Carico distribuito in direzione X sul nodo finale
- **Qy** : Carico distribuito in direzione Y sul nodo finale
- **Qz** : Carico distribuito in direzione Z sul nodo finale
- **Mt** : Momento torcente distribuito

CARICHI CONCENTRATI

- **Nodo3d** : Numero del nodo spaziale
- **Fx** : Forza in direzione X nel sistema di riferimento globale
- **Fy** : Forza in direzione Y nel sistema di riferimento globale
- **Fz** : Forza in direzione Z nel sistema di riferimento globale
- **Mx** : Momento in direzione X nel sistema di riferimento globale
- **My** : Momento in direzione Y nel sistema di riferimento globale
- **Mz** : Momento in direzione Z nel sistema di riferimento globale

CARICHI SHELL

- **Shell** : Numero dello shell spaziale
- **Dt** : Delta termico costante
- **Riferimento** : Sistema di riferimento delle pressioni e dei carichi distribuiti; verticale è la direzione dell'asse Z del sistema di riferimento globale, normale è la direzione ortogonale all'elemento per le pressioni e ortogonale al lato per i carichi distribuiti. Codici:

0 = pressione verticale e carico normale
1 = pressione normale e carico verticale
2 = pressione normale e carico normale
3 = pressione verticale e carico verticale

- **P.a** : Pressione sul primo vertice dello shell
- **P.b** : Pressione sul secondo vertice dello shell
- **P.c** : Pressione sul terzo vertice dello shell
- **P.d** : Pressione sul quarto vertice dello shell
- **Q.ab** : Carico distribuito sul lato ab
- **Q.bc** : Carico distribuito sul lato bc
- **Q.cd** : Carico distribuito sul lato cd
- **Q.da** : Carico distribuito sul lato da

- **SPECIFICHE CAMPI TABELLA DI STAMPA**

Si riporta di seguito la spiegazione delle sigle usate nella tabella di stampa della composizione degli elementi bidimensionali e la numerazione dei vertici dei microelementi in cui questi vengono suddivisi.

Macro N.ro : *Numero identificativo del macroelemento definito in fase di input*

Col.1/2/3/4/5/6 : *Numero del microelemento in cui viene suddiviso il macroelemento in fase di calcolo*

Micro N.ro : *Numero identificativo del microelemento*

Macro N.ro : *Numero identificativo del macroelemento a cui appartiene il microelemento*

Vert.1 : *Numero del primo vertice del microelemento*

Vert.2 : *Numero del secondo vertice del microelemento*

Vert.3 : *Numero del terzo vertice del microelemento*

Vert.4 : *Numero del quarto vertice del microelemento*

ARCHIVIO SEZIONI ASTE IN C.A.O.

Tipologia Rettangolare					Tipologia Rettangolare			
Sez. N.ro	Base (cm)	Altezza (cm)	Magrone (cm)		Sez. N.ro	Base (cm)	Altezza (cm)	Magrone (cm)
1	30.0	30.0	0.0		3	30.0	50.0	0.0
4	30.0	60.0	0.0		35	90.0	24.0	0.0
36	40.0	24.0	0.0		37	100.0	24.0	0.0
38	50.0	24.0	0.0		40	80.0	24.0	0.0
41	75.0	24.0	0.0		42	100.0	24.0	0.0
43	80.0	24.0	0.0		44	90.0	24.0	0.0
46	75.0	24.0	0.0		50	100.0	24.0	0.0
52	80.0	24.0	0.0		53	75.0	24.0	0.0
54	30.0	50.0	0.0		55	70.0	24.0	0.0
69	80.0	24.0	0.0		83	40.0	24.0	0.0

ARCHIVIO SEZIONI ASTE IN C.A.O.

Tipologia a 'T'							
Sez. N.ro	Ala sx. B1 (cm)	B Anima B2 (cm)	Ala dx. B3 (cm)	Altezza B4 (cm)	Sp. Ali B5 (cm)	H Anima B6 (cm)	Largh. Magrone (cm)
11	20.0	30.0	20.0	60.0	20.0	40.0	100.0
57	5.0	60.0	5.0	90.0	40.0	40.0	100.0
77	0.0	30.0	85.0	60.0	24.0	36.0	0.0

ARCHIVIO SEZIONI ASTE IN C.A.O.

Tipologia Circolare				Tipologia Circolare				Tipologia Circolare		
Sez. N.ro	Raggio (cm)	Magrone (cm)		Sez. N.ro	Raggio (cm)	Magrone (cm)		Sez. N.ro	Raggio (cm)	Magrone (cm)
22	20.0	0.0								

ARCHIVIO SEZIONI ASTE IN C.A.O.

Tipologia Poligonale																			
Sez. N.ro		V1 (cm)	V2 (cm)	V3 (cm)	V4 (cm)	V5 (cm)	V6 (cm)	V7 (cm)	V8 (cm)	V9 (cm)	V10 (cm)	Magr (cm)	Forma Poligon.	b1 cm	b2 cm	b3 cm	b4 cm	b5 cm	b6 cm
84	X	0.0	48.0	96.0	89.3	48.0	6.7					0	Colmo2	24	50	14			
	Y	23.0	37.0	23.0	0.0	12.0	0.0					0							

ARCHIVIO SEZIONI ASTE IN C.A.O.

CARATTERISTICHE STATICHE DELLE SEZIONI IN C.A.O.

Sez. N.ro	Area (cm2)	I _{xg} (cm4)	I _{yg} (cm4)	I _p (cm4)
1	900	67500	67500	135000
3	1500	312500	112500	425000
4	1800	540000	135000	675000
11	2600	788205	661667	1449872
22	1257	125664	125664	251327
35	2160	103680	1458000	1561680
36	960	46080	128000	174080
37	2400	115200	2000000	2115200
38	1200	57600	250000	307600
40	1920	92160	1024000	1116160
41	1800	86400	843750	930150
42	2400	115200	2000000	2115200
43	1920	92160	1024000	1116160
44	2160	103680	1458000	1561680

ARCHIVIO SEZIONI ASTE IN C.A.O.

CARATTERISTICHE STATICHE DELLE SEZIONI IN C.A.O.				
Sez. N.ro	Area (cm ²)	I _{xg} (cm ⁴)	I _{yg} (cm ⁴)	I _p (cm ⁴)
46	1800	86400	843750	930150
50	2400	115200	2000000	2115200
52	1920	92160	1024000	1116160
53	1800	86400	843750	930150
54	1500	312500	112500	425000
55	1680	80640	686000	766640
57	5850	3931369	2093544	6024912
69	1920	92160	1024000	1116160
77	3840	947745	4524852	5472597
83	960	46080	128000	174080
84	2232	138822	1490991	1629812

ARCHIVIO SEZIONI ASTE IN MURATURA

Archivio Sezioni Aste in Muratura									
Sez. N.ro	BaseInf B1 (cm)	BaseSup B2 (cm)	Scostam Db (cm)	H Inf. H1 (cm)	H Sup. H2 (cm)	Criter. Architr N.ro	Sezione Architr N.ro	Mater. Sh.Inf. N.ro	Mater. Sh.Sup. N.ro
1	60.0	0.0	0.0	486.6	0.0	0	0	11	0
2	60.0	0.0	0.0	84.0	0.0	0	0	11	0
3	60.0	60.0	0.0	90.0	50.0	0	0	11	11
4	60.0	0.0	0.0	190.0	0.0	0	0	11	0
5	60.0	0.0	0.0	75.7	0.0	0	0	11	0
6	60.0	0.0	0.0	162.0	0.0	0	0	11	0
7	60.0	60.0	0.0	100.0	50.0	0	0	11	11
8	60.0	0.0	0.0	198.0	0.0	0	0	11	0
9	60.0	0.0	0.0	130.4	0.0	0	0	11	0
10	45.0	0.0	0.0	43.0	0.0	0	0	11	0
11	45.0	45.0	0.0	90.0	50.0	0	0	11	11
12	45.0	0.0	0.0	190.0	0.0	0	0	11	0
13	60.0	0.0	0.0	137.5	0.0	0	0	11	0
14	0.0	60.0	0.0	0.0	50.0	0	0	0	11
15	60.0	0.0	0.0	184.0	0.0	0	0	11	0
16	60.0	0.0	0.0	118.4	0.0	0	0	11	0
17	60.0	0.0	0.0	108.0	0.0	0	0	11	0
18	60.0	0.0	0.0	126.0	0.0	0	0	11	0
19	60.0	0.0	0.0	221.0	0.0	0	0	11	0
20	60.0	0.0	0.0	727.7	0.0	0	0	11	0
21	60.0	0.0	0.0	216.3	0.0	0	0	11	0
22	60.0	0.0	0.0	334.2	0.0	0	0	11	0
23	45.0	0.0	0.0	93.7	0.0	0	0	11	0
24	60.0	0.0	0.0	181.0	0.0	0	0	11	0
25	60.0	0.0	0.0	80.0	0.0	0	0	11	0
26	60.0	0.0	0.0	155.9	0.0	0	0	11	0
27	60.0	0.0	0.0	212.0	0.0	0	0	11	0
28	0.0	60.0	0.0	0.0	20.0	0	0	0	11
29	60.0	0.0	0.0	100.0	0.0	0	0	11	0
30	60.0	0.0	0.0	167.1	0.0	0	0	11	0
31	0.0	60.0	0.0	0.0	75.0	0	0	0	11
32	60.0	60.0	0.0	90.0	75.0	0	0	11	11
33	60.0	0.0	0.0	104.0	0.0	0	0	11	0
34	60.0	0.0	0.0	161.0	0.0	0	0	11	0

ARCHIVIO SEZIONI ASTE IN MURATURA

Archivio Sezioni Aste in Muratura

Sez. N.ro	BaseInf B1 (cm)	BaseSup B2 (cm)	Scostam Db (cm)	H Inf. H1 (cm)	H Sup. H2 (cm)	Criter. Architr N.ro	Sezione Architr N.ro	Mater. Sh.Inf. N.ro	Mater. Sh.Sup. N.ro
35	60.0	60.0	0.0	90.0	90.0	0	0	11	11
36	60.0	0.0	0.0	60.0	0.0	0	0	11	0
37	60.0	0.0	0.0	25.0	0.0	0	0	11	0
38	60.0	0.0	0.0	10.0	0.0	0	0	11	0
39	60.0	0.0	0.0	140.7	0.0	0	0	11	0
40	60.0	0.0	0.0	472.8	0.0	0	0	11	0
41	45.0	0.0	0.0	238.0	0.0	0	0	11	0
42	40.0	60.0	10.0	90.0	70.0	0	0	11	11
43	40.0	60.0	10.0	90.0	80.0	0	0	11	11
44	60.0	0.0	0.0	90.0	0.0	0	0	11	0
45	40.0	45.0	2.4	90.0	70.0	0	0	11	11
46	60.0	0.0	0.0	20.0	0.0	0	0	11	0
47	40.0	60.0	-10.0	90.0	70.0	0	0	11	11
48	60.0	0.0	0.0	150.0	0.0	0	0	11	0
49	60.0	0.0	0.0	29.9	0.0	0	0	11	0
50	60.0	0.0	0.0	40.0	0.0	0	0	11	0
51	60.0	0.0	0.0	169.0	0.0	0	0	11	0
52	45.0	45.0	0.0	90.0	70.0	0	0	11	11
53	0.0	45.0	0.0	0.0	70.0	0	0	0	11
54	40.0	0.0	0.0	486.6	0.0	0	0	11	0
55	40.0	0.0	0.0	84.0	0.0	0	0	11	0
56	0.0	40.0	0.0	0.0	70.0	0	0	0	11
57	40.0	0.0	0.0	75.7	0.0	0	0	11	0
58	40.0	0.0	0.0	43.0	0.0	0	0	11	0
59	40.0	0.0	0.0	137.5	0.0	0	0	11	0
60	40.0	0.0	0.0	162.0	0.0	0	0	11	0
61	40.0	0.0	0.0	198.0	0.0	0	0	11	0
62	40.0	0.0	0.0	108.0	0.0	0	0	11	0
63	40.0	0.0	0.0	20.0	0.0	0	0	11	0
64	40.0	0.0	0.0	184.0	0.0	0	0	11	0
65	40.0	0.0	0.0	140.0	0.0	0	0	11	0
66	40.0	0.0	0.0	118.4	0.0	0	0	11	0
67	40.0	0.0	0.0	221.0	0.0	0	0	11	0
68	40.0	0.0	0.0	727.7	0.0	0	0	11	0
69	40.0	0.0	0.0	189.0	0.0	0	0	11	0
70	40.0	0.0	0.0	216.3	0.0	0	0	11	0
71	40.0	0.0	0.0	181.0	0.0	0	0	11	0
72	40.0	0.0	0.0	155.9	0.0	0	0	11	0
73	40.0	0.0	0.0	212.0	0.0	0	0	11	0
74	40.0	0.0	0.0	150.0	0.0	0	0	11	0
75	40.0	0.0	0.0	103.9	0.0	0	0	11	0
76	40.0	0.0	0.0	40.0	0.0	0	0	11	0
77	40.0	0.0	0.0	29.9	0.0	0	0	11	0
78	40.0	0.0	0.0	167.1	0.0	0	0	11	0
79	40.0	0.0	0.0	161.0	0.0	0	0	11	0
80	40.0	0.0	0.0	80.7	0.0	0	0	11	0
81	40.0	0.0	0.0	169.0	0.0	0	0	11	0
82	40.0	0.0	0.0	472.8	0.0	0	0	11	0
83	40.0	0.0	0.0	334.2	0.0	0	0	11	0

Tabulati di calcolo – Palazzo Magnalbò

ARCHIVIO MATERIALE FRP												
ARCHIVIO MATERIALI FRP												
Mater N.ro	Descrizione Materiale	Tipo Fibra	Orientam. Fibre	Gramm g/mq	Dens. kg/mc	SpessEq. (mm)	AreaRes mmq/m	Traz. N/mmq	CarMax kN/m	ModElast N/mmq	Eps fk (%)	Tipo Appl
1	Mapewrap C Quadri-AX	Carbonio	QuadriAss	380	10	0.0530	106	4800	500	230000	2.100	A
2	Geosteel G1220	Carbonio	MonoAss.	1200	10	0.1690	171	3000	470	190000	2.000	A
3	GeoSteel G2000	Carbonio	MonoAss.	2000	1820	0.2540	254	3000	700	190000	2.100	A

CRITERI DI PROGETTO															
IDEN	ASTE ELEVAZIONE														
Crit	Def	%Scorr	P max.	P min.	τ Mtmin	Ferri	Elim	Tipo	Fl.	DenX	DenX	DenY	DenY	%Mag	%Rid
	N.ro	Tag	Staffe	Staffe	Staffe	dN/cm ^q	parete	cm	verif.	rett	pos.	neg.	pos.	neg.	car.
1	si	100	30	0	3	no	200	Mx	1	0	0	0	0	0	100

CRITERI DI PROGETTO							
IDEN	ASTE FONDAZIONE						
Crit N.ro	Min T/σ	Verif. Alette	%Scorr Staffe	P max. Staffe	P min. Staffe	τMtmin dN/cmq	Ferri parete
2	no	no	100	33	0	3	no

CRITERI DI PROGETTO										
IDEN		PILASTRI				IDEN		PILASTRI		
Crit N.ro	Def Tag	τ Mtmin dN/cm ^q	Tipo verif.			Crit N.ro	Def Tag	τ Mtmin dN/cm ^q	Tipo verif.	
3	si	3.0	Dev.							

CRITERI DI PROGETTO																			
IDENTIF.		CARATTERISTICHE DEL MATERIALE							DURABILITA'			CARATTER.COSTRUTTIVE						FLAG	
Crit	Elem.	% Rig	% Rig	Classe	Classe	Mod. El	Pois	Gamm a	Tipo	Tipo	Toll.	Copr	Copr	Fi	Fi	Lun	Li	App	
N.ro		Tors.	Fless	CLS	Acciaio	daN/cmq	son	dN/mc	Ambiente	Armatura	Copr.	staf	ferr	min	st	sta	n.	esi	
1	ELEV.	10	100	PROV	PROV	256434	0.20	2500	ORDIN. X0	POCO SENS.	0.00	2.0	3.5	14	8	60	0	0	
2	FOND.	10	100	PROV	PROV	256434	0.20	2500	ORDIN. X0	POCO SENS.	0.00	2.0	3.5	14	8	60	0		
3	PILAS	60	100	PROV	PROV	256434	0.20	2500	ORDIN. X0	POCO SENS.	0.00	2.0	3.5	14	8	50	0		

CRITERI DI PROGETTO																									
CRITERI PER IL CALCOLO AGLI STATI LIMITE ULTIMI E DI ESERCIZIO																									
Cri Nro	Tipo Elem	fck	fcd	rcd	fyk	ftk	fyd	Ey	ec0	ecu	eyu	At/ Ac	Mt/ Mtu	Wra mm	Wfr mm	Wpe mm	σcRar	σcPer	σfRar	Spo Rar	Spo Fre	Spo Per	Coe Vis	euk	
		-----			-----													-- daN/cmq ---							
1	ELEV.	148.0	98.0	98.0	2815	2815	2447	2100000	0.20	0.35	1.00	50	10			0.4	0.3	88.0	66.0	2252				2.0	0.08
2	FOND.	148.0	98.0	98.0	2815	2815	2447	2100000	0.20	0.35	1.00	50	10			0.4	0.3	88.0	66.0	2252				2.0	0.08
3	PILAS	148.0	98.0	98.0	2815	2815	2447	2100000	0.20	0.35	1.00	50	10			0.4	0.3	88.0	66.0	2252				2.0	0.08

MATERIALI SHELL IN C.A.											
IDENT	%	CARATTERISTICHE					DURABILITA'			COPRIFERRO	
Mat. N.ro	Rig Fls	Classe dN/cmq	Classe Acciaio	Mod. E dN/cmq	Pois-son	Gamma dN/mc	Tipo Ambiente	Tipo Armatura	Toll. Copr.	Setti (cm)	Piastre (cm)
1	100	PROV	PROV	247532	0.20	2500	ORDIN. X0	POCO SENS.	0.00	2.0	2.0

MATERIALI SHELL IN C.A.																								
CRITERI PER IL CALCOLO AGLI STATI LIMITE ULTIMI E DI ESERCIZIO																								
Cri Nro	Tipo Elem	fck	fcd	rcd	fyk	ftk	fyd	Ey	ec0	ecu	eyu	At/ Ac	Mt/ Mtu	Wra mm	Wfr mm	Wpe mm	σcRar	σcPer	σfRar	Spo	Spo	Spo	Coe	euk
					----- daN/cmq	----- daN/cmq												-- daN/cmq	---		Rar	Fre	Per	Vis
1	SETTI	148.0	98.0	98.0	2815	2815	2447	2100000	0.20	0.35	1.00	50				0.4	0.3	88.0	66.0	2533				

DATI MASCHI MURARI 1/3																			
IDEN	MATERIALE DI BASE					DATI DI RETE FRP							DATI NASTRI METALLICI PRETESI						
Mat. N.ro	fm dN/cmq	tau0 dN/cmq	Mod.E dN/cmq	Mod.G dN/cmq	Peso dN/mc	Re te	DESCRIZIONE	TipoFibra	Gram g/mq	Magl mm	Traz daN	Eul %	NM P.	Sner daN/cmq	Rott daN/cmq	Sp. mm	Larg mm	IntX m	Int.Y m
11	10.00	0.20	8700	2900	1900	NO							NO						

DATI MASCHI MURARI 2/3																	
IDEN	COEFFICIENTI CORRETTIVI DEL MATERIALE DI BASE DI MURATURE ESISTENTI							TIRANTE	RINFORZO CON RETE IN ACCIAIO						PRECOMPRES		
Mat. N.ro	Malta Buona	Giunti Sottili	Ricorsi Listat.	Conness. Trasvers	Nucleo Scadente	Iniezioni Leganti	Intonaco Armato	Rd (t)	Re te	Classe CLS	Classe Acc.	Fi mm	Pas cm	Spsx (cm)	Spdx (cm)	Sforz (t)	Pass (cm)
11	1.00	1.00	1.00	1.00	1.00	1.00	1.00	1.00	NO								

Tabulati di calcolo – Palazzo Magnalbò

DATI MASCHI MURARI 3/3

IDEN	PARAMETRI MECCANICI MATERIALE RISULTANTE								DEFORM.ULT.		Descrizione Estesa
Mat. N.ro	Gamma dN/mc	Fk daN/cm ²	Fkv daN/cm ²	Fk/F (F=Fatt.Conf.)	Fkv/F	Mod.E daN/cm ²	Mod.G daN/cm ²	Rig.Fes %	Tagl. (u/h)	Fless	
11	1900	10.0	0.2	7.4	0.1	8700	2900	50	0.004	0.006	Pietrame disordin.

MATERIALI SETTI CLS DEBOLMENTE ARMATI

IDEN	COMPONENTI			PILASTRINI			TRAVETTE			DATI DI CALCOLO				
Mat. N.ro	Tipo Cassero	Classe CLS	Classe Acc.	Base cm	Altez. cm	Inter. cm	Base cm	Altez. cm	Inter. cm	Sp.Equiv. cm	Gamma Eq. daN/mq	Rid.Mod.G	Coprif. cm	Strati Armature
2	LegnoBloc	C25/30	B450C	18.80	16.00	22.80	14.00	10.00	25.00	12.00	433.00	2.20	2.00	1
3	LegnoBloc	C25/30	B450C	18.80	14.00	22.80	14.00	10.00	25.00	10.60	384.00	2.20	2.00	1
4	LegnoBloc	C25/30	B450C	21.00	18.00	25.00	16.00	10.00	25.00	15.12	488.00	2.20	2.00	1
5	LegnoBloc	C25/30	B450C	18.00	17.50	25.00	14.00	10.00	25.00	12.60	509.00	2.20	2.00	1
6	LegnoBloc	C25/30	B450C	18.00	11.00	25.00	14.00	10.00	25.00	7.90	495.00	2.20	2.00	1
7	LegnoBloc	C25/30	B450C	18.80	12.00	22.80	14.00	10.00	25.00	9.00	316.00	2.20	2.00	1
8	LegnoBloc	C25/30	B450C	19.50	15.00	25.00	14.00	10.00	25.00	11.70	368.00	2.20	2.00	1
9	LegnoBloc	C25/30	B450C	19.50	18.00	25.00	14.00	10.00	25.00	14.00	445.00	2.20	2.00	1
10	LegnoBloc	C25/30	B450C	19.50	21.00	25.00	14.00	10.00	25.00	16.40	511.00	2.20	2.00	1

CRITERI DI PROGETTO GEOTECNICI - FONDAZIONI SUPERFICIALI E SU PALI

IDEN	COSTANTE WINKLER			IDEN	COSTANTE WINKLER			IDEN	COSTANTE WINKLER		
Crit N.ro	KwVert daN/cmc	KwOriz. daN/cmc		Crit N.ro	KwVert daN/cmc	KwOriz. daN/cmc		Crit N.ro	KwVert daN/cmc	KwOriz. daN/cmc	
1	15.00	0.00		2	10.00	0.00					

DATI GENERALI DI STRUTTURA

DATI GENERALI DI STRUTTURA			
Massima dimens. dir. X (m)	25.42	Altezza edificio (m)	11.95
Massima dimens. dir. Y (m)	21.27	Differenza temperatura(°C)	15
PARAMETRI SISMICI			
Vita Nominale (Anni)	50	Classe d' Uso	SECONDA
Longitudine Est (Grd)	13.56044	Latitudine Nord (Grd)	42.95468
Categoria Suolo	B	Coeff. Condiz. Topogr.	1.00000
Sistema Costruttivo Dir.1	Muratura	Sistema Costruttivo Dir.2	Muratura
Regolarita' in Altezza	NO(KR=.8)	Regolarita' in Pianta	NO
Direzione Sisma (Grd)	0	Sisma Verticale	ASSENTE
Effetti P/Delta	NO	Quota di Zero Sismico (m)	0.00000
PARAMETRI SPETTRO ELASTICO - SISMA S.L.D.			
Probabilita' Pvr	0.63	Periodo di Ritorno Anni	50.00
Accelerazione Ag/g	0.07	Periodo T'c (sec.)	0.29
Fo	2.44	Fv	0.88
Fattore Stratigrafia'Ss'	1.20	Periodo TB (sec.)	0.14
Periodo TC (sec.)	0.41	Periodo TD (sec.)	1.88
PARAMETRI SPETTRO ELASTICO - SISMA S.L.V.			
Probabilita' Pvr	0.10	Periodo di Ritorno Anni	475.00
Accelerazione Ag/g	0.18	Periodo T'c (sec.)	0.34
Fo	2.45	Fv	1.39
Fattore Stratigrafia'Ss'	1.20	Periodo TB (sec.)	0.15
Periodo TC (sec.)	0.46	Periodo TD (sec.)	2.31
PARAMETRI SISTEMA COSTRUTTIVO MURATURA - D I R. 1			
Sistema Strutturale	Ordinaria	AlfaU/Alfa1	1.50
Fattore di struttura 'q'	1.88		
PARAMETRI SISTEMA COSTRUTTIVO MURATURA - D I R. 2			
Sistema Strutturale	Ordinaria	AlfaU/Alfa1	1.50
Fattore di struttura 'q'	1.88		
COEFFICIENTI DI SICUREZZA PARZIALI DEI MATERIALI			
Acciaio per CLS armato	1.15	Calcestruzzo CLS armato	1.50

Tabulati di calcolo – Palazzo Magnalbò

Muratura azioni sismiche	2.00	Muratura azioni statiche	3.00
Legno per comb. eccez.	1.00	Legno per comb. fondament.:	1.50
Livello conoscenza	LC1		
FRP Collasso Tipo 'A'	1.10	FRP Delaminazione Tipo 'A'	1.20
FRP Collasso Tipo 'B'	1.25	FRP Delaminazione Tipo 'B'	1.50
FRP Resist. Press/Fless	1.00	FRP Resist. Taglio/Torsione	1.20
FRP Resist. Confinamento	1.10		

DATI GENERALI DI STRUTTURA

DATI DI CALCOLO PER AZIONE NEVE			
Zona Geografica	II	Coefficiente Termico	1.00
Altitudine sito s.l.m. (m)	395	Coefficiente di forma	0.80
Tipo di Esposizione	Normale	Coefficiente di esposizione	1.00
Carico di riferimento kg/mq	142	Carico neve di calcolo kg/mq	113.00
Il calcolo della neve e' effettuato in base al punto 3.4 del D.M. 2008 e relative modifiche e integrazioni riportate nella Circolare del 26/02/2008			

ATTRIBUTI TAMPONATURE SU PIANI SISMICI

IDENTIFICATIV		ATTRIBUTI	
Piano N.ro	Quota (m)	Irregol Pianta	Piano Soffice
1	3.80	NO	NO
2	6.80	NO	NO
3	9.80	NO	NO

COORDINATE DEI NODI

IDENT.	POSIZIONE NODO			ATTRIBUTI		PESO SISMICO		
Nodo3d N.ro	Coord.X (m)	Coord.Y (m)	Coord.Z (m)	Filo N.ro	Piano Sism.	Dir. X (t)	Dir. Y (t)	Dir. Z (t)
1	4.24	7.93	0.00	31	0	0.00	0.00	0.87
2	3.05	7.90	0.00	43	0	0.00	0.00	6.30
3	1.87	7.87	0.00	83	0	0.00	0.00	2.71
4	0.68	7.83	0.00	49	0	0.00	0.00	2.18
5	10.52	6.14	0.00	9	0	10.31	10.31	10.31
6	10.85	0.65	0.00	4	0	9.20	9.20	9.20
7	5.30	0.29	0.00	2	0	10.48	10.48	10.48
8	0.00	0.00	0.00	1	0	6.02	6.02	6.02
9	14.69	0.89	0.00	5	0	5.90	5.90	5.90
10	8.38	0.39	0.00	3	0	1.71	1.71	1.71
11	4.91	6.55	0.00	8	0	11.52	11.52	11.52
12	6.93	8.32	0.00	11	0	5.75	5.75	5.75
13	7.01	10.83	0.00	14	0	6.70	6.70	6.70
14	11.98	8.16	0.00	12	0	7.29	7.29	7.29
15	12.06	10.65	0.00	13	0	12.35	12.35	12.35
16	0.08	5.42	0.00	6	0	5.74	5.74	5.74
17	0.12	7.64	0.00	7	0	2.45	2.45	2.45
18	15.71	6.91	0.00	10	0	8.73	8.73	8.73
19	17.00	11.84	0.00	16	0	8.07	8.07	8.07
20	18.14	15.28	0.00	17	0	4.36	4.36	4.36
21	12.47	16.29	0.00	18	0	8.41	8.41	8.41
22	8.81	16.89	0.00	19	0	6.39	6.39	6.39
23	8.41	12.59	0.00	15	0	3.54	3.54	3.54
24	6.12	17.34	0.00	20	0	5.22	5.22	5.22

COORDINATE DEI NODI

IDENT.	POSIZIONE NODO			ATTRIBUTI		PESO SISMICO		
Nodo3d N.ro	Coord.X (m)	Coord.Y (m)	Coord.Z (m)	Filo N.ro	Piano Sism.	Dir. X (t)	Dir. Y (t)	Dir. Z (t)
25	-6.43	13.99	0.00	23	0	5.60	5.60	5.60
26	-5.25	20.43	0.00	24	0	5.28	5.28	5.28
27	-2.11	13.18	0.00	22	0	7.67	7.67	7.67
28	2.10	12.68	0.00	21	0	7.16	7.16	7.16
29	2.84	18.01	0.00	26	0	7.90	7.90	7.90
30	-1.33	19.25	0.00	25	0	7.95	7.95	7.95
31	5.42	12.12	0.00	27	0	5.53	5.53	5.53
32	0.21	7.82	0.00	84	0	0.00	0.00	2.67
33	-0.26	7.81	0.00	30	0	0.00	0.00	1.56
34	-0.29	6.14	0.00	85	0	0.00	0.00	8.86
35	-0.30	5.59	0.00	48	0	0.00	0.00	1.22
36	-0.28	4.47	0.00	29	0	0.00	0.00	2.60
37	-0.31	2.03	0.00	86	0	0.00	0.00	14.10
38	-0.34	-0.40	0.00	28	0	0.00	0.00	2.39
39	0.49	-0.35	0.00	87	0	0.00	0.00	5.25
40	1.73	-0.27	0.00	88	0	0.00	0.00	4.96
41	2.49	-0.22	0.00	32	0	0.00	0.00	0.87
42	2.92	-0.19	0.00	89	0	0.00	0.00	3.11
43	4.12	-0.11	0.00	33	0	0.00	0.00	2.37
44	4.81	-0.07	0.00	90	0	0.00	0.00	4.77
45	5.49	-0.03	0.00	50	0	0.00	0.00	2.50
46	6.59	0.04	0.00	91	0	0.00	0.00	2.66
47	7.50	0.10	0.00	92	0	0.00	0.00	5.90
48	8.40	0.16	0.00	51	0	0.00	0.00	2.51
49	9.96	0.26	0.00	93	0	0.00	0.00	2.43
50	10.74	0.31	0.00	52	0	0.00	0.00	5.16
51	11.51	0.36	0.00	94	0	0.00	0.00	3.04
52	12.87	0.45	0.00	95	0	0.00	0.00	3.61
53	14.42	0.55	0.00	53	0	0.00	0.00	7.06
54	14.99	0.58	0.00	34	0	0.00	0.00	1.01
55	15.12	1.38	0.00	96	0	0.00	0.00	5.54
56	15.26	2.18	0.00	97	0	0.00	0.00	3.01
57	15.49	3.49	0.00	98	0	0.00	0.00	3.14
58	15.65	4.47	0.00	99	0	0.00	0.00	6.14
59	15.82	5.44	0.00	100	0	0.00	0.00	1.20
60	15.93	6.09	0.00	101	0	0.00	0.00	4.05
61	16.04	6.73	0.00	54	0	0.00	0.00	1.03
62	16.17	7.47	0.00	102	0	0.00	0.00	4.30
63	16.42	8.95	0.00	35	0	0.00	0.00	2.35
64	16.59	9.46	0.00	103	0	0.00	0.00	3.17
65	16.75	9.97	0.00	104	0	0.00	0.00	0.86
66	16.95	10.57	0.00	105	0	0.00	0.00	3.70
67	17.15	11.17	0.00	106	0	0.00	0.00	0.89
68	17.33	11.72	0.00	55	0	0.00	0.00	4.91
69	17.67	12.76	0.00	107	0	0.00	0.00	3.37
70	18.28	14.64	0.00	108	0	0.00	0.00	2.96
71	18.44	15.13	0.00	109	0	0.00	0.00	3.14
72	18.61	15.63	0.00	36	0	0.00	0.00	0.81
73	18.02	15.72	0.00	110	0	0.00	0.00	4.16
74	17.44	15.82	0.00	111	0	0.00	0.00	2.97
75	16.06	16.05	0.00	112	0	0.00	0.00	3.21

COORDINATE DEI NODI

IDENT. Nodo3d N.ro	POSIZIONE NODO			ATTRIBUTI		PESO SISMICO		
	Coord.X (m)	Coord.Y (m)	Coord.Z (m)	Filo N.ro	Piano Sism.	Dir. X (t)	Dir. Y (t)	Dir. Z (t)
76	15.15	16.20	0.00	113	0	0.00	0.00	6.15
77	14.24	16.35	0.00	114	0	0.00	0.00	3.87
78	12.50	16.63	0.00	56	0	0.00	0.00	3.78
79	11.71	16.77	0.00	115	0	0.00	0.00	4.32
80	10.21	17.01	0.00	116	0	0.00	0.00	2.56
81	8.96	17.22	0.00	57	0	0.00	0.00	5.10
82	8.62	17.28	0.00	117	0	0.00	0.00	0.43
83	8.37	17.32	0.00	118	0	0.00	0.00	4.39
84	6.42	17.64	0.00	58	0	0.00	0.00	4.11
85	5.72	17.75	0.00	119	0	0.00	0.00	4.56
86	5.03	17.87	0.00	120	0	0.00	0.00	1.71
87	3.53	18.12	0.00	37	0	0.00	0.00	1.67
88	2.91	18.30	0.00	59	0	0.00	0.00	5.35
89	2.04	18.57	0.00	121	0	0.00	0.00	6.00
90	-0.77	19.42	0.00	122	0	0.00	0.00	5.68
91	-1.22	19.56	0.00	60	0	0.00	0.00	0.81
92	-1.83	19.74	0.00	123	0	0.00	0.00	6.90
93	-2.89	20.06	0.00	124	0	0.00	0.00	3.67
94	-4.40	20.52	0.00	125	0	0.00	0.00	3.30
95	-4.96	20.70	0.00	126	0	0.00	0.00	4.16
96	-5.53	20.87	0.00	38	0	0.00	0.00	3.09
97	-6.17	17.29	0.00	127	0	0.00	0.00	21.08
98	-6.82	13.71	0.00	39	0	0.00	0.00	3.35
99	-5.89	13.53	0.00	128	0	0.00	0.00	6.40
100	-4.96	13.36	0.00	129	0	0.00	0.00	3.30
101	-3.54	13.09	0.00	130	0	0.00	0.00	3.64
102	-2.17	12.83	0.00	61	0	0.00	0.00	7.11
103	-1.42	12.69	0.00	131	0	0.00	0.00	3.17
104	0.00	12.43	0.00	132	0	0.00	0.00	4.39
105	2.39	11.98	0.00	40	0	0.00	0.00	14.45
106	4.67	11.72	0.00	41	0	0.00	0.00	1.68
107	6.57	9.49	0.00	66	0	0.00	0.00	1.46
108	4.36	11.15	-0.60	47	0	0.00	0.00	0.51
109	2.56	11.36	-0.60	44	0	0.00	0.00	0.50
110	4.18	9.57	-0.60	46	0	0.00	0.00	0.49
111	2.38	9.77	-0.60	45	0	0.00	0.00	0.50
112	1.71	9.24	-0.60	67	0	0.00	0.00	0.13
113	2.03	12.02	-0.60	70	0	0.00	0.00	0.13
114	4.71	8.90	-0.60	68	0	0.00	0.00	0.13
115	5.03	11.68	-0.60	69	0	0.00	0.00	0.13
116	0.00	0.00	3.80	1	1	6.85	6.85	6.85
117	5.30	0.29	3.80	2	1	11.97	11.97	11.97
118	8.38	0.39	3.80	3	1	2.00	2.00	2.00
119	10.85	0.65	3.80	4	1	10.20	10.20	10.20
120	14.69	0.89	3.80	5	1	6.87	6.87	6.87
121	0.08	5.42	3.80	6	1	7.76	7.76	7.76
122	0.12	7.64	3.80	7	1	4.30	4.30	4.30
123	4.91	6.55	3.80	8	1	15.13	15.13	15.13
124	10.52	6.14	3.80	9	1	12.52	12.52	12.52
125	15.71	6.91	3.80	10	1	8.69	8.69	8.69
126	6.93	8.32	3.80	11	1	4.87	4.87	4.87

COORDINATE DEI NODI

IDENT. Nodo3d N.ro	POSIZIONE NODO			ATTRIBUTI		PESO SISMICO		
	Coord.X (m)	Coord.Y (m)	Coord.Z (m)	Filo N.ro	Piano Sism.	Dir. X (t)	Dir. Y (t)	Dir. Z (t)
127	11.98	8.16	3.80	12	1	4.37	4.37	4.37
128	12.06	10.65	3.80	13	1	3.72	3.72	3.72
129	7.01	10.83	3.80	14	1	5.24	5.24	5.24
130	8.41	12.59	3.80	15	1	6.38	6.38	6.38
131	17.00	11.84	3.80	16	1	7.36	7.36	7.36
132	18.14	15.28	3.80	17	1	5.23	5.23	5.23
133	12.47	16.29	3.80	18	1	8.07	8.07	8.07
134	8.81	16.89	3.80	19	1	6.51	6.51	6.51
135	6.12	17.34	3.80	20	1	7.29	7.29	7.29
136	2.10	12.68	3.80	21	1	5.99	5.99	5.99
137	-2.11	13.18	3.80	22	1	8.63	8.63	8.63
138	-6.43	13.99	3.80	23	1	6.06	6.06	6.06
139	-5.25	20.43	3.80	24	1	6.03	6.03	6.03
140	-1.33	19.25	3.80	25	1	10.10	10.10	10.10
141	2.84	18.01	3.80	26	1	8.82	8.82	8.82
142	5.42	12.12	3.80	27	1	7.17	7.17	7.17
143	-0.34	-0.40	3.80	28	1	0.00	0.00	0.00
144	-0.31	2.03	3.80	86	1	18.86	18.86	18.86
145	-0.28	4.47	3.80	29	1	0.00	0.00	0.00
146	0.49	-0.35	3.80	87	1	3.76	3.76	3.76
147	1.73	-0.27	3.80	88	1	3.48	3.48	3.48
148	2.49	-0.22	3.80	32	1	0.00	0.00	0.00
149	14.99	0.58	3.80	34	1	0.00	0.00	0.00
150	15.12	1.38	3.80	96	1	5.56	5.56	5.56
151	15.26	2.18	3.80	97	1	1.14	1.14	1.14
152	15.49	3.49	3.80	98	1	1.14	1.14	1.14
153	15.65	4.47	3.80	99	1	7.38	7.38	7.38
154	15.82	5.44	3.80	100	1	0.67	0.67	0.67
155	15.93	6.09	3.80	101	1	2.56	2.56	2.56
156	16.04	6.73	3.80	54	1	0.67	0.67	0.67
157	2.92	-0.19	3.80	89	1	1.77	1.77	1.77
158	4.12	-0.11	3.80	33	1	0.72	0.72	0.72
159	4.81	-0.07	3.80	90	1	4.67	4.67	4.67
160	5.49	-0.03	3.80	50	1	0.88	0.88	0.88
161	12.50	16.63	3.80	56	1	0.06	0.06	0.06
162	12.70	16.60	3.80	133	1	1.66	1.66	1.66
163	14.24	16.35	3.80	114	1	1.24	1.24	1.24
164	15.15	16.20	3.80	113	1	6.35	6.35	6.35
165	16.06	16.05	3.80	112	1	0.20	0.20	0.20
166	16.75	15.93	3.80	134	1	2.83	2.83	2.83
167	17.44	15.82	3.80	111	1	0.20	0.20	0.20
168	18.02	15.72	3.80	110	1	3.88	3.88	3.88
169	18.61	15.63	3.80	36	1	0.00	0.00	0.00
170	16.42	8.95	3.80	35	1	0.09	0.09	0.09
171	16.59	9.46	3.80	103	1	4.24	4.24	4.24
172	16.75	9.97	3.80	104	1	0.65	0.65	0.65
173	16.95	10.57	3.80	105	1	2.68	2.68	2.68
174	17.15	11.17	3.80	106	1	0.65	0.65	0.65
175	17.33	11.72	3.80	55	1	6.51	6.51	6.51
176	-1.22	19.56	3.80	60	1	0.00	0.00	0.00
177	-1.83	19.74	3.80	123	1	7.84	7.84	7.84

COORDINATE DEI NODI

IDENT. Nodo3d N.ro	POSIZIONE NODO			ATTRIBUTI		PESO SISMICO		
	Coord.X (m)	Coord.Y (m)	Coord.Z (m)	Filo N.ro	Piano Sism.	Dir. X (t)	Dir. Y (t)	Dir. Z (t)
178	-2.89	20.06	3.80	124	1	1.26	1.26	1.26
179	-4.40	20.52	3.80	125	1	1.26	1.26	1.26
180	-4.96	20.70	3.80	126	1	3.97	3.97	3.97
181	-5.53	20.87	3.80	38	1	0.00	0.00	0.00
182	-6.17	17.29	3.80	127	1	28.21	28.21	28.21
183	-6.82	13.71	3.80	39	1	0.00	0.00	0.00
184	-5.89	13.53	3.80	128	1	6.55	6.55	6.55
185	-4.96	13.36	3.80	129	1	1.15	1.15	1.15
186	-3.54	13.09	3.80	130	1	1.15	1.15	1.15
187	-2.17	12.83	3.80	61	1	7.67	7.67	7.67
188	-0.26	7.81	3.80	30	1	0.00	0.00	0.00
189	-0.29	6.14	3.80	85	1	12.95	12.95	12.95
190	-0.30	5.59	3.80	48	1	0.00	0.00	0.00
191	2.39	11.98	3.80	40	1	17.65	17.65	17.65
192	4.67	11.72	3.80	41	1	0.00	0.00	0.00
193	0.68	7.83	3.80	49	1	0.71	0.71	0.71
194	0.21	7.82	3.80	84	1	2.33	2.33	2.33
195	3.28	9.67	-0.60	71	0	0.00	0.00	0.66
196	4.18	9.57	3.80	46	1	1.93	1.93	1.93
197	3.28	9.67	3.80	71	1	0.48	0.48	0.48
198	4.27	10.36	-0.60	135	0	0.00	0.00	0.61
199	4.26	10.26	0.50	136	0	0.30	0.30	0.30
200	4.18	9.57	0.50	46	0	0.46	0.46	0.46
201	4.26	10.22	1.83	137	0	0.16	0.16	0.16
202	4.18	9.57	1.60	46	0	0.41	0.41	0.41
203	4.26	10.22	2.67	137	0	0.16	0.16	0.16
204	4.18	9.57	2.70	46	0	0.41	0.41	0.41
205	4.26	10.22	3.50	137	0	0.13	0.13	0.13
206	4.36	11.15	0.50	47	0	0.43	0.43	0.43
207	4.36	11.15	1.60	47	0	0.27	0.27	0.27
208	4.36	11.15	2.70	47	0	0.28	0.28	0.28
209	4.35	11.05	1.83	138	0	0.02	0.02	0.02
210	4.35	11.05	2.67	138	0	0.02	0.02	0.02
211	4.35	11.05	3.50	138	0	0.05	0.05	0.05
212	4.35	11.05	1.00	138	0	0.07	0.07	0.07
213	4.26	10.22	1.00	137	0	0.16	0.16	0.16
214	4.35	11.05	3.80	138	1	0.05	0.05	0.05
215	4.26	10.22	3.80	137	1	0.12	0.12	0.12
216	4.36	11.15	3.80	47	1	1.37	1.37	1.37
217	3.46	11.25	-0.60	73	0	0.00	0.00	0.66
218	2.56	11.36	3.80	44	1	0.45	0.45	0.45
219	3.46	11.25	3.80	73	1	0.48	0.48	0.48
220	2.47	10.56	-0.60	72	0	0.00	0.00	0.61
221	2.38	9.77	3.80	45	1	0.45	0.45	0.45
222	2.47	10.56	3.80	72	1	0.42	0.42	0.42
223	8.40	0.16	3.80	51	1	1.24	1.24	1.24
224	7.50	0.10	3.80	92	1	6.48	6.48	6.48
225	6.59	0.04	3.80	91	1	0.88	0.88	0.88
226	9.96	0.26	3.80	93	1	1.24	1.24	1.24
227	10.74	0.31	3.80	52	1	5.51	5.51	5.51
228	14.42	0.55	3.80	53	1	7.38	7.38	7.38

COORDINATE DEI NODI

IDENT. Nodo3d N.ro	POSIZIONE NODO			ATTRIBUTI		PESO SISMICO		
	Coord.X (m)	Coord.Y (m)	Coord.Z (m)	Filo N.ro	Piano Sism.	Dir. X (t)	Dir. Y (t)	Dir. Z (t)
229	12.87	0.45	3.80	95	1	1.09	1.09	1.09
230	11.51	0.36	3.80	94	1	1.09	1.09	1.09
231	16.29	8.21	3.80	139	1	2.79	2.79	2.79
232	16.17	7.47	3.80	102	1	2.89	2.89	2.89
233	17.67	12.76	3.80	107	1	0.13	0.13	0.13
234	17.76	13.04	3.80	140	1	1.86	1.86	1.86
235	18.16	14.26	3.80	141	1	2.09	2.09	2.09
236	18.28	14.64	3.80	108	1	0.17	0.17	0.17
237	18.44	15.13	3.80	109	1	3.98	3.98	3.98
238	8.96	17.22	3.80	57	1	5.92	5.92	5.92
239	10.21	17.01	3.80	116	1	1.56	1.56	1.56
240	11.71	16.77	3.80	115	1	4.36	4.36	4.36
241	8.62	17.28	3.80	117	1	0.13	0.13	0.13
242	8.37	17.32	3.80	118	1	2.18	2.18	2.18
243	6.42	17.64	3.80	58	1	1.58	1.58	1.58
244	3.53	18.12	3.80	37	1	1.56	1.56	1.56
245	5.03	17.87	3.80	120	1	1.56	1.56	1.56
246	5.72	17.75	3.80	119	1	5.08	5.08	5.08
247	-0.77	19.42	3.80	122	1	1.07	1.07	1.07
248	0.42	19.06	3.80	142	1	1.31	1.31	1.31
249	1.23	18.81	3.80	143	1	3.42	3.42	3.42
250	2.04	18.57	3.80	121	1	0.24	0.24	0.24
251	2.91	18.30	3.80	59	1	5.25	5.25	5.25
252	0.00	12.43	3.80	132	1	1.15	1.15	1.15
253	-1.42	12.69	3.80	131	1	1.15	1.15	1.15
254	4.24	7.93	3.80	31	1	0.00	0.00	0.00
255	3.05	7.90	3.80	43	1	6.29	6.29	6.29
256	1.87	7.87	3.80	83	1	0.71	0.71	0.71
257	6.66	12.44	3.80	62	1	2.08	2.08	2.08
258	12.41	12.16	3.80	63	1	7.27	7.27	7.27
259	11.92	12.28	3.80	64	1	0.49	0.49	0.49
260	0.54	12.93	3.80	42	1	3.40	3.40	3.40
261	6.57	9.49	3.80	66	1	3.70	3.70	3.70
262	0.00	0.00	6.80	1	2	6.60	6.60	6.60
263	5.30	0.29	6.80	2	2	11.76	11.76	11.76
264	8.38	0.39	6.80	3	2	1.74	1.74	1.74
265	10.85	0.65	6.80	4	2	9.94	9.94	9.94
266	14.69	0.89	6.80	5	2	6.68	6.68	6.68
267	0.08	5.42	6.80	6	2	7.50	7.50	7.50
268	0.12	7.64	6.80	7	2	4.02	4.02	4.02
269	4.91	6.55	6.80	8	2	14.88	14.88	14.88
270	10.52	6.14	6.80	9	2	12.36	12.36	12.36
271	15.71	6.91	6.80	10	2	9.71	9.71	9.71
272	6.93	8.32	6.80	11	2	3.51	3.51	3.51
273	11.98	8.16	6.80	12	2	6.00	6.00	6.00
274	12.06	10.65	6.80	13	2	5.29	5.29	5.29
275	7.01	10.83	6.80	14	2	5.20	5.20	5.20
276	8.41	12.59	6.80	15	2	6.55	6.55	6.55
277	17.00	11.84	6.80	16	2	8.37	8.37	8.37
278	18.14	15.28	6.80	17	2	5.01	5.01	5.01
279	12.47	16.29	6.80	18	2	7.79	7.79	7.79

COORDINATE DEI NODI

IDENT. Nodo3d N.ro	POSIZIONE NODO			ATTRIBUTI		PESO SISMICO		
	Coord.X (m)	Coord.Y (m)	Coord.Z (m)	Filo N.ro	Piano Sism.	Dir. X (t)	Dir. Y (t)	Dir. Z (t)
280	8.81	16.89	6.80	19	2	6.23	6.23	6.23
281	6.12	17.34	6.80	20	2	7.23	7.23	7.23
282	2.10	12.68	6.80	21	2	5.71	5.71	5.71
283	-2.11	13.18	6.80	22	2	8.64	8.64	8.64
284	-6.43	13.99	6.80	23	2	6.17	6.17	6.17
285	-5.25	20.43	6.80	24	2	5.85	5.85	5.85
286	-1.33	19.25	6.80	25	2	9.87	9.87	9.87
287	2.84	18.01	6.80	26	2	8.66	8.66	8.66
288	5.42	12.12	6.80	27	2	7.14	7.14	7.14
289	-0.34	-0.40	6.80	28	2	0.00	0.00	0.00
290	-0.31	2.03	6.80	86	2	13.87	13.87	13.87
291	-0.28	4.47	6.80	29	2	0.00	0.00	0.00
292	0.49	-0.35	6.80	87	2	3.29	3.29	3.29
293	1.73	-0.27	6.80	88	2	3.05	3.05	3.05
294	2.49	-0.22	6.80	32	2	0.00	0.00	0.00
295	14.99	0.58	6.80	34	2	0.00	0.00	0.00
296	15.12	1.38	6.80	96	2	4.56	4.56	4.56
297	15.26	2.18	6.80	97	2	1.06	1.06	1.06
298	15.49	3.49	6.80	98	2	1.06	1.06	1.06
299	15.65	4.47	6.80	99	2	5.61	5.61	5.61
300	15.82	5.44	6.80	100	2	0.97	0.97	0.97
301	16.04	6.73	6.80	54	2	0.97	0.97	0.97
302	2.92	-0.19	6.80	89	2	1.81	1.81	1.81
303	4.12	-0.11	6.80	33	2	0.77	0.77	0.77
304	4.81	-0.07	6.80	90	2	3.88	3.88	3.88
305	5.49	-0.03	6.80	50	2	0.82	0.82	0.82
306	12.50	16.63	6.80	56	2	0.00	0.00	0.00
307	12.70	16.60	6.80	133	2	1.72	1.72	1.72
308	14.24	16.35	6.80	114	2	1.16	1.16	1.16
309	15.15	16.20	6.80	113	2	5.23	5.23	5.23
310	16.06	16.05	6.80	112	2	0.00	0.00	0.00
311	16.75	15.93	6.80	134	2	3.99	3.99	3.99
312	17.44	15.82	6.80	111	2	0.00	0.00	0.00
313	18.02	15.72	6.80	110	2	3.37	3.37	3.37
314	18.61	15.63	6.80	36	2	0.00	0.00	0.00
315	16.42	8.95	6.80	35	2	0.00	0.00	0.00
316	16.59	9.46	6.80	103	2	3.05	3.05	3.05
317	16.75	9.97	6.80	104	2	0.93	0.93	0.93
318	17.15	11.17	6.80	106	2	0.93	0.93	0.93
319	17.33	11.72	6.80	55	2	4.73	4.73	4.73
320	-5.53	20.87	6.80	38	2	0.00	0.00	0.00
321	-4.96	20.70	6.80	126	2	3.34	3.34	3.34
322	-4.40	20.52	6.80	125	2	1.17	1.17	1.17
323	-2.89	20.06	6.80	124	2	1.17	1.17	1.17
324	-1.83	19.74	6.80	123	2	6.26	6.26	6.26
325	-1.22	19.56	6.80	60	2	0.00	0.00	0.00
326	-6.17	17.29	6.80	127	2	20.74	20.74	20.74
327	-6.82	13.71	6.80	39	2	0.00	0.00	0.00
328	-5.89	13.53	6.80	128	2	5.37	5.37	5.37
329	-4.96	13.36	6.80	129	2	1.07	1.07	1.07
330	-3.54	13.09	6.80	130	2	1.07	1.07	1.07

COORDINATE DEI NODI

IDENT. Nodo3d N.ro	POSIZIONE NODO			ATTRIBUTI		PESO SISMICO		
	Coord.X (m)	Coord.Y (m)	Coord.Z (m)	Filo N.ro	Piano Sism.	Dir. X (t)	Dir. Y (t)	Dir. Z (t)
331	-2.17	12.83	6.80	61	2	6.12	6.12	6.12
332	-0.26	7.81	6.80	30	2	0.00	0.00	0.00
333	-0.29	6.14	6.80	85	2	9.52	9.52	9.52
334	-0.30	5.59	6.80	48	2	0.00	0.00	0.00
335	2.39	11.98	6.80	40	2	13.45	13.45	13.45
336	4.67	11.72	6.80	41	2	0.00	0.00	0.00
337	0.68	7.83	6.80	49	2	0.81	0.81	0.81
338	0.21	7.82	6.80	84	2	2.40	2.40	2.40
339	4.18	9.57	6.80	46	2	1.93	1.93	1.93
340	3.28	9.67	6.80	71	2	0.45	0.45	0.45
341	4.26	10.22	4.63	137	0	0.15	0.15	0.15
342	4.18	9.57	4.80	46	0	0.38	0.38	0.38
343	4.26	10.22	5.47	137	0	0.15	0.15	0.15
344	4.18	9.57	5.80	46	0	0.38	0.38	0.38
345	4.26	10.22	6.30	137	0	0.15	0.15	0.15
346	4.36	11.15	4.80	47	0	0.25	0.25	0.25
347	4.36	11.15	5.80	47	0	0.25	0.25	0.25
348	4.35	11.05	4.63	138	0	0.02	0.02	0.02
349	4.35	11.05	5.47	138	0	0.02	0.02	0.02
350	4.35	11.05	6.30	138	0	0.07	0.07	0.07
351	4.35	11.05	6.80	138	2	0.07	0.07	0.07
352	4.26	10.22	6.80	137	2	0.15	0.15	0.15
353	4.36	11.15	6.80	47	2	1.37	1.37	1.37
354	2.56	11.36	6.80	44	2	0.43	0.43	0.43
355	3.46	11.25	6.80	73	2	0.45	0.45	0.45
356	2.38	9.77	6.80	45	2	0.43	0.43	0.43
357	2.47	10.56	6.80	72	2	0.40	0.40	0.40
358	8.40	0.16	6.80	51	2	1.16	1.16	1.16
359	7.50	0.10	6.80	92	2	5.12	5.12	5.12
360	6.59	0.04	6.80	91	2	0.82	0.82	0.82
361	9.96	0.26	6.80	93	2	1.16	1.16	1.16
362	10.74	0.31	6.80	52	2	4.41	4.41	4.41
363	14.42	0.55	6.80	53	2	6.01	6.01	6.01
364	12.87	0.45	6.80	95	2	1.01	1.01	1.01
365	11.51	0.36	6.80	94	2	1.01	1.01	1.01
366	16.29	8.21	6.80	139	2	4.26	4.26	4.26
367	16.17	7.47	6.80	102	2	2.15	2.15	2.15
368	17.67	12.76	6.80	107	2	0.00	0.00	0.00
369	17.76	13.04	6.80	140	2	1.80	1.80	1.80
370	18.16	14.26	6.80	141	2	2.08	2.08	2.08
371	18.28	14.64	6.80	108	2	0.00	0.00	0.00
372	18.44	15.13	6.80	109	2	2.94	2.94	2.94
373	8.96	17.22	6.80	57	2	4.55	4.55	4.55
374	10.21	17.01	6.80	116	2	1.13	1.13	1.13
375	11.71	16.77	6.80	115	2	3.39	3.39	3.39
376	8.62	17.28	6.80	117	2	1.65	1.65	1.65
377	6.42	17.64	6.80	58	2	1.65	1.65	1.65
378	3.53	18.12	6.80	37	2	1.13	1.13	1.13
379	5.03	17.87	6.80	120	2	1.13	1.13	1.13
380	5.72	17.75	6.80	119	2	3.97	3.97	3.97
381	2.91	18.30	6.80	59	2	4.43	4.43	4.43

COORDINATE DEI NODI

IDENT. Nodo3d N.ro	POSIZIONE NODO			ATTRIBUTI		PESO SISMICO		
	Coord.X (m)	Coord.Y (m)	Coord.Z (m)	Filo N.ro	Piano Sism.	Dir. X (t)	Dir. Y (t)	Dir. Z (t)
382	2.04	18.57	6.80	121	2	0.00	0.00	0.00
383	1.23	18.81	6.80	143	2	4.80	4.80	4.80
384	0.43	19.06	6.80	142	2	1.00	1.00	1.00
385	-0.77	19.42	6.80	122	2	1.00	1.00	1.00
386	0.00	12.43	6.80	132	2	1.07	1.07	1.07
387	-1.42	12.69	6.80	131	2	1.07	1.07	1.07
388	4.24	7.93	6.80	31	2	0.00	0.00	0.00
389	3.05	7.90	6.80	43	2	6.10	6.10	6.10
390	1.87	7.87	6.80	83	2	0.81	0.81	0.81
391	6.66	12.44	6.80	62	2	2.21	2.21	2.21
392	12.41	12.16	6.80	63	2	7.57	7.57	7.57
393	11.92	12.28	6.80	64	2	0.70	0.70	0.70
394	0.54	12.93	6.80	42	2	3.55	3.55	3.55
395	6.57	9.49	6.80	66	2	2.92	2.92	2.92
396	0.00	0.00	9.80	1	3	0.62	0.62	0.62
397	5.30	0.29	9.80	2	3	7.19	7.19	7.19
398	8.38	0.39	9.80	3	3	0.60	0.60	0.60
399	10.85	0.65	9.80	4	3	6.07	6.07	6.07
400	14.69	0.89	9.80	5	3	0.62	0.62	0.62
401	0.08	5.42	9.80	6	3	0.60	0.60	0.60
402	0.12	7.64	9.80	7	3	1.66	1.66	1.66
403	4.91	6.55	9.80	8	3	9.48	9.48	9.48
404	10.52	6.14	9.80	9	3	8.14	8.14	8.14
405	15.71	6.91	9.80	10	3	0.60	0.60	0.60
406	6.93	8.32	9.80	11	3	2.37	2.37	2.37
407	11.98	8.16	9.80	12	3	4.12	4.12	4.12
408	12.06	10.65	9.80	13	3	4.81	4.81	4.81
409	7.01	10.83	9.80	14	3	1.56	1.56	1.56
410	8.41	12.59	9.80	15	3	4.13	4.13	4.13
411	17.00	11.84	9.80	16	3	1.84	1.84	1.84
412	18.14	15.28	9.80	17	3	0.63	0.63	0.63
413	12.47	16.29	9.80	18	3	4.38	4.38	4.38
414	8.81	16.89	9.80	19	3	3.56	3.56	3.56
415	6.12	17.34	9.80	20	3	2.58	2.58	2.58
416	2.10	12.68	9.80	21	3	2.77	2.77	2.77
417	-2.11	13.18	9.80	22	3	0.60	0.60	0.60
418	-6.43	13.99	9.80	23	3	0.62	0.62	0.62
419	-5.25	20.43	9.80	24	3	0.62	0.62	0.62
420	-1.33	19.25	9.80	25	3	0.60	0.60	0.60
421	2.84	18.01	9.80	26	3	0.60	0.60	0.60
422	5.42	12.12	9.80	27	3	4.62	4.62	4.62
423	0.68	7.83	9.80	49	3	0.95	0.95	0.95
424	1.87	7.87	9.80	83	3	0.36	0.36	0.36
425	3.05	7.90	9.80	43	3	2.99	2.99	2.99
426	4.24	7.93	9.80	31	3	0.24	0.24	0.24
427	-0.34	-0.40	9.80	28	3	5.30	5.30	5.30
428	-0.31	2.03	9.80	86	3	5.64	5.64	5.64
429	-0.28	4.47	9.80	29	3	5.13	5.13	5.13
430	0.49	-0.35	9.80	87	3	1.23	1.23	1.23
431	1.73	-0.27	9.80	88	3	1.14	1.14	1.14
432	2.49	-0.22	9.80	32	3	1.90	1.90	1.90

COORDINATE DEI NODI

IDENT. Nodo3d N.ro	POSIZIONE NODO			ATTRIBUTI		PESO SISMICO		
	Coord.X (m)	Coord.Y (m)	Coord.Z (m)	Filo N.ro	Piano Sism.	Dir. X (t)	Dir. Y (t)	Dir. Z (t)
433	2.92	-0.19	9.80	89	3	0.78	0.78	0.78
434	4.12	-0.11	9.80	33	3	1.67	1.67	1.67
435	4.81	-0.07	9.80	90	3	1.54	1.54	1.54
436	5.49	-0.03	9.80	50	3	2.18	2.18	2.18
437	14.99	0.58	9.80	34	3	5.26	5.26	5.26
438	15.12	1.38	9.80	96	3	1.78	1.78	1.78
439	15.26	2.18	9.80	97	3	0.35	0.35	0.35
440	15.49	3.49	9.80	98	3	0.35	0.35	0.35
441	15.65	4.47	9.80	99	3	2.18	2.18	2.18
442	15.82	5.44	9.80	100	3	0.35	0.35	0.35
443	16.04	6.73	9.80	54	3	7.01	7.01	7.01
444	16.42	8.95	9.80	35	3	3.79	3.79	3.79
445	16.59	9.46	9.80	103	3	1.17	1.17	1.17
446	16.75	9.97	9.80	104	3	0.34	0.34	0.34
447	17.15	11.17	9.80	106	3	0.34	0.34	0.34
448	17.33	11.72	9.80	55	3	7.69	7.69	7.69
449	12.50	16.63	9.80	56	3	4.62	4.62	4.62
450	12.70	16.60	9.80	133	3	0.63	0.63	0.63
451	14.24	16.35	9.80	114	3	0.41	0.41	0.41
452	15.15	16.20	9.80	113	3	2.08	2.08	2.08
453	16.06	16.05	9.80	112	3	0.00	0.00	0.00
454	16.75	15.93	9.80	134	3	1.58	1.58	1.58
455	17.44	15.82	9.80	111	3	0.00	0.00	0.00
456	18.02	15.72	9.80	110	3	1.34	1.34	1.34
457	18.61	15.63	9.80	36	3	6.30	6.30	6.30
458	-5.53	20.87	9.80	38	3	7.34	7.34	7.34
459	-4.96	20.70	9.80	126	3	1.28	1.28	1.28
460	-4.40	20.52	9.80	125	3	0.42	0.42	0.42
461	-2.89	20.06	9.80	124	3	0.42	0.42	0.42
462	-1.83	19.74	9.80	123	3	2.44	2.44	2.44
463	-1.22	19.56	9.80	60	3	8.55	8.55	8.55
464	-6.17	17.29	9.80	127	3	8.39	8.39	8.39
465	-6.82	13.71	9.80	39	3	7.66	7.66	7.66
466	-5.89	13.53	9.80	128	3	2.10	2.10	2.10
467	-4.96	13.36	9.80	129	3	0.38	0.38	0.38
468	-3.54	13.09	9.80	130	3	0.38	0.38	0.38
469	-2.17	12.83	9.80	61	3	11.89	11.89	11.89
470	2.39	11.98	9.80	40	3	9.64	9.64	9.64
471	4.67	11.72	9.80	41	3	0.19	0.19	0.19
472	0.21	7.82	9.80	84	3	1.13	1.13	1.13
473	-0.26	7.81	9.80	30	3	2.21	2.21	2.21
474	3.28	9.67	9.80	71	3	0.46	0.46	0.46
475	2.38	9.77	9.80	45	3	0.43	0.43	0.43
476	3.46	11.25	9.80	73	3	0.46	0.46	0.46
477	4.36	11.15	9.80	47	3	0.50	0.50	0.50
478	4.18	9.57	9.80	46	3	0.59	0.59	0.59
479	4.26	10.22	7.63	137	0	0.15	0.15	0.15
480	4.18	9.57	7.80	46	0	0.38	0.38	0.38
481	4.26	10.22	8.47	137	0	0.15	0.15	0.15
482	4.18	9.57	8.80	46	0	0.38	0.38	0.38
483	4.26	10.22	9.30	137	0	0.16	0.16	0.16

COORDINATE DEI NODI

IDENT. Nodo3d N.ro	POSIZIONE NODO			ATTRIBUTI		PESO SISMICO		
	Coord.X (m)	Coord.Y (m)	Coord.Z (m)	Filo N.ro	Piano Sism.	Dir. X (t)	Dir. Y (t)	Dir. Z (t)
484	4.36	11.15	7.80	47	0	0.25	0.25	0.25
485	4.36	11.15	8.80	47	0	0.25	0.25	0.25
486	4.35	11.05	7.63	138	0	0.02	0.02	0.02
487	4.35	11.05	8.47	138	0	0.02	0.02	0.02
488	4.35	11.05	9.30	138	0	0.06	0.06	0.06
489	4.27	10.36	9.80	135	3	0.44	0.44	0.44
490	2.56	11.36	9.80	44	3	0.43	0.43	0.43
491	2.47	10.56	9.80	72	3	0.41	0.41	0.41
492	6.59	0.04	9.80	91	3	0.29	0.29	0.29
493	7.50	0.10	9.80	92	3	1.98	1.98	1.98
494	8.40	0.16	9.80	51	3	2.78	2.78	2.78
495	9.96	0.26	9.80	93	3	0.41	0.41	0.41
496	10.74	0.31	9.80	52	3	4.40	4.40	4.40
497	11.51	0.36	9.80	94	3	0.36	0.36	0.36
498	12.87	0.45	9.80	95	3	0.36	0.36	0.36
499	14.42	0.55	9.80	53	3	4.19	4.19	4.19
500	16.29	8.21	9.80	139	3	1.68	1.68	1.68
501	16.17	7.47	9.80	102	3	0.85	0.85	0.85
502	18.44	15.13	9.80	109	3	1.13	1.13	1.13
503	18.28	14.64	9.80	108	3	0.00	0.00	0.00
504	18.16	14.26	9.80	141	3	0.78	0.78	0.78
505	17.76	13.04	9.80	140	3	0.67	0.67	0.67
506	17.67	12.76	9.80	107	3	0.00	0.00	0.00
507	8.96	17.22	9.80	57	3	4.78	4.78	4.78
508	10.21	17.01	9.80	116	3	0.40	0.40	0.40
509	11.71	16.77	9.80	115	3	1.28	1.28	1.28
510	6.42	17.64	9.80	58	3	4.39	4.39	4.39
511	8.62	17.28	9.80	117	3	0.59	0.59	0.59
512	3.53	18.12	9.80	37	3	3.53	3.53	3.53
513	5.03	17.87	9.80	120	3	0.40	0.40	0.40
514	5.72	17.75	9.80	119	3	1.53	1.53	1.53
515	2.91	18.30	9.80	59	3	6.74	6.74	6.74
516	2.04	18.57	9.80	121	3	0.00	0.00	0.00
517	1.23	18.81	9.80	143	3	1.89	1.89	1.89
518	0.43	19.06	9.80	142	3	0.33	0.33	0.33
519	-0.77	19.42	9.80	122	3	0.33	0.33	0.33
520	0.00	12.43	9.80	132	3	0.38	0.38	0.38
521	-1.42	12.69	9.80	131	3	0.38	0.38	0.38
522	-0.30	5.59	9.80	48	3	2.69	2.69	2.69
523	-0.29	6.14	9.80	85	3	3.81	3.81	3.81
524	6.57	9.49	9.80	66	3	0.48	0.48	0.48
525	6.66	12.44	9.80	62	3	0.87	0.87	0.87
526	9.69	12.29	9.80	65	3	1.24	1.24	1.24
527	12.41	12.16	9.80	63	3	3.92	3.92	3.92
528	5.03	11.68	9.80	69	3	0.06	0.06	0.06
529	6.79	10.16	9.80	144	3	0.50	0.50	0.50
530	5.97	9.51	9.80	145	3	0.25	0.25	0.25
531	6.16	10.21	9.80	146	3	0.27	0.27	0.27
532	6.35	10.91	9.80	147	3	0.19	0.19	0.19
533	5.37	9.53	9.80	148	3	0.27	0.27	0.27
534	5.53	10.26	9.80	149	3	0.28	0.28	0.28

COORDINATE DEI NODI

IDENT. Nodo3d N.ro	POSIZIONE NODO			ATTRIBUTI		PESO SISMICO		
	Coord.X (m)	Coord.Y (m)	Coord.Z (m)	Filo N.ro	Piano Sism.	Dir. X (t)	Dir. Y (t)	Dir. Z (t)
535	5.69	10.99	9.80	150	3	0.19	0.19	0.19
536	4.78	9.55	9.80	151	3	0.28	0.28	0.28
537	4.90	10.31	9.80	152	3	0.29	0.29	0.29
538	5.02	11.07	9.80	153	3	0.20	0.20	0.20
539	6.75	8.91	9.80	154	3	0.40	0.40	0.40
540	6.26	8.22	9.80	155	3	0.13	0.13	0.13
541	6.11	8.87	9.80	156	3	0.25	0.25	0.25
542	5.59	8.13	9.80	157	3	0.14	0.14	0.14
543	5.48	8.83	9.80	158	3	0.27	0.27	0.27
544	4.92	8.03	9.80	159	3	0.15	0.15	0.15
545	4.85	8.79	9.80	160	3	0.29	0.29	0.29
546	4.21	8.75	9.80	161	3	0.15	0.15	0.15
547	0.00	0.00	10.12	1	0	2.41	2.41	2.41
548	5.30	0.29	10.00	2	0	0.04	0.04	0.04
549	8.38	0.39	10.00	3	0	0.04	0.04	0.04
550	10.85	0.65	10.00	4	0	0.04	0.04	0.04
551	14.69	0.89	10.11	5	0	1.82	1.82	1.82
552	0.08	5.42	10.00	6	0	0.04	0.04	0.04
553	0.12	7.64	10.07	7	0	2.17	2.17	2.17
554	4.91	6.55	11.05	8	0	1.09	1.09	1.09
555	10.52	6.14	11.35	9	0	1.18	1.18	1.18
556	15.71	6.91	10.00	10	0	0.04	0.04	0.04
557	6.93	8.32	11.35	11	0	2.64	2.64	2.64
558	11.98	8.16	11.35	12	0	5.77	5.77	5.77
559	12.06	10.65	11.35	13	0	1.27	1.27	1.27
560	7.01	10.83	11.35	14	0	2.64	2.64	2.64
561	8.41	12.59	11.35	15	0	0.79	0.79	0.79
562	17.00	11.84	10.00	16	0	0.04	0.04	0.04
563	18.14	15.28	10.14	17	0	2.08	2.08	2.08
564	12.47	16.29	10.00	18	0	0.04	0.04	0.04
565	8.81	16.89	10.00	19	0	0.04	0.04	0.04
566	6.12	17.34	10.00	20	0	0.04	0.04	0.04
567	2.10	12.68	10.00	21	0	0.04	0.04	0.04
568	-2.11	13.18	10.00	22	0	0.04	0.04	0.04
569	-6.43	13.99	10.12	23	0	1.84	1.84	1.84
570	-5.25	20.43	10.13	24	0	2.02	2.02	2.02
571	-1.33	19.25	10.00	25	0	0.04	0.04	0.04
572	2.84	18.01	10.00	26	0	0.04	0.04	0.04
573	0.68	7.83	10.18	49	0	0.36	0.36	0.36
574	4.24	7.93	10.84	31	0	2.15	2.15	2.15
575	-0.34	-0.40	10.00	28	0	0.37	0.37	0.37
576	-0.28	4.47	10.00	29	0	0.60	0.60	0.60
577	2.49	-0.22	10.00	32	0	0.38	0.38	0.38
578	4.12	-0.11	10.00	33	0	0.55	0.55	0.55
579	5.49	-0.03	10.00	50	0	0.56	0.56	0.56
580	14.99	0.58	10.00	34	0	0.42	0.42	0.42
581	16.04	6.73	10.00	54	0	0.81	0.81	0.81
582	16.42	8.95	10.00	35	0	0.70	0.70	0.70
583	17.33	11.72	10.00	55	0	0.52	0.52	0.52
584	12.50	16.63	10.00	56	0	0.56	0.56	0.56
585	18.61	15.63	10.00	36	0	0.52	0.52	0.52

COORDINATE DEI NODI

IDENT.	POSIZIONE NODO			ATTRIBUTI		PESO SISMICO		
Nodo3d N.ro	Coord.X (m)	Coord.Y (m)	Coord.Z (m)	Filo N.ro	Piano Sism.	Dir. X (t)	Dir. Y (t)	Dir. Z (t)
586	-5.53	20.87	10.00	38	0	0.46	0.46	0.46
587	-1.22	19.56	10.00	60	0	0.55	0.55	0.55
588	-6.82	13.71	10.00	39	0	0.52	0.52	0.52
589	-2.17	12.83	10.00	61	0	0.66	0.66	0.66
590	2.39	11.98	10.00	40	0	0.82	0.82	0.82
591	4.67	11.72	10.84	41	0	1.75	1.75	1.75
592	-0.26	7.81	10.14	30	0	0.26	0.26	0.26
593	10.55	8.20	9.80	82	3	0.05	0.05	0.05
594	10.55	8.20	11.35	82	0	1.50	1.50	1.50
595	12.02	9.41	9.80	81	3	0.07	0.07	0.07
596	12.02	9.41	11.35	81	0	0.57	0.57	0.57
597	3.28	9.67	10.84	71	0	0.46	0.46	0.46
598	2.38	9.77	10.84	45	0	0.34	0.34	0.34
599	3.46	11.25	10.84	73	0	0.46	0.46	0.46
600	4.36	11.15	10.84	47	0	0.81	0.81	0.81
601	4.18	9.57	10.84	46	0	0.90	0.90	0.90
602	2.56	11.36	10.84	44	0	0.34	0.34	0.34
603	2.47	10.56	10.84	72	0	0.21	0.21	0.21
604	8.40	0.16	10.00	51	0	0.76	0.76	0.76
605	10.74	0.31	10.00	52	0	1.47	1.47	1.47
606	14.42	0.55	10.00	53	0	0.26	0.26	0.26
607	8.96	17.22	10.00	57	0	0.95	0.95	0.95
608	6.42	17.64	10.00	58	0	0.41	0.41	0.41
609	3.53	18.12	10.00	37	0	0.40	0.40	0.40
610	2.91	18.30	10.00	59	0	0.96	0.96	0.96
611	-0.30	5.59	10.00	48	0	0.48	0.48	0.48
612	6.57	9.49	11.35	66	0	0.68	0.68	0.68
613	-2.48	16.66	11.35	77	0	4.18	4.18	4.18
614	-1.69	16.49	11.35	78	0	3.85	3.85	3.85
615	13.61	13.14	11.35	76	0	8.03	8.03	8.03
616	11.48	4.38	11.35	75	0	11.33	11.33	11.33
617	3.72	3.88	11.35	74	0	11.27	11.27	11.27
618	8.60	14.24	11.35	80	0	8.91	8.91	8.91
619	2.03	12.02	10.00	70	0	0.76	0.76	0.76
620	2.39	15.60	11.35	79	0	9.00	9.00	9.00
621	4.71	8.90	10.84	68	0	0.61	0.61	0.61
622	11.98	8.16	1.90	12	0	2.99	2.99	2.99
623	12.06	10.65	1.90	13	0	2.99	2.99	2.99
624	11.98	8.16	5.30	12	0	2.86	2.86	2.86
625	12.06	10.65	5.30	13	0	2.86	2.86	2.86

DATI ASTE SPAZIALI

IDENTIFICAZIONE									GEOMETRIA			SCOST. INIZIALI			SCOST. FINALI			Cri Geo	Tipo Elemento ai fini sism.
Asta3d N.ro	Filo in.	Filo fin.	Q.iniz (m)	Q.fin. (m)	Nod3d iniz.	Nod3d fin.	Cr. Pr.	Sez. N.ro	Sigla Sezione	Magr. (cm)	Rot. Grd	dx (cm)	dy (cm)	dz (cm)	dx (cm)	dy (cm)	dz (cm)		
1	31	43	0.00	0.00	1	2	2	57	T 70 x 90	100	0	0	0	-47	0	0	-47	2	Trave telaio
2	43	83	0.00	0.00	2	3	2	57	T 70 x 90	100	0	0	0	-47	0	0	-47	2	Trave telaio
3	83	49	0.00	0.00	3	4	2	57	T 70 x 90	100	0	0	0	-47	0	0	-47	2	Trave telaio
4	9	4	0.00	0.00	5	6	1	54	Rett. 30 x 50	0	0	35	-16	-25	-4	61	-25	2	Trave telaio
5	2	1	0.00	0.00	7	8	1	54	Rett. 30 x 50	0	0	-17	21	-25	62	14	-25	2	Trave telaio
6	4	5	0.00	0.00	6	9	1	54	Rett. 30 x 50	0	0	14	23	-25	-31	20	-25	2	Trave telaio
7	3	4	0.00	0.00	10	6	1	54	Rett. 30 x 50	0	0	13	33	-25	-16	21	-25	2	Trave telaio
8	2	3	0.00	0.00	7	10	1	54	Rett. 30 x 50	0	0	14	23	-25	-17	31	-25	2	Trave telaio
9	2	8	0.00	0.00	7	11	1	54	Rett. 30 x 50	0	0	-4	60	-25	0	-31	-25	2	Trave telaio
10	11	14	0.00	0.00	12	13	1	54	Rett. 30 x 50	0	0	-4	20	-25	-6	-20	-25	2	Trave telaio
11	11	12	0.00	0.00	12	14	1	54	Rett. 30 x 50	0	0	20	-6	-25	-20	-4	-25	2	Trave telaio
12	12	13	0.00	0.00	14	15	1	54	Rett. 30 x 50	0	0	6	20	-25	4	-20	-25	2	Trave telaio

Dott. Ing. Lucio D'Angelo - Piazza del Popolo 24 - 63073 Offida (AP)

SOFTWARE: C.D.S. - Full - Rel.2017 - Lic. Nro: 35224

Tabulati di calcolo – Palazzo Magnalbò

DATI ASTE SPAZIALI																			
IDENTIFICAZIONE								GEOMETRIA				SCOST.INIZIALI			SCOST. FINALI				
Asta3d N.ro	Filo in.	Filo fin.	Q.iniz (m)	Q.fin. (m)	Nod3d iniz.	Nod3d fin.	Cr. Pr.	Sez. N.ro	Sigla Sezione	Magr. (cm)	Rot. Grd	dx (cm)	dy (cm)	dz (cm)	dx (cm)	dy (cm)	dz (cm)	Cri Geo	Tipo Elemento ai fini sism.
13	14	13	0.00	0.00	13	15	1	54	Rett. 30 x 50	0	0	20	4	-25	-20	6	-25	2	Trave telaio
14	9	12	0.00	0.00	5	14	1	54	Rett. 30 x 50	0	0	42	25	-25	-10	-17	-25	2	Trave telaio
15	6	1	0.00	0.00	16	8	1	54	Rett. 30 x 50	0	0	15	-15	-25	16	30	-25	2	Trave telaio
16	8	7	0.00	0.00	11	17	1	54	Rett. 30 x 50	0	0	-18	15	-25	63	-16	-25	2	Trave telaio
17	7	6	0.00	0.00	17	16	1	10000	LINK RIGIDO	0	0	0	0	0	0	0	0	2	Trave telaio
18	11	8	0.00	0.00	12	11	1	1	Rett. 30 x 30	0	0	-16	-12	-15	10	37	-15	2	Trave telaio
19	5	10	0.00	0.00	9	18	1	54	Rett. 30 x 50	0	0	-5	62	-25	-17	-12	-25	2	Trave telaio
20	10	16	0.00	0.00	18	19	1	54	Rett. 30 x 50	0	0	-12	18	-25	-19	-10	-25	2	Trave telaio
21	17	16	0.00	0.00	20	19	1	54	Rett. 30 x 50	0	0	-33	-52	-25	-10	19	-25	2	Trave telaio
22	10	12	0.00	0.00	18	14	1	54	Rett. 30 x 50	0	0	-61	11	-25	17	-11	-25	2	Trave telaio
23	16	13	0.00	0.00	19	15	1	54	Rett. 30 x 50	0	0	-66	19	-25	21	2	-25	2	Trave telaio
24	18	13	0.00	0.00	21	15	1	54	Rett. 30 x 50	0	0	-10	-61	-25	6	20	-25	2	Trave telaio
25	17	18	0.00	0.00	20	21	1	54	Rett. 30 x 50	0	0	-40	-1	-25	13	-17	-25	2	Trave telaio
26	18	19	0.00	0.00	21	22	1	54	Rett. 30 x 50	0	0	-17	-12	-25	27	-20	-25	2	Trave telaio
27	19	15	0.00	0.00	22	23	1	54	Rett. 30 x 50	0	0	10	-32	-25	-2	21	-25	2	Trave telaio
28	20	19	0.00	0.00	24	22	1	54	Rett. 30 x 50	0	0	27	-20	-25	-32	-10	-25	2	Trave telaio
29	23	24	0.00	0.00	25	26	1	54	Rett. 30 x 50	0	0	20	27	-25	8	-39	-25	2	Trave telaio
30	22	23	0.00	0.00	27	25	1	54	Rett. 30 x 50	0	0	-27	20	-25	62	4	-25	2	Trave telaio
31	22	21	0.00	0.00	27	28	1	54	Rett. 30 x 50	0	0	34	9	-25	-58	26	-25	2	Trave telaio
32	21	26	0.00	0.00	28	29	1	54	Rett. 30 x 50	0	0	-9	33	-25	-10	-59	-25	2	Trave telaio
33	24	25	0.00	0.00	26	30	1	54	Rett. 30 x 50	0	0	53	-32	-25	-33	-6	-25	2	Trave telaio
34	20	26	0.00	0.00	24	29	1	54	Rett. 30 x 50	0	0	-33	-10	-25	14	-18	-25	2	Trave telaio
35	25	26	0.00	0.00	30	29	1	54	Rett. 30 x 50	0	0	25	-23	-25	-19	-12	-25	2	Trave telaio
36	27	21	0.00	0.00	31	28	1	54	Rett. 30 x 50	0	0	-57	25	-25	3	15	-25	2	Trave telaio
37	15	27	0.00	0.00	23	31	1	54	Rett. 30 x 50	0	0	-21	6	-25	7	19	-25	2	Trave telaio
38	49	84	0.00	0.00	4	32	2	57	T 70 x 90	100	0	0	0	-47	0	0	-47	2	Trave telaio
39	84	30	0.00	0.00	32	33	2	57	T 70 x 90	100	0	0	0	-47	0	0	-47	2	Trave telaio
40	30	85	0.00	0.00	33	34	2	57	T 70 x 90	100	0	0	0	-47	0	0	-47	2	Trave telaio
41	85	48	0.00	0.00	34	35	2	57	T 70 x 90	100	0	0	0	-47	0	0	-47	2	Trave telaio
42	48	29	0.00	0.00	35	36	2	57	T 70 x 90	100	0	0	0	-47	0	0	-47	2	Trave telaio
43	29	86	0.00	0.00	36	37	2	57	T 70 x 90	100	0	0	0	-47	0	0	-47	2	Trave telaio
44	86	28	0.00	0.00	37	38	2	57	T 70 x 90	100	0	0	0	-47	0	0	-47	2	Trave telaio
45	28	87	0.00	0.00	38	39	2	57	T 70 x 90	100	0	0	0	-47	0	0	-47	2	Trave telaio
46	87	88	0.00	0.00	39	40	2	57	T 70 x 90	100	0	0	0	-47	0	0	-47	2	Trave telaio
47	88	32	0.00	0.00	40	41	2	57	T 70 x 90	100	0	0	0	-47	0	0	-47	2	Trave telaio
48	32	89	0.00	0.00	41	42	2	57	T 70 x 90	100	0	0	0	-47	0	0	-47	2	Trave telaio
49	89	33	0.00	0.00	42	43	2	57	T 70 x 90	100	0	0	0	-47	0	0	-47	2	Trave telaio
50	33	90	0.00	0.00	43	44	2	57	T 70 x 90	100	0	0	0	-47	0	0	-47	2	Trave telaio
51	90	50	0.00	0.00	44	45	2	57	T 70 x 90	100	0	0	0	-47	0	0	-47	2	Trave telaio
52	50	91	0.00	0.00	45	46	2	57	T 70 x 90	100	0	0	0	-47	0	0	-47	2	Trave telaio
53	91	92	0.00	0.00	46	47	2	57	T 70 x 90	100	0	0	0	-47	0	0	-47	2	Trave telaio
54	92	51	0.00	0.00	47	48	2	57	T 70 x 90	100	0	0	0	-47	0	0	-47	2	Trave telaio
55	51	93	0.00	0.00	48	49	2	57	T 70 x 90	100	0	0	0	-47	0	0	-47	2	Trave telaio
56	93	52	0.00	0.00	49	50	2	57	T 70 x 90	100	0	0	0	-47	0	0	-47	2	Trave telaio
57	52	94	0.00	0.00	50	51	2	57	T 70 x 90	100	0	0	0	-47	0	0	-47	2	Trave telaio
58	94	95	0.00	0.00	51	52	2	57	T 70 x 90	100	0	0	0	-47	0	0	-47	2	Trave telaio
59	95	53	0.00	0.00	52	53	2	57	T 70 x 90	100	0	0	0	-47	0	0	-47	2	Trave telaio
60	53	34	0.00	0.00	53	54	2	57	T 70 x 90	100	0	0	0	-47	0	0	-47	2	Trave telaio
61	34	96	0.00	0.00	54	55	2	57	T 70 x 90	100	0	0	0	-47	0	0	-47	2	Trave telaio
62	96	97	0.00	0.00	55	56	2	57	T 70 x 90	100	0	0	0	-47	0	0	-47	2	Trave telaio
63	97	98	0.00	0.00	56	57	2	57	T 70 x 90	100	0	0	0	-47	0	0	-47	2	Trave telaio
64	98	99	0.00	0.00	57	58	2	57	T 70 x 90	100	0	0	0	-47	0	0	-47	2	Trave telaio
65	99	100	0.00	0.00	58	59	2	57	T 70 x 90	100	0	0	0	-47	0	0	-47	2	Trave telaio
66	100	101	0.00	0.00	59	60	2	57	T 70 x 90	100	0	0	0	-47	0	0	-47	2	Trave telaio
67	101	54	0.00	0.00	60	61	2	57	T 70 x 90	100	0	0	0	-47	0	0	-47	2	Trave telaio
68	54	102	0.00	0.00	61	62	2	57	T 70 x 90	100	0	0	0	-47	0	0	-47	2	Trave telaio
69	102	35	0.00	0.00	62	63	2	57	T 70 x 90	100	0	0	0	-47	0	0	-47	2	Trave telaio
70	35	103	0.00	0.00	63	64	2	57	T 70 x 90	100	0	0	0	-47	0	0	-47	2	Trave telaio
71	103	104	0.00	0.00	64	65	2	57	T 70 x 90	100	0	0	0	-47	0	0	-47	2	Trave telaio
72	104	105	0.00	0.00	65	66	2	57	T 70 x 90	100	0	0	0	-47	0	0	-47	2	Trave telaio
73	105	106	0.00	0.00	66	67	2	57	T 70 x 90	100	0	0	0	-47	0	0	-47	2	Trave telaio
74	106	55	0.00	0.00	67	68	2	57	T 70 x 90	100	0	0	0	-47	0	0	-47	2	Trave telaio
75	55	107	0.00	0.00	68	69	2	57	T 70										

Tabulati di calcolo – Palazzo Magnalbò

DATI ASTE SPAZIALI																			
IDENTIFICAZIONE								GEOMETRIA				SCOST.INIZIALI			SCOST. FINALI				
Asta3d N.ro	Filo in.	Filo fin.	Q.iniz (m)	Q.fin. (m)	Nod3d iniz.	Nod3d fin.	Cr. Pr.	Sez. N.ro	Sigla Sezione	Magr. (cm)	Rot. Grd	dx (cm)	dy (cm)	dz (cm)	dx (cm)	dy (cm)	dz (cm)	Cri Geo	Tipo Elemento ai fini sism.
96	121	122	0.00	0.00	89	90	2	57	T 70 x 90	100	0	0	0	-47	0	0	-47	2	Trave telaio
97	122	60	0.00	0.00	90	91	2	57	T 70 x 90	100	0	0	0	-47	0	0	-47	2	Trave telaio
98	60	123	0.00	0.00	91	92	2	57	T 70 x 90	100	0	0	0	-47	0	0	-47	2	Trave telaio
99	123	124	0.00	0.00	92	93	2	57	T 70 x 90	100	0	0	0	-47	0	0	-47	2	Trave telaio
100	124	125	0.00	0.00	93	94	2	57	T 70 x 90	100	0	0	0	-47	0	0	-47	2	Trave telaio
101	125	126	0.00	0.00	94	95	2	57	T 70 x 90	100	0	0	0	-47	0	0	-47	2	Trave telaio
102	126	38	0.00	0.00	95	96	2	57	T 70 x 90	100	0	0	0	-47	0	0	-47	2	Trave telaio
103	38	127	0.00	0.00	96	97	2	57	T 70 x 90	100	0	0	0	-47	0	0	-47	2	Trave telaio
104	127	39	0.00	0.00	97	98	2	57	T 70 x 90	100	0	0	0	-47	0	0	-47	2	Trave telaio
105	39	128	0.00	0.00	98	99	2	57	T 70 x 90	100	0	0	0	-47	0	0	-47	2	Trave telaio
106	128	129	0.00	0.00	99	100	2	57	T 70 x 90	100	0	0	0	-47	0	0	-47	2	Trave telaio
107	129	130	0.00	0.00	100	101	2	57	T 70 x 90	100	0	0	0	-47	0	0	-47	2	Trave telaio
108	130	61	0.00	0.00	101	102	2	57	T 70 x 90	100	0	0	0	-47	0	0	-47	2	Trave telaio
109	61	131	0.00	0.00	102	103	2	57	T 70 x 90	100	0	0	0	-47	0	0	-47	2	Trave telaio
110	131	132	0.00	0.00	103	104	2	57	T 70 x 90	100	0	0	0	-47	0	0	-47	2	Trave telaio
111	132	40	0.00	0.00	104	105	2	57	T 70 x 90	100	0	0	0	-47	0	0	-47	2	Trave telaio
112	40	41	0.00	0.00	105	106	2	57	T 70 x 90	100	0	0	0	-47	0	0	-47	2	Secondario C.A
113	11	66	0.00	0.00	12	107	2	11	T 70 x 60	100	0	-39	21	-36	0	0	-36	2	Trave telaio
114	12	13	1.90	1.90	622	623	1	83	Rett. 40 x 24	0	0	6	20	-12	4	-20	-12	2	Trave telaio
115	66	14	0.00	0.00	107	13	2	11	T 70 x 60	100	0	0	0	-36	-41	-19	-36	2	Trave telaio
116	1	1	3.80	0.00	116	8	3	4	Rett. 30 x 60	0	89	30	15	-24	30	15	0		Pilastri
117	2	2	3.80	0.00	117	7	3	4	Rett. 30 x 60	0	4	-2	30	-24	-2	30	0		Pilastri
118	3	3	3.80	0.00	118	10	3	4	Rett. 30 x 60	0	4	-2	30	-24	-2	30	0		Pilastri
119	4	4	3.80	0.00	119	6	3	4	Rett. 30 x 60	0	4	-2	30	-24	-2	30	0		Pilastri
120	5	5	3.80	0.00	120	9	3	4	Rett. 30 x 60	0	-10	-10	32	-24	-10	32	0		Pilastri
121	6	6	3.80	0.00	121	16	3	4	Rett. 30 x 60	0	89	30	-1	-24	30	-1	0		Pilastri
122	7	7	3.80	0.00	122	17	3	4	Rett. 30 x 60	0	89	30	-16	-24	30	-16	0		Pilastri
123	8	8	3.80	0.00	123	11	3	4	Rett. 30 x 60	0	0	0	0	-24	0	0	0		Pilastri
124	9	9	3.80	0.00	124	5	3	4	Rett. 30 x 60	0	89	30	-1	-24	30	-1	0		Pilastri
125	10	10	3.80	0.00	125	18	3	4	Rett. 30 x 60	0	80	-30	5	-24	-30	5	0		Pilastri
126	11	11	3.80	0.00	126	12	3	22	Circ. 20	0	0	0	0	-24	0	0	0		Pilastri
127	12	12	3.80	1.90	127	622	3	22	Circ. 20	0	0	0	0	-24	0	0	0		Pilastri
128	13	13	3.80	1.90	128	623	3	22	Circ. 20	0	0	0	0	-24	0	0	0		Pilastri
129	14	14	3.80	0.00	129	13	3	22	Circ. 20	0	0	0	0	-24	0	0	0		Pilastri
130	15	15	3.80	0.00	130	23	3	22	Circ. 20	0	0	0	0	-24	0	0	0		Pilastri
131	16	16	3.80	0.00	131	19	3	4	Rett. 30 x 60	0	72	-29	9	-24	-29	9	0		Pilastri
132	17	17	3.80	0.00	132	20	3	4	Rett. 30 x 60	0	-18	-24	-24	-24	-24	-24	0		Pilastri
133	18	18	3.80	0.00	133	21	3	4	Rett. 30 x 60	0	-9	-5	-30	-24	-5	-30	0		Pilastri
134	19	19	3.80	0.00	134	22	3	4	Rett. 30 x 60	0	81	-3	-15	-24	-3	-15	0		Pilastri
135	20	20	3.80	0.00	135	24	3	4	Rett. 30 x 60	0	81	-3	-15	-24	-3	-15	0		Pilastri
136	21	21	3.80	0.00	136	28	3	4	Rett. 30 x 60	0	79	-27	20	-24	-27	20	0		Pilastri
137	22	22	3.80	0.00	137	27	3	4	Rett. 30 x 60	0	79	3	15	-24	3	15	0		Pilastri
138	23	23	3.80	0.00	138	25	3	4	Rett. 30 x 60	0	79	32	9	-24	32	9	0		Pilastri
139	24	24	3.80	0.00	139	26	3	4	Rett. 30 x 60	0	73	24	-23	-24	24	-23	0		Pilastri
140	25	25	3.80	0.00	140	30	3	4	Rett. 30 x 60	0	73	-4	-14	-24	-4	-14	0		Pilastri
141	26	26	3.80	0.00	141	29	3	4	Rett. 30 x 60	0	-9	-5	-30	-24	-5	-30	0		Pilastri
142	27	27	3.80	0.00	142	31	3	4	Rett. 30 x 60	0	79	-27	20	-24	-27	20	0		Pilastri
143	28	86	3.80	3.80	143	144	1	10000	LINK RIGIDO	0	0	0	0	0	0	0	0		Secondario Acc
144	28	86	0.00	0.00	38	37	1	10000	LINK RIGIDO	0	0	0	0	0	0	0	0		Secondario Acc
145	86	86	3.80	0.00	144	37	3	10001	MURAT 60 x 486.6	0	179	0	0	0	0	0	0		Secondario Acc
146	86	29	3.80	3.80	144	145	1	10000	LINK RIGIDO	0	0	0	0	0	0	0	0		Secondario Acc
147	86	29	0.00	0.00	37	36	1	10000	LINK RIGIDO	0	0	0	0	0	0	0	0		Secondario Acc
148	28	87	3.80	3.80	143	146	1	10000	LINK RIGIDO	0	0	0	0	0	0	0	0		Secondario Acc
149	28	87	0.00	0.00	38	39	1	10000	LINK RIGIDO	0	0	0	0	0	0	0	0		Secondario Acc
150	87	87	3.80	0.00	146	39	3	10002	MURAT 60 x 84	0	94	-42	-3	-24	-42	-3	143		Secondario Acc
151	87	88	3.80	3.80	146	147	1	10003	MURAT 60 x 140	0	0	0	0	0	0	0	0		Secondario Acc
152	87	88	0.00	0.00	39	40	1	10004	MURAT 60 x 190	0	0	0	0	0	0	0	0		Secondario Acc
153	88	88	3.80	0.00	147	40	3	10005	MURAT 60 x 75.7	0	94	38	2	-26	38	2	146		Secondario Acc
154	88	32	3.80	3.80	147	148	1	10000	LINK RIGIDO	0	0	0	0	0	0	0	0		Secondario Acc
155	88	32	0.00	0.00	40	41	1	10000	LINK RIGIDO	0	0	0	0	0	0	0	0		Secondario Acc
156	34	96	3.80	3.80	149	150	1	10000	LINK RIGIDO	0	0	0	0	0	0	0	0		Secondario Acc
157	34	96	0.00	0.00	54	55	1	10000	LINK RIGIDO	0	0	0	0	0	0	0	0		Secondario Acc
158	96	96	3.80	0.00	150	55	3	10006	MURAT 60 x 162	0	170	0	0	-18	0	0	110		Secondario Acc
159																			

Tabulati di calcolo – Palazzo Magnalbò

DATI ASTE SPAZIALI																			
IDENTIFICAZIONE								GEOMETRIA				SCOST.INIZIALI			SCOST. FINALI				
Asta3d N.ro	Filo in.	Filo fin.	Q.iniz (m)	Q.fin. (m)	Nod3d iniz.	Nod3d fin.	Cr. Pr.	Sez. N.ro	Sigla Sezione	Magr. (cm)	Rot. Grd	dx (cm)	dy (cm)	dz (cm)	dx (cm)	dy (cm)	dz (cm)	Cri Geo	Tipo Elemento ai fini sism.
179	33	90	0.00	0.00	43	44	1	10000	LINK RIGIDO	0	0	0	0	0	0	0	0		Secondario Acc
180	90	90	3.80	0.00	159	44	3	10013	MURAT 60 x 137.5	0	94	0	0	-19	0	0	119		Secondario Acc
181	90	50	3.80	3.80	159	160	1	10000	LINK RIGIDO	0	0	0	0	0	0	0	0		Secondario Acc
182	90	50	0.00	0.00	44	45	1	10000	LINK RIGIDO	0	0	0	0	0	0	0	0		Secondario Acc
183	56	133	3.80	3.80	161	162	1	10014	MURAT 60 x 50	0	0	0	0	0	0	0	0		Secondario Acc
184	133	114	3.80	3.80	162	163	1	10003	MURAT 60 x 140	0	0	0	0	0	0	0	0		Secondario Acc
185	56	114	0.00	0.00	78	77	1	10004	MURAT 60 x 190	0	0	0	0	0	0	0	0		Secondario Acc
186	114	113	3.80	3.80	163	164	1	10000	LINK RIGIDO	0	0	0	0	0	0	0	0		Secondario Acc
187	114	113	0.00	0.00	77	76	1	10000	LINK RIGIDO	0	0	0	0	0	0	0	0		Secondario Acc
188	113	113	3.80	0.00	164	76	3	10015	MURAT 60 x 184	0	81	0	0	-28	0	0	106		Secondario Acc
189	113	112	3.80	3.80	164	165	1	10000	LINK RIGIDO	0	0	0	0	0	0	0	0		Secondario Acc
190	113	112	0.00	0.00	76	75	1	10000	LINK RIGIDO	0	0	0	0	0	0	0	0		Secondario Acc
191	112	134	3.80	3.80	165	166	1	10014	MURAT 60 x 50	0	0	0	0	0	0	0	0		Secondario Acc
192	134	111	3.80	3.80	166	167	1	10014	MURAT 60 x 50	0	0	0	0	0	0	0	0		Secondario Acc
193	112	111	0.00	0.00	75	74	1	10004	MURAT 60 x 190	0	0	0	0	0	0	0	0		Secondario Acc
194	111	110	3.80	3.80	167	168	1	10000	LINK RIGIDO	0	0	0	0	0	0	0	0		Secondario Acc
195	111	110	0.00	0.00	74	73	1	10000	LINK RIGIDO	0	0	0	0	0	0	0	0		Secondario Acc
196	110	110	3.80	0.00	168	73	3	10016	MURAT 60 x 118.4	0	81	0	0	-19	0	0	127		Secondario Acc
197	110	36	3.80	3.80	168	169	1	10000	LINK RIGIDO	0	0	0	0	0	0	0	0		Secondario Acc
198	110	36	0.00	0.00	73	72	1	10000	LINK RIGIDO	0	0	0	0	0	0	0	0		Secondario Acc
199	35	103	3.80	3.80	170	171	1	10000	LINK RIGIDO	0	0	0	0	0	0	0	0		Secondario Acc
200	35	103	0.00	0.00	63	64	1	10000	LINK RIGIDO	0	0	0	0	0	0	0	0		Secondario Acc
201	103	103	3.80	0.00	171	64	3	10017	MURAT 60 x 108	0	162	0	0	-20	0	0	27		Secondario Acc
202	103	104	3.80	3.80	171	172	1	10000	LINK RIGIDO	0	0	0	0	0	0	0	0		Secondario Acc
203	103	104	0.00	0.00	64	65	1	10000	LINK RIGIDO	0	0	0	0	0	0	0	0		Secondario Acc
204	104	105	3.80	3.80	172	173	1	10000	LINK RIGIDO	0	0	0	0	0	0	0	0		Secondario Acc
205	104	105	0.00	0.00	65	66	1	10000	LINK RIGIDO	0	0	0	0	0	0	0	0		Secondario Acc
206	105	105	3.80	0.00	173	66	3	10018	MURAT 60 x 126	0	162	0	0	-20	0	0	27		Secondario Acc
207	105	106	3.80	3.80	173	174	1	10000	LINK RIGIDO	0	0	0	0	0	0	0	0		Secondario Acc
208	105	106	0.00	0.00	66	67	1	10000	LINK RIGIDO	0	0	0	0	0	0	0	0		Secondario Acc
209	106	55	3.80	3.80	174	175	1	10000	LINK RIGIDO	0	0	0	0	0	0	0	0		Secondario Acc
210	106	55	0.00	0.00	67	68	1	10000	LINK RIGIDO	0	0	0	0	0	0	0	0		Secondario Acc
211	60	123	3.80	3.80	176	177	1	10000	LINK RIGIDO	0	0	0	0	0	0	0	0		Secondario Acc
212	60	123	0.00	0.00	91	92	1	10000	LINK RIGIDO	0	0	0	0	0	0	0	0		Secondario Acc
213	123	123	3.80	0.00	177	92	3	10019	MURAT 60 x 221	0	253	0	0	-23	0	0	90		Secondario Acc
214	123	124	3.80	3.80	177	178	1	10000	LINK RIGIDO	0	0	0	0	0	0	0	0		Secondario Acc
215	123	124	0.00	0.00	92	93	1	10000	LINK RIGIDO	0	0	0	0	0	0	0	0		Secondario Acc
216	124	125	3.80	3.80	178	179	1	10003	MURAT 60 x 140	0	0	0	0	0	0	0	0		Secondario Acc
217	124	125	0.00	0.00	93	94	1	10004	MURAT 60 x 190	0	0	0	0	0	0	0	0		Secondario Acc
218	125	126	3.80	3.80	179	180	1	10000	LINK RIGIDO	0	0	0	0	0	0	0	0		Secondario Acc
219	125	126	0.00	0.00	94	95	1	10000	LINK RIGIDO	0	0	0	0	0	0	0	0		Secondario Acc
220	126	126	3.80	0.00	180	95	3	10016	MURAT 60 x 118.4	0	253	0	0	-19	0	0	127		Secondario Acc
221	126	38	3.80	3.80	180	181	1	10000	LINK RIGIDO	0	0	0	0	0	0	0	0		Secondario Acc
222	126	38	0.00	0.00	95	96	1	10000	LINK RIGIDO	0	0	0	0	0	0	0	0		Secondario Acc
223	38	127	3.80	3.80	181	182	1	10000	LINK RIGIDO	0	0	0	0	0	0	0	0		Secondario Acc
224	38	127	0.00	0.00	96	97	1	10000	LINK RIGIDO	0	0	0	0	0	0	0	0		Secondario Acc
225	127	127	3.80	0.00	182	97	3	10020	MURAT 60 x 727.7	0	350	0	0	0	0	0	0		Secondario Acc
226	127	39	3.80	3.80	182	183	1	10000	LINK RIGIDO	0	0	0	0	0	0	0	0		Secondario Acc
227	127	39	0.00	0.00	97	98	1	10000	LINK RIGIDO	0	0	0	0	0	0	0	0		Secondario Acc
228	39	128	3.80	3.80	183	184	1	10000	LINK RIGIDO	0	0	0	0	0	0	0	0		Secondario Acc
229	39	128	0.00	0.00	98	99	1	10000	LINK RIGIDO	0	0	0	0	0	0	0	0		Secondario Acc
230	128	128	3.80	0.00	184	99	3	10004	MURAT 60 x 190	0	79	0	0	-17	0	0	100		Secondario Acc
231	128	129	3.80	3.80	184	185	1	10000	LINK RIGIDO	0	0	0	0	0	0	0	0		Secondario Acc
232	128	129	0.00	0.00	99	100	1	10000	LINK RIGIDO	0	0	0	0	0	0	0	0		Secondario Acc
233	129	130	3.80	3.80	185	186	1	10003	MURAT 60 x 140	0	0	0	0	0	0	0	0		Secondario Acc
234	129	130	0.00	0.00	100	101	1	10004	MURAT 60 x 190	0	0	0	0	0	0	0	0		Secondario Acc
235	130	61	3.80	3.80	186	187	1	10000	LINK RIGIDO	0	0	0	0	0	0	0	0		Secondario Acc
236	130	61	0.00	0.00	101	102	1	10000	LINK RIGIDO	0	0	0	0	0	0	0	0		Secondario Acc
237	61	61	3.80	0.00	187	102	3	10021	MURAT 60 x 216.3	0	79	-31	6	-24	-31	6	92		Secondario Acc
238	30	85	3.80	3.80	188	189	1	10000	LINK RIGIDO	0	0	0	0	0	0	0	0		Secondario Acc
239	30	85	0.00	0.00	33	34	1	10000	LINK RIGIDO	0	0	0	0	0	0	0	0		Secondario Acc
240	85	85	3.80	0.00	189	34	3	10022	MURAT 60 x 334.2	0	359	0	0	0	0	0	0		Secondario Acc
241	85	48	3.80	3.80	189	190	1	10000	LINK RIGIDO	0	0	0	0	0	0	0	0		Secondario Acc
242	85	48	0.00	0.00	34														

Tabulati di calcolo – Palazzo Magnalbò

DATI ASTE SPAZIALI																			
IDENTIFICAZIONE								GEOMETRIA				SCOST.INIZIALI			SCOST. FINALI				
Asta3d N.ro	Filo in.	Filo fin.	Q.iniz (m)	Q.fin. (m)	Nod3d iniz.	Nod3d fin.	Cr. Pr.	Sez. N.ro	Sigla Sezione	Magr. (cm)	Rot. Grd.	dx (cm)	dy (cm)	dz (cm)	dx (cm)	dy (cm)	dz (cm)	Cri Geo	Tipo Elemento ai fini sism.
262	93	52	0.00	0.00	49	50	1	10000	LINK RIGIDO	0	0	0	0	0	0	0	0		Secondario Acc
263	52	52	3.80	0.00	227	50	3	10026	MURAT 60 x 155.9	0	94	-1	0	-35	-1	0	107		Secondario Acc
264	53	53	3.80	0.00	228	53	3	10027	MURAT 60 x 212	0	274	-49	-3	-16	-49	-3	92		Secondario Acc
265	53	95	3.80	3.80	228	229	1	10000	LINK RIGIDO	0	0	0	0	0	0	0	0		Secondario Acc
266	53	95	0.00	0.00	53	52	1	10000	LINK RIGIDO	0	0	0	0	0	0	0	0		Secondario Acc
267	95	94	3.80	3.80	229	230	1	10003	MURAT 60 x 140	0	0	0	0	0	0	0	0		Secondario Acc
268	95	94	0.00	0.00	52	51	1	10004	MURAT 60 x 190	0	0	0	0	0	0	0	0		Secondario Acc
269	94	52	3.80	3.80	230	227	1	10000	LINK RIGIDO	0	0	0	0	0	0	0	0		Secondario Acc
270	94	52	0.00	0.00	51	50	1	10000	LINK RIGIDO	0	0	0	0	0	0	0	0		Secondario Acc
271	53	34	3.80	3.80	228	149	1	10000	LINK RIGIDO	0	0	0	0	0	0	0	0		Secondario Acc
272	53	34	0.00	0.00	53	54	1	10000	LINK RIGIDO	0	0	0	0	0	0	0	0		Secondario Acc
273	35	139	3.80	3.80	170	231	1	10028	MURAT 60 x 20	0	0	0	0	0	0	0	0		Secondario Acc
274	139	102	3.80	3.80	231	232	1	10028	MURAT 60 x 20	0	0	0	0	0	0	0	0		Secondario Acc
275	35	102	0.00	0.00	63	62	1	10029	MURAT 60 x 100	0	0	0	0	0	0	0	0		Secondario Acc
276	102	102	3.80	0.00	232	62	3	10005	MURAT 60 x 75.7	0	350	-6	-37	-11	-6	-37	47		Secondario Acc
277	102	54	3.80	3.80	232	156	1	10000	LINK RIGIDO	0	0	0	0	0	0	0	0		Secondario Acc
278	102	54	0.00	0.00	62	61	1	10000	LINK RIGIDO	0	0	0	0	0	0	0	0		Secondario Acc
279	55	55	3.80	0.00	175	68	3	10030	MURAT 60 x 167.1	0	162	8	24	-20	8	24	27		Secondario Acc
280	55	107	3.80	3.80	175	233	1	10000	LINK RIGIDO	0	0	0	0	0	0	0	0		Secondario Acc
281	55	107	0.00	0.00	68	69	1	10000	LINK RIGIDO	0	0	0	0	0	0	0	0		Secondario Acc
282	107	140	3.80	3.80	233	234	1	10031	MURAT 60 x 75	0	0	0	0	0	0	0	0		Secondario Acc
283	140	141	3.80	3.80	234	235	1	10032	MURAT 60 x 165	0	0	0	0	0	0	0	0		Secondario Acc
284	141	108	3.80	3.80	235	236	1	10031	MURAT 60 x 75	0	0	0	0	0	0	0	0		Secondario Acc
285	107	108	0.00	0.00	69	70	1	10029	MURAT 60 x 100	0	0	0	0	0	0	0	0		Secondario Acc
286	108	109	3.80	3.80	236	237	1	10000	LINK RIGIDO	0	0	0	0	0	0	0	0		Secondario Acc
287	108	109	0.00	0.00	70	71	1	10000	LINK RIGIDO	0	0	0	0	0	0	0	0		Secondario Acc
288	109	109	3.80	0.00	237	71	3	10033	MURAT 60 x 104	0	162	0	0	-42	0	0	64		Secondario Acc
289	109	36	3.80	3.80	237	169	1	10000	LINK RIGIDO	0	0	0	0	0	0	0	0		Secondario Acc
290	109	36	0.00	0.00	71	72	1	10000	LINK RIGIDO	0	0	0	0	0	0	0	0		Secondario Acc
291	57	57	3.80	0.00	238	81	3	10034	MURAT 60 x 161	0	81	46	-8	-43	46	-8	90		Secondario Acc
292	57	116	3.80	3.80	238	239	1	10000	LINK RIGIDO	0	0	0	0	0	0	0	0		Secondario Acc
293	57	116	0.00	0.00	81	80	1	10000	LINK RIGIDO	0	0	0	0	0	0	0	0		Secondario Acc
294	116	115	3.80	3.80	239	240	1	10035	MURAT 60 x 180	0	0	0	0	0	0	0	0		Secondario Acc
295	116	115	0.00	0.00	80	79	1	10036	MURAT 60 x 60	0	0	0	0	0	0	0	0		Secondario Acc
296	115	115	3.80	0.00	240	79	3	10025	MURAT 60 x 80	0	81	40	-7	-56	40	-7	137		Secondario Acc
297	115	56	3.80	3.80	240	161	1	10000	LINK RIGIDO	0	0	0	0	0	0	0	0		Secondario Acc
298	115	56	0.00	0.00	79	78	1	10000	LINK RIGIDO	0	0	0	0	0	0	0	0		Secondario Acc
299	57	117	3.80	3.80	238	241	1	10000	LINK RIGIDO	0	0	0	0	0	0	0	0		Secondario Acc
300	117	118	3.80	3.80	241	242	1	10000	LINK RIGIDO	0	0	0	0	0	0	0	0		Secondario Acc
301	117	118	0.00	0.00	82	83	1	10000	LINK RIGIDO	0	0	0	0	0	0	0	0		Secondario Acc
302	118	118	3.80	0.00	242	83	3	10037	MURAT 60 x 25	0	261	12	-2	-43	12	-2	90		Secondario Acc
303	118	58	3.80	3.80	242	243	1	10003	MURAT 60 x 140	0	0	0	0	0	0	0	0		Secondario Acc
304	118	58	0.00	0.00	83	84	1	10004	MURAT 60 x 190	0	0	0	0	0	0	0	0		Secondario Acc
305	37	120	3.80	3.80	244	245	1	10035	MURAT 60 x 180	0	0	0	0	0	0	0	0		Secondario Acc
306	37	120	0.00	0.00	87	86	1	10038	MURAT 60 x 10	0	0	0	0	0	0	0	0		Secondario Acc
307	120	119	3.80	3.80	245	246	1	10000	LINK RIGIDO	0	0	0	0	0	0	0	0		Secondario Acc
308	120	119	0.00	0.00	86	85	1	10000	LINK RIGIDO	0	0	0	0	0	0	0	0		Secondario Acc
309	119	119	3.80	0.00	246	85	3	10039	MURAT 60 x 140.7	0	81	0	0	-48	0	0	108		Secondario Acc
310	119	58	3.80	3.80	246	243	1	10000	LINK RIGIDO	0	0	0	0	0	0	0	0		Secondario Acc
311	119	58	0.00	0.00	85	84	1	10000	LINK RIGIDO	0	0	0	0	0	0	0	0		Secondario Acc
312	60	122	3.80	3.80	176	247	1	10000	LINK RIGIDO	0	0	0	0	0	0	0	0		Secondario Acc
313	60	122	0.00	0.00	91	90	1	10000	LINK RIGIDO	0	0	0	0	0	0	0	0		Secondario Acc
314	122	142	3.80	3.80	247	248	1	10007	MURAT 60 x 150	0	0	0	0	0	0	0	0		Secondario Acc
315	142	143	3.80	3.80	248	249	1	10014	MURAT 60 x 50	0	0	0	0	0	0	0	0		Secondario Acc
316	143	121	3.80	3.80	249	250	1	10014	MURAT 60 x 50	0	0	0	0	0	0	0	0		Secondario Acc
317	122	121	0.00	0.00	90	89	1	10004	MURAT 60 x 190	0	0	0	0	0	0	0	0		Secondario Acc
318	121	59	3.80	3.80	250	251	1	10000	LINK RIGIDO	0	0	0	0	0	0	0	0		Secondario Acc
319	121	59	0.00	0.00	89	88	1	10000	LINK RIGIDO	0	0	0	0	0	0	0	0		Secondario Acc
320	59	59	3.80	0.00	251	88	3	10026	MURAT 60 x 155.9	0	73	-13	4	-18	-13	4	112		Secondario Acc
321	59	37	3.80	3.80	251	244	1	10000	LINK RIGIDO	0	0	0	0	0	0	0	0		Secondario Acc
322	59	37	0.00	0.00	88	87	1	10000	LINK RIGIDO	0	0	0	0	0	0	0	0		Secondario Acc
323	40	40	3.80	0.00	191	105	3	10040	MURAT 60 x 472.8	0	259	-7	1	-9	-7	1	37		Secondario Acc
324	40	132	3.80	3.80	191	252	1	10000	LINK RIGIDO	0	0	0	0	0	0	0	0		Secondario Acc
3252																			

Tabulati di calcolo – Palazzo Magnalbò

DATI ASTE SPAZIALI																			
IDENTIFICAZIONE								GEOMETRIA				SCOST.INIZIALI			SCOST. FINALI				
Asta3d N.ro	Filo in.	Filo fin.	Q.iniz (m)	Q.fin. (m)	Nod3d iniz.	Nod3d fin.	Cr. Pr.	Sez. N.ro	Sigla Sezione	Magr. (cm)	Rot. Grd	dx (cm)	dy (cm)	dz (cm)	dx (cm)	dy (cm)	dz (cm)	Cri Geo	Tipo Elemento ai fini sism.
345	24	25	3.80	3.80	139	140	1	44	Rett. 90 x 24	0	0	47	-51	-12	-39	-25	-12	2	Trave telaio
346	20	26	3.80	3.80	135	141	1	44	Rett. 90 x 24	0	0	-37	-29	-12	10	-37	-12	2	Trave telaio
347	25	26	3.80	3.80	140	141	1	44	Rett. 90 x 24	0	0	19	-42	-12	-25	-31	-12	2	Trave telaio
348	18	19	3.80	3.80	133	134	1	36	Rett. 40 x 24	0	0	-17	-7	-12	28	-15	-12	2	Trave telaio
349	62	15	3.80	3.80	257	130	1	44	Rett. 90 x 24	0	0	0	0	-12	-21	-23	-12	2	Trave telaio
350	23	22	3.80	3.80	138	137	1	44	Rett. 90 x 24	0	0	64	14	-12	-25	30	-12	2	Trave telaio
351	63	13	3.80	3.80	258	128	1	50	Rett. 100 x 24	0	0	0	0	-12	31	19	-12	2	Trave telaio
352	63	18	3.80	3.80	258	133	1	50	Rett. 100 x 24	0	0	0	0	-12	7	-62	-12	2	Trave telaio
353	63	16	3.80	3.80	258	131	1	38	Rett. 50 x 24	0	0	2	20	-12	-61	17	-12	2	Trave telaio
354	63	64	3.80	3.80	258	259	1	10000	LINK RIGIDO	0	0	0	0	0	0	0	0	2	Trave telaio
355	64	15	3.80	3.80	259	130	1	44	Rett. 90 x 24	0	0	-1	-9	-12	19	-25	-12	2	Trave telaio
356	42	22	3.80	3.80	260	137	1	44	Rett. 90 x 24	0	0	0	0	-12	34	19	-12	2	Trave telaio
357	42	21	3.80	3.80	260	136	1	44	Rett. 90 x 24	0	0	0	0	-12	-59	17	-12	2	Trave telaio
358	21	27	3.80	3.80	136	142	1	44	Rett. 90 x 24	0	0	4	11	-12	-56	43	-12	2	Trave telaio
359	1	2	3.80	3.80	116	117	1	36	Rett. 40 x 24	0	0	62	10	-12	-16	12	-12	2	Trave telaio
360	3	2	3.80	3.80	118	117	1	36	Rett. 40 x 24	0	0	-17	23	-12	14	14	-12	2	Trave telaio
361	3	4	3.80	3.80	118	119	1	36	Rett. 40 x 24	0	0	13	25	-12	-16	14	-12	2	Trave telaio
362	5	4	3.80	3.80	120	119	1	36	Rett. 40 x 24	0	0	-30	15	-12	14	16	-12	2	Trave telaio
363	2	8	3.80	3.80	117	123	1	50	Rett. 100 x 24	0	0	-4	60	-12	0	-31	-12	2	Trave telaio
364	11	66	3.80	3.80	126	261	1	52	Rett. 80 x 24	0	0	-39	21	-12	0	0	-12	2	Trave telaio
365	12	13	3.80	3.80	127	128	1	50	Rett. 100 x 24	0	0	31	19	-12	29	-21	-12	2	Trave telaio
366	8	7	3.80	3.80	123	122	1	52	Rett. 80 x 24	0	0	-21	1	-12	62	-19	-12	2	Trave telaio
367	11	8	3.80	3.80	126	123	1	52	Rett. 80 x 24	0	0	-38	7	-12	22	24	-12	2	Trave telaio
368	14	62	3.80	3.80	129	257	1	52	Rett. 80 x 24	0	0	-39	21	-12	0	0	-12	2	Trave telaio
369	27	62	3.80	3.80	142	257	1	44	Rett. 90 x 24	0	0	6	38	-12	0	0	-12	2	Trave telaio
370	12	9	3.80	3.80	127	124	1	50	Rett. 100 x 24	0	0	14	-33	-12	61	14	-12	2	Trave telaio
371	9	4	3.80	3.80	124	119	1	50	Rett. 100 x 24	0	0	50	-17	-12	-3	61	-12	2	Trave telaio
372	19	15	3.80	3.80	134	130	1	52	Rett. 80 x 24	0	0	-4	-32	-12	2	20	-12	2	Trave telaio
373	27	20	3.80	3.80	142	135	1	53	Rett. 75 x 24	0	0	-19	34	-12	-5	-30	-12	2	Trave telaio
374	21	40	3.80	3.80	136	191	1	10000	LINK RIGIDO	0	0	0	0	0	0	0	0	2	Trave telaio
375	66	14	3.80	3.80	261	129	1	52	Rett. 80 x 24	0	0	0	0	-12	-41	-19	-12	2	Trave telaio
376	46	66	3.80	3.80	196	261	1	55	Rett. 70 x 24	0	0	1	25	-12	1	25	-12	2	Secondario C.A
377	47	14	3.80	3.80	216	129	1	55	Rett. 70 x 24	0	0	-1	-25	-12	-20	-2	-12	2	Secondario C.A
378	22	61	3.80	3.80	137	187	1	10000	LINK RIGIDO	0	0	0	0	0	0	0	0	2	Trave telaio
379	39	23	3.80	3.80	183	138	1	10000	LINK RIGIDO	0	0	0	0	0	0	0	0	2	Trave telaio
380	38	24	3.80	3.80	181	139	1	10000	LINK RIGIDO	0	0	0	0	0	0	0	0	2	Trave telaio
381	25	60	3.80	3.80	140	176	1	10000	LINK RIGIDO	0	0	0	0	0	0	0	0	2	Trave telaio
382	26	59	3.80	3.80	141	251	1	10000	LINK RIGIDO	0	0	0	0	0	0	0	0	2	Trave telaio
383	58	20	3.80	3.80	243	135	1	10000	LINK RIGIDO	0	0	0	0	0	0	0	0	2	Trave telaio
384	19	57	3.80	3.80	134	238	1	10000	LINK RIGIDO	0	0	0	0	0	0	0	0	2	Trave telaio
385	18	56	3.80	3.80	133	161	1	10000	LINK RIGIDO	0	0	0	0	0	0	0	0	2	Trave telaio
386	36	17	3.80	3.80	169	132	1	10000	LINK RIGIDO	0	0	0	0	0	0	0	0	2	Trave telaio
387	16	55	3.80	3.80	131	175	1	10000	LINK RIGIDO	0	0	0	0	0	0	0	0	2	Trave telaio
388	10	54	3.80	3.80	125	156	1	10000	LINK RIGIDO	0	0	0	0	0	0	0	0	2	Trave telaio
389	34	5	3.80	3.80	149	120	1	10000	LINK RIGIDO	0	0	0	0	0	0	0	0	2	Trave telaio
390	4	52	3.80	3.80	119	227	1	10000	LINK RIGIDO	0	0	0	0	0	0	0	0	2	Trave telaio
391	3	51	3.80	3.80	118	223	1	10000	LINK RIGIDO	0	0	0	0	0	0	0	0	2	Trave telaio
392	2	50	3.80	3.80	117	160	1	10000	LINK RIGIDO	0	0	0	0	0	0	0	0	2	Trave telaio
393	1	28	3.80	3.80	116	143	1	10000	LINK RIGIDO	0	0	0	0	0	0	0	0	2	Trave telaio
394	6	48	3.80	3.80	121	190	1	10000	LINK RIGIDO	0	0	0	0	0	0	0	0	2	Trave telaio
395	7	30	3.80	3.80	122	188	1	10000	LINK RIGIDO	0	0	0	0	0	0	0	0	2	Trave telaio
396	12	13	5.30	5.30	624	625	1	83	Rett. 40 x 24	0	0	31	19	-12	29	-21	-12	2	Trave telaio
397	1	1	6.80	3.80	262	116	3	3	Rett. 30 x 50	0	89	25	15	-24	25	15	0		Pilastr
398	2	2	6.80	3.80	263	117	3	3	Rett. 30 x 50	0	4	-2	25	-24	-2	25	0		Pilastr
399	3	3	6.80	3.80	264	118	3	3	Rett. 30 x 50	0	4	-2	25	-24	-2	25	0		Pilastr
400	4	4	6.80	3.80	265	119	3	3	Rett. 30 x 50	0	4	-2	25	-24	-2	25	0		Pilastr
401	5	5	6.80	3.80	266	120	3	3	Rett. 30 x 50	0	-10	-11	27	-24	-11	27	0		Pilastr
402	6	6	6.80	3.80	267	121	3	3	Rett. 30 x 50	0	89	25	0	-24	25	0	0		Pilastr
403	7	7	6.80	3.80	268	122	3	3	Rett. 30 x 50	0	89	25	-15	-24	25	-15	0		Pilastr
404	8	8	6.80	3.80	269	123	3	3	Rett. 30 x 50	0	0	0	0	-24	0	0	0		Pilastr
405	9	9	6.80	3.80	270	124	3	3	Rett. 30 x 50	0	89	25	-1	-24	25	-1	0		Pilastr
406	10	10	6.80	3.80	271	125	3	3	Rett. 30 x 50	0	80	-25	4	-24	-25	4	0		Pilastr
407	11	11																	

Tabulati di calcolo – Palazzo Magnalbò

DATI ASTE SPAZIALI																				
IDENTIFICAZIONE								GEOMETRIA				SCOST.INIZIALI			SCOST. FINALI					
Asta3d N.ro	Filo in.	Filo fin.	Q.iniz (m)	Q.fin. (m)	Nod3d iniz.	Nod3d fin.	Cr. Pr.	Sez. N.ro	Sigla Sezione	Magr. (cm)	Rot. Grd	dx (cm)	dy (cm)	dz (cm)	dx (cm)	dy (cm)	dz (cm)	Cri Geo	Tipo Elemento ai fini sism.	
428	87	87	6.80	3.80	292	146	3	10002	MURAT 60 x 84	0	94	-42	-3	-41	-42	-3	58		Secondario Acc	
429	87	88	6.80	6.80	292	293	1	10042	MURAT 60 x 160	0	0	0	0	0	0	0	0		Secondario Acc	
430	88	88	6.80	3.80	293	147	3	10005	MURAT 60 x 75.7	0	94	38	2	-43	38	2	60		Secondario Acc	
431	88	32	6.80	6.80	293	294	1	10000	LINK RIGIDO	0	0	0	0	0	0	0	0		Secondario Acc	
432	34	96	6.80	6.80	295	296	1	10000	LINK RIGIDO	0	0	0	0	0	0	0	0		Secondario Acc	
433	96	96	6.80	3.80	296	150	3	10006	MURAT 60 x 162	0	170	0	0	-29	0	0	43		Secondario Acc	
434	96	97	6.80	6.80	296	297	1	10000	LINK RIGIDO	0	0	0	0	0	0	0	0		Secondario Acc	
435	97	98	6.80	6.80	297	298	1	10043	MURAT 60 x 170	0	0	0	0	0	0	0	0		Secondario Acc	
436	98	99	6.80	6.80	298	299	1	10000	LINK RIGIDO	0	0	0	0	0	0	0	0		Secondario Acc	
437	99	99	6.80	3.80	299	153	3	10008	MURAT 60 x 198	0	170	0	0	-36	0	0	46		Secondario Acc	
438	99	100	6.80	6.80	299	300	1	10000	LINK RIGIDO	0	0	0	0	0	0	0	0		Secondario Acc	
439	100	54	6.80	6.80	300	301	1	10042	MURAT 60 x 160	0	0	0	0	0	0	0	0		Secondario Acc	
440	100	54	3.80	3.80	154	156	1	10044	MURAT 60 x 90	0	0	0	0	0	0	0	0		Secondario Acc	
441	32	89	6.80	6.80	294	302	1	10000	LINK RIGIDO	0	0	1	-8	0	1	-8	0		Secondario Acc	
442	89	89	6.80	3.80	302	157	3	10010	MURAT 45 x 43	0	94	-21	-9	-53	-21	-9	72		Secondario Acc	
443	89	33	6.80	6.80	302	303	1	10045	MURAT 45 x 160	0	0	1	-8	0	1	-8	0		Secondario Acc	
444	33	90	6.80	6.80	303	304	1	10000	LINK RIGIDO	0	0	0	0	0	0	0	0		Secondario Acc	
445	90	90	6.80	3.80	304	159	3	10013	MURAT 60 x 137.5	0	94	0	0	-27	0	0	43		Secondario Acc	
446	90	50	6.80	6.80	304	305	1	10000	LINK RIGIDO	0	0	0	0	0	0	0	0		Secondario Acc	
447	56	133	6.80	6.80	306	307	1	10000	LINK RIGIDO	0	0	0	0	0	0	0	0		Secondario Acc	
448	133	133	6.80	3.80	307	162	3	10046	MURAT 60 x 20	0	81	-10	2	-53	-10	2	68		Secondario Acc	
449	133	114	6.80	6.80	307	308	1	10047	MURAT 60 x 160	0	0	0	0	0	0	0	0		Secondario Acc	
450	114	113	6.80	6.80	308	309	1	10000	LINK RIGIDO	0	0	0	0	0	0	0	0		Secondario Acc	
451	113	113	6.80	3.80	309	164	3	10015	MURAT 60 x 184	0	81	0	0	-11	0	0	14		Secondario Acc	
452	113	112	6.80	6.80	309	310	1	10000	LINK RIGIDO	0	0	0	0	0	0	0	0		Secondario Acc	
453	112	134	6.80	6.80	310	311	1	10000	LINK RIGIDO	0	0	0	0	0	0	0	0		Secondario Acc	
454	134	134	6.80	3.80	311	166	3	10039	MURAT 60 x 140.7	0	81	0	0	-11	0	0	14		Secondario Acc	
455	134	111	6.80	6.80	311	312	1	10000	LINK RIGIDO	0	0	0	0	0	0	0	0		Secondario Acc	
456	111	110	6.80	6.80	312	313	1	10000	LINK RIGIDO	0	0	0	0	0	0	0	0		Secondario Acc	
457	110	110	6.80	3.80	313	168	3	10016	MURAT 60 x 118.4	0	81	0	0	-11	0	0	14		Secondario Acc	
458	110	36	6.80	6.80	313	314	1	10000	LINK RIGIDO	0	0	0	0	0	0	0	0		Secondario Acc	
459	35	103	6.80	6.80	315	316	1	10000	LINK RIGIDO	0	0	0	0	0	0	0	0		Secondario Acc	
460	103	103	6.80	3.80	316	171	3	10017	MURAT 60 x 108	0	162	0	0	-35	0	0	51		Secondario Acc	
461	103	104	6.80	6.80	316	317	1	10000	LINK RIGIDO	0	0	0	0	0	0	0	0		Secondario Acc	
462	104	106	6.80	6.80	317	318	1	10042	MURAT 60 x 160	0	0	0	0	0	0	0	0		Secondario Acc	
463	104	106	3.80	3.80	172	174	1	10044	MURAT 60 x 90	0	0	0	0	0	0	0	0		Secondario Acc	
464	106	55	6.80	6.80	318	319	1	10000	LINK RIGIDO	0	0	0	0	0	0	0	0		Secondario Acc	
465	38	126	6.80	6.80	320	321	1	10000	LINK RIGIDO	0	0	0	0	0	0	0	0		Secondario Acc	
466	126	126	6.80	3.80	321	180	3	10016	MURAT 60 x 118.4	0	73	0	0	-32	0	0	48		Secondario Acc	
467	126	125	6.80	6.80	321	322	1	10000	LINK RIGIDO	0	0	0	0	0	0	0	0		Secondario Acc	
468	125	124	6.80	6.80	322	323	1	10047	MURAT 60 x 160	0	0	0	0	0	0	0	0		Secondario Acc	
469	124	123	6.80	6.80	323	324	1	10000	LINK RIGIDO	0	0	0	0	0	0	0	0		Secondario Acc	
470	123	123	6.80	3.80	324	177	3	10019	MURAT 60 x 221	0	73	0	0	-32	0	0	41		Secondario Acc	
471	123	60	6.80	6.80	324	325	1	10000	LINK RIGIDO	0	0	0	0	0	0	0	0		Secondario Acc	
472	38	127	6.80	6.80	320	326	1	10000	LINK RIGIDO	0	0	0	0	0	0	0	0		Secondario Acc	
473	127	127	6.80	3.80	326	182	3	10020	MURAT 60 x 727.7	0	350	0	0	0	0	0	0		Secondario Acc	
474	127	39	6.80	6.80	326	327	1	10000	LINK RIGIDO	0	0	0	0	0	0	0	0		Secondario Acc	
475	39	128	6.80	6.80	327	328	1	10000	LINK RIGIDO	0	0	0	0	0	0	0	0		Secondario Acc	
476	128	128	6.80	3.80	328	184	3	10004	MURAT 60 x 190	0	79	0	0	-24	0	0	32		Secondario Acc	
477	128	129	6.80	6.80	328	329	1	10000	LINK RIGIDO	0	0	0	0	0	0	0	0		Secondario Acc	
478	129	130	6.80	6.80	329	330	1	10042	MURAT 60 x 160	0	0	0	0	0	0	0	0		Secondario Acc	
479	130	61	6.80	6.80	330	331	1	10000	LINK RIGIDO	0	0	0	0	0	0	0	0		Secondario Acc	
480	61	61	6.80	3.80	331	187	3	10021	MURAT 60 x 216.3	0	79	-31	6	-33	-31	6	43		Secondario Acc	
481	30	85	6.80	6.80	332	333	1	10000	LINK RIGIDO	0	0	0	0	0	0	0	0		Secondario Acc	
482	85	85	6.80	3.80	333	189	3	10022	MURAT 60 x 334.2	0	359	0	0	0	0	0	0		Secondario Acc	
483	85	48	6.80	6.80	333	334	1	10000	LINK RIGIDO	0	0	0	0	0	0	0	0		Secondario Acc	
484	40	41	6.80	6.80	335	336	1	10000	LINK RIGIDO	0	0	0	0	0	0	0	0		Secondario Acc	
485	49	84	6.80	6.80	337	338	1	10000	LINK RIGIDO	0	0	0	8	0	0	8	0		Secondario Acc	
486	84	84	6.80	3.80	338	194	3	10023	MURAT 45 x 93.7	0	272	0	8	-38	0	8	55		Secondario Acc	
487	84	30	6.80	6.80	338	332	1	10000	LINK RIGIDO	0	0	0	8	0	0	8	0		Secondario Acc	
488	48	29	6.80	6.80	334	291	1	10000	LINK RIGIDO	0	0	0	0	0	-3	0	0		Secondario Acc	
489	51	92	6.80	6.80	358	359	1	10000	LINK RIGIDO	0	0	0	0	0	0	0	0		Secondario Acc	
490	92	92	6.80	3.80	359	224	3	10024	MURAT 60 x 181	0	274	0	0	-39	0	0	51</			

Tabulati di calcolo – Palazzo Magnalbò

DATI ASTE SPAZIALI																			
IDENTIFICAZIONE								GEOMETRIA				SCOST.INIZIALI			SCOST. FINALI				
Asta3d N.ro	Filo in.	Filo fin.	Q.iniz (m)	Q.fin. (m)	Nod3d iniz.	Nod3d fin.	Cr. Pr.	Sez. N.ro	Sigla Sezione	Magr. (cm)	Rot. Grd	dx (cm)	dy (cm)	dz (cm)	dx (cm)	dy (cm)	dz (cm)	Cri Geo	Tipo Elemento ai fini sism.
511	141	141	6.80	3.80	370	235	3	10050	MURAT 60 x 40	0	162	6	19	-27	6	19	41		Secondario Acc
512	141	108	6.80	6.80	370	371	1	10000	LINK RIGIDO	0	0	0	0	0	0	0	0		Secondario Acc
513	108	109	6.80	6.80	371	372	1	10000	LINK RIGIDO	0	0	0	0	0	0	0	0		Secondario Acc
514	109	109	6.80	3.80	372	237	3	10033	MURAT 60 x 104	0	162	0	0	-27	0	0	41		Secondario Acc
515	109	36	6.80	6.80	372	314	1	10000	LINK RIGIDO	0	0	0	0	0	0	0	0		Secondario Acc
516	57	57	6.80	3.80	373	238	3	10034	MURAT 60 x 161	0	81	46	-8	-43	46	-8	55		Secondario Acc
517	57	116	6.80	6.80	373	374	1	10000	LINK RIGIDO	0	0	0	0	0	0	0	0		Secondario Acc
518	116	115	6.80	6.80	374	375	1	10047	MURAT 60 x 160	0	0	0	0	0	0	0	0		Secondario Acc
519	115	115	6.80	3.80	375	240	3	10025	MURAT 60 x 80	0	81	40	-7	-53	40	-7	68		Secondario Acc
520	115	56	6.80	6.80	375	306	1	10000	LINK RIGIDO	0	0	0	0	0	0	0	0		Secondario Acc
521	57	117	6.80	6.80	373	376	1	10000	LINK RIGIDO	0	0	0	0	0	0	0	0		Secondario Acc
522	117	58	6.80	6.80	376	377	1	10042	MURAT 60 x 160	0	0	0	0	0	0	0	0		Secondario Acc
523	117	118	3.80	3.80	241	242	1	10044	MURAT 60 x 90	0	0	0	0	0	0	0	0		Secondario Acc
524	37	120	6.80	6.80	378	379	1	10047	MURAT 60 x 160	0	0	0	0	0	0	0	0		Secondario Acc
525	120	119	6.80	6.80	379	380	1	10000	LINK RIGIDO	0	0	0	0	0	0	0	0		Secondario Acc
526	119	119	6.80	3.80	380	246	3	10039	MURAT 60 x 140.7	0	81	0	0	-46	0	0	59		Secondario Acc
527	119	58	6.80	6.80	380	377	1	10000	LINK RIGIDO	0	0	0	0	0	0	0	0		Secondario Acc
528	59	59	6.80	3.80	381	251	3	10026	MURAT 60 x 155.9	0	253	-13	4	-19	-13	4	24		Secondario Acc
529	59	121	6.80	6.80	381	382	1	10000	LINK RIGIDO	0	0	0	0	0	0	0	0		Secondario Acc
530	121	143	6.80	6.80	382	383	1	10000	LINK RIGIDO	0	0	0	0	0	0	0	0		Secondario Acc
531	143	143	6.80	3.80	383	249	3	10051	MURAT 60 x 169	0	253	0	0	-19	0	0	24		Secondario Acc
532	143	142	6.80	6.80	383	384	1	10000	LINK RIGIDO	0	0	0	0	0	0	0	0		Secondario Acc
533	142	122	6.80	6.80	384	385	1	10043	MURAT 60 x 170	0	0	0	0	0	0	0	0		Secondario Acc
534	122	60	6.80	6.80	385	325	1	10000	LINK RIGIDO	0	0	0	0	0	0	0	0		Secondario Acc
535	59	37	6.80	6.80	381	378	1	10000	LINK RIGIDO	0	0	0	0	0	0	0	0		Secondario Acc
536	40	40	6.80	3.80	335	191	3	10040	MURAT 60 x 472.8	0	259	-7	1	-9	-7	1	12		Secondario Acc
537	40	132	6.80	6.80	335	386	1	10000	LINK RIGIDO	0	0	0	0	0	0	0	0		Secondario Acc
538	132	131	6.80	6.80	386	387	1	10047	MURAT 60 x 160	0	0	0	0	0	0	0	0		Secondario Acc
539	131	61	6.80	6.80	387	331	1	10000	LINK RIGIDO	0	0	0	0	0	0	0	0		Secondario Acc
540	31	43	6.80	6.80	388	389	1	10000	LINK RIGIDO	0	0	0	8	0	0	8	0		Secondario Acc
541	43	43	6.80	3.80	389	255	3	10041	MURAT 45 x 238	0	272	0	8	-22	0	8	28		Secondario Acc
542	43	83	6.80	6.80	389	390	1	10000	LINK RIGIDO	0	0	0	8	0	0	8	0		Secondario Acc
543	83	49	6.80	6.80	390	337	1	10052	MURAT 45 x 160	0	0	0	8	0	0	8	0		Secondario Acc
544	7	30	6.80	6.80	268	332	1	10000	LINK RIGIDO	0	0	0	0	0	0	0	0	2	Trave telaio
545	7	6	6.80	6.80	268	267	1	35	Rett. 90 x 24	0	0	45	-31	-12	45	14	-12	2	Trave telaio
546	6	1	6.80	6.80	267	262	1	35	Rett. 90 x 24	0	0	45	-16	-12	46	29	-12	2	Trave telaio
547	5	10	6.80	6.80	266	271	1	35	Rett. 90 x 24	0	0	-26	55	-12	-37	-9	-12	2	Trave telaio
548	10	16	6.80	6.80	271	277	1	35	Rett. 90 x 24	0	0	-32	23	-12	-39	-5	-12	2	Trave telaio
549	17	16	6.80	6.80	278	277	1	35	Rett. 90 x 24	0	0	-49	-37	-12	-29	25	-12	2	Trave telaio
550	17	18	6.80	6.80	278	279	1	36	Rett. 40 x 24	0	0	-37	3	-12	13	-12	-12	2	Trave telaio
551	20	19	6.80	6.80	281	280	1	36	Rett. 40 x 24	0	0	23	-14	-12	-26	-6	-12	2	Trave telaio
552	23	24	6.80	6.80	284	285	1	36	Rett. 40 x 24	0	0	15	28	-12	4	-37	-12	2	Trave telaio
553	24	25	6.80	6.80	285	286	1	35	Rett. 90 x 24	0	0	38	-48	-12	-34	-26	-12	2	Trave telaio
554	20	26	6.80	6.80	281	287	1	35	Rett. 90 x 24	0	0	-32	-30	-12	10	-37	-12	2	Trave telaio
555	25	26	6.80	6.80	286	287	1	35	Rett. 90 x 24	0	0	14	-41	-12	-25	-31	-12	2	Trave telaio
556	18	19	6.80	6.80	279	280	1	36	Rett. 40 x 24	0	0	-17	-7	-12	23	-14	-12	2	Trave telaio
557	62	15	6.80	6.80	391	276	1	35	Rett. 90 x 24	0	0	0	0	-12	-21	-23	-12	2	Trave telaio
558	23	22	6.80	6.80	284	283	1	35	Rett. 90 x 24	0	0	54	15	-12	-20	29	-12	2	Trave telaio
559	63	13	6.80	6.80	392	274	1	37	Rett. 100 x 24	0	0	0	0	-12	31	19	-12	2	Trave telaio
560	63	18	6.80	6.80	392	279	1	37	Rett. 100 x 24	0	0	0	0	-12	7	-52	-12	2	Trave telaio
561	63	16	6.80	6.80	392	277	1	38	Rett. 50 x 24	0	0	2	20	-12	-51	16	-12	2	Trave telaio
562	63	64	6.80	6.80	392	393	1	10000	LINK RIGIDO	0	0	0	0	0	0	0	0	2	Trave telaio
563	64	15	6.80	6.80	393	276	1	35	Rett. 90 x 24	0	0	-1	-9	-12	19	-25	-12	2	Trave telaio
564	42	22	6.80	6.80	394	283	1	35	Rett. 90 x 24	0	0	0	0	-12	29	20	-12	2	Trave telaio
565	42	21	6.80	6.80	394	282	1	35	Rett. 90 x 24	0	0	0	0	-12	-49	16	-12	2	Trave telaio
566	21	27	6.80	6.80	282	288	1	35	Rett. 90 x 24	0	0	4	11	-12	-46	42	-12	2	Trave telaio
567	1	2	6.80	6.80	262	263	1	36	Rett. 40 x 24	0	0	52	9	-12	-16	12	-12	2	Trave telaio
568	3	2	6.80	6.80	264	263	1	36	Rett. 40 x 24	0	0	-17	23	-12	14	14	-12	2	Trave telaio
569	3	4	6.80	6.80	264	265	1	36	Rett. 40 x 24	0	0	13	25	-12	-16	14	-12	2	Trave telaio
570	5	4	6.80	6.80	266	265	1	36	Rett. 40 x 24	0	0	-30	15	-12	14	16	-12	2	Trave telaio
571	2	8	6.80	6.80	263	269	1	37	Rett. 100 x 24	0	0	-3	50	-12	0	-26	-12	2	Trave telaio
572	11	66	6.80	6.80	272	395	1	40	Rett. 80 x 24	0	0	-39	21	-12					

Tabulati di calcolo – Palazzo Magnalbò

DATI ASTE SPAZIALI																			
IDENTIFICAZIONE								GEOMETRIA				SCOST.INIZIALI			SCOST. FINALI				
Asta3d N.ro	Filo in.	Filo fin.	Q.iniz (m)	Q.fin. (m)	Nod3d iniz.	Nod3d fin.	Cr. Pr.	Sez. N.ro	Sigla Sezione	Magr. (cm)	Rot. Grd	dx (cm)	dy (cm)	dz (cm)	dx (cm)	dy (cm)	dz (cm)	Cri Geo	Tipo Elemento ai fini sism.
594	18	56	6.80	6.80	279	306	1	10000	LINK RIGIDO	0	0	0	0	0	0	0	0	2	Trave telaio
595	19	57	6.80	6.80	280	373	1	10000	LINK RIGIDO	0	0	0	0	0	0	0	0	2	Trave telaio
596	21	40	6.80	6.80	282	335	1	10000	LINK RIGIDO	0	0	0	0	0	0	0	0	2	Trave telaio
597	22	61	6.80	6.80	283	331	1	10000	LINK RIGIDO	0	0	0	0	0	0	0	0	2	Trave telaio
598	39	23	6.80	6.80	327	284	1	10000	LINK RIGIDO	0	0	0	0	0	0	0	0	2	Trave telaio
599	38	24	6.80	6.80	320	285	1	10000	LINK RIGIDO	0	0	0	0	0	0	0	0	2	Trave telaio
600	25	60	6.80	6.80	286	325	1	10000	LINK RIGIDO	0	0	0	0	0	0	0	0	2	Trave telaio
601	26	59	6.80	6.80	287	381	1	10000	LINK RIGIDO	0	0	0	0	0	0	0	0	2	Trave telaio
602	20	58	6.80	6.80	281	377	1	10000	LINK RIGIDO	0	0	0	0	0	0	0	0	2	Trave telaio
603	1	1	9.80	6.80	396	262	3	3	Rett. 30 x 50	0	89	25	15	0	25	15	0		Pilastri
604	2	2	9.80	6.80	397	263	3	3	Rett. 30 x 50	0	4	-2	25	-24	-2	25	0		Pilastri
605	3	3	9.80	6.80	398	264	3	3	Rett. 30 x 50	0	4	-2	25	0	-2	25	0		Pilastri
606	4	4	9.80	6.80	399	265	3	3	Rett. 30 x 50	0	4	-2	25	-24	-2	25	0		Pilastri
607	5	5	9.80	6.80	400	266	3	3	Rett. 30 x 50	0	-10	-11	27	0	-11	27	0		Pilastri
608	6	6	9.80	6.80	401	267	3	3	Rett. 30 x 50	0	89	25	0	0	25	0	0		Pilastri
609	7	7	9.80	6.80	402	268	3	3	Rett. 30 x 50	0	89	25	-15	-24	25	-15	0		Pilastri
610	8	8	9.80	6.80	403	269	3	3	Rett. 30 x 50	0	0	0	0	-24	0	0	0		Pilastri
611	9	9	9.80	6.80	404	270	3	3	Rett. 30 x 50	0	89	25	-1	-24	25	-1	0		Pilastri
612	10	10	9.80	6.80	405	271	3	3	Rett. 30 x 50	0	80	-25	4	0	-25	4	0		Pilastri
613	11	11	9.80	6.80	406	272	3	22	Circ. 20	0	0	0	0	-24	0	0	0		Pilastri
614	12	12	9.80	6.80	407	273	3	22	Circ. 20	0	0	0	0	-24	0	0	0		Pilastri
615	13	13	9.80	6.80	408	274	3	22	Circ. 20	0	0	0	0	-24	0	0	0		Pilastri
616	14	14	9.80	6.80	409	275	3	22	Circ. 20	0	0	0	0	-24	0	0	0		Pilastri
617	15	15	9.80	6.80	410	276	3	22	Circ. 20	0	0	0	0	-24	0	0	0		Pilastri
618	16	16	9.80	6.80	411	277	3	3	Rett. 30 x 50	0	72	-24	8	-24	-24	8	0		Pilastri
619	17	17	9.80	6.80	412	278	3	3	Rett. 30 x 50	0	-18	-22	-19	0	-22	-19	0		Pilastri
620	18	18	9.80	6.80	413	279	3	3	Rett. 30 x 50	0	-9	-4	-25	-24	-4	-25	0		Pilastri
621	19	19	9.80	6.80	414	280	3	3	Rett. 30 x 50	0	81	-3	-15	-24	-3	-15	0		Pilastri
622	20	20	9.80	6.80	415	281	3	3	Rett. 30 x 50	0	81	-3	-15	-24	-3	-15	0		Pilastri
623	21	21	9.80	6.80	416	282	3	3	Rett. 30 x 50	0	79	-22	19	-24	-22	19	0		Pilastri
624	22	22	9.80	6.80	417	283	3	3	Rett. 30 x 50	0	79	3	15	0	3	15	0		Pilastri
625	23	23	9.80	6.80	418	284	3	3	Rett. 30 x 50	0	79	27	10	0	27	10	0		Pilastri
626	24	24	9.80	6.80	419	285	3	3	Rett. 30 x 50	0	73	20	-22	0	20	-22	0		Pilastri
627	25	25	9.80	6.80	420	286	3	3	Rett. 30 x 50	0	73	-4	-14	0	-4	-14	0		Pilastri
628	26	26	9.80	6.80	421	287	3	3	Rett. 30 x 50	0	-9	-4	-25	0	-4	-25	0		Pilastri
629	27	27	9.80	6.80	422	288	3	3	Rett. 30 x 50	0	79	-22	19	-24	-22	19	0		Pilastri
630	49	83	9.80	9.80	423	424	1	10053	MURAT 45 x 70	0	0	0	8	0	0	8	0		Secondario Acc
631	83	43	9.80	9.80	424	425	1	10000	LINK RIGIDO	0	0	0	8	0	0	8	0		Secondario Acc
632	43	43	9.80	6.80	425	389	3	10041	MURAT 45 x 238	0	92	0	8	-22	0	8	28		Secondario Acc
633	43	31	9.80	9.80	425	426	1	10000	LINK RIGIDO	0	0	0	8	0	0	8	0		Secondario Acc
634	28	86	9.80	9.80	427	428	1	10000	LINK RIGIDO	0	0	-10	0	0	-10	0	0		Secondario Acc
635	86	86	9.80	6.80	428	290	3	10054	MURAT 40 x 486.6	0	179	-10	0	0	-10	0	0		Secondario Acc
636	86	29	9.80	9.80	428	429	1	10000	LINK RIGIDO	0	0	-10	0	0	-10	0	0		Secondario Acc
637	28	87	9.80	9.80	427	430	1	10000	LINK RIGIDO	0	0	1	-10	0	1	-10	0		Secondario Acc
638	87	87	9.80	6.80	430	292	3	10055	MURAT 40 x 84	0	94	-41	-13	-41	-41	-13	58		Secondario Acc
639	87	88	9.80	9.80	430	431	1	10056	MURAT 40 x 70	0	0	1	-10	0	1	-10	0		Secondario Acc
640	88	88	9.80	6.80	431	293	3	10057	MURAT 40 x 75.7	0	94	38	-8	-43	38	-8	60		Secondario Acc
641	88	32	9.80	9.80	431	432	1	10000	LINK RIGIDO	0	0	1	-10	0	1	-10	0		Secondario Acc
642	32	89	9.80	9.80	432	433	1	10000	LINK RIGIDO	0	0	1	-10	0	1	-10	0		Secondario Acc
643	89	89	9.80	6.80	433	302	3	10058	MURAT 40 x 43	0	94	-21	-11	-53	-21	-11	72		Secondario Acc
644	89	33	9.80	9.80	433	434	1	10056	MURAT 40 x 70	0	0	1	-10	0	1	-10	0		Secondario Acc
645	33	90	9.80	9.80	434	435	1	10000	LINK RIGIDO	0	0	1	-10	0	1	-10	0		Secondario Acc
646	90	90	9.80	6.80	435	304	3	10059	MURAT 40 x 137.5	0	94	1	-10	-27	1	-10	43		Secondario Acc
647	90	50	9.80	9.80	435	436	1	10000	LINK RIGIDO	0	0	1	-10	0	1	-10	0		Secondario Acc
648	34	96	9.80	9.80	437	438	1	10000	LINK RIGIDO	0	0	10	-2	0	10	-2	0		Secondario Acc
649	96	96	9.80	6.80	438	296	3	10060	MURAT 40 x 162	0	170	10	-2	-26	10	-2	37		Secondario Acc
650	96	97	9.80	9.80	438	439	1	10000	LINK RIGIDO	0	0	10	-2	0	10	-2	0		Secondario Acc
651	97	98	9.80	9.80	439	440	1	10056	MURAT 40 x 70	0	0	10	-2	0	10	-2	0		Secondario Acc
652	98	99	9.80	9.80	440	441	1	10000	LINK RIGIDO	0	0	10	-2	0	10	-2	0		Secondario Acc
653	99	99	9.80	6.80	441	299	3	10061	MURAT 40 x 198	0	170	10	-2	-37	10	-2	47		Secondario Acc
654	99	100	9.80	9.80	441	442	1	10000	LINK RIGIDO	0	0	10	-2	0	10	-2	0		Secondario Acc
655	100	54	9.80	9.80	442	443	1	10056	MURAT 40 x 70	0	0	10	-2	0	10	-2	0		Secondario Acc
656	35	103	9.80	9.80	444	445	1	10000	LINK RIGIDO	0	0	10	-3	0	10	-3	0		

Tabulati di calcolo – Palazzo Magnalbò

DATI ASTE SPAZIALI																				
IDENTIFICAZIONE								GEOMETRIA				SCOST.INIZIALI			SCOST. FINALI					
Asta3d N.ro	Filo in.	Filo fin.	Q.iniz (m)	Q.fin. (m)	Nod3d iniz.	Nod3d fin.	Cr. Pr.	Sez. N.ro	Sigla Sezione	Magr. (cm)	Rot. Grd	dx (cm)	dy (cm)	dz (cm)	dx (cm)	dy (cm)	dz (cm)	Cri Geo	Tipo Elemento ai fini sism.	
677	124	123	9.80	9.80	461	462	1	10000	LINK RIGIDO	0	0	3	10	0	3	10	0		Secondario Acc	
678	123	123	9.80	6.80	462	324	3	10067	MURAT 40 x 221	0	73	3	10	-33	3	10	42		Secondario Acc	
679	123	60	9.80	9.80	462	463	1	10000	LINK RIGIDO	0	0	3	10	0	3	10	0		Secondario Acc	
680	38	127	9.80	9.80	458	464	1	10000	LINK RIGIDO	0	0	-10	2	0	-10	2	0		Secondario Acc	
681	127	127	9.80	6.80	464	326	3	10068	MURAT 40 x 727.7	0	350	-10	2	0	-10	2	0		Secondario Acc	
682	127	39	9.80	9.80	464	465	1	10000	LINK RIGIDO	0	0	-10	2	0	-10	2	0		Secondario Acc	
683	39	128	9.80	9.80	465	466	1	10000	LINK RIGIDO	0	0	-2	-10	0	-2	-10	0		Secondario Acc	
684	128	128	9.80	6.80	466	328	3	10069	MURAT 40 x 189	0	79	-2	-10	-24	-2	-10	32		Secondario Acc	
685	128	129	9.80	9.80	466	467	1	10000	LINK RIGIDO	0	0	-2	-10	0	-2	-10	0		Secondario Acc	
686	129	130	9.80	9.80	467	468	1	10056	MURAT 40 x 70	0	0	-2	-10	0	-2	-10	0		Secondario Acc	
687	130	61	9.80	9.80	468	469	1	10000	LINK RIGIDO	0	0	-2	-10	0	-2	-10	0		Secondario Acc	
688	61	61	9.80	6.80	469	331	3	10070	MURAT 40 x 216.3	0	79	-33	-4	-33	-33	-4	43		Secondario Acc	
689	40	41	9.80	9.80	470	471	1	10000	LINK RIGIDO	0	0	-1	-10	0	-1	-10	0		Secondario Acc	
690	49	84	9.80	9.80	423	472	1	10000	LINK RIGIDO	0	0	0	8	0	0	8	0		Secondario Acc	
691	84	84	9.80	6.80	472	338	3	10023	MURAT 45 x 93.7	0	272	0	8	-38	0	8	55		Secondario Acc	
692	84	30	9.80	9.80	472	473	1	10000	LINK RIGIDO	0	0	0	8	0	0	8	0		Secondario Acc	
693	50	91	9.80	9.80	436	492	1	10056	MURAT 40 x 70	0	0	1	-10	0	1	-10	0		Secondario Acc	
694	91	92	9.80	9.80	492	493	1	10000	LINK RIGIDO	0	0	1	-10	0	1	-10	0		Secondario Acc	
695	92	92	9.80	6.80	493	359	3	10071	MURAT 40 x 181	0	94	1	-10	-39	1	-10	51		Secondario Acc	
696	92	51	9.80	9.80	493	494	1	10000	LINK RIGIDO	0	0	1	-10	0	1	-10	0		Secondario Acc	
697	51	93	9.80	9.80	494	495	1	10056	MURAT 40 x 70	0	0	1	-10	0	1	-10	0		Secondario Acc	
698	93	52	9.80	9.80	495	496	1	10000	LINK RIGIDO	0	0	1	-10	0	1	-10	0		Secondario Acc	
699	52	52	9.80	6.80	496	362	3	10072	MURAT 40 x 155.9	0	94	0	-10	-44	0	-10	56		Secondario Acc	
700	52	94	9.80	9.80	496	497	1	10000	LINK RIGIDO	0	0	1	-10	0	1	-10	0		Secondario Acc	
701	94	95	9.80	9.80	497	498	1	10056	MURAT 40 x 70	0	0	1	-10	0	1	-10	0		Secondario Acc	
702	95	53	9.80	9.80	498	499	1	10000	LINK RIGIDO	0	0	1	-10	0	1	-10	0		Secondario Acc	
703	53	53	9.80	6.80	499	363	3	10073	MURAT 40 x 212	0	94	-48	-13	-23	-48	-13	30		Secondario Acc	
704	53	34	9.80	9.80	499	437	1	10000	LINK RIGIDO	0	0	1	-10	0	1	-10	0		Secondario Acc	
705	35	139	9.80	9.80	444	500	1	10000	LINK RIGIDO	0	0	10	-2	0	10	-2	0		Secondario Acc	
706	139	139	9.80	6.80	500	366	3	10074	MURAT 40 x 150	0	350	10	-2	-23	10	-2	29		Secondario Acc	
707	139	102	9.80	9.80	500	501	1	10000	LINK RIGIDO	0	0	10	-2	0	10	-2	0		Secondario Acc	
708	102	102	9.80	6.80	501	367	3	10057	MURAT 40 x 75.7	0	350	4	-39	-23	4	-39	29		Secondario Acc	
709	102	54	9.80	9.80	501	443	1	10000	LINK RIGIDO	0	0	10	-2	0	10	-2	0		Secondario Acc	
710	36	109	9.80	9.80	457	502	1	10000	LINK RIGIDO	0	0	10	-3	0	10	-3	0		Secondario Acc	
711	109	109	9.80	6.80	502	372	3	10075	MURAT 40 x 103.9	0	342	10	-3	-27	10	-3	41		Secondario Acc	
712	109	108	9.80	9.80	502	503	1	10000	LINK RIGIDO	0	0	10	-3	0	10	-3	0		Secondario Acc	
713	108	141	9.80	9.80	503	504	1	10000	LINK RIGIDO	0	0	10	-3	0	10	-3	0		Secondario Acc	
714	141	141	9.80	6.80	504	370	3	10076	MURAT 40 x 40	0	342	16	16	-27	16	16	41		Secondario Acc	
715	141	140	9.80	9.80	504	505	1	10056	MURAT 40 x 70	0	0	10	-3	0	10	-3	0		Secondario Acc	
716	140	140	9.80	6.80	505	369	3	10077	MURAT 40 x 29.9	0	342	5	-17	-37	5	-17	47		Secondario Acc	
717	140	107	9.80	9.80	505	506	1	10000	LINK RIGIDO	0	0	10	-3	0	10	-3	0		Secondario Acc	
718	107	55	9.80	9.80	506	448	1	10000	LINK RIGIDO	0	0	10	-3	0	10	-3	0		Secondario Acc	
719	55	55	9.80	6.80	448	319	3	10078	MURAT 40 x 167.1	0	342	17	21	-37	17	21	47		Secondario Acc	
720	57	57	9.80	6.80	507	373	3	10079	MURAT 40 x 161	0	81	48	2	-43	48	2	55		Secondario Acc	
721	57	116	9.80	9.80	507	508	1	10000	LINK RIGIDO	0	0	2	10	0	2	10	0		Secondario Acc	
722	116	115	9.80	9.80	508	509	1	10056	MURAT 40 x 70	0	0	2	10	0	2	10	0		Secondario Acc	
723	115	115	9.80	6.80	509	375	3	10080	MURAT 40 x 80.7	0	81	41	3	-53	41	3	68		Secondario Acc	
724	115	56	9.80	9.80	509	449	1	10000	LINK RIGIDO	0	0	2	10	0	2	10	0		Secondario Acc	
725	58	117	9.80	9.80	510	511	1	10056	MURAT 40 x 70	0	0	2	10	0	2	10	0		Secondario Acc	
726	117	57	9.80	9.80	511	507	1	10000	LINK RIGIDO	0	0	2	10	0	2	10	0		Secondario Acc	
727	37	120	9.80	9.80	512	513	1	10056	MURAT 40 x 70	0	0	2	10	0	2	10	0		Secondario Acc	
728	120	119	9.80	9.80	513	514	1	10000	LINK RIGIDO	0	0	2	10	0	2	10	0		Secondario Acc	
729	119	119	9.80	6.80	514	380	3	10065	MURAT 40 x 140	0	81	2	10	-46	2	10	59		Secondario Acc	
730	119	58	9.80	9.80	514	510	1	10000	LINK RIGIDO	0	0	2	10	0	2	10	0		Secondario Acc	
731	59	59	9.80	6.80	515	381	3	10072	MURAT 40 x 155.9	0	253	-10	14	-17	-10	14	22		Secondario Acc	
732	59	121	9.80	9.80	515	516	1	10000	LINK RIGIDO	0	0	3	10	0	3	10	0		Secondario Acc	
733	121	143	9.80	9.80	516	517	1	10000	LINK RIGIDO	0	0	3	10	0	3	10	0		Secondario Acc	
734	143	143	9.80	6.80	517	383	3	10081	MURAT 40 x 169	0	253	3	10	-17	3	10	22		Secondario Acc	
735	143	142	9.80	9.80	517	518	1	10000	LINK RIGIDO	0	0	3	10	0	3	10	0		Secondario Acc	
736	142	122	9.80	9.80	518	519	1	10056	MURAT 40 x 70	0	0	3	10	0	3	10	0		Secondario Acc	
737	122	60	9.80	9.80	519	463	1	10000	LINK RIGIDO	0	0	3	10	0	3	10	0		Secondario Acc	
738	59	37	9.80	9.80	515	512	1	10000	LINK RIGIDO	0	0	3	10	0						

Tabulati di calcolo – Palazzo Magnalbò

DATI ASTE SPAZIALI																				
IDENTIFICAZIONE								GEOMETRIA				SCOST.INIZIALI			SCOST. FINALI					
Asta3d N.ro	Filo in.	Filo fin.	Q.iniz (m)	Q.fin. (m)	Nod3d iniz.	Nod3d fin.	Cr. Pr.	Sez. N.ro	Sigla Sezione	Magr. (cm)	Rot. Grd	dx (cm)	dy (cm)	dz (cm)	dx (cm)	dy (cm)	dz (cm)	Cri Geo	Tipo Elemento ai fini sism.	
760	63	18	9.80	9.80	527	413	1	42	Rett. 100 x 24	0	0	0	0	-12	7	-52	-12	2	Trave telaio	
761	13	16	9.80	9.80	408	411	1	43	Rett. 80 x 24	0	0	18	11	-12	-56	13	-12	2	Trave telaio	
762	12	9	9.80	9.80	407	404	1	42	Rett. 100 x 24	0	0	14	-33	-12	58	9	-12	2	Trave telaio	
763	9	4	9.80	9.80	404	399	1	42	Rett. 100 x 24	0	0	50	-17	-12	-3	52	-12	2	Trave telaio	
764	19	15	9.80	9.80	414	410	1	43	Rett. 80 x 24	0	0	-4	-31	-12	2	20	-12	2	Trave telaio	
765	21	27	9.80	9.80	416	422	1	44	Rett. 90 x 24	0	0	4	11	-12	-46	42	-12	2	Trave telaio	
766	22	61	9.80	9.80	417	469	1	10000	LINK RIGIDO	0	0	0	0	0	0	0	0	2	Trave telaio	
767	39	23	9.80	9.80	465	418	1	10000	LINK RIGIDO	0	0	0	0	0	0	0	0	2	Trave telaio	
768	38	24	9.80	9.80	458	419	1	10000	LINK RIGIDO	0	0	0	0	0	0	0	0	2	Trave telaio	
769	60	25	9.80	9.80	463	420	1	10000	LINK RIGIDO	0	0	0	0	0	0	0	0	2	Trave telaio	
770	59	26	9.80	9.80	515	421	1	10000	LINK RIGIDO	0	0	0	0	0	0	0	0	2	Trave telaio	
771	58	20	9.80	9.80	510	415	1	10000	LINK RIGIDO	0	0	0	0	0	0	0	0	2	Trave telaio	
772	57	19	9.80	9.80	507	414	1	10000	LINK RIGIDO	0	0	0	0	0	0	0	0	2	Trave telaio	
773	56	18	9.80	9.80	449	413	1	10000	LINK RIGIDO	0	0	0	0	0	0	0	0	2	Trave telaio	
774	36	17	9.80	9.80	457	412	1	10000	LINK RIGIDO	0	0	0	0	0	0	0	0	2	Trave telaio	
775	55	16	9.80	9.80	448	411	1	10000	LINK RIGIDO	0	0	0	0	0	0	0	0	2	Trave telaio	
776	10	54	9.80	9.80	405	443	1	10000	LINK RIGIDO	0	0	0	0	0	0	0	0	2	Trave telaio	
777	5	34	9.80	9.80	400	437	1	10000	LINK RIGIDO	0	0	0	0	0	0	0	0	2	Trave telaio	
778	4	52	9.80	9.80	399	496	1	10000	LINK RIGIDO	0	0	0	0	0	0	0	0	2	Trave telaio	
779	3	51	9.80	9.80	398	494	1	10000	LINK RIGIDO	0	0	0	0	0	0	0	0	2	Trave telaio	
780	2	50	9.80	9.80	397	436	1	10000	LINK RIGIDO	0	0	0	0	0	0	0	0	2	Trave telaio	
781	1	28	9.80	9.80	396	427	1	10000	LINK RIGIDO	0	0	0	0	0	0	0	0	2	Trave telaio	
782	7	30	9.80	9.80	402	473	1	10000	LINK RIGIDO	0	0	0	0	0	0	0	0	2	Trave telaio	
783	6	48	9.80	9.80	401	522	1	10000	LINK RIGIDO	0	0	0	0	0	0	0	0	2	Trave telaio	
784	66	14	9.80	9.80	524	409	1	40	Rett. 80 x 24	0	0	0	0	-12	-40	1	-12	2	Secondario C.A	
785	39	38	9.80	9.80	465	458	1	77	T 115 x 60	0	0	15	-3	-4	15	-3	-4		Secondario C.A	
786	38	60	9.80	9.80	458	463	1	77	T 115 x 60	0	0	-5	-15	-4	-5	-15	-4		Secondario C.A	
787	60	59	9.80	9.80	463	515	1	77	T 115 x 60	0	0	-5	-15	-4	-5	-15	-4	2	Secondario C.A	
788	59	37	9.80	9.80	515	512	1	77	T 115 x 60	0	0	-5	-15	-4	-5	-15	-4	2	Secondario C.A	
789	65	13	9.80	9.80	526	408	1	44	Rett. 90 x 24	0	0	0	0	-12	-3	36	-12	2	Trave telaio	
790	27	20	9.80	9.80	422	415	1	46	Rett. 75 x 24	0	0	-19	34	-12	-5	-30	-12	2	Trave telaio	
791	37	58	9.80	9.80	512	510	1	77	T 115 x 60	0	0	-3	-15	-4	-3	-15	-4	2	Secondario C.A	
792	58	57	9.80	9.80	510	507	1	77	T 115 x 60	0	0	-3	-15	-4	-3	-15	-4	2	Secondario C.A	
793	57	56	9.80	9.80	507	449	1	77	T 115 x 60	0	0	-3	-15	-4	-3	-15	-4	2	Secondario C.A	
794	56	36	9.80	9.80	449	457	1	77	T 115 x 60	0	0	-3	-15	-4	-3	-15	-4	2	Secondario C.A	
795	36	55	9.80	9.80	457	448	1	77	T 115 x 60	0	0	-15	5	-4	-15	5	-4	2	Secondario C.A	
796	55	35	9.80	9.80	448	444	1	77	T 115 x 60	0	0	-15	5	-4	-15	5	-4	2	Secondario C.A	
797	35	54	9.80	9.80	444	443	1	77	T 115 x 60	0	0	-15	3	-4	-15	3	-4	2	Secondario C.A	
798	54	34	9.80	9.80	443	437	1	77	T 115 x 60	0	0	-15	3	-4	-15	3	-4	2	Secondario C.A	
799	34	53	9.80	9.80	437	499	1	77	T 115 x 60	0	0	-1	16	-4	-1	16	-4	2	Secondario C.A	
800	53	52	9.80	9.80	499	496	1	77	T 115 x 60	0	0	-1	16	-4	-1	16	-4	2	Secondario C.A	
801	52	51	9.80	9.80	496	494	1	77	T 115 x 60	0	0	-1	16	-4	-1	16	-4	2	Secondario C.A	
802	51	50	9.80	9.80	494	436	1	77	T 115 x 60	0	0	-1	16	-4	-1	16	-4	2	Secondario C.A	
803	50	33	9.80	9.80	436	434	1	77	T 115 x 60	0	0	-1	16	-4	-1	16	-4	2	Secondario C.A	
804	32	28	9.80	9.80	432	427	1	77	T 115 x 60	0	0	-1	16	-4	-1	16	-4	2	Secondario C.A	
805	33	32	9.80	9.80	434	432	1	77	T 115 x 60	0	0	-1	16	-4	-1	16	-4	2	Secondario C.A	
806	28	29	9.80	9.80	427	429	1	77	T 115 x 60	0	0	16	0	-4	16	0	-4	2	Secondario C.A	
807	29	48	9.80	9.80	429	522	1	77	T 115 x 60	0	0	16	0	-4	16	0	-4	2	Secondario C.A	
808	48	30	9.80	9.80	522	473	1	77	T 115 x 60	0	0	16	0	-4	16	0	-4	2	Secondario C.A	
809	30	49	9.80	9.80	473	423	1	77	T 115 x 60	0	0	0	-16	-4	0	-16	-4	2	Secondario C.A	
810	1	1	10.12	9.80	547	396	3	3	Rett. 30 x 50	0	89	25	15	0	25	15	0		Elem.elastico	
811	2	2	10.00	9.80	548	397	3	3	Rett. 30 x 50	0	4	-2	25	0	-2	25	0		Elem.elastico	
812	3	3	10.00	9.80	549	398	3	3	Rett. 30 x 50	0	4	-2	25	0	-2	25	0		Elem.elastico	
813	4	4	10.00	9.80	550	399	3	3	Rett. 30 x 50	0	4	-2	25	0	-2	25	0		Elem.elastico	
814	5	5	10.11	9.80	551	400	3	3	Rett. 30 x 50	0	-10	-11	27	0	-11	27	0		Elem.elastico	
815	6	6	10.00	9.80	552	401	3	3	Rett. 30 x 50	0	89	25	0	0	25	0	0		Elem.elastico	
816	7	7	10.07	9.80	553	402	3	3	Rett. 30 x 50	0	89	25	-15	0	25	-15	0		Elem.elastico	
817	8	8	11.05	9.80	554	403	3	3	Rett. 30 x 50	0	0	0	0	-29	0	0	0		Pilastr	
818	9	9	11.35	9.80	555	404	3	3	Rett. 30 x 50	0	89	25	-1	-24	25	-1	0		Pilastr	
819	10	10	10.00	9.80	556	405	3	3	Rett. 30 x 50	0	80	-25	4	0	-25	4	0		Elem.elastico	
820	11	11	11.35	9.80	557	406	3	22	Circ. 20	0	0	0	0	-28	0	0	0		Secondario C.A	
821	12	12	11.35	9.80	558	407	3	22	Circ. 20	0	0	0	0	-24	0	0	0		Secondario C.A	
822	13	13	11.35	9.80	559	408	3	22	Circ. 20	0	0	0	0	-24	0	0	0		Secondario C.A	

Tabulati di calcolo – Palazzo Magnalbò

DATI ASTE SPAZIALI																				
IDENTIFICAZIONE								GEOMETRIA				SCOST.INIZIALI			SCOST. FINALI					
Asta3d N.ro	Filo in.	Filo fin.	Q.iniz (m)	Q.fin. (m)	Nod3d iniz.	Nod3d fin.	Cr. Pr.	Sez. N.ro	Sigla Sezione	Magr. (cm)	Rot. Grd	dx (cm)	dy (cm)	dz (cm)	dx (cm)	dy (cm)	dz (cm)	Cri Geo	Tipo Elemento ai fini sism.	
843	24	77	10.13	11.35	570	613	1	84	Polig 96 x 37.04	0	0	37	-45	-4	0	0	-19	2	Secondario C.A	
844	17	76	10.14	11.35	563	615	1	84	Polig 96 x 37.04	0	0	-56	-15	-6	0	0	-19	2	Secondario C.A	
845	5	75	10.11	11.35	551	616	1	84	Polig 96 x 37.04	0	0	-38	39	-5	0	0	-19	2	Secondario C.A	
846	1	74	10.12	11.35	547	617	1	84	Polig 96 x 37.04	0	0	40	39	-6	0	0	-19	2	Secondario C.A	
847	7	74	10.07	11.35	553	617	1	84	Polig 96 x 37.04	0	0	30	-51	-5	0	0	-19	2	Secondario C.A	
848	80	15	11.35	11.35	618	561	1	69	Rett. 80 x 24	0	0	0	0	-12	2	20	-12		Trave telaio	
849	15	14	11.35	11.35	561	560	1	69	Rett. 80 x 24	0	0	-3	-20	-12	118	5	-12		Trave telaio	
850	14	13	11.35	11.35	560	559	1	69	Rett. 80 x 24	0	0	20	0	-12	-20	0	-12	2	Secondario C.A	
851	22	61	10.00	10.00	568	589	1	10000	LINK RIGIDO	0	0	0	0	0	0	0	0	2	Trave telaio	
852	39	23	10.00	10.12	588	569	1	10000	LINK RIGIDO	0	0	0	0	0	0	0	0	2	Trave telaio	
853	38	24	10.00	10.13	586	570	1	10000	LINK RIGIDO	0	0	0	0	0	0	0	0	2	Trave telaio	
854	60	25	10.00	10.00	587	571	1	10000	LINK RIGIDO	0	0	0	0	0	0	0	0	2	Trave telaio	
855	59	26	10.00	10.00	610	572	1	10000	LINK RIGIDO	0	0	0	0	0	0	0	0	2	Trave telaio	
856	58	20	10.00	10.00	608	566	1	10000	LINK RIGIDO	0	0	0	0	0	0	0	0	2	Trave telaio	
857	57	19	10.00	10.00	607	565	1	10000	LINK RIGIDO	0	0	0	0	0	0	0	0	2	Trave telaio	
858	56	18	10.00	10.00	584	564	1	10000	LINK RIGIDO	0	0	0	0	0	0	0	0	2	Trave telaio	
859	36	17	10.00	10.14	585	563	1	10000	LINK RIGIDO	0	0	0	0	0	0	0	0	2	Trave telaio	
860	55	16	10.00	10.00	583	562	1	10000	LINK RIGIDO	0	0	0	0	0	0	0	0	2	Trave telaio	
861	10	54	10.00	10.00	556	581	1	10000	LINK RIGIDO	0	0	0	0	0	0	0	0	2	Trave telaio	
862	5	34	10.11	10.00	551	580	1	10000	LINK RIGIDO	0	0	0	0	0	0	0	0	2	Trave telaio	
863	4	52	10.00	10.00	550	605	1	10000	LINK RIGIDO	0	0	0	0	0	0	0	0	2	Trave telaio	
864	3	51	10.00	10.00	549	604	1	10000	LINK RIGIDO	0	0	0	0	0	0	0	0	2	Trave telaio	
865	2	50	10.00	10.00	548	579	1	10000	LINK RIGIDO	0	0	0	0	0	0	0	0	2	Trave telaio	
866	1	28	10.12	10.00	547	575	1	10000	LINK RIGIDO	0	0	0	0	0	0	0	0	2	Trave telaio	
867	7	30	10.07	10.14	553	592	1	10000	LINK RIGIDO	0	0	0	0	0	0	0	0	2	Trave telaio	
868	6	48	10.00	10.00	552	611	1	10000	LINK RIGIDO	0	0	0	0	0	0	0	0	2	Trave telaio	
869	13	81	11.35	11.35	559	596	1	69	Rett. 80 x 24	0	0	0	-20	-12	0	0	-12	2	Secondario C.A	
870	81	12	11.35	11.35	596	558	1	69	Rett. 80 x 24	0	0	0	0	-12	0	20	-12	2	Secondario C.A	
871	12	82	11.35	11.35	558	594	1	69	Rett. 80 x 24	0	0	-20	0	-12	0	0	-12	2	Secondario C.A	
872	11	66	11.35	11.35	557	612	1	69	Rett. 80 x 24	0	0	0	20	-12	40	-2	-12	2	Secondario C.A	
873	66	14	11.35	11.35	612	560	1	69	Rett. 80 x 24	0	0	40	-2	-12	0	-20	-12	2	Secondario C.A	
874	41	47	10.84	10.84	591	600	1	69	Rett. 80 x 24	0	0	0	0	-12	24	-3	-12		Trave telaio	
875	70	79	10.00	11.35	619	620	1	69	Rett. 80 x 24	0	0	0	0	-13	0	0	-13		Secondario C.A	
876	46	68	10.84	10.84	601	621	1	69	Rett. 80 x 24	0	0	24	-3	-12	-35	4	-12		Trave telaio	
877	59	79	10.00	11.35	610	620	1	69	Rett. 80 x 24	0	0	0	0	-13	0	0	-13		Secondario C.A	
878	47	46	10.84	10.84	600	601	1	69	Rett. 80 x 24	0	0	24	-3	-12	24	-3	-12		Secondario C.A	
879	68	31	10.84	10.84	621	574	1	69	Rett. 80 x 24	0	0	-35	4	-12	0	0	-12		Trave telaio	
880	78	79	11.35	11.35	614	620	1	84	Polig 96 x 37.04	0	0	0	0	-19	0	0	-19	2	Secondario C.A	
881	79	80	11.35	11.35	620	618	1	84	Polig 96 x 37.04	0	0	0	0	-19	0	0	-19	2	Secondario C.A	
882	80	76	11.35	11.35	618	615	1	44	Rett. 90 x 24	0	0	0	0	-12	0	0	-12	2	Trave telaio	
883	52	75	10.00	11.35	605	616	1	69	Rett. 80 x 24	0	0	0	0	-13	-40	3	-14		Secondario C.A	
884	75	9	11.35	11.35	616	555	1	69	Rett. 80 x 24	0	0	-39	-1	-12	51	-16	-12		Trave telaio	
885	74	8	11.35	11.05	617	554	1	69	Rett. 80 x 24	0	0	0	0	-12	-46	-16	-9		Secondario C.A	
886	8	31	11.05	10.84	554	574	1	69	Rett. 80 x 24	0	0	-43	19	-17	0	0	-12		Secondario C.A	
887	31	11	10.84	11.35	574	557	1	69	Rett. 80 x 24	0	0	0	0	-12	-20	-3	-16		Secondario C.A	
888	41	14	10.84	11.35	591	560	1	69	Rett. 80 x 24	0	0	-8	-39	-11	-20	4	-16		Secondario C.A	
889	9	82	11.35	11.35	555	594	1	69	Rett. 80 x 24	0	0	50	17	-12	40	1	-12	2	Trave telaio	
890	82	11	11.35	11.35	594	557	1	69	Rett. 80 x 24	0	0	0	0	-12	20	0	-12	2	Secondario C.A	
891	12	12	1.90	0.00	622	14	3	22	Circ. 20	0	0	0	0	-24	0	0	0		Pilastri	
892	13	13	1.90	0.00	623	15	3	22	Circ. 20	0	0	0	0	-24	0	0	0		Pilastri	
893	12	12	5.30	3.80	624	127	3	22	Circ. 20	0	0	0	0	-24	0	0	0		Pilastri	
894	13	13	5.30	3.80	625	128	3	22	Circ. 20	0	0	0	0	-24	0	0	0		Pilastri	

DATI SHELL SPAZIALI																		
IDENTIFICAZIONE													CARATTERISTICHE SEZIONE				SUDDIVIS.	
Shell N.ro	Filo 1	Filo 2	Filo 3	Filo 4	Quota1 (m)	Quota2 (m)	Quota3 (m)	Quota4 (m)	Nod3d 1	Nod3d 2	Nod3d 3	Nod3d 4	Sez. N.ro	Spess (cm)	Kwinkl kg/cmc	Tipo Mat.	MeshX	MeshY
1	47	44	45	46	-0.60	-0.60	-0.60	-0.60	108	109	111	110	1	30.0	15.00	1	2	2
2	45	44	70	67	-0.60	-0.60	-0.60	-0.60	111	109	113	112	1	30.0	15.00	1	4	1
3	45	67	68	46	-0.60	-0.60	-0.60	-0.60	111	112	114	110	1	30.0	15.00	1	1	4
4	46	68	69	47	-0.60	-0.60	-0.60	-0.60	110	114	115	108	1	30.0	15.00	1	1	4
5	44	47	69	70	-0.60	-0.60	-0.60	-0.60	109	108	115	113	1	30.0	15.00	1	4	1
6	46	71	71	46	-0.60	-0.60	3.80	3.80	110	195	197	196	4	20.0	0.00	1	1	4
7	47	135	136	47	-0.60	-0.60	0.50	0.50	108	198	199	206	4	20.0	0.00	1	1	1
8	135	46	46	136	-0.60	-0.60	0.50	0.50	198	110	200	199	4	20.0	0.00	1	1	1
9	137	46	46	137	1.00	0.50	1.60	1.83	213	200	202	201	4	20.0	0.00	1	1	1
10	137	46	46	137	1.83	1.60	2.70	2.67	201	202	204	203	4	20.0	0.00	1	1	1
11	137	46	46	137	2.67	2.70	3.80	3.50	203	204	196	205	4	20.0	0.00	1	1	1
12	47	138	138	47	2.70	3.50	3.80	3.80	208	211	214	216	4	20.0	0.00	1	1	1
13	47	138	138	47	0.50	1.00	1.83	1.60	206	212	209	207	4	20.0	0.00	1	1	1
14	47	138	138	47	1.60	1.83	2.67	2.70	207	209	210	208	4	20.0	0.00	1	1	1
15	138	138	47	47	2.67	3.50	2.70	2.70	210	211	208	208	4	20.0	0.00	1	1	1
16	47	136	137	138	0.50	0.50	1.00	1.00	206	199	213	212	4	20.0	0.00	1	1	1
17	136	46	137	137	0.50	0.50	1.00	1.00	199	200	213	213	4	20.0	0.00	1	1	1
18	138	137	137	138	3.50	3.50	3.80	3.80	211	205	215	214	4	20.0	0.00	1	1	1
19	137	46	137	137	3.50	3.80	3.80	3.80	205	196	215	215	4	20.0	0.00	1	1	1
20	44	73	73	44	-0.60	-0.60	3.80	3.80	109	217	219	218	4	20.0	0.00	1	1	4
21	45	72	72	45	-0.60	-0.60	3.80	3.80	111	220	222	221	4	20.0	0.00	1	1	4
22	71	45	45	71	-0.60	-0.60	3.80	3.80	195	111	221	197	4	20.0	0.00	1	1	4

Tabulati di calcolo – Palazzo Magnalbò

DATI SHELL SPAZIALI																		
IDENTIFICAZIONE													CARATTERISTICHE SEZIONE				SUDDIVIS.	
Shell N.ro	Filo 1	Filo 2	Filo 3	Filo 4	Quota1 (m)	Quota2 (m)	Quota3 (m)	Quota4 (m)	Nod3d 1	Nod3d 2	Nod3d 3	Nod3d 4	Sez. N.ro	Spess (cm)	Kwinkl kg/cm	Tipo Mat.	MeshX	MeshY
23	73	47	47	73	-0.60	-0.60	3.80	3.80	217	108	216	219	4	20.0	0.00	1	1	4
24	72	44	44	72	-0.60	-0.60	3.80	3.80	220	109	218	222	4	20.0	0.00	1	1	4
25	46	71	71	46	3.80	3.80	6.80	6.80	196	197	340	339	4	20.0	0.00	1	1	3
26	137	46	46	137	3.80	3.80	4.80	4.63	215	196	342	341	4	20.0	0.00	1	1	1
27	137	46	46	137	4.63	4.80	5.80	5.47	341	342	344	343	4	20.0	0.00	1	1	1
28	137	46	46	137	5.47	5.80	6.80	6.30	343	344	339	345	4	20.0	0.00	1	1	1
29	138	138	47	47	3.80	4.63	4.80	3.80	214	348	346	216	4	20.0	0.00	1	1	1
30	47	138	138	47	5.80	6.30	6.80	6.80	347	350	351	353	4	20.0	0.00	1	1	1
31	47	138	138	47	4.80	4.63	5.47	5.80	346	348	349	347	4	20.0	0.00	1	1	1
32	138	138	47	47	5.47	6.30	5.80	5.80	349	350	347	347	4	20.0	0.00	1	1	1
33	138	137	137	138	6.30	6.30	6.80	6.80	350	345	352	351	4	20.0	0.00	1	1	1
34	137	46	137	137	6.30	6.80	6.80	6.80	345	339	352	352	4	20.0	0.00	1	1	1
35	44	73	73	44	3.80	3.80	6.80	6.80	218	219	355	354	4	20.0	0.00	1	1	3
36	45	72	72	45	3.80	3.80	6.80	6.80	221	222	357	356	4	20.0	0.00	1	1	3
37	71	45	45	71	3.80	3.80	6.80	6.80	197	221	356	340	4	20.0	0.00	1	1	3
38	73	47	47	73	3.80	3.80	6.80	6.80	219	216	353	355	4	20.0	0.00	1	1	3
39	72	44	44	72	3.80	3.80	6.80	6.80	222	218	354	357	4	20.0	0.00	1	1	3
40	71	45	45	71	6.80	6.80	9.80	9.80	340	356	475	474	4	20.0	0.00	1	1	3
41	73	47	47	73	6.80	6.80	9.80	9.80	355	353	477	476	4	20.0	0.00	1	1	3
42	46	71	71	46	6.80	6.80	9.80	9.80	339	340	474	478	4	20.0	0.00	1	1	3
43	137	46	46	137	6.80	6.80	7.80	7.63	352	339	480	479	4	20.0	0.00	1	1	1
44	137	46	46	137	7.63	7.80	8.80	8.47	479	480	482	481	4	20.0	0.00	1	1	1
45	137	46	46	137	8.47	8.80	9.80	9.30	481	482	478	483	4	20.0	0.00	1	1	1
46	138	138	47	47	6.80	7.63	7.80	6.80	351	486	484	353	4	20.0	0.00	1	1	1
47	47	138	138	47	7.80	7.63	8.47	8.80	484	486	487	485	4	20.0	0.00	1	1	1
48	47	138	138	47	8.80	8.47	9.30	9.80	485	487	488	477	4	20.0	0.00	1	1	1
49	138	137	135	47	9.30	9.30	9.80	9.80	488	483	489	477	4	20.0	0.00	1	1	1
50	137	46	135	135	9.30	9.80	9.80	9.80	483	478	489	489	4	20.0	0.00	1	1	1
51	44	73	73	44	6.80	6.80	9.80	9.80	354	355	476	490	4	20.0	0.00	1	1	3
52	45	72	72	45	6.80	6.80	9.80	9.80	356	357	491	475	4	20.0	0.00	1	1	3
53	72	44	44	72	6.80	6.80	9.80	9.80	357	354	490	491	4	20.0	0.00	1	1	3
54	47	14	69	41	9.80	9.80	9.80	9.80	477	409	528	471	5	24.0	0.00	1	4	2
55	69	14	62	27	9.80	9.80	9.80	9.80	528	409	525	422	5	24.0	0.00	1	2	2
56	66	144	146	145	9.80	9.80	9.80	9.80	524	529	531	530	5	24.0	0.00	1	1	1
57	144	14	147	146	9.80	9.80	9.80	9.80	529	409	532	531	5	24.0	0.00	1	1	1
58	145	146	149	148	9.80	9.80	9.80	9.80	530	531	534	533	5	24.0	0.00	1	1	1
59	146	147	150	149	9.80	9.80	9.80	9.80	531	532	535	534	5	24.0	0.00	1	1	1
60	148	149	152	151	9.80	9.80	9.80	9.80	533	534	537	536	5	24.0	0.00	1	1	1
61	149	150	153	152	9.80	9.80	9.80	9.80	534	535	538	537	5	24.0	0.00	1	1	1
62	151	152	135	46	9.80	9.80	9.80	9.80	536	537	489	478	5	24.0	0.00	1	1	1
63	152	153	47	135	9.80	9.80	9.80	9.80	537	538	477	489	5	24.0	0.00	1	1	1
64	11	154	156	155	9.80	9.80	9.80	9.80	406	539	541	540	5	24.0	0.00	1	1	1
65	154	66	145	156	9.80	9.80	9.80	9.80	539	524	530	541	5	24.0	0.00	1	1	1
66	155	156	158	157	9.80	9.80	9.80	9.80	540	541	543	542	5	24.0	0.00	1	1	1
67	156	145	148	158	9.80	9.80	9.80	9.80	541	530	533	543	5	24.0	0.00	1	1	1
68	157	158	160	159	9.80	9.80	9.80	9.80	542	543	545	544	5	24.0	0.00	1	1	1
69	158	148	151	160	9.80	9.80	9.80	9.80	543	533	536	545	5	24.0	0.00	1	1	1
70	159	160	161	31	9.80	9.80	9.80	9.80	544	545	546	426	5	24.0	0.00	1	1	1
71	160	151	46	161	9.80	9.80	9.80	9.80	545	536	478	546	5	24.0	0.00	1	1	1
72	49	31	31	49	9.80	9.80	10.84	10.18	423	426	574	573	2	30.0	0.00	1	4	1
73	28	29	29	28	9.80	9.80	10.00	10.00	427	429	576	575	2	30.0	0.00	1	4	1
74	28	32	32	28	9.80	9.80	10.00	10.00	427	432	577	575	2	30.0	0.00	1	4	1
75	32	33	33	32	9.80	9.80	10.00	10.00	432	434	578	577	2	30.0	0.00	1	2	1
76	33	50	50	33	9.80	9.80	10.00	10.00	434	436	579	578	2	30.0	0.00	1	2	1
77	34	54	54	34	9.80	9.80	10.00	10.00	437	443	581	580	2	30.0	0.00	1	5	1
78	35	55	55	35	9.80	9.80	10.00	10.00	444	448	583	582	2	30.0	0.00	1	4	1
79	56	36	36	56	9.80	9.80	10.00	10.00	449	457	585	584	2	30.0	0.00	1	5	1
80	38	60	60	38	9.80	9.80	10.00	10.00	458	463	587	586	2	30.0	0.00	1	4	1
81	38	39	39	38	9.80	9.80	10.00	10.00	458	465	588	586	2	30.0	0.00	1	6	1
82	39	61	61	39	9.80	9.80	10.00	10.00	465	469	589	588	2	30.0	0.00	1	4	1
83	40	41	41	40	9.80	9.80	10.84	10.00	470	471	591	590	2	30.0	0.00	1	2	1
84	49	30	30	49	9.80	9.80	10.14	10.18	423	473	592	573	2	30.0	0.00	1	1	1
85	11	82	82	11	9.80	9.80	11.35	11.35	406	593	594	557	3	6.0	0.00	1	4	2
86	12	81	81	12	9.80	9.80	11.35	11.35	407	595	596	558	3	6.0	0.00	1	1	2
87	71	45	45	71	9.80	9.80	10.84	10.84	474	475	598	597	4	20.0	0.00	1	1	1
88	73	47	47	73	9.80	9.80	10.84	10.84	476	477	600	599	4	20.0	0.00	1	1	1
89	46	71	71	46	9.80	9.80	10.84	10.84	478	474	597	601	4	20.0	0.00	1	1	1
90	47	46	46	47	9.80	9.80	10.84	10.84	477	478	601	600	4	20.0	0.00	1	2	1
91	44	73	73	44	9.80	9.80	10.84	10.84	490	476	599	602	4	20.0	0.00	1	1	1
92	45	72	72	45	9.80	9.80	10.84	10.84	475	491	603	598	4	20.0	0.00	1	1	1
93	50	51	51	50	9.80	9.80	10.00	10.00	436	494	604	579	2	30.0	0.00	1	4	1
94	51	52	52	51	9.80	9.80	10.00	10.00	494	496	605	604	2	30.0	0.00	1	2	1

Dott. Ing. Lucio D'Angelo - Piazza del Popolo 24 - 63073 Offida (AP)

SOFTWARE: C.D.S. - Full - Rel.2017 - Lic. Nro: 35224

Tabulati di calcolo – Palazzo Magnalbò

DATI SHELL SPAZIALI																		
IDENTIFICAZIONE													CARATTERISTICHE SEZIONE				SUDDIVIS.	
Shell N.ro	Filo 1	Filo 2	Filo 3	Filo 4	Quota1 (m)	Quota2 (m)	Quota3 (m)	Quota4 (m)	Nod3d 1	Nod3d 2	Nod3d 3	Nod3d 4	Sez. N.ro	Spess (cm)	Kwinkl kg/cmc	Tipo Mat.	MeshX	MeshY
95	52	53	53	52	9.80	9.80	10.00	10.00	496	499	606	605	2	30.0	0.00	1	4	1
96	53	34	34	53	9.80	9.80	10.00	10.00	499	437	580	606	2	30.0	0.00	1	1	1
97	35	54	54	35	9.80	9.80	10.00	10.00	444	443	581	582	2	30.0	0.00	1	2	1
98	36	55	55	36	9.80	9.80	10.00	10.00	457	448	583	585	2	30.0	0.00	1	4	1
99	57	56	56	57	9.80	9.80	10.00	10.00	507	449	584	607	2	30.0	0.00	1	4	1
100	58	57	57	58	9.80	9.80	10.00	10.00	510	507	607	608	2	30.0	0.00	1	4	1
101	37	58	58	37	9.80	9.80	10.00	10.00	512	510	608	609	2	30.0	0.00	1	4	1
102	59	60	60	59	9.80	9.80	10.00	10.00	515	463	587	610	2	30.0	0.00	1	4	1
103	59	37	37	59	9.80	9.80	10.00	10.00	515	512	609	610	2	30.0	0.00	1	1	1
104	40	61	61	40	9.80	9.80	10.00	10.00	470	469	589	590	2	30.0	0.00	1	4	1
105	48	29	29	48	9.80	9.80	10.00	10.00	522	429	576	611	2	30.0	0.00	1	1	1
106	48	30	30	48	9.80	9.80	10.14	10.00	522	473	592	611	2	30.0	0.00	1	2	1
107	13	14	14	13	9.80	9.80	11.35	11.35	408	409	560	559	3	6.0	0.00	1	5	2
108	14	66	66	14	9.80	9.80	11.35	11.35	409	524	612	560	3	6.0	0.00	1	2	2
109	72	44	44	72	9.80	9.80	10.84	10.84	491	490	602	603	4	20.0	0.00	1	1	1
110	81	13	13	81	9.80	9.80	11.35	11.35	595	408	559	596	3	6.0	0.00	1	1	2
111	66	11	11	66	9.80	9.80	11.35	11.35	524	406	557	612	3	6.0	0.00	1	1	2
112	82	12	12	82	9.80	9.80	11.35	11.35	593	407	558	594	3	6.0	0.00	1	2	2

VINCOLI E CEDIMENTI NODALI																			
IDENTIFIC.		RIGIDENZE TRASLANTI			RIGIDENZE ROTAZIONALI			SCOSTAMENTI						VERSO SPOSTAMENTI UNILATERI					
Nodo3d N.ro	Cod ice	Tx t/m	Ty t/m	Tz t/m	Rx t°m	Ry t°m	Rz t°m	Tr.X cm	Tr.Y cm	Tr.Z cm	Azim Grd	CoZe Grd	Ass. Grd	Tr.X	Tr.Y	Tr.Z	RotX	RotY	RotZ
1	W	-1	-1	0	0	0	-1	0	0	0	0	0	0						
2	W	-1	-1	0	0	0	-1	0	0	0	0	0	0						
3	W	-1	-1	0	0	0	-1	0	0	0	0	0	0						
4	W	-1	-1	0	0	0	-1	0	0	0	0	0	0						
5	P	27075	27075	54150	16290	16290	16290	40	-1	0	0	0	-1						
6	P	30000	30000	60000	20000	20000	20000	-2	45	0	0	0	-86						
7	P	39675	39675	79350	34980	34980	34980	-2	60	0	0	0	4						
8	P	30000	30000	60000	20000	20000	20000	40	45	0	0	0	-1						
9	P	30000	30000	60000	20000	20000	20000	-36	52	0	0	0	-100						
10	P	16875	16875	33750	6328	6328	6328	-2	40	0	0	0	-86						
11	P	33075	33075	66150	24310	24310	24310	0	0	0	0	0	-90						
12	P	16875	16875	33750	6328	6328	6328	0	0	0	0	0	-2						
13	P	16875	16875	33750	6328	6328	6328	0	0	0	0	0	-2						
14	P	16875	16875	33750	6328	6328	6328	0	0	0	0	0	-2						
15	P	33075	33075	66150	24310	24310	24310	0	0	0	0	0	-2						
16	P	30000	30000	60000	20000	20000	20000	45	27	0	0	0	-1						
17	P	30000	30000	60000	20000	20000	20000	45	-46	0	0	0	-1						
18	P	33075	33075	66150	24310	24310	24310	-49	8	0	0	0	-10						
19	P	33075	33075	66150	24310	24310	24310	-48	15	0	0	0	-18						
20	P	21675	21675	43350	10440	10440	10440	-38	-19	0	0	0	-108						
21	P	30000	30000	60000	20000	20000	20000	-7	-45	0	0	0	-9						
22	P	16875	16875	33750	6328	6328	6328	-3	-20	0	0	0	-9						
23	P	16875	16875	33750	6328	6328	6328	0	0	0	0	0	-2						
24	P	30000	30000	60000	20000	20000	20000	-8	-50	0	0	0	-9						
25	P	21675	21675	43350	10440	10440	10440	35	24	0	0	0	-11						
26	P	21675	21675	43350	10440	10440	10440	20	-36	0	0	0	-17						
27	P	21675	21675	43350	10440	10440	10440	8	31	0	0	0	-11						
28	P	16875	16875	33750	6328	6328	6328	-15	40	0	0	0	-11						
29	P	21675	21675	43350	10440	10440	10440	-7	-40	0	0	0	-99						
30	P	21675	21675	43350	10440	10440	10440	-9	-29	0	0	0	-17						
31	P	33075	33075	66150	24310	24310	24310	-4	42	0	0	0	-11						
32	W	-1	-1	0	0	0	-1	0	0	0	0	0	0						
33	W	-1	-1	0	0	0	-1	0	0	0	0	0	0						
34	W	-1	-1	0	0	0	-1	0	0	0	0	0	0						
35	W	-1	-1	0	0	0	-1	0	0	0	0	0	0						
36	W	-1	-1	0	0	0	-1	0	0	0	0	0	0						
37	W	-1	-1	0	0	0	-1	0	0	0	0	0	0						
38	W	-1	-1	0	0	0	-1	0	0	0	0	0	0						
39	W	-1	-1	0	0	0	-1	0	0	0	0	0	0						
40	W	-1	-1	0	0	0	-1	0	0	0	0	0	0						
41	W	-1	-1	0	0	0	-1	0	0	0	0	0	0						
42	W	-1	-1	0	0	0	-1	0	0	0	0	0	0						
43	W	-1	-1	0	0	0	-1	0	0	0	0	0	0						
44	W	-1	-1	0	0	0	-1	0	0	0	0	0	0						
45	W	-1	-1	0	0	0	-1	0	0	0	0	0	0						
46	W	-1	-1	0	0	0	-1	0	0	0	0	0	0						
47	W	-1	-1	0	0	0	-1	0	0	0	0	0	0						
48	W	-1	-1	0	0	0	-1	0	0	0	0	0	0						
49	W	-1	-1	0	0	0	-1	0	0	0	0	0	0						
50	W	-1	-1	0	0	0	-1	0	0	0	0	0	0						
51	W	-1	-1	0	0	0	-1	0	0	0	0	0	0						
52	W	-1	-1	0	0	0	-1	0	0	0	0	0	0						
53	W	-1	-1	0	0	0	-1	0	0	0	0	0	0						
54	W	-1	-1	0	0	0	-1	0	0	0	0	0	0						
55	W	-1	-1	0	0	0	-1	0	0	0	0	0	0						
56	W	-1	-1	0	0	0	-1	0	0	0	0	0	0						

Dott. Ing. Lucio D'Angelo - Piazza del Popolo 24 - 63073 Offida (AP)

SOFTWARE: C.D.S. - Full - Rel.2017 - Lic. Nro: 35224

Tabulati di calcolo – Palazzo Magnalbò

VINCOLI E CEDIMENTI NODALI																	
IDENTIFIC.		RIGIDENZE TRASLANTI			RIGIDENZE ROTAZIONALI			SCOSTAMENTI					VERSO SPOSTAMENTI UNILATERI				
Nodo3d N.ro	Cod ice	Tx t/m	Ty t/m	Tz t/m	Rx t°m	Ry t°m	Rz t°m	Tr.X cm	Tr.Y cm	Tr.Z cm	Azim Grd	CoZe Grd	Ass. Grd	Tr.X	Tr.Y	Tr.Z	RotX
57	W	-1	-1	0	0	0	-1	0	0	0	0	0	0				
58	W	-1	-1	0	0	0	-1	0	0	0	0	0	0				
59	W	-1	-1	0	0	0	-1	0	0	0	0	0	0				
60	W	-1	-1	0	0	0	-1	0	0	0	0	0	0				
61	W	-1	-1	0	0	0	-1	0	0	0	0	0	0				
62	W	-1	-1	0	0	0	-1	0	0	0	0	0	0				
63	W	-1	-1	0	0	0	-1	0	0	0	0	0	0				
64	W	-1	-1	0	0	0	-1	0	0	0	0	0	0				
65	W	-1	-1	0	0	0	-1	0	0	0	0	0	0				
66	W	-1	-1	0	0	0	-1	0	0	0	0	0	0				
67	W	-1	-1	0	0	0	-1	0	0	0	0	0	0				
68	W	-1	-1	0	0	0	-1	0	0	0	0	0	0				
69	W	-1	-1	0	0	0	-1	0	0	0	0	0	0				
70	W	-1	-1	0	0	0	-1	0	0	0	0	0	0				
71	W	-1	-1	0	0	0	-1	0	0	0	0	0	0				
72	W	-1	-1	0	0	0	-1	0	0	0	0	0	0				
73	W	-1	-1	0	0	0	-1	0	0	0	0	0	0				
74	W	-1	-1	0	0	0	-1	0	0	0	0	0	0				
75	W	-1	-1	0	0	0	-1	0	0	0	0	0	0				
76	W	-1	-1	0	0	0	-1	0	0	0	0	0	0				
77	W	-1	-1	0	0	0	-1	0	0	0	0	0	0				
78	W	-1	-1	0	0	0	-1	0	0	0	0	0	0				
79	W	-1	-1	0	0	0	-1	0	0	0	0	0	0				
80	W	-1	-1	0	0	0	-1	0	0	0	0	0	0				
81	W	-1	-1	0	0	0	-1	0	0	0	0	0	0				
82	W	-1	-1	0	0	0	-1	0	0	0	0	0	0				
83	W	-1	-1	0	0	0	-1	0	0	0	0	0	0				
84	W	-1	-1	0	0	0	-1	0	0	0	0	0	0				
85	W	-1	-1	0	0	0	-1	0	0	0	0	0	0				
86	W	-1	-1	0	0	0	-1	0	0	0	0	0	0				
87	W	-1	-1	0	0	0	-1	0	0	0	0	0	0				
88	W	-1	-1	0	0	0	-1	0	0	0	0	0	0				
89	W	-1	-1	0	0	0	-1	0	0	0	0	0	0				
90	W	-1	-1	0	0	0	-1	0	0	0	0	0	0				
91	W	-1	-1	0	0	0	-1	0	0	0	0	0	0				
92	W	-1	-1	0	0	0	-1	0	0	0	0	0	0				
93	W	-1	-1	0	0	0	-1	0	0	0	0	0	0				
94	W	-1	-1	0	0	0	-1	0	0	0	0	0	0				
95	W	-1	-1	0	0	0	-1	0	0	0	0	0	0				
96	W	-1	-1	0	0	0	-1	0	0	0	0	0	0				
97	W	-1	-1	0	0	0	-1	0	0	0	0	0	0				
98	W	-1	-1	0	0	0	-1	0	0	0	0	0	0				
99	W	-1	-1	0	0	0	-1	0	0	0	0	0	0				
100	W	-1	-1	0	0	0	-1	0	0	0	0	0	0				
101	W	-1	-1	0	0	0	-1	0	0	0	0	0	0				
102	W	-1	-1	0	0	0	-1	0	0	0	0	0	0				
103	W	-1	-1	0	0	0	-1	0	0	0	0	0	0				
104	W	-1	-1	0	0	0	-1	0	0	0	0	0	0				
105	W	-1	-1	0	0	0	-1	0	0	0	0	0	0				
106	W	-1	-1	0	0	0	-1	0	0	0	0	0	0				
107	W	-1	-1	0	0	0	-1	0	0	0	0	0	0				
108	W	-1	-1	0	0	0	-1	0	0	0	0	0	0				
109	W	-1	-1	0	0	0	-1	0	0	0	0	0	0				
110	W	-1	-1	0	0	0	-1	0	0	0	0	0	0				
111	W	-1	-1	0	0	0	-1	0	0	0	0	0	0				
112	W	-1	-1	0	0	0	-1	0	0	0	0	0	0				
113	W	-1	-1	0	0	0	-1	0	0	0	0	0	0				
114	W	-1	-1	0	0	0	-1	0	0	0	0	0	0				
115	W	-1	-1	0	0	0	-1	0	0	0	0	0	0				
198	W	-1	-1	0	0	0	-1	0	0	0	0	0	0				

VINCOLI INTERNI ASTE																
	VINCOLO NODO INIZIALE							VINCOLO NODO FINALE								
IDENT.	RIGIDENZE TRASLANTI				RIGIDENZE ROTAZIONALI			RIGIDENZE TRASLANTI				RIGIDENZE ROTAZIONALI			COEFFICIENTI BETA	
Asta3d N.ro	Cod ice	Tx t/m	Ty t/m	Tz t/m	Rx t°m	Ry t°m	Rz t°m	Cod ice	Tx t/m	Ty t/m	Tz t/m	Rx t°m	Ry t°m	Rz t°m	Beta X	Beta Y
151	F	INCASTR	INCASTR	INCASTR	LIBERO	LIBERO	INCASTR	F	INCASTR	INCASTR	INCASTR	LIBERO	LIBERO	INCASTR	1.00	1.00
152	F	INCASTR	INCASTR	INCASTR	LIBERO	LIBERO	INCASTR	F	INCASTR	INCASTR	INCASTR	LIBERO	LIBERO	INCASTR	1.00	1.00
161	F	INCASTR	INCASTR	INCASTR	LIBERO	LIBERO	INCASTR	F	INCASTR	INCASTR	INCASTR	LIBERO	LIBERO	INCASTR	1.00	1.00
162	F	INCASTR	INCASTR	INCASTR	LIBERO	LIBERO	INCASTR	F	INCASTR	INCASTR	INCASTR	LIBERO	LIBERO	INCASTR	1.00	1.00
176	F	INCASTR	INCASTR	INCASTR	LIBERO	LIBERO	INCASTR	F	INCASTR	INCASTR	INCASTR	LIBERO	LIBERO	INCASTR	1.00	1.00
177	F	INCASTR	INCASTR	INCASTR	LIBERO	LIBERO	INCASTR	F	INCASTR	INCASTR	INCASTR	LIBERO	LIBERO	INCASTR	1.00	1.00
183	F	INCASTR	INCASTR	INCASTR	LIBERO	LIBERO	INCASTR	I	INCASTR	INCASTR	INCASTR	INCASTR	INCASTR	INCASTR	1.00	1.00
184	I	INCASTR	INCASTR	INCASTR	INCASTR	INCASTR	INCASTR	F	INCASTR	INCASTR	INCASTR	LIBERO	LIBERO	INCASTR	1.00	1.00
185	F	INCASTR	INCASTR	INCASTR	LIBERO	LIBERO	INCASTR	F	INCASTR	INCASTR	INCASTR	LIBERO	LIBERO	INCASTR	1.00	1.00
191	F	INCASTR	INCASTR	INCASTR	LIBERO	LIBERO	INCASTR	I	INCASTR	INCASTR	INCASTR	INCASTR	INCASTR	INCASTR	1.00	1.00
192	I	INCASTR	INCASTR	INCASTR	INCASTR	INCASTR	INCASTR	F	INCASTR	INCASTR	INCASTR	LIBERO	LIBERO	INCASTR	1.00	1.00
193	F	INCASTR	INCASTR	INCASTR	LIBERO	LIBERO	INCASTR	F	INCASTR	INCASTR	INCASTR	LIBERO	LIBERO	INCASTR	1.00	1.00
216	F	INCASTR	INCASTR	INCASTR	LIBERO	LIBERO	INCASTR	F	INCASTR	INCASTR	INCASTR	LIBERO	LIBERO	INCASTR	1.00	1.00
217	F	INCASTR	INCASTR	INCASTR	LIBERO	LIBERO	INCASTR	F	INCASTR	INCASTR	INCASTR	LIBERO	LIBERO	INCASTR	1.00	1.00
233	F	INCASTR	INCASTR	INCASTR	LIBERO	LIBERO	INCASTR	F	INCASTR	INCASTR	INCASTR	LIBERO	LIBERO	INCASTR	1.00	1.00
234	F	INCASTR	INCASTR	INCASTR	LIBERO	LIBERO	INCASTR	F	INCASTR	INCASTR	INCASTR	LIBERO	LIBERO	INCASTR	1.00	1.00

Dott. Ing. Lucio D'Angelo - Piazza del Popolo 24 - 63073 Offida (AP)

SOFTWARE: C.D.S. - Full - Rel.2017 - Lic. Nro: 35224

Tabulati di calcolo – Palazzo Magnalbò

VINCOLI INTERNI ASTE																
		VINCOLO NODO INIZIALE						VINCOLO NODO FINALE								
IDENT.		RIGIDENZE TRASLANTI				RIGIDENZE ROTAZIONALI		RIGIDENZE TRASLANTI				RIGIDENZE ROTAZIONALI		COEFFICIENTI BETA		
Asta3d N.ro	Cod ice	Tx t/m	Ty t/m	Tz t/m	Rx t°m	Ry t°m	Rz t°m	Cod ice	Tx t/m	Ty t/m	Tz t/m	Rx t°m	Ry t°m	Rz t°m	Beta X	Beta Y
257	F	INCASTR	INCASTR	INCASTR	LIBERO	LIBERO	INCASTR	F	INCASTR	INCASTR	INCASTR	LIBERO	LIBERO	INCASTR	1.00	1.00
258	F	INCASTR	INCASTR	INCASTR	LIBERO	LIBERO	INCASTR	F	INCASTR	INCASTR	INCASTR	LIBERO	LIBERO	INCASTR	1.00	1.00
259	F	INCASTR	INCASTR	INCASTR	LIBERO	LIBERO	INCASTR	F	INCASTR	INCASTR	INCASTR	LIBERO	LIBERO	INCASTR	1.00	1.00
260	F	INCASTR	INCASTR	INCASTR	LIBERO	LIBERO	INCASTR	F	INCASTR	INCASTR	INCASTR	LIBERO	LIBERO	INCASTR	1.00	1.00
267	F	INCASTR	INCASTR	INCASTR	LIBERO	LIBERO	INCASTR	F	INCASTR	INCASTR	INCASTR	LIBERO	LIBERO	INCASTR	1.00	1.00
268	F	INCASTR	INCASTR	INCASTR	LIBERO	LIBERO	INCASTR	F	INCASTR	INCASTR	INCASTR	LIBERO	LIBERO	INCASTR	1.00	1.00
273	F	INCASTR	INCASTR	INCASTR	LIBERO	LIBERO	INCASTR	I	INCASTR	INCASTR	INCASTR	INCASTR	INCASTR	INCASTR	1.00	1.00
274	I	INCASTR	INCASTR	INCASTR	INCASTR	INCASTR	INCASTR	F	INCASTR	INCASTR	INCASTR	LIBERO	LIBERO	INCASTR	1.00	1.00
275	F	INCASTR	INCASTR	INCASTR	LIBERO	LIBERO	INCASTR	F	INCASTR	INCASTR	INCASTR	LIBERO	LIBERO	INCASTR	1.00	1.00
282	F	INCASTR	INCASTR	INCASTR	LIBERO	LIBERO	INCASTR	I	INCASTR	INCASTR	INCASTR	INCASTR	INCASTR	INCASTR	1.00	1.00
284	I	INCASTR	INCASTR	INCASTR	INCASTR	INCASTR	INCASTR	F	INCASTR	INCASTR	INCASTR	LIBERO	LIBERO	INCASTR	1.00	1.00
285	F	INCASTR	INCASTR	INCASTR	LIBERO	LIBERO	INCASTR	F	INCASTR	INCASTR	INCASTR	LIBERO	LIBERO	INCASTR	1.00	1.00
294	F	INCASTR	INCASTR	INCASTR	LIBERO	LIBERO	INCASTR	F	INCASTR	INCASTR	INCASTR	LIBERO	LIBERO	INCASTR	1.00	1.00
295	F	INCASTR	INCASTR	INCASTR	LIBERO	LIBERO	INCASTR	F	INCASTR	INCASTR	INCASTR	LIBERO	LIBERO	INCASTR	1.00	1.00
303	I	INCASTR	INCASTR	INCASTR	INCASTR	INCASTR	INCASTR	F	INCASTR	INCASTR	INCASTR	LIBERO	LIBERO	INCASTR	1.00	1.00
304	F	INCASTR	INCASTR	INCASTR	LIBERO	LIBERO	INCASTR	F	INCASTR	INCASTR	INCASTR	LIBERO	LIBERO	INCASTR	1.00	1.00
305	F	INCASTR	INCASTR	INCASTR	LIBERO	LIBERO	INCASTR	F	INCASTR	INCASTR	INCASTR	LIBERO	LIBERO	INCASTR	1.00	1.00
306	F	INCASTR	INCASTR	INCASTR	LIBERO	LIBERO	INCASTR	F	INCASTR	INCASTR	INCASTR	LIBERO	LIBERO	INCASTR	1.00	1.00
314	F	INCASTR	INCASTR	INCASTR	LIBERO	LIBERO	INCASTR	I	INCASTR	INCASTR	INCASTR	INCASTR	INCASTR	INCASTR	1.00	1.00
316	I	INCASTR	INCASTR	INCASTR	INCASTR	INCASTR	INCASTR	F	INCASTR	INCASTR	INCASTR	LIBERO	LIBERO	INCASTR	1.00	1.00
317	F	INCASTR	INCASTR	INCASTR	LIBERO	LIBERO	INCASTR	F	INCASTR	INCASTR	INCASTR	LIBERO	LIBERO	INCASTR	1.00	1.00
326	F	INCASTR	INCASTR	INCASTR	LIBERO	LIBERO	INCASTR	F	INCASTR	INCASTR	INCASTR	LIBERO	LIBERO	INCASTR	1.00	1.00
327	F	INCASTR	INCASTR	INCASTR	LIBERO	LIBERO	INCASTR	F	INCASTR	INCASTR	INCASTR	LIBERO	LIBERO	INCASTR	1.00	1.00
335	F	INCASTR	INCASTR	INCASTR	LIBERO	LIBERO	INCASTR	F	INCASTR	INCASTR	INCASTR	LIBERO	LIBERO	INCASTR	1.00	1.00
336	F	INCASTR	INCASTR	INCASTR	LIBERO	LIBERO	INCASTR	F	INCASTR	INCASTR	INCASTR	LIBERO	LIBERO	INCASTR	1.00	1.00
429	F	INCASTR	INCASTR	INCASTR	LIBERO	LIBERO	INCASTR	F	INCASTR	INCASTR	INCASTR	LIBERO	LIBERO	INCASTR	1.00	1.00
435	F	INCASTR	INCASTR	INCASTR	LIBERO	LIBERO	INCASTR	F	INCASTR	INCASTR	INCASTR	LIBERO	LIBERO	INCASTR	1.00	1.00
439	F	INCASTR	INCASTR	INCASTR	LIBERO	LIBERO	INCASTR	F	INCASTR	INCASTR	INCASTR	LIBERO	LIBERO	INCASTR	1.00	1.00
440	F	INCASTR	INCASTR	INCASTR	LIBERO	LIBERO	INCASTR	F	INCASTR	INCASTR	INCASTR	LIBERO	LIBERO	INCASTR	1.00	1.00
443	F	INCASTR	INCASTR	INCASTR	LIBERO	LIBERO	INCASTR	F	INCASTR	INCASTR	INCASTR	LIBERO	LIBERO	INCASTR	1.00	1.00
449	F	INCASTR	INCASTR	INCASTR	LIBERO	LIBERO	INCASTR	F	INCASTR	INCASTR	INCASTR	LIBERO	LIBERO	INCASTR	1.00	1.00
462	F	INCASTR	INCASTR	INCASTR	LIBERO	LIBERO	INCASTR	F	INCASTR	INCASTR	INCASTR	LIBERO	LIBERO	INCASTR	1.00	1.00
463	F	INCASTR	INCASTR	INCASTR	LIBERO	LIBERO	INCASTR	F	INCASTR	INCASTR	INCASTR	LIBERO	LIBERO	INCASTR	1.00	1.00
468	F	INCASTR	INCASTR	INCASTR	LIBERO	LIBERO	INCASTR	F	INCASTR	INCASTR	INCASTR	LIBERO	LIBERO	INCASTR	1.00	1.00
478	F	INCASTR	INCASTR	INCASTR	LIBERO	LIBERO	INCASTR	F	INCASTR	INCASTR	INCASTR	LIBERO	LIBERO	INCASTR	1.00	1.00
492	F	INCASTR	INCASTR	INCASTR	LIBERO	LIBERO	INCASTR	F	INCASTR	INCASTR	INCASTR	LIBERO	LIBERO	INCASTR	1.00	1.00
493	F	INCASTR	INCASTR	INCASTR	LIBERO	LIBERO	INCASTR	F	INCASTR	INCASTR	INCASTR	LIBERO	LIBERO	INCASTR	1.00	1.00
498	F	INCASTR	INCASTR	INCASTR	LIBERO	LIBERO	INCASTR	F	INCASTR	INCASTR	INCASTR	LIBERO	LIBERO	INCASTR	1.00	1.00
510	F	INCASTR	INCASTR	INCASTR	LIBERO	LIBERO	INCASTR	F	INCASTR	INCASTR	INCASTR	LIBERO	LIBERO	INCASTR	1.00	1.00
518	F	INCASTR	INCASTR	INCASTR	LIBERO	LIBERO	INCASTR	F	INCASTR	INCASTR	INCASTR	LIBERO	LIBERO	INCASTR	1.00	1.00
522	F	INCASTR	INCASTR	INCASTR	LIBERO	LIBERO	INCASTR	F	INCASTR	INCASTR	INCASTR	LIBERO	LIBERO	INCASTR	1.00	1.00
523	F	INCASTR	INCASTR	INCASTR	LIBERO	LIBERO	INCASTR	I	INCASTR	INCASTR	INCASTR	INCASTR	INCASTR	INCASTR	1.00	1.00
524	F	INCASTR	INCASTR	INCASTR	LIBERO	LIBERO	INCASTR	F	INCASTR	INCASTR	INCASTR	LIBERO	LIBERO	INCASTR	1.00	1.00
533	F	INCASTR	INCASTR	INCASTR	LIBERO	LIBERO	INCASTR	F	INCASTR	INCASTR	INCASTR	LIBERO	LIBERO	INCASTR	1.00	1.00
538	F	INCASTR	INCASTR	INCASTR	LIBERO	LIBERO	INCASTR	F	INCASTR	INCASTR	INCASTR	LIBERO	LIBERO	INCASTR	1.00	1.00
543	F	INCASTR	INCASTR	INCASTR	LIBERO	LIBERO	INCASTR	F	INCASTR	INCASTR	INCASTR	LIBERO	LIBERO	INCASTR	1.00	1.00
630	F	INCASTR	INCASTR	INCASTR	LIBERO	LIBERO	INCASTR	F	INCASTR	INCASTR	INCASTR	LIBERO	LIBERO	INCASTR	1.00	1.00
639	F	INCASTR	INCASTR	INCASTR	LIBERO	LIBERO	INCASTR	F	INCASTR	INCASTR	INCASTR	LIBERO	LIBERO	INCASTR	1.00	1.00
644	F	INCASTR	INCASTR	INCASTR	LIBERO	LIBERO	INCASTR	F	INCASTR	INCASTR	INCASTR	LIBERO	LIBERO	INCASTR	1.00	1.00
651	F	INCASTR	INCASTR	INCASTR	LIBERO	LIBERO	INCASTR	F	INCASTR	INCASTR	INCASTR	LIBERO	LIBERO	INCASTR	1.00	1.00
655	F	INCASTR	INCASTR	INCASTR	LIBERO	LIBERO	INCASTR	F	INCASTR	INCASTR	INCASTR	LIBERO	LIBERO	INCASTR	1.00	1.00
659	F	INCASTR	INCASTR	INCASTR	LIBERO	LIBERO	INCASTR	F	INCASTR	INCASTR	INCASTR	LIBERO	LIBERO	INCASTR	1.00	1.00
663	F	INCASTR	INCASTR	INCASTR	LIBERO	LIBERO	INCASTR	F	INCASTR	INCASTR	INCASTR	LIBERO	LIBERO	INCASTR	1.00	1.00
676	F	INCASTR	INCASTR	INCASTR	LIBERO	LIBERO	INCASTR	F	INCASTR	INCASTR	INCASTR	LIBERO	LIBERO	INCASTR	1.00	1.00
686	F	INCASTR	INCASTR	INCASTR	LIBERO	LIBERO	INCASTR	F	INCASTR	INCASTR	INCASTR	LIBERO	LIBERO	INCASTR	1.00	1.00
693	F	INCASTR	INCASTR	INCASTR	LIBERO	LIBERO	INCASTR	F	INCASTR	INCASTR	INCASTR	LIBERO	LIBERO	INCASTR	1.00	1.00
697	F	INCASTR	INCASTR	INCASTR	LIBERO	LIBERO	INCASTR	F	INCASTR	INCASTR	INCASTR	LIBERO	LIBERO	INCASTR	1.00	1.00
701	F	INCASTR	INCASTR	INCASTR	LIBERO	LIBERO	INCASTR	F	INCASTR	INCASTR	INCASTR	LIBERO	LIBERO	INCASTR	1.00	1.00
715	F	INCASTR	INCASTR	INCASTR	LIBERO	LIBERO	INCASTR	F	INCASTR	INCASTR	INCASTR	LIBERO	LIBERO	INCASTR	1.00	1.00
722	F	INCASTR	INCASTR	INCASTR	LIBERO	LIBERO	INCASTR	F	INCASTR	INCASTR	INCASTR	LIBERO	LIBERO	INCASTR	1.00	1.00
725	F	INCASTR	INCASTR	INCASTR	LIBERO	LIBERO	INCASTR	F	INCASTR	INCASTR	INCASTR	LIBERO	LIBERO	INCASTR	1.00	1.00
727	F	INCASTR	INCASTR	INCASTR	LIBERO	LIBERO	INCASTR	F	INCASTR	INCASTR	INCASTR	LIBERO	LIBERO	INCASTR	1.00	1.00
736	F	INCASTR	INCASTR	INCASTR	LIBERO	LIBERO	INCASTR	F	INCASTR	INCASTR	INCASTR	LIBERO	LIBERO	INCASTR	1.00	1.00
741	F	INCASTR	INCASTR	INCASTR	LIBERO	LIBERO	INCASTR	F	INCASTR	INCASTR	INCASTR	LIBERO	LIBERO	INCASTR	1.00	1.00

CARICHI DISTRIBUITI ASTE									
CONDIZIONE DI CARICO N.ro: 1					ALIQUOTA SISMICA: 100				
IDENT.		NODO INIZIALE			NODO FINALE				
Asta3d N.ro	Riferi mento	Qx t/ml	Qy t/ml	Qz t/ml	Qx t/ml	Qy t/ml	Qz t/ml	Mt t*m/ml	Pretens t
4	0	0.000	0.000	-1.330	0.000	0.000	-1.330	0.000	0.00
5	0	0.000	0.000	0.035	0.000	0.000	0.035	0.000	0.00
6	0	0.000	0.000	-0.025	0.000	0.000	-0.025	0.000	0.00
7	0	0.000	0.000	0.036	0.000	0.000	0.036	0.000	0.00
8	0	0.000	0.000	0.015	0.000	0.000	0.015	0.000	0.00
9	0	0.000	0.000	-1.379	0.000	0.000	-1.379	0.000	0.00

Dott. Ing. Lucio D'Angelo - Piazza del Popolo 24 - 63073 Offida (AP)

SOFTWARE: C.D.S. - Full - Rel.2017 - Lic. Nro: 35224

Tabulati di calcolo – Palazzo Magnalbò

CARICHI DISTRIBUITI ASTE

CONDIZIONE DI CARICO N.ro: 1

ALIQUOTA SISMICA: 100

IDENT.		NODO INIZIALE			NODO FINALE				
Asta3d N.ro	Riferi mento	Qx t/ml	Qy t/ml	Qz t/ml	Qx t/ml	Qy t/ml	Qz t/ml	Mt t*m/ml	Pretens t
11	0	0.000	0.000	-0.322	0.000	0.000	-0.322	0.000	0.00
12	0	0.000	0.000	-0.539	0.000	0.000	-0.539	0.000	0.00
13	0	0.000	0.000	-0.956	0.000	0.000	-0.956	0.000	0.00
14	0	0.000	0.000	-1.081	0.000	0.000	-1.081	0.000	0.00
15	0	0.000	0.000	-0.687	0.000	0.000	-0.687	0.000	0.00
16	0	0.000	0.000	-0.055	0.000	0.000	-0.055	0.000	0.00
17	0	0.000	0.000	-0.197	0.000	0.000	-0.197	0.000	0.00
18	0	0.000	0.000	-0.407	0.000	0.000	-0.407	0.000	0.00
19	0	0.000	0.000	-0.581	0.000	0.000	-0.581	0.000	0.00
20	0	0.000	0.000	-0.422	0.000	0.000	-0.422	0.000	0.00
21	0	0.000	0.000	-0.650	0.000	0.000	-0.650	0.000	0.00
22	0	0.000	0.000	0.019	0.000	0.000	0.019	0.000	0.00
23	0	0.000	0.000	-0.187	0.000	0.000	-0.187	0.000	0.00
24	0	0.000	0.000	-0.501	0.000	0.000	-0.501	0.000	0.00
25	0	0.000	0.000	-0.002	0.000	0.000	-0.002	0.000	0.00
26	0	0.000	0.000	-0.739	0.000	0.000	-0.739	0.000	0.00
27	0	0.000	0.000	0.041	0.000	0.000	0.041	0.000	0.00
28	0	0.000	0.000	-0.642	0.000	0.000	-0.642	0.000	0.00
30	0	0.000	0.000	-0.854	0.000	0.000	-0.854	0.000	0.00
31	0	0.000	0.000	-0.757	0.000	0.000	-0.757	0.000	0.00
32	0	0.000	0.000	0.067	0.000	0.000	0.067	0.000	0.00
33	0	0.000	0.000	-0.853	0.000	0.000	-0.853	0.000	0.00
34	0	0.000	0.000	-0.703	0.000	0.000	-0.703	0.000	0.00
35	0	0.000	0.000	-0.766	0.000	0.000	-0.766	0.000	0.00
36	0	0.000	0.000	-0.687	0.000	0.000	-0.687	0.000	0.00
37	0	0.000	0.000	-0.633	0.000	0.000	-0.633	0.000	0.00
113	0	0.000	0.000	-0.827	0.000	0.000	-0.827	0.000	0.00
114	0	0.000	0.000	-0.806	0.000	0.000	-0.806	0.000	0.00
337	0	0.000	0.000	-0.313	0.000	0.000	-0.313	0.000	0.00
338	0	0.000	0.000	-0.558	0.000	0.000	-0.558	0.000	0.00
339	0	0.000	0.000	-0.435	0.000	0.000	-0.435	0.000	0.00
340	0	0.000	0.000	-0.182	0.000	0.000	-0.182	0.000	0.00
341	0	0.000	0.000	-0.507	0.000	0.000	-0.507	0.000	0.00
342	0	0.000	0.000	-0.006	0.000	0.000	-0.006	0.000	0.00
343	0	0.000	0.000	0.044	0.000	0.000	0.044	0.000	0.00
344	0	0.000	0.000	0.055	0.000	0.000	0.055	0.000	0.00
345	0	0.000	0.000	-0.718	0.000	0.000	-0.718	0.000	0.00
346	0	0.000	0.000	-0.573	0.000	0.000	-0.573	0.000	0.00
347	0	0.000	0.000	-0.649	0.000	0.000	-0.649	0.000	0.00
348	0	0.000	0.000	0.024	0.000	0.000	0.024	0.000	0.00
349	0	0.000	0.000	0.122	0.000	0.000	0.122	0.000	0.00
350	0	0.000	0.000	-0.718	0.000	0.000	-0.718	0.000	0.00
351	0	0.000	0.000	-1.159	0.000	0.000	-1.159	0.000	0.00
352	0	0.000	0.000	-0.932	0.000	0.000	-0.932	0.000	0.00
353	0	0.000	0.000	0.070	0.000	0.000	0.070	0.000	0.00
355	0	0.000	0.000	0.258	0.000	0.000	0.258	0.000	0.00
356	0	0.000	0.000	-0.663	0.000	0.000	-0.663	0.000	0.00
357	0	0.000	0.000	-0.618	0.000	0.000	-0.618	0.000	0.00
358	0	0.000	0.000	-0.594	0.000	0.000	-0.594	0.000	0.00
360	0	0.000	0.000	0.036	0.000	0.000	0.036	0.000	0.00
362	0	0.000	0.000	-0.010	0.000	0.000	-0.010	0.000	0.00
363	0	0.000	0.000	-1.245	0.000	0.000	-1.245	0.000	0.00
364	0	0.000	0.000	-0.827	0.000	0.000	-0.827	0.000	0.00
366	0	0.000	0.000	-0.034	0.000	0.000	-0.034	0.000	0.00
367	0	0.000	0.000	-0.572	0.000	0.000	-0.572	0.000	0.00
368	0	0.000	0.000	-0.606	0.000	0.000	-0.606	0.000	0.00

Dott. Ing. Lucio D'Angelo - Piazza del Popolo 24 - 63073 Offida (AP)

SOFTWARE: C.D.S. - Full - Rel.2017 - Lic. Nro: 35224

Tabulati di calcolo – Palazzo Magnalbò

CARICHI DISTRIBUITI ASTE

CONDIZIONE DI CARICO N.ro: 1

ALIQUOTA SISMICA: 100

IDENT.		NODO INIZIALE			NODO FINALE				
Asta3d N.ro	Riferi mento	Qx t/ml	Qy t/ml	Qz t/ml	Qx t/ml	Qy t/ml	Qz t/ml	Mt t*m/ml	Pretens t
369	0	0.000	0.000	0.022	0.000	0.000	0.022	0.000	0.00
370	0	0.000	0.000	-0.971	0.000	0.000	-0.971	0.000	0.00
371	0	0.000	0.000	-1.090	0.000	0.000	-1.090	0.000	0.00
372	0	0.000	0.000	-0.756	0.000	0.000	-0.756	0.000	0.00
373	0	0.000	0.000	-0.176	0.000	0.000	-0.176	0.000	0.00
375	0	0.000	0.000	-0.781	0.000	0.000	-0.781	0.000	0.00
376	0	0.000	0.000	-0.343	0.000	0.000	-0.343	0.000	0.00
377	0	0.000	0.000	-0.164	0.000	0.000	-0.164	0.000	0.00
396	0	0.000	0.000	-0.806	0.000	0.000	-0.806	0.000	0.00
545	0	0.000	0.000	-0.313	0.000	0.000	-0.313	0.000	0.00
546	0	0.000	0.000	-0.558	0.000	0.000	-0.558	0.000	0.00
547	0	0.000	0.000	-0.443	0.000	0.000	-0.443	0.000	0.00
548	0	0.000	0.000	-0.375	0.000	0.000	-0.375	0.000	0.00
549	0	0.000	0.000	-0.537	0.000	0.000	-0.537	0.000	0.00
550	0	0.000	0.000	0.008	0.000	0.000	0.008	0.000	0.00
552	0	0.000	0.000	0.055	0.000	0.000	0.055	0.000	0.00
553	0	0.000	0.000	-0.718	0.000	0.000	-0.718	0.000	0.00
554	0	0.000	0.000	-0.576	0.000	0.000	-0.576	0.000	0.00
555	0	0.000	0.000	-0.649	0.000	0.000	-0.649	0.000	0.00
556	0	0.000	0.000	0.039	0.000	0.000	0.039	0.000	0.00
557	0	0.000	0.000	0.092	0.000	0.000	0.092	0.000	0.00
558	0	0.000	0.000	-0.718	0.000	0.000	-0.718	0.000	0.00
559	0	0.000	0.000	-1.158	0.000	0.000	-1.158	0.000	0.00
560	0	0.000	0.000	-0.959	0.000	0.000	-0.959	0.000	0.00
561	0	0.000	0.000	0.040	0.000	0.000	0.040	0.000	0.00
563	0	0.000	0.000	0.128	0.000	0.000	0.128	0.000	0.00
564	0	0.000	0.000	-0.663	0.000	0.000	-0.663	0.000	0.00
565	0	0.000	0.000	-0.612	0.000	0.000	-0.612	0.000	0.00
566	0	0.000	0.000	-0.594	0.000	0.000	-0.594	0.000	0.00
568	0	0.000	0.000	0.036	0.000	0.000	0.036	0.000	0.00
570	0	0.000	0.000	-0.009	0.000	0.000	-0.009	0.000	0.00
571	0	0.000	0.000	-1.240	0.000	0.000	-1.240	0.000	0.00
573	0	0.000	0.000	-0.379	0.000	0.000	-0.379	0.000	0.00
574	0	0.000	0.000	-0.032	0.000	0.000	-0.032	0.000	0.00
575	0	0.000	0.000	-0.572	0.000	0.000	-0.572	0.000	0.00
576	0	0.000	0.000	-0.719	0.000	0.000	-0.719	0.000	0.00
577	0	0.000	0.000	0.013	0.000	0.000	0.013	0.000	0.00
578	0	0.000	0.000	-0.973	0.000	0.000	-0.973	0.000	0.00
579	0	0.000	0.000	-1.093	0.000	0.000	-1.093	0.000	0.00
580	0	0.000	0.000	-0.766	0.000	0.000	-0.766	0.000	0.00
581	0	0.000	0.000	-0.280	0.000	0.000	-0.280	0.000	0.00
582	0	0.000	0.000	-0.781	0.000	0.000	-0.781	0.000	0.00
583	0	0.000	0.000	-0.343	0.000	0.000	-0.343	0.000	0.00
584	0	0.000	0.000	-0.168	0.000	0.000	-0.168	0.000	0.00
747	0	0.000	0.000	-0.651	0.000	0.000	-0.651	0.000	0.00
748	0	0.000	0.000	-0.820	0.000	0.000	-0.820	0.000	0.00
750	0	0.000	0.000	-1.333	0.000	0.000	-1.333	0.000	0.00
752	0	0.000	0.000	-0.452	0.000	0.000	-0.452	0.000	0.00
753	0	0.000	0.000	0.038	0.000	0.000	0.038	0.000	0.00
754	0	0.000	0.000	-0.535	0.000	0.000	-0.535	0.000	0.00
755	0	0.000	0.000	-0.424	0.000	0.000	-0.424	0.000	0.00
756	0	0.000	0.000	0.131	0.000	0.000	0.131	0.000	0.00
757	0	0.000	0.000	0.122	0.000	0.000	0.122	0.000	0.00
759	0	0.000	0.000	-0.191	0.000	0.000	-0.191	0.000	0.00
760	0	0.000	0.000	-1.032	0.000	0.000	-1.032	0.000	0.00
761	0	0.000	0.000	-0.013	0.000	0.000	-0.013	0.000	0.00

Dott. Ing. Lucio D'Angelo - Piazza del Popolo 24 - 63073 Offida (AP)

SOFTWARE: C.D.S. - Full - Rel.2017 - Lic. Nro: 35224

Tabulati di calcolo – Palazzo Magnalbò

CARICHI DISTRIBUITI ASTE

CONDIZIONE DI CARICO N.ro: 1

ALIQUOTA SISMICA: 100

IDENT.		NODO INIZIALE			NODO FINALE				
Asta3d N.ro	Riferi mento	Qx t/ml	Qy t/ml	Qz t/ml	Qx t/ml	Qy t/ml	Qz t/ml	Mt t*m/ml	Pretens t
762	0	0.000	0.000	-0.977	0.000	0.000	-0.977	0.000	0.00
763	0	0.000	0.000	-1.212	0.000	0.000	-1.212	0.000	0.00
764	0	0.000	0.000	-0.785	0.000	0.000	-0.785	0.000	0.00
765	0	0.000	0.000	-0.637	0.000	0.000	-0.637	0.000	0.00
785	0	0.000	0.000	0.164	0.000	0.000	0.164	0.000	0.00
786	0	0.000	0.000	-0.786	0.000	0.000	-0.786	0.000	0.00
787	0	0.000	0.000	-0.758	0.000	0.000	-0.758	0.000	0.00
788	0	0.000	0.000	-0.636	0.000	0.000	-0.636	0.000	0.00
789	0	0.000	0.000	-0.106	0.000	0.000	-0.106	0.000	0.00
790	0	0.000	0.000	-0.290	0.000	0.000	-0.290	0.000	0.00
791	0	0.000	0.000	-0.597	0.000	0.000	-0.597	0.000	0.00
794	0	0.000	0.000	0.052	0.000	0.000	0.052	0.000	0.00
795	0	0.000	0.000	-0.547	0.000	0.000	-0.547	0.000	0.00
796	0	0.000	0.000	-0.338	0.000	0.000	-0.338	0.000	0.00
797	0	0.000	0.000	-0.391	0.000	0.000	-0.391	0.000	0.00
798	0	0.000	0.000	-0.481	0.000	0.000	-0.481	0.000	0.00
800	0	0.000	0.000	0.126	0.000	0.000	0.126	0.000	0.00
801	0	0.000	0.000	0.069	0.000	0.000	0.069	0.000	0.00
802	0	0.000	0.000	0.123	0.000	0.000	0.123	0.000	0.00
803	0	0.000	0.000	0.099	0.000	0.000	0.099	0.000	0.00
804	0	0.000	0.000	0.152	0.000	0.000	0.152	0.000	0.00
805	0	0.000	0.000	0.121	0.000	0.000	0.121	0.000	0.00
806	0	0.000	0.000	-0.565	0.000	0.000	-0.565	0.000	0.00
807	0	0.000	0.000	-0.598	0.000	0.000	-0.598	0.000	0.00
808	0	0.000	0.000	-0.392	0.000	0.000	-0.392	0.000	0.00
837	0	0.000	0.000	-0.840	0.000	0.000	-0.840	0.000	0.00
838	0	0.000	0.000	-0.363	0.000	0.000	-0.363	0.000	0.00
839	0	0.000	0.000	-0.487	0.000	0.000	-0.487	0.000	0.00
840	0	0.000	0.000	-0.918	0.000	0.000	-0.918	0.000	0.00
841	0	0.000	0.000	0.198	0.000	0.000	0.198	0.000	0.00
842	0	0.000	0.000	-0.144	0.000	0.000	-0.144	0.000	0.00
843	0	0.000	0.000	-0.220	0.000	0.000	-0.220	0.000	0.00
844	0	0.000	0.000	-0.194	0.000	0.000	-0.194	0.000	0.00
845	0	0.000	0.000	-0.141	0.000	0.000	-0.141	0.000	0.00
846	0	0.000	0.000	-0.250	0.000	0.000	-0.250	0.000	0.00
847	0	0.000	0.000	-0.198	0.000	0.000	-0.198	0.000	0.00
848	0	0.000	0.000	0.116	0.000	0.000	0.116	0.000	0.00
849	0	0.000	0.000	0.105	0.000	0.000	0.105	0.000	0.00
850	0	0.000	0.000	-0.331	0.000	0.000	-0.331	0.000	0.00
869	0	0.000	0.000	0.035	0.000	0.000	0.035	0.000	0.00
870	0	0.000	0.000	0.004	0.000	0.000	0.004	0.000	0.00
871	0	0.000	0.000	-0.674	0.000	0.000	-0.674	0.000	0.00
872	0	0.000	0.000	-0.273	0.000	0.000	-0.273	0.000	0.00
873	0	0.000	0.000	-0.259	0.000	0.000	-0.259	0.000	0.00
874	0	0.000	0.000	-0.013	0.000	0.000	-0.013	0.000	0.00
875	0	0.000	0.000	0.090	0.000	0.000	0.090	0.000	0.00
876	0	0.000	0.000	-0.273	0.000	0.000	-0.273	0.000	0.00
877	0	0.000	0.000	0.191	0.000	0.000	0.191	0.000	0.00
878	0	0.000	0.000	-0.255	0.000	0.000	-0.255	0.000	0.00
879	0	0.000	0.000	-0.148	0.000	0.000	-0.148	0.000	0.00
880	0	0.000	0.000	-0.798	0.000	0.000	-0.798	0.000	0.00
881	0	0.000	0.000	-0.717	0.000	0.000	-0.717	0.000	0.00
882	0	0.000	0.000	-0.696	0.000	0.000	-0.696	0.000	0.00
883	0	0.000	0.000	0.144	0.000	0.000	0.144	0.000	0.00
885	0	0.000	0.000	0.066	0.000	0.000	0.066	0.000	0.00
886	0	0.000	0.000	0.093	0.000	0.000	0.093	0.000	0.00

Dott. Ing. Lucio D'Angelo - Piazza del Popolo 24 - 63073 Offida (AP)

SOFTWARE: C.D.S. - Full - Rel.2017 - Lic. Nro: 35224

Tabulati di calcolo – Palazzo Magnalbò

CARICHI DISTRIBUITI ASTE

CONDIZIONE DI CARICO N.ro: 1

ALIQUOTA SISMICA: 100

IDENT.		NODO INIZIALE			NODO FINALE				
Asta3d N.ro	Riferi mento	Qx t/ml	Qy t/ml	Qz t/ml	Qx t/ml	Qy t/ml	Qz t/ml	Mt t*m/ml	Pretens t
887	0	0.000	0.000	-0.356	0.000	0.000	-0.356	0.000	0.00
888	0	0.000	0.000	-0.342	0.000	0.000	-0.342	0.000	0.00
890	0	0.000	0.000	-0.747	0.000	0.000	-0.747	0.000	0.00

CARICHI DISTRIBUITI ASTE

CONDIZIONE DI CARICO N.ro: 2

ALIQUOTA SISMICA: 100

IDENT.		NODO INIZIALE			NODO FINALE				
Asta3d N.ro	Riferi mento	Qx t/ml	Qy t/ml	Qz t/ml	Qx t/ml	Qy t/ml	Qz t/ml	Mt t*m/ml	Pretens t
4	0	0.000	0.000	-0.473	0.000	0.000	-0.473	0.000	0.00
5	0	0.000	0.000	-0.001	0.000	0.000	-0.001	0.000	0.00
6	0	0.000	0.000	-0.038	0.000	0.000	-0.038	0.000	0.00
7	0	0.000	0.000	-0.003	0.000	0.000	-0.003	0.000	0.00
8	0	0.000	0.000	-0.007	0.000	0.000	-0.007	0.000	0.00
9	0	0.000	0.000	-0.489	0.000	0.000	-0.489	0.000	0.00
11	0	0.000	0.000	-0.137	0.000	0.000	-0.137	0.000	0.00
12	0	0.000	0.000	-0.195	0.000	0.000	-0.195	0.000	0.00
13	0	0.000	0.000	-0.348	0.000	0.000	-0.348	0.000	0.00
14	0	0.000	0.000	-0.388	0.000	0.000	-0.388	0.000	0.00
15	0	0.000	0.000	-0.259	0.000	0.000	-0.259	0.000	0.00
16	0	0.000	0.000	-0.048	0.000	0.000	-0.048	0.000	0.00
17	0	0.000	0.000	-0.089	0.000	0.000	-0.089	0.000	0.00
18	0	0.000	0.000	-0.165	0.000	0.000	-0.165	0.000	0.00
19	0	0.000	0.000	-0.224	0.000	0.000	-0.224	0.000	0.00
20	0	0.000	0.000	-0.171	0.000	0.000	-0.171	0.000	0.00
21	0	0.000	0.000	-0.247	0.000	0.000	-0.247	0.000	0.00
22	0	0.000	0.000	-0.019	0.000	0.000	-0.019	0.000	0.00
23	0	0.000	0.000	-0.090	0.000	0.000	-0.090	0.000	0.00
24	0	0.000	0.000	-0.196	0.000	0.000	-0.196	0.000	0.00
25	0	0.000	0.000	-0.016	0.000	0.000	-0.016	0.000	0.00
26	0	0.000	0.000	-0.276	0.000	0.000	-0.276	0.000	0.00
27	0	0.000	0.000	-0.015	0.000	0.000	-0.015	0.000	0.00
28	0	0.000	0.000	-0.244	0.000	0.000	-0.244	0.000	0.00
30	0	0.000	0.000	-0.315	0.000	0.000	-0.315	0.000	0.00
31	0	0.000	0.000	-0.282	0.000	0.000	-0.282	0.000	0.00
32	0	0.000	0.000	-0.003	0.000	0.000	-0.003	0.000	0.00
33	0	0.000	0.000	-0.314	0.000	0.000	-0.314	0.000	0.00
34	0	0.000	0.000	-0.264	0.000	0.000	-0.264	0.000	0.00
35	0	0.000	0.000	-0.285	0.000	0.000	-0.285	0.000	0.00
36	0	0.000	0.000	-0.259	0.000	0.000	-0.259	0.000	0.00
37	0	0.000	0.000	-0.231	0.000	0.000	-0.231	0.000	0.00
113	0	0.000	0.000	-0.138	0.000	0.000	-0.138	0.000	0.00
114	0	0.000	0.000	-0.134	0.000	0.000	-0.134	0.000	0.00
337	0	0.000	0.000	-0.194	0.000	0.000	-0.194	0.000	0.00
338	0	0.000	0.000	-0.276	0.000	0.000	-0.276	0.000	0.00
339	0	0.000	0.000	-0.234	0.000	0.000	-0.234	0.000	0.00
340	0	0.000	0.000	-0.126	0.000	0.000	-0.126	0.000	0.00
341	0	0.000	0.000	-0.259	0.000	0.000	-0.259	0.000	0.00
342	0	0.000	0.000	-0.022	0.000	0.000	-0.022	0.000	0.00
343	0	0.000	0.000	-0.005	0.000	0.000	-0.005	0.000	0.00
344	0	0.000	0.000	-0.002	0.000	0.000	-0.002	0.000	0.00
345	0	0.000	0.000	-0.329	0.000	0.000	-0.329	0.000	0.00
346	0	0.000	0.000	-0.281	0.000	0.000	-0.281	0.000	0.00
347	0	0.000	0.000	-0.306	0.000	0.000	-0.306	0.000	0.00
348	0	0.000	0.000	-0.012	0.000	0.000	-0.012	0.000	0.00

Dott. Ing. Lucio D'Angelo - Piazza del Popolo 24 - 63073 Offida (AP)

SOFTWARE: C.D.S. - Full - Rel.2017 - Lic. Nro: 35224

Tabulati di calcolo – Palazzo Magnalbò

CARICHI DISTRIBUITI ASTE									
CONDIZIONE DI CARICO N.ro: 2					ALIQUOTA SISMICA: 100				
IDENT.		NODO INIZIALE			NODO FINALE				
Asta3d N.ro	Riferi mento	Qx t/ml	Qy t/ml	Qz t/ml	Qx t/ml	Qy t/ml	Qz t/ml	Mt t*m/ml	Pretens t
349	0	0.000	0.000	-0.004	0.000	0.000	-0.004	0.000	0.00
350	0	0.000	0.000	-0.284	0.000	0.000	-0.284	0.000	0.00
351	0	0.000	0.000	-0.486	0.000	0.000	-0.486	0.000	0.00
352	0	0.000	0.000	-0.408	0.000	0.000	-0.408	0.000	0.00
353	0	0.000	0.000	-0.011	0.000	0.000	-0.011	0.000	0.00
355	0	0.000	0.000	-0.004	0.000	0.000	-0.004	0.000	0.00
356	0	0.000	0.000	-0.311	0.000	0.000	-0.311	0.000	0.00
357	0	0.000	0.000	-0.296	0.000	0.000	-0.296	0.000	0.00
358	0	0.000	0.000	-0.252	0.000	0.000	-0.252	0.000	0.00
360	0	0.000	0.000	-0.008	0.000	0.000	-0.008	0.000	0.00
362	0	0.000	0.000	-0.043	0.000	0.000	-0.043	0.000	0.00
363	0	0.000	0.000	-0.515	0.000	0.000	-0.515	0.000	0.00
364	0	0.000	0.000	-0.138	0.000	0.000	-0.138	0.000	0.00
366	0	0.000	0.000	-0.058	0.000	0.000	-0.058	0.000	0.00
367	0	0.000	0.000	-0.260	0.000	0.000	-0.260	0.000	0.00
368	0	0.000	0.000	-0.281	0.000	0.000	-0.281	0.000	0.00
369	0	0.000	0.000	-0.082	0.000	0.000	-0.082	0.000	0.00
370	0	0.000	0.000	-0.424	0.000	0.000	-0.424	0.000	0.00
371	0	0.000	0.000	-0.462	0.000	0.000	-0.462	0.000	0.00
372	0	0.000	0.000	-0.332	0.000	0.000	-0.332	0.000	0.00
373	0	0.000	0.000	-0.130	0.000	0.000	-0.130	0.000	0.00
375	0	0.000	0.000	-0.130	0.000	0.000	-0.130	0.000	0.00
376	0	0.000	0.000	-0.184	0.000	0.000	-0.184	0.000	0.00
377	0	0.000	0.000	-0.114	0.000	0.000	-0.114	0.000	0.00
396	0	0.000	0.000	-0.134	0.000	0.000	-0.134	0.000	0.00
545	0	0.000	0.000	-0.194	0.000	0.000	-0.194	0.000	0.00
546	0	0.000	0.000	-0.276	0.000	0.000	-0.276	0.000	0.00
547	0	0.000	0.000	-0.238	0.000	0.000	-0.238	0.000	0.00
548	0	0.000	0.000	-0.212	0.000	0.000	-0.212	0.000	0.00
549	0	0.000	0.000	-0.268	0.000	0.000	-0.268	0.000	0.00
550	0	0.000	0.000	-0.017	0.000	0.000	-0.017	0.000	0.00
552	0	0.000	0.000	-0.002	0.000	0.000	-0.002	0.000	0.00
553	0	0.000	0.000	-0.329	0.000	0.000	-0.329	0.000	0.00
554	0	0.000	0.000	-0.282	0.000	0.000	-0.282	0.000	0.00
555	0	0.000	0.000	-0.306	0.000	0.000	-0.306	0.000	0.00
556	0	0.000	0.000	-0.007	0.000	0.000	-0.007	0.000	0.00
557	0	0.000	0.000	-0.014	0.000	0.000	-0.014	0.000	0.00
558	0	0.000	0.000	-0.329	0.000	0.000	-0.329	0.000	0.00
559	0	0.000	0.000	-0.486	0.000	0.000	-0.486	0.000	0.00
560	0	0.000	0.000	-0.418	0.000	0.000	-0.418	0.000	0.00
561	0	0.000	0.000	-0.009	0.000	0.000	-0.009	0.000	0.00
563	0	0.000	0.000	-0.002	0.000	0.000	-0.002	0.000	0.00
564	0	0.000	0.000	-0.311	0.000	0.000	-0.311	0.000	0.00
565	0	0.000	0.000	-0.294	0.000	0.000	-0.294	0.000	0.00
566	0	0.000	0.000	-0.253	0.000	0.000	-0.253	0.000	0.00
568	0	0.000	0.000	-0.008	0.000	0.000	-0.008	0.000	0.00
570	0	0.000	0.000	-0.043	0.000	0.000	-0.043	0.000	0.00
571	0	0.000	0.000	-0.513	0.000	0.000	-0.513	0.000	0.00
573	0	0.000	0.000	-0.226	0.000	0.000	-0.226	0.000	0.00
574	0	0.000	0.000	-0.057	0.000	0.000	-0.057	0.000	0.00
575	0	0.000	0.000	-0.260	0.000	0.000	-0.260	0.000	0.00
576	0	0.000	0.000	-0.279	0.000	0.000	-0.279	0.000	0.00
577	0	0.000	0.000	-0.085	0.000	0.000	-0.085	0.000	0.00
578	0	0.000	0.000	-0.421	0.000	0.000	-0.421	0.000	0.00
579	0	0.000	0.000	-0.463	0.000	0.000	-0.463	0.000	0.00
580	0	0.000	0.000	-0.335	0.000	0.000	-0.335	0.000	0.00

Dott. Ing. Lucio D'Angelo - Piazza del Popolo 24 - 63073 Offida (AP)

SOFTWARE: C.D.S. - Full - Rel.2017 - Lic. Nro: 35224

Tabulati di calcolo – Palazzo Magnalbò

CARICHI DISTRIBUITI ASTE									
CONDIZIONE DI CARICO N.ro: 2					ALIQUOTA SISMICA: 100				
IDENT.		NODO INIZIALE			NODO FINALE				
Asta3d N.ro	Riferi mento	Qx t/ml	Qy t/ml	Qz t/ml	Qx t/ml	Qy t/ml	Qz t/ml	Mt t*m/ml	Pretens t
581	0	0.000	0.000	-0.128	0.000	0.000	-0.128	0.000	0.00
582	0	0.000	0.000	-0.130	0.000	0.000	-0.130	0.000	0.00
583	0	0.000	0.000	-0.184	0.000	0.000	-0.184	0.000	0.00
584	0	0.000	0.000	-0.115	0.000	0.000	-0.115	0.000	0.00
747	0	0.000	0.000	-0.162	0.000	0.000	-0.162	0.000	0.00
748	0	0.000	0.000	-0.194	0.000	0.000	-0.194	0.000	0.00
750	0	0.000	0.000	-0.272	0.000	0.000	-0.272	0.000	0.00
752	0	0.000	0.000	-0.125	0.000	0.000	-0.125	0.000	0.00
753	0	0.000	0.000	-0.033	0.000	0.000	-0.033	0.000	0.00
754	0	0.000	0.000	-0.128	0.000	0.000	-0.128	0.000	0.00
755	0	0.000	0.000	-0.107	0.000	0.000	-0.107	0.000	0.00
756	0	0.000	0.000	-0.001	0.000	0.000	-0.001	0.000	0.00
757	0	0.000	0.000	-0.002	0.000	0.000	-0.002	0.000	0.00
759	0	0.000	0.000	-0.075	0.000	0.000	-0.075	0.000	0.00
760	0	0.000	0.000	-0.220	0.000	0.000	-0.220	0.000	0.00
761	0	0.000	0.000	-0.039	0.000	0.000	-0.039	0.000	0.00
762	0	0.000	0.000	-0.211	0.000	0.000	-0.211	0.000	0.00
763	0	0.000	0.000	-0.252	0.000	0.000	-0.252	0.000	0.00
764	0	0.000	0.000	-0.171	0.000	0.000	-0.171	0.000	0.00
765	0	0.000	0.000	-0.151	0.000	0.000	-0.151	0.000	0.00
785	0	0.000	0.000	-0.001	0.000	0.000	-0.001	0.000	0.00
786	0	0.000	0.000	-0.187	0.000	0.000	-0.187	0.000	0.00
787	0	0.000	0.000	-0.184	0.000	0.000	-0.184	0.000	0.00
788	0	0.000	0.000	-0.164	0.000	0.000	-0.164	0.000	0.00
789	0	0.000	0.000	-0.063	0.000	0.000	-0.063	0.000	0.00
790	0	0.000	0.000	-0.065	0.000	0.000	-0.065	0.000	0.00
791	0	0.000	0.000	-0.157	0.000	0.000	-0.157	0.000	0.00
794	0	0.000	0.000	-0.001	0.000	0.000	-0.001	0.000	0.00
795	0	0.000	0.000	-0.148	0.000	0.000	-0.148	0.000	0.00
796	0	0.000	0.000	-0.113	0.000	0.000	-0.113	0.000	0.00
797	0	0.000	0.000	-0.121	0.000	0.000	-0.121	0.000	0.00
798	0	0.000	0.000	-0.138	0.000	0.000	-0.138	0.000	0.00
800	0	0.000	0.000	-0.008	0.000	0.000	-0.008	0.000	0.00
801	0	0.000	0.000	-0.017	0.000	0.000	-0.017	0.000	0.00
802	0	0.000	0.000	-0.008	0.000	0.000	-0.008	0.000	0.00
803	0	0.000	0.000	-0.012	0.000	0.000	-0.012	0.000	0.00
804	0	0.000	0.000	-0.004	0.000	0.000	-0.004	0.000	0.00
805	0	0.000	0.000	-0.009	0.000	0.000	-0.009	0.000	0.00
806	0	0.000	0.000	-0.151	0.000	0.000	-0.151	0.000	0.00
807	0	0.000	0.000	-0.157	0.000	0.000	-0.157	0.000	0.00
808	0	0.000	0.000	-0.119	0.000	0.000	-0.119	0.000	0.00
837	0	0.000	0.000	-0.188	0.000	0.000	-0.188	0.000	0.00
838	0	0.000	0.000	-0.105	0.000	0.000	-0.105	0.000	0.00
839	0	0.000	0.000	-0.114	0.000	0.000	-0.114	0.000	0.00
840	0	0.000	0.000	-0.199	0.000	0.000	-0.199	0.000	0.00
841	0	0.000	0.000	-0.007	0.000	0.000	-0.007	0.000	0.00
842	0	0.000	0.000	-0.072	0.000	0.000	-0.072	0.000	0.00
843	0	0.000	0.000	-0.085	0.000	0.000	-0.085	0.000	0.00
844	0	0.000	0.000	-0.080	0.000	0.000	-0.080	0.000	0.00
845	0	0.000	0.000	-0.071	0.000	0.000	-0.071	0.000	0.00
846	0	0.000	0.000	-0.090	0.000	0.000	-0.090	0.000	0.00
847	0	0.000	0.000	-0.081	0.000	0.000	-0.081	0.000	0.00
848	0	0.000	0.000	-0.001	0.000	0.000	-0.001	0.000	0.00
849	0	0.000	0.000	-0.002	0.000	0.000	-0.002	0.000	0.00
850	0	0.000	0.000	-0.083	0.000	0.000	-0.083	0.000	0.00
869	0	0.000	0.000	-0.014	0.000	0.000	-0.014	0.000	0.00

Tabulati di calcolo – Palazzo Magnalbò

CARICHI DISTRIBUITI ASTE

CONDIZIONE DI CARICO N.ro: 2

ALIQUOTA SISMICA: 100

IDENT.		NODO INIZIALE			NODO FINALE				
Asta3d N.ro	Riferi mento	Qx t/ml	Qy t/ml	Qz t/ml	Qx t/ml	Qy t/ml	Qz t/ml	Mt t*m/ml	Pretens t
870	0	0.000	0.000	-0.019	0.000	0.000	-0.019	0.000	0.00
871	0	0.000	0.000	-0.152	0.000	0.000	-0.152	0.000	0.00
872	0	0.000	0.000	-0.065	0.000	0.000	-0.065	0.000	0.00
873	0	0.000	0.000	-0.063	0.000	0.000	-0.063	0.000	0.00
874	0	0.000	0.000	-0.029	0.000	0.000	-0.029	0.000	0.00
875	0	0.000	0.000	-0.005	0.000	0.000	-0.005	0.000	0.00
876	0	0.000	0.000	-0.085	0.000	0.000	-0.085	0.000	0.00
877	0	0.000	0.000	-0.001	0.000	0.000	-0.001	0.000	0.00
878	0	0.000	0.000	-0.062	0.000	0.000	-0.062	0.000	0.00
879	0	0.000	0.000	-0.065	0.000	0.000	-0.065	0.000	0.00
880	0	0.000	0.000	-0.181	0.000	0.000	-0.181	0.000	0.00
881	0	0.000	0.000	-0.166	0.000	0.000	-0.166	0.000	0.00
882	0	0.000	0.000	-0.161	0.000	0.000	-0.161	0.000	0.00
883	0	0.000	0.000	-0.016	0.000	0.000	-0.016	0.000	0.00
885	0	0.000	0.000	-0.029	0.000	0.000	-0.029	0.000	0.00
886	0	0.000	0.000	-0.004	0.000	0.000	-0.004	0.000	0.00
887	0	0.000	0.000	-0.097	0.000	0.000	-0.097	0.000	0.00
888	0	0.000	0.000	-0.094	0.000	0.000	-0.094	0.000	0.00
890	0	0.000	0.000	-0.165	0.000	0.000	-0.165	0.000	0.00

CARICHI DISTRIBUITI ASTE

CONDIZIONE DI CARICO N.ro: 3

ALIQUOTA SISMICA: 60

IDENT.		NODO INIZIALE			NODO FINALE				
Asta3d N.ro	Riferi mento	Qx t/ml	Qy t/ml	Qz t/ml	Qx t/ml	Qy t/ml	Qz t/ml	Mt t*m/ml	Pretens t
4	0	0.000	0.000	-1.420	0.000	0.000	-1.420	0.000	0.00
5	0	0.000	0.000	-0.004	0.000	0.000	-0.004	0.000	0.00
6	0	0.000	0.000	-0.113	0.000	0.000	-0.113	0.000	0.00
7	0	0.000	0.000	-0.009	0.000	0.000	-0.009	0.000	0.00
8	0	0.000	0.000	-0.020	0.000	0.000	-0.020	0.000	0.00
9	0	0.000	0.000	-1.467	0.000	0.000	-1.467	0.000	0.00
11	0	0.000	0.000	-0.412	0.000	0.000	-0.412	0.000	0.00
12	0	0.000	0.000	-0.584	0.000	0.000	-0.584	0.000	0.00
13	0	0.000	0.000	-1.044	0.000	0.000	-1.044	0.000	0.00
14	0	0.000	0.000	-1.163	0.000	0.000	-1.163	0.000	0.00
15	0	0.000	0.000	-0.777	0.000	0.000	-0.777	0.000	0.00
16	0	0.000	0.000	-0.145	0.000	0.000	-0.145	0.000	0.00
17	0	0.000	0.000	-0.267	0.000	0.000	-0.267	0.000	0.00
18	0	0.000	0.000	-0.496	0.000	0.000	-0.496	0.000	0.00
19	0	0.000	0.000	-0.671	0.000	0.000	-0.671	0.000	0.00
20	0	0.000	0.000	-0.512	0.000	0.000	-0.512	0.000	0.00
21	0	0.000	0.000	-0.740	0.000	0.000	-0.740	0.000	0.00
22	0	0.000	0.000	-0.057	0.000	0.000	-0.057	0.000	0.00
23	0	0.000	0.000	-0.271	0.000	0.000	-0.271	0.000	0.00
24	0	0.000	0.000	-0.589	0.000	0.000	-0.589	0.000	0.00
25	0	0.000	0.000	-0.047	0.000	0.000	-0.047	0.000	0.00
26	0	0.000	0.000	-0.828	0.000	0.000	-0.828	0.000	0.00
27	0	0.000	0.000	-0.045	0.000	0.000	-0.045	0.000	0.00
28	0	0.000	0.000	-0.732	0.000	0.000	-0.732	0.000	0.00
30	0	0.000	0.000	-0.944	0.000	0.000	-0.944	0.000	0.00
31	0	0.000	0.000	-0.847	0.000	0.000	-0.847	0.000	0.00
32	0	0.000	0.000	-0.010	0.000	0.000	-0.010	0.000	0.00
33	0	0.000	0.000	-0.943	0.000	0.000	-0.943	0.000	0.00
34	0	0.000	0.000	-0.793	0.000	0.000	-0.793	0.000	0.00
35	0	0.000	0.000	-0.855	0.000	0.000	-0.855	0.000	0.00

Dott. Ing. Lucio D'Angelo - Piazza del Popolo 24 - 63073 Offida (AP)

SOFTWARE: C.D.S. - Full - Rel.2017 - Lic. Nro: 35224

Tabulati di calcolo – Palazzo Magnalbò

CARICHI DISTRIBUITI ASTE

CONDIZIONE DI CARICO N.ro: 3

ALiquota SISMICA: 60

IDENT.		NODO INIZIALE			NODO FINALE				
Asta3d N.ro	Riferi mento	Qx t/ml	Qy t/ml	Qz t/ml	Qx t/ml	Qy t/ml	Qz t/ml	Mt t*m/ml	Pretens t
36	0	0.000	0.000	-0.776	0.000	0.000	-0.776	0.000	0.00
37	0	0.000	0.000	-0.694	0.000	0.000	-0.694	0.000	0.00
113	0	0.000	0.000	-1.102	0.000	0.000	-1.102	0.000	0.00
114	0	0.000	0.000	-1.075	0.000	0.000	-1.075	0.000	0.00
337	0	0.000	0.000	-0.581	0.000	0.000	-0.581	0.000	0.00
338	0	0.000	0.000	-0.828	0.000	0.000	-0.828	0.000	0.00
339	0	0.000	0.000	-0.703	0.000	0.000	-0.703	0.000	0.00
340	0	0.000	0.000	-0.378	0.000	0.000	-0.378	0.000	0.00
341	0	0.000	0.000	-0.776	0.000	0.000	-0.776	0.000	0.00
342	0	0.000	0.000	-0.066	0.000	0.000	-0.066	0.000	0.00
343	0	0.000	0.000	-0.016	0.000	0.000	-0.016	0.000	0.00
344	0	0.000	0.000	-0.005	0.000	0.000	-0.005	0.000	0.00
345	0	0.000	0.000	-0.988	0.000	0.000	-0.988	0.000	0.00
346	0	0.000	0.000	-0.843	0.000	0.000	-0.843	0.000	0.00
347	0	0.000	0.000	-0.919	0.000	0.000	-0.919	0.000	0.00
348	0	0.000	0.000	-0.036	0.000	0.000	-0.036	0.000	0.00
349	0	0.000	0.000	-0.013	0.000	0.000	-0.013	0.000	0.00
350	0	0.000	0.000	-0.853	0.000	0.000	-0.853	0.000	0.00
351	0	0.000	0.000	-1.459	0.000	0.000	-1.459	0.000	0.00
352	0	0.000	0.000	-1.223	0.000	0.000	-1.223	0.000	0.00
353	0	0.000	0.000	-0.033	0.000	0.000	-0.033	0.000	0.00
355	0	0.000	0.000	-0.012	0.000	0.000	-0.012	0.000	0.00
356	0	0.000	0.000	-0.933	0.000	0.000	-0.933	0.000	0.00
357	0	0.000	0.000	-0.888	0.000	0.000	-0.888	0.000	0.00
358	0	0.000	0.000	-0.755	0.000	0.000	-0.755	0.000	0.00
360	0	0.000	0.000	-0.024	0.000	0.000	-0.024	0.000	0.00
362	0	0.000	0.000	-0.130	0.000	0.000	-0.130	0.000	0.00
363	0	0.000	0.000	-1.545	0.000	0.000	-1.545	0.000	0.00
364	0	0.000	0.000	-1.102	0.000	0.000	-1.102	0.000	0.00
366	0	0.000	0.000	-0.173	0.000	0.000	-0.173	0.000	0.00
367	0	0.000	0.000	-0.780	0.000	0.000	-0.780	0.000	0.00
368	0	0.000	0.000	-0.844	0.000	0.000	-0.844	0.000	0.00
369	0	0.000	0.000	-0.247	0.000	0.000	-0.247	0.000	0.00
370	0	0.000	0.000	-1.271	0.000	0.000	-1.271	0.000	0.00
371	0	0.000	0.000	-1.387	0.000	0.000	-1.387	0.000	0.00
372	0	0.000	0.000	-0.996	0.000	0.000	-0.996	0.000	0.00
373	0	0.000	0.000	-0.391	0.000	0.000	-0.391	0.000	0.00
375	0	0.000	0.000	-1.042	0.000	0.000	-1.042	0.000	0.00
376	0	0.000	0.000	-0.552	0.000	0.000	-0.552	0.000	0.00
377	0	0.000	0.000	-0.342	0.000	0.000	-0.342	0.000	0.00
396	0	0.000	0.000	-1.075	0.000	0.000	-1.075	0.000	0.00
545	0	0.000	0.000	-0.581	0.000	0.000	-0.581	0.000	0.00
546	0	0.000	0.000	-0.828	0.000	0.000	-0.828	0.000	0.00
547	0	0.000	0.000	-0.713	0.000	0.000	-0.713	0.000	0.00
548	0	0.000	0.000	-0.636	0.000	0.000	-0.636	0.000	0.00
549	0	0.000	0.000	-0.804	0.000	0.000	-0.804	0.000	0.00
550	0	0.000	0.000	-0.052	0.000	0.000	-0.052	0.000	0.00
552	0	0.000	0.000	-0.005	0.000	0.000	-0.005	0.000	0.00
553	0	0.000	0.000	-0.988	0.000	0.000	-0.988	0.000	0.00
554	0	0.000	0.000	-0.846	0.000	0.000	-0.846	0.000	0.00
555	0	0.000	0.000	-0.919	0.000	0.000	-0.919	0.000	0.00
556	0	0.000	0.000	-0.021	0.000	0.000	-0.021	0.000	0.00
557	0	0.000	0.000	-0.043	0.000	0.000	-0.043	0.000	0.00
558	0	0.000	0.000	-0.988	0.000	0.000	-0.988	0.000	0.00
559	0	0.000	0.000	-1.458	0.000	0.000	-1.458	0.000	0.00
560	0	0.000	0.000	-1.255	0.000	0.000	-1.255	0.000	0.00

Dott. Ing. Lucio D'Angelo - Piazza del Popolo 24 - 63073 Offida (AP)

SOFTWARE: C.D.S. - Full - Rel.2017 - Lic. Nro: 35224

Tabulati di calcolo – Palazzo Magnalbò

CARICHI DISTRIBUITI ASTE

CONDIZIONE DI CARICO N.ro: 3

ALIQUOTA SISMICA: 60

IDENT.		NODO INIZIALE			NODO FINALE				
Asta3d N.ro	Riferi mento	Qx t/ml	Qy t/ml	Qz t/ml	Qx t/ml	Qy t/ml	Qz t/ml	Mt t*m/ml	Pretens t
561	0	0.000	0.000	-0.026	0.000	0.000	-0.026	0.000	0.00
563	0	0.000	0.000	-0.007	0.000	0.000	-0.007	0.000	0.00
564	0	0.000	0.000	-0.933	0.000	0.000	-0.933	0.000	0.00
565	0	0.000	0.000	-0.881	0.000	0.000	-0.881	0.000	0.00
566	0	0.000	0.000	-0.760	0.000	0.000	-0.760	0.000	0.00
568	0	0.000	0.000	-0.024	0.000	0.000	-0.024	0.000	0.00
570	0	0.000	0.000	-0.129	0.000	0.000	-0.129	0.000	0.00
571	0	0.000	0.000	-1.540	0.000	0.000	-1.540	0.000	0.00
573	0	0.000	0.000	-0.679	0.000	0.000	-0.679	0.000	0.00
574	0	0.000	0.000	-0.171	0.000	0.000	-0.171	0.000	0.00
575	0	0.000	0.000	-0.780	0.000	0.000	-0.780	0.000	0.00
576	0	0.000	0.000	-0.837	0.000	0.000	-0.837	0.000	0.00
577	0	0.000	0.000	-0.256	0.000	0.000	-0.256	0.000	0.00
578	0	0.000	0.000	-1.264	0.000	0.000	-1.264	0.000	0.00
579	0	0.000	0.000	-1.390	0.000	0.000	-1.390	0.000	0.00
580	0	0.000	0.000	-1.005	0.000	0.000	-1.005	0.000	0.00
581	0	0.000	0.000	-0.383	0.000	0.000	-0.383	0.000	0.00
582	0	0.000	0.000	-1.042	0.000	0.000	-1.042	0.000	0.00
583	0	0.000	0.000	-0.552	0.000	0.000	-0.552	0.000	0.00
584	0	0.000	0.000	-0.346	0.000	0.000	-0.346	0.000	0.00

CARICHI DISTRIBUITI ASTE

CONDIZIONE DI CARICO N.ro: 4

ALIQUOTA SISMICA: 0

IDENT.		NODO INIZIALE			NODO FINALE				
Asta3d N.ro	Riferi mento	Qx t/ml	Qy t/ml	Qz t/ml	Qx t/ml	Qy t/ml	Qz t/ml	Mt t*m/ml	Pretens t
837	0	0.000	0.000	-0.425	0.000	0.000	-0.425	0.000	0.00
838	0	0.000	0.000	-0.238	0.000	0.000	-0.238	0.000	0.00
839	0	0.000	0.000	-0.259	0.000	0.000	-0.259	0.000	0.00
840	0	0.000	0.000	-0.450	0.000	0.000	-0.450	0.000	0.00
841	0	0.000	0.000	-0.016	0.000	0.000	-0.016	0.000	0.00
842	0	0.000	0.000	-0.162	0.000	0.000	-0.162	0.000	0.00
843	0	0.000	0.000	-0.191	0.000	0.000	-0.191	0.000	0.00
844	0	0.000	0.000	-0.181	0.000	0.000	-0.181	0.000	0.00
845	0	0.000	0.000	-0.161	0.000	0.000	-0.161	0.000	0.00
846	0	0.000	0.000	-0.203	0.000	0.000	-0.203	0.000	0.00
847	0	0.000	0.000	-0.183	0.000	0.000	-0.183	0.000	0.00
848	0	0.000	0.000	-0.001	0.000	0.000	-0.001	0.000	0.00
849	0	0.000	0.000	-0.006	0.000	0.000	-0.006	0.000	0.00
850	0	0.000	0.000	-0.188	0.000	0.000	-0.188	0.000	0.00
869	0	0.000	0.000	-0.032	0.000	0.000	-0.032	0.000	0.00
870	0	0.000	0.000	-0.044	0.000	0.000	-0.044	0.000	0.00
871	0	0.000	0.000	-0.344	0.000	0.000	-0.344	0.000	0.00
872	0	0.000	0.000	-0.148	0.000	0.000	-0.148	0.000	0.00
873	0	0.000	0.000	-0.143	0.000	0.000	-0.143	0.000	0.00
874	0	0.000	0.000	-0.066	0.000	0.000	-0.066	0.000	0.00
875	0	0.000	0.000	-0.011	0.000	0.000	-0.011	0.000	0.00
876	0	0.000	0.000	-0.193	0.000	0.000	-0.193	0.000	0.00
877	0	0.000	0.000	-0.003	0.000	0.000	-0.003	0.000	0.00
878	0	0.000	0.000	-0.140	0.000	0.000	-0.140	0.000	0.00
879	0	0.000	0.000	-0.146	0.000	0.000	-0.146	0.000	0.00
880	0	0.000	0.000	-0.409	0.000	0.000	-0.409	0.000	0.00
881	0	0.000	0.000	-0.376	0.000	0.000	-0.376	0.000	0.00
882	0	0.000	0.000	-0.364	0.000	0.000	-0.364	0.000	0.00
883	0	0.000	0.000	-0.036	0.000	0.000	-0.036	0.000	0.00

Dott. Ing. Lucio D'Angelo - Piazza del Popolo 24 - 63073 Offida (AP)

SOFTWARE: C.D.S. - Full - Rel.2017 - Lic. Nro: 35224

Tabulati di calcolo – Palazzo Magnalbò

CARICHI DISTRIBUITI ASTE

CONDIZIONE DI CARICO N.ro: 4

ALIQUOTA SISMICA: 0

IDENT.		NODO INIZIALE			NODO FINALE				
Asta3d N.ro	Riferi mento	Qx t/ml	Qy t/ml	Qz t/ml	Qx t/ml	Qy t/ml	Qz t/ml	Mt t*m/ml	Pretens t
885	0	0.000	0.000	-0.065	0.000	0.000	-0.065	0.000	0.00
886	0	0.000	0.000	-0.010	0.000	0.000	-0.010	0.000	0.00
887	0	0.000	0.000	-0.219	0.000	0.000	-0.219	0.000	0.00
888	0	0.000	0.000	-0.212	0.000	0.000	-0.212	0.000	0.00
890	0	0.000	0.000	-0.372	0.000	0.000	-0.372	0.000	0.00

CARICHI DISTRIBUITI ASTE

CONDIZIONE DI CARICO N.ro: 5

ALIQUOTA SISMICA: 0

IDENT.		NODO INIZIALE			NODO FINALE				
Asta3d N.ro	Riferi mento	Qx t/ml	Qy t/ml	Qz t/ml	Qx t/ml	Qy t/ml	Qz t/ml	Mt t*m/ml	Pretens t
747	0	0.000	0.000	-0.162	0.000	0.000	-0.162	0.000	0.00
748	0	0.000	0.000	-0.194	0.000	0.000	-0.194	0.000	0.00
750	0	0.000	0.000	-0.272	0.000	0.000	-0.272	0.000	0.00
752	0	0.000	0.000	-0.125	0.000	0.000	-0.125	0.000	0.00
753	0	0.000	0.000	-0.033	0.000	0.000	-0.033	0.000	0.00
754	0	0.000	0.000	-0.128	0.000	0.000	-0.128	0.000	0.00
755	0	0.000	0.000	-0.107	0.000	0.000	-0.107	0.000	0.00
756	0	0.000	0.000	-0.001	0.000	0.000	-0.001	0.000	0.00
757	0	0.000	0.000	-0.002	0.000	0.000	-0.002	0.000	0.00
759	0	0.000	0.000	-0.075	0.000	0.000	-0.075	0.000	0.00
760	0	0.000	0.000	-0.220	0.000	0.000	-0.220	0.000	0.00
761	0	0.000	0.000	-0.039	0.000	0.000	-0.039	0.000	0.00
762	0	0.000	0.000	-0.211	0.000	0.000	-0.211	0.000	0.00
763	0	0.000	0.000	-0.252	0.000	0.000	-0.252	0.000	0.00
764	0	0.000	0.000	-0.171	0.000	0.000	-0.171	0.000	0.00
765	0	0.000	0.000	-0.151	0.000	0.000	-0.151	0.000	0.00
785	0	0.000	0.000	-0.001	0.000	0.000	-0.001	0.000	0.00
786	0	0.000	0.000	-0.187	0.000	0.000	-0.187	0.000	0.00
787	0	0.000	0.000	-0.184	0.000	0.000	-0.184	0.000	0.00
788	0	0.000	0.000	-0.164	0.000	0.000	-0.164	0.000	0.00
789	0	0.000	0.000	-0.063	0.000	0.000	-0.063	0.000	0.00
790	0	0.000	0.000	-0.065	0.000	0.000	-0.065	0.000	0.00
791	0	0.000	0.000	-0.157	0.000	0.000	-0.157	0.000	0.00
794	0	0.000	0.000	-0.001	0.000	0.000	-0.001	0.000	0.00
795	0	0.000	0.000	-0.148	0.000	0.000	-0.148	0.000	0.00
796	0	0.000	0.000	-0.113	0.000	0.000	-0.113	0.000	0.00
797	0	0.000	0.000	-0.121	0.000	0.000	-0.121	0.000	0.00
798	0	0.000	0.000	-0.138	0.000	0.000	-0.138	0.000	0.00
800	0	0.000	0.000	-0.008	0.000	0.000	-0.008	0.000	0.00
801	0	0.000	0.000	-0.017	0.000	0.000	-0.017	0.000	0.00
802	0	0.000	0.000	-0.008	0.000	0.000	-0.008	0.000	0.00
803	0	0.000	0.000	-0.012	0.000	0.000	-0.012	0.000	0.00
804	0	0.000	0.000	-0.004	0.000	0.000	-0.004	0.000	0.00
805	0	0.000	0.000	-0.009	0.000	0.000	-0.009	0.000	0.00
806	0	0.000	0.000	-0.151	0.000	0.000	-0.151	0.000	0.00
807	0	0.000	0.000	-0.157	0.000	0.000	-0.157	0.000	0.00
808	0	0.000	0.000	-0.119	0.000	0.000	-0.119	0.000	0.00
837	0	0.000	0.000	-0.188	0.000	0.000	-0.188	0.000	0.00
838	0	0.000	0.000	-0.105	0.000	0.000	-0.105	0.000	0.00
839	0	0.000	0.000	-0.114	0.000	0.000	-0.114	0.000	0.00
840	0	0.000	0.000	-0.199	0.000	0.000	-0.199	0.000	0.00
841	0	0.000	0.000	-0.007	0.000	0.000	-0.007	0.000	0.00
842	0	0.000	0.000	-0.072	0.000	0.000	-0.072	0.000	0.00
843	0	0.000	0.000	-0.085	0.000	0.000	-0.085	0.000	0.00

CARICHI DISTRIBUITI ASTE

CONDIZIONE DI CARICO N.ro: 5

ALIQUOTA SISMICA: 0

IDENT.		NODO INIZIALE			NODO FINALE				
Asta3d N.ro	Riferi mento	Qx t/ml	Qy t/ml	Qz t/ml	Qx t/ml	Qy t/ml	Qz t/ml	Mt t*m/ml	Pretens t
844	0	0.000	0.000	-0.080	0.000	0.000	-0.080	0.000	0.00
845	0	0.000	0.000	-0.071	0.000	0.000	-0.071	0.000	0.00
846	0	0.000	0.000	-0.090	0.000	0.000	-0.090	0.000	0.00
847	0	0.000	0.000	-0.081	0.000	0.000	-0.081	0.000	0.00
848	0	0.000	0.000	-0.001	0.000	0.000	-0.001	0.000	0.00
849	0	0.000	0.000	-0.002	0.000	0.000	-0.002	0.000	0.00
850	0	0.000	0.000	-0.083	0.000	0.000	-0.083	0.000	0.00
869	0	0.000	0.000	-0.014	0.000	0.000	-0.014	0.000	0.00
870	0	0.000	0.000	-0.019	0.000	0.000	-0.019	0.000	0.00
871	0	0.000	0.000	-0.152	0.000	0.000	-0.152	0.000	0.00
872	0	0.000	0.000	-0.065	0.000	0.000	-0.065	0.000	0.00
873	0	0.000	0.000	-0.063	0.000	0.000	-0.063	0.000	0.00
874	0	0.000	0.000	-0.029	0.000	0.000	-0.029	0.000	0.00
875	0	0.000	0.000	-0.005	0.000	0.000	-0.005	0.000	0.00
876	0	0.000	0.000	-0.085	0.000	0.000	-0.085	0.000	0.00
877	0	0.000	0.000	-0.001	0.000	0.000	-0.001	0.000	0.00
878	0	0.000	0.000	-0.062	0.000	0.000	-0.062	0.000	0.00
879	0	0.000	0.000	-0.065	0.000	0.000	-0.065	0.000	0.00
880	0	0.000	0.000	-0.181	0.000	0.000	-0.181	0.000	0.00
881	0	0.000	0.000	-0.166	0.000	0.000	-0.166	0.000	0.00
882	0	0.000	0.000	-0.161	0.000	0.000	-0.161	0.000	0.00
883	0	0.000	0.000	-0.016	0.000	0.000	-0.016	0.000	0.00
885	0	0.000	0.000	-0.029	0.000	0.000	-0.029	0.000	0.00
886	0	0.000	0.000	-0.004	0.000	0.000	-0.004	0.000	0.00
887	0	0.000	0.000	-0.097	0.000	0.000	-0.097	0.000	0.00
888	0	0.000	0.000	-0.094	0.000	0.000	-0.094	0.000	0.00
890	0	0.000	0.000	-0.165	0.000	0.000	-0.165	0.000	0.00

CARICHI SUGLI SHELL

CONDIZIONE DI CARICO N.ro: 1

ALIQUOTA SISMICA: 100

IDENT.		PRESSIONI				CARICHI PERIMETRALI			
Shell N.ro	Riferi mento	P.a t/mq	P.b t/mq	P.c t/mq	P.d t/mq	Q.ab t/ml	Q.bc t/ml	Q.cd t/ml	Q.da t/ml
12	1	0.00	0.00	0.00	0.00	0.00	0.00	0.02	0.00
18	1	0.00	0.00	0.00	0.00	0.00	0.00	0.02	0.00
19	1	0.00	0.00	0.00	0.00	0.00	0.00	0.00	0.02
30	1	0.00	0.00	0.00	0.00	0.00	0.00	0.02	0.00
33	1	0.00	0.00	0.00	0.00	0.00	0.00	0.02	0.00
34	1	0.00	0.00	0.00	0.00	0.00	0.00	0.00	0.02
72	1	0.00	0.00	0.00	0.00	0.00	0.00	-0.36	0.00
73	1	0.00	0.00	0.00	0.00	0.00	0.00	-0.31	0.00
74	1	0.00	0.00	0.00	0.00	0.00	0.00	-0.17	0.00
75	1	0.00	0.00	0.00	0.00	0.00	0.00	-0.50	0.00
76	1	0.00	0.00	0.00	0.00	0.00	0.00	-0.60	0.00
77	1	0.00	0.00	0.00	0.00	0.00	0.00	-0.46	0.00
78	1	0.00	0.00	0.00	0.00	0.00	0.00	-0.57	0.00
79	1	0.00	0.00	0.00	0.00	0.00	0.00	-0.31	0.00
80	1	0.00	0.00	0.00	0.00	0.00	0.00	-0.26	0.00
81	1	0.00	0.00	0.00	0.00	0.00	0.00	-0.27	0.00
82	1	0.00	0.00	0.00	0.00	0.00	0.00	-0.33	0.00
83	1	0.00	0.00	0.00	0.00	0.00	0.00	-0.48	0.00
84	1	0.00	0.00	0.00	0.00	0.00	0.00	-0.04	0.00
87	1	0.00	0.00	0.00	0.00	0.00	0.00	-0.21	0.00

Dott. Ing. Lucio D'Angelo - Piazza del Popolo 24 - 63073 Offida (AP)

SOFTWARE: C.D.S. - Full - Rel.2017 - Lic. Nro: 35224

CARICHI SUGLI SHELL

CONDIZIONE DI CARICO N.ro: 1

ALIQUOTA SISMICA: 100

IDENT.	PRESSIONI					CARICHI PERIMETRALI			
Shell N.ro	Riferimento	P.a t/mq	P.b t/mq	P.c t/mq	P.d t/mq	Q.ab t/ml	Q.bc t/ml	Q.cd t/ml	Q.da t/ml
88	1	0.00	0.00	0.00	0.00	0.00	0.00	-0.21	0.00
89	1	0.00	0.00	0.00	0.00	0.00	0.00	-0.21	0.00
91	1	0.00	0.00	0.00	0.00	0.00	0.00	-0.21	0.00
93	1	0.00	0.00	0.00	0.00	0.00	0.00	-0.60	0.00
94	1	0.00	0.00	0.00	0.00	0.00	0.00	-0.60	0.00
95	1	0.00	0.00	0.00	0.00	0.00	0.00	-0.36	0.00
96	1	0.00	0.00	0.00	0.00	0.00	0.00	-0.01	0.00
97	1	0.00	0.00	0.00	0.00	0.00	0.00	-0.57	0.00
98	1	0.00	0.00	0.00	0.00	0.00	0.00	-0.32	0.00
99	1	0.00	0.00	0.00	0.00	0.00	0.00	-0.45	0.00
100	1	0.00	0.00	0.00	0.00	0.00	0.00	-0.45	0.00
101	1	0.00	0.00	0.00	0.00	0.00	0.00	-0.43	0.00
102	1	0.00	0.00	0.00	0.00	0.00	0.00	-0.45	0.00
103	1	0.00	0.00	0.00	0.00	0.00	0.00	-0.41	0.00
104	1	0.00	0.00	0.00	0.00	0.00	0.00	-0.48	0.00
105	1	0.00	0.00	0.00	0.00	0.00	0.00	-0.42	0.00
106	1	0.00	0.00	0.00	0.00	0.00	0.00	-0.15	0.00
107	1	0.00	0.00	0.00	0.00	0.00	0.00	-0.38	0.00

CARICHI SUGLI SHELL

CONDIZIONE DI CARICO N.ro: 2

ALIQUOTA SISMICA: 100

IDENT.	PRESSIONI					CARICHI PERIMETRALI			
Shell N.ro	Riferimento	P.a t/mq	P.b t/mq	P.c t/mq	P.d t/mq	Q.ab t/ml	Q.bc t/ml	Q.cd t/ml	Q.da t/ml
12	1	0.00	0.00	0.00	0.00	0.00	0.00	0.00	0.00
18	1	0.00	0.00	0.00	0.00	0.00	0.00	0.00	0.00
19	1	0.00	0.00	0.00	0.00	0.00	0.00	0.00	0.00
30	1	0.00	0.00	0.00	0.00	0.00	0.00	0.00	0.00
33	1	0.00	0.00	0.00	0.00	0.00	0.00	0.00	0.00
34	1	0.00	0.00	0.00	0.00	0.00	0.00	0.00	0.00
72	1	0.00	0.00	0.00	0.00	0.00	0.00	-0.07	0.00
73	1	0.00	0.00	0.00	0.00	0.00	0.00	-0.06	0.00
74	1	0.00	0.00	0.00	0.00	0.00	0.00	-0.04	0.00
75	1	0.00	0.00	0.00	0.00	0.00	0.00	-0.10	0.00
76	1	0.00	0.00	0.00	0.00	0.00	0.00	-0.12	0.00
77	1	0.00	0.00	0.00	0.00	0.00	0.00	-0.09	0.00
78	1	0.00	0.00	0.00	0.00	0.00	0.00	-0.11	0.00
79	1	0.00	0.00	0.00	0.00	0.00	0.00	-0.07	0.00
80	1	0.00	0.00	0.00	0.00	0.00	0.00	-0.06	0.00
81	1	0.00	0.00	0.00	0.00	0.00	0.00	-0.06	0.00
82	1	0.00	0.00	0.00	0.00	0.00	0.00	-0.07	0.00
83	1	0.00	0.00	0.00	0.00	0.00	0.00	-0.10	0.00
84	1	0.00	0.00	0.00	0.00	0.00	0.00	-0.02	0.00
87	1	0.00	0.00	0.00	0.00	0.00	0.00	-0.04	0.00
88	1	0.00	0.00	0.00	0.00	0.00	0.00	-0.04	0.00
89	1	0.00	0.00	0.00	0.00	0.00	0.00	-0.04	0.00
91	1	0.00	0.00	0.00	0.00	0.00	0.00	-0.04	0.00
93	1	0.00	0.00	0.00	0.00	0.00	0.00	-0.12	0.00
94	1	0.00	0.00	0.00	0.00	0.00	0.00	-0.12	0.00
95	1	0.00	0.00	0.00	0.00	0.00	0.00	-0.08	0.00

Dott. Ing. Lucio D'Angelo - Piazza del Popolo 24 - 63073 Offida (AP)

SOFTWARE: C.D.S. - Full - Rel.2017 - Lic. Nro: 35224

CARICHI SUGLI SHELL

CONDIZIONE DI CARICO N.ro: 2

ALIQUOTA SISMICA: 100

IDENT.	PRESSIONI					CARICHI PERIMETRALI			
Shell N.ro	Riferimento	P.a t/mq	P.b t/mq	P.c t/mq	P.d t/mq	Q.ab t/ml	Q.bc t/ml	Q.cd t/ml	Q.da t/ml
96	1	0.00	0.00	0.00	0.00	0.00	0.00	-0.01	0.00
97	1	0.00	0.00	0.00	0.00	0.00	0.00	-0.11	0.00
98	1	0.00	0.00	0.00	0.00	0.00	0.00	-0.07	0.00
99	1	0.00	0.00	0.00	0.00	0.00	0.00	-0.09	0.00
100	1	0.00	0.00	0.00	0.00	0.00	0.00	-0.09	0.00
101	1	0.00	0.00	0.00	0.00	0.00	0.00	-0.09	0.00
102	1	0.00	0.00	0.00	0.00	0.00	0.00	-0.09	0.00
103	1	0.00	0.00	0.00	0.00	0.00	0.00	-0.08	0.00
104	1	0.00	0.00	0.00	0.00	0.00	0.00	-0.09	0.00
105	1	0.00	0.00	0.00	0.00	0.00	0.00	-0.09	0.00
106	1	0.00	0.00	0.00	0.00	0.00	0.00	-0.04	0.00
107	1	0.00	0.00	0.00	0.00	0.00	0.00	-0.07	0.00

CARICHI SUGLI SHELL

CONDIZIONE DI CARICO N.ro: 3

ALIQUOTA SISMICA: 60

IDENT.	PRESSIONI					CARICHI PERIMETRALI			
Shell N.ro	Riferimento	P.a t/mq	P.b t/mq	P.c t/mq	P.d t/mq	Q.ab t/ml	Q.bc t/ml	Q.cd t/ml	Q.da t/ml
12	1	0.00	0.00	0.00	0.00	0.00	0.00	-0.01	0.00
18	1	0.00	0.00	0.00	0.00	0.00	0.00	-0.01	0.00
19	1	0.00	0.00	0.00	0.00	0.00	0.00	0.00	-0.01
30	1	0.00	0.00	0.00	0.00	0.00	0.00	-0.01	0.00
33	1	0.00	0.00	0.00	0.00	0.00	0.00	-0.01	0.00
34	1	0.00	0.00	0.00	0.00	0.00	0.00	0.00	-0.01

CARICHI SUGLI SHELL

CONDIZIONE DI CARICO N.ro: 4

ALIQUOTA SISMICA: 0

IDENT.	PRESSIONI					CARICHI PERIMETRALI			
Shell N.ro	Riferimento	P.a t/mq	P.b t/mq	P.c t/mq	P.d t/mq	Q.ab t/ml	Q.bc t/ml	Q.cd t/ml	Q.da t/ml
72	1	0.00	0.00	0.00	0.00	0.00	0.00	-0.15	0.00
73	1	0.00	0.00	0.00	0.00	0.00	0.00	-0.13	0.00
74	1	0.00	0.00	0.00	0.00	0.00	0.00	-0.10	0.00
75	1	0.00	0.00	0.00	0.00	0.00	0.00	-0.22	0.00
76	1	0.00	0.00	0.00	0.00	0.00	0.00	-0.26	0.00
77	1	0.00	0.00	0.00	0.00	0.00	0.00	-0.21	0.00
78	1	0.00	0.00	0.00	0.00	0.00	0.00	-0.25	0.00
79	1	0.00	0.00	0.00	0.00	0.00	0.00	-0.15	0.00
80	1	0.00	0.00	0.00	0.00	0.00	0.00	-0.13	0.00
81	1	0.00	0.00	0.00	0.00	0.00	0.00	-0.13	0.00
82	1	0.00	0.00	0.00	0.00	0.00	0.00	-0.16	0.00
83	1	0.00	0.00	0.00	0.00	0.00	0.00	-0.21	0.00
84	1	0.00	0.00	0.00	0.00	0.00	0.00	-0.04	0.00
87	1	0.00	0.00	0.00	0.00	0.00	0.00	-0.10	0.00
88	1	0.00	0.00	0.00	0.00	0.00	0.00	-0.10	0.00
89	1	0.00	0.00	0.00	0.00	0.00	0.00	-0.10	0.00
91	1	0.00	0.00	0.00	0.00	0.00	0.00	-0.10	0.00
93	1	0.00	0.00	0.00	0.00	0.00	0.00	-0.26	0.00
94	1	0.00	0.00	0.00	0.00	0.00	0.00	-0.26	0.00

CARICHI SUGLI SHELL

CONDIZIONE DI CARICO N.ro: 4

ALIQUOTA SISMICA: 0

IDENT.	PRESSIONI					CARICHI PERIMETRALI			
Shell N.ro	Riferi mento	P.a t/mq	P.b t/mq	P.c t/mq	P.d t/mq	Q.ab t/ml	Q.bc t/ml	Q.cd t/ml	Q.da t/ml
95	1	0.00	0.00	0.00	0.00	0.00	0.00	-0.17	0.00
96	1	0.00	0.00	0.00	0.00	0.00	0.00	-0.03	0.00
97	1	0.00	0.00	0.00	0.00	0.00	0.00	-0.25	0.00
98	1	0.00	0.00	0.00	0.00	0.00	0.00	-0.15	0.00
99	1	0.00	0.00	0.00	0.00	0.00	0.00	-0.20	0.00
100	1	0.00	0.00	0.00	0.00	0.00	0.00	-0.20	0.00
101	1	0.00	0.00	0.00	0.00	0.00	0.00	-0.20	0.00
102	1	0.00	0.00	0.00	0.00	0.00	0.00	-0.20	0.00
103	1	0.00	0.00	0.00	0.00	0.00	0.00	-0.19	0.00
104	1	0.00	0.00	0.00	0.00	0.00	0.00	-0.21	0.00
105	1	0.00	0.00	0.00	0.00	0.00	0.00	-0.19	0.00
106	1	0.00	0.00	0.00	0.00	0.00	0.00	-0.09	0.00
107	1	0.00	0.00	0.00	0.00	0.00	0.00	-0.15	0.00

CARICHI SUGLI SHELL

CONDIZIONE DI CARICO N.ro: 5

ALIQUOTA SISMICA: 0

IDENT.	PRESSIONI					CARICHI PERIMETRALI			
Shell N.ro	Riferi mento	P.a t/mq	P.b t/mq	P.c t/mq	P.d t/mq	Q.ab t/ml	Q.bc t/ml	Q.cd t/ml	Q.da t/ml
72	1	0.00	0.00	0.00	0.00	0.00	0.00	-0.07	0.00
73	1	0.00	0.00	0.00	0.00	0.00	0.00	-0.06	0.00
74	1	0.00	0.00	0.00	0.00	0.00	0.00	-0.04	0.00
75	1	0.00	0.00	0.00	0.00	0.00	0.00	-0.10	0.00
76	1	0.00	0.00	0.00	0.00	0.00	0.00	-0.12	0.00
77	1	0.00	0.00	0.00	0.00	0.00	0.00	-0.09	0.00
78	1	0.00	0.00	0.00	0.00	0.00	0.00	-0.11	0.00
79	1	0.00	0.00	0.00	0.00	0.00	0.00	-0.07	0.00
80	1	0.00	0.00	0.00	0.00	0.00	0.00	-0.06	0.00
81	1	0.00	0.00	0.00	0.00	0.00	0.00	-0.06	0.00
82	1	0.00	0.00	0.00	0.00	0.00	0.00	-0.07	0.00
83	1	0.00	0.00	0.00	0.00	0.00	0.00	-0.10	0.00
84	1	0.00	0.00	0.00	0.00	0.00	0.00	-0.02	0.00
87	1	0.00	0.00	0.00	0.00	0.00	0.00	-0.04	0.00
88	1	0.00	0.00	0.00	0.00	0.00	0.00	-0.04	0.00
89	1	0.00	0.00	0.00	0.00	0.00	0.00	-0.04	0.00
91	1	0.00	0.00	0.00	0.00	0.00	0.00	-0.04	0.00
93	1	0.00	0.00	0.00	0.00	0.00	0.00	-0.12	0.00
94	1	0.00	0.00	0.00	0.00	0.00	0.00	-0.12	0.00
95	1	0.00	0.00	0.00	0.00	0.00	0.00	-0.08	0.00
96	1	0.00	0.00	0.00	0.00	0.00	0.00	-0.01	0.00
97	1	0.00	0.00	0.00	0.00	0.00	0.00	-0.11	0.00
98	1	0.00	0.00	0.00	0.00	0.00	0.00	-0.07	0.00
99	1	0.00	0.00	0.00	0.00	0.00	0.00	-0.09	0.00
100	1	0.00	0.00	0.00	0.00	0.00	0.00	-0.09	0.00
101	1	0.00	0.00	0.00	0.00	0.00	0.00	-0.09	0.00
102	1	0.00	0.00	0.00	0.00	0.00	0.00	-0.09	0.00
103	1	0.00	0.00	0.00	0.00	0.00	0.00	-0.08	0.00
104	1	0.00	0.00	0.00	0.00	0.00	0.00	-0.09	0.00
105	1	0.00	0.00	0.00	0.00	0.00	0.00	-0.09	0.00
106	1	0.00	0.00	0.00	0.00	0.00	0.00	-0.04	0.00

CARICHI SUGLI SHELL

CONDIZIONE DI CARICO N.ro: 5

ALIQUOTA SISMICA: 0

IDENT.	PRESSIONI					CARICHI PERIMETRALI			
Shell N.ro	Riferimento	P.a t/mq	P.b t/mq	P.c t/mq	P.d t/mq	Q.ab t/ml	Q.bc t/ml	Q.cd t/ml	Q.da t/ml
107	1	0.00	0.00	0.00	0.00	0.00	0.00	-0.07	0.00

COMPOSIZIONE SHELL

Macro Nro	Col.1	Col.2	Col.3	Col.4	Col.5	Col.6		Macro Nro	Col.1	Col.2	Col.3	Col.4	Col.5	Col.6
1	1	113						2	2	116	117	118		
	114	115												
3	3							4	4					
	119								122					
	120								123					
	121								124					
5	5	125	126	127				6	6					
									128					
									129					
									130					
20	20							21	21					
	131								134					
	132								135					
	133								136					
22	22							23	23					
	137								140					
	138								141					
	139								142					
24	24							25	25					
	143								146					
	144								147					
	145													
35	35							36	36					
	148								150					
	149								151					
37	37							38	38					
	152								154					
	153								155					
39	39							40	40					
	156								158					
	157								159					
41	41							42	42					
	160								162					
	161								163					

Tabulati di calcolo – Palazzo Magnalbò

COMPOSIZIONE SHELL														
Macro Nro	Col.1	Col.2	Col.3	Col.4	Col.5	Col.6		Macro Nro	Col.1	Col.2	Col.3	Col.4	Col.5	Col.6
51	51 164 165							52	52 166 167					
53	53 168 169							54	54 173	170 174	171 175	172 176		
55	55 178	177 179						72	72	180	181	182		
73	73	183	184	185				74	74	186	187	188		
75	75	189						76	76	190				
77	77	191	192	193	194			78	78	195	196	197		
79	79	198	199	200	201			80	80	202	203	204		
81	81	205	206	207	208	209		82	82	210	211	212		
83	83	213						85	85 217	214 218	215 219	216 220		
86	86 221							90	90	222				
93	93	223	224	225				94	94	226				

Tabulati di calcolo – Palazzo Magnalbò

COMPOSIZIONE SHELL														
Macro Nro	Col.1	Col.2	Col.3	Col.4	Col.5	Col.6		Macro Nro	Col.1	Col.2	Col.3	Col.4	Col.5	Col.6
95	95	227	228	229				97	97	230				
98	98	231	232	233				99	99	234	235	236		
100	100	237	238	239				101	101	240	241	242		
102	102	243	244	245				104	104	246	247	248		
106	106	249						107	107	250	251	252	253	
108	108	259						110	110					
	260	261							262					
111	111							112	112	264				
	263								265	266				

COMPOSIZIONE ASTE																		
Macro Asta Input Numero	Micro-Asta 1			Micro-Asta 2			Micro-Asta 3			Micro-Asta 4			Micro-Asta 5			Micro-Asta 6		
	Asta N.ro	Nodo iniz.	Nodo fin.	Asta N.ro	Nodo iniz.	Nodo fin.	Asta N.ro	Nodo iniz.	Nodo fin.	Asta N.ro	Nodo iniz.	Nodo fin.	Asta N.ro	Nodo iniz.	Nodo fin.	Asta N.ro	Nodo iniz.	Nodo fin.
751	751	406	539	895	539	524												
755	755	409	692	896	692	525												
756	756	422	693	897	693	525												
784	784	524	529	898	529	409												
850	850	560	840	899	840	839	900	839	838	901	838	837	902	837	559			
871	871	558	846	903	846	594												
873	873	612	843	904	843	560												
878	878	600	772	905	772	601												
890	890	594	769	906	769	768	907	768	767	908	767	557						

NODI INTERNI SHELL					
IDENT.		POSIZIONE NODO			ATTRIBUTI
Nodo3d N.ro		Coord.X (m)	Coord.Y (m)	Coord.Z (m)	Piano Sism. Peso (kN*10)

NODI INTERNI SHELL

IDENT. Nodo3d N.ro	POSIZIONE NODO			ATTRIBUTI	
	Coord.X (m)	Coord.Y (m)	Coord.Z (m)	Piano Sism.	Peso (kN*10)
626	3.37	10.46	-0.60	0.00	0.00
627	2.42	10.17	-0.60	0.00	0.00
628	2.51	10.96	-0.60	0.00	0.00
629	1.79	9.94	-0.60	0.00	0.00
630	1.87	10.63	-0.60	0.00	0.00
631	1.95	11.33	-0.60	0.00	0.00
632	2.83	9.72	-0.60	0.00	0.00
633	2.46	9.16	-0.60	0.00	0.00
634	3.21	9.07	-0.60	0.00	0.00
635	3.73	9.62	-0.60	0.00	0.00
636	3.96	8.99	-0.60	0.00	0.00
637	4.23	9.96	-0.60	0.00	0.00
638	4.79	9.60	-0.60	0.00	0.00
639	4.87	10.29	-0.60	0.00	0.00
640	4.32	10.76	-0.60	0.00	0.00
641	4.95	10.99	-0.60	0.00	0.00
642	3.01	11.31	-0.60	0.00	0.00
643	3.91	11.20	-0.60	0.00	0.00
644	2.78	11.94	-0.60	0.00	0.00
645	3.53	11.85	-0.60	0.00	0.00
646	4.28	11.77	-0.60	0.00	0.00
647	3.28	9.67	0.50	0.00	0.50
648	3.28	9.67	1.60	0.00	0.50
649	3.28	9.67	2.70	0.00	0.50
650	2.56	11.36	0.50	0.00	0.47
651	3.46	11.25	0.50	0.00	0.50
652	2.56	11.36	1.60	0.00	0.47
653	3.46	11.25	1.60	0.00	0.50
654	2.56	11.36	2.70	0.00	0.47
655	3.46	11.25	2.70	0.00	0.50
656	2.38	9.77	0.50	0.00	0.47
657	2.47	10.56	0.50	0.00	0.44
658	2.38	9.77	1.60	0.00	0.47
659	2.47	10.56	1.60	0.00	0.44
660	2.38	9.77	2.70	0.00	0.47
661	2.47	10.56	2.70	0.00	0.44
662	3.28	9.67	4.80	0.00	0.45
663	3.28	9.67	5.80	0.00	0.45
664	2.56	11.36	4.80	0.00	0.43
665	3.46	11.25	4.80	0.00	0.45
666	2.56	11.36	5.80	0.00	0.43
667	3.46	11.25	5.80	0.00	0.45
668	2.38	9.77	4.80	0.00	0.43
669	2.47	10.56	4.80	0.00	0.40
670	2.38	9.77	5.80	0.00	0.43
671	2.47	10.56	5.80	0.00	0.40
672	3.28	9.67	7.80	0.00	0.45
673	2.38	9.77	7.80	0.00	0.43
674	3.28	9.67	8.80	0.00	0.45
675	2.38	9.77	8.80	0.00	0.43
676	3.46	11.25	7.80	0.00	0.45

NODI INTERNI SHELL

IDENT. Nodo3d N.ro	POSIZIONE NODO			ATTRIBUTI	
	Coord.X (m)	Coord.Y (m)	Coord.Z (m)	Piano Sism.	Peso (kN*10)
677	3.46	11.25	8.80	0.00	0.45
678	2.56	11.36	7.80	0.00	0.43
679	2.56	11.36	8.80	0.00	0.43
680	2.47	10.56	7.80	0.00	0.40
681	2.47	10.56	8.80	0.00	0.40
682	4.52	11.44	9.80	3.00	0.03
683	4.89	11.39	9.80	3.00	0.07
684	5.27	11.35	9.80	3.00	0.07
685	5.64	11.30	9.80	3.00	0.07
686	6.02	11.26	9.80	3.00	0.17
687	4.76	11.71	9.80	3.00	0.02
688	4.85	11.70	9.80	3.00	0.02
689	4.94	11.69	9.80	3.00	0.02
690	5.22	11.90	9.80	3.00	0.09
691	6.03	11.77	9.80	3.00	0.25
692	6.84	11.64	9.80	3.00	0.86
693	6.04	12.28	9.80	3.00	0.35
694	1.57	7.86	9.80	3.00	0.18
695	2.46	7.88	9.80	3.00	0.24
696	3.35	7.91	9.80	3.00	0.29
697	1.57	7.86	10.35	0.00	0.57
698	2.46	7.88	10.51	0.00	0.63
699	3.35	7.91	10.68	0.00	0.68
700	-0.33	0.82	9.80	3.00	0.09
701	-0.30	3.25	9.80	3.00	0.09
702	-0.33	0.82	10.00	0.00	0.54
703	-0.31	2.03	10.00	0.00	0.54
704	-0.30	3.25	10.00	0.00	0.54
705	0.36	-0.36	9.80	3.00	0.05
706	1.07	-0.31	9.80	3.00	0.05
707	1.78	-0.26	9.80	3.00	0.05
708	0.36	-0.36	10.00	0.00	0.21
709	1.07	-0.31	10.00	0.00	0.21
710	1.78	-0.26	10.00	0.00	0.21
711	3.30	-0.17	9.80	3.00	0.06
712	3.30	-0.17	10.00	0.00	0.55
713	4.81	-0.07	10.00	0.00	0.55
714	15.20	1.81	9.80	3.00	0.09
715	15.41	3.04	9.80	3.00	0.09
716	15.62	4.27	9.80	3.00	0.09
717	15.83	5.50	9.80	3.00	0.09
718	15.20	1.81	10.00	0.00	0.78
719	15.41	3.04	10.00	0.00	0.78
720	15.62	4.27	10.00	0.00	0.78
721	15.83	5.50	10.00	0.00	0.78
722	16.65	9.64	9.80	3.00	0.05
723	16.87	10.33	9.80	3.00	0.05
724	17.10	11.03	9.80	3.00	0.05
725	16.65	9.64	10.00	0.00	0.56
726	16.87	10.33	10.00	0.00	0.56
727	17.10	11.03	10.00	0.00	0.56

NODI INTERNI SHELL

IDENT. Nodo3d N.ro	POSIZIONE NODO			ATTRIBUTI	
	Coord.X (m)	Coord.Y (m)	Coord.Z (m)	Piano Sism.	Peso (kN*10)
728	13.72	16.43	9.80	3.00	0.09
729	14.94	16.23	9.80	3.00	0.09
730	16.16	16.03	9.80	3.00	0.09
731	17.38	15.83	9.80	3.00	0.09
732	13.72	16.43	10.00	0.00	0.55
733	14.94	16.23	10.00	0.00	0.55
734	16.16	16.03	10.00	0.00	0.55
735	17.38	15.83	10.00	0.00	0.55
736	-4.45	20.54	9.80	3.00	0.08
737	-3.38	20.21	9.80	3.00	0.08
738	-2.30	19.89	9.80	3.00	0.08
739	-4.45	20.54	10.00	0.00	0.44
740	-3.38	20.21	10.00	0.00	0.44
741	-2.30	19.89	10.00	0.00	0.44
742	-5.75	19.68	9.80	3.00	0.09
743	-5.96	18.48	9.80	3.00	0.09
744	-6.39	16.09	9.80	3.00	0.09
745	-6.60	14.90	9.80	3.00	0.09
746	-5.75	19.68	10.00	0.00	0.48
747	-5.96	18.48	10.00	0.00	0.48
748	-6.17	17.29	10.00	0.00	0.48
749	-6.39	16.09	10.00	0.00	0.48
750	-6.60	14.90	10.00	0.00	0.48
751	-5.65	13.49	9.80	3.00	0.09
752	-4.49	13.27	9.80	3.00	0.09
753	-3.33	13.05	9.80	3.00	0.09
754	-5.65	13.49	10.00	0.00	0.56
755	-4.49	13.27	10.00	0.00	0.56
756	-3.33	13.05	10.00	0.00	0.56
757	3.53	11.85	9.80	3.00	0.27
758	3.53	11.85	10.42	0.00	0.97
759	7.83	8.29	9.80	3.00	0.05
760	8.74	8.26	9.80	3.00	0.05
761	9.64	8.23	9.80	3.00	0.05
762	6.93	8.32	10.58	0.00	0.12
763	7.83	8.29	10.58	0.00	0.11
764	8.74	8.26	10.58	0.00	0.11
765	9.64	8.23	10.58	0.00	0.11
766	10.55	8.20	10.58	0.00	0.09
767	7.83	8.29	11.35	0.00	1.24
768	8.74	8.26	11.35	0.00	1.24
769	9.64	8.23	11.35	0.00	1.24
770	11.98	8.16	10.58	0.00	0.11
771	12.02	9.41	10.58	0.00	0.15
772	4.27	10.36	10.84	0.00	0.84
773	6.22	0.02	9.80	3.00	0.05
774	6.95	0.07	9.80	3.00	0.05
775	7.67	0.11	9.80	3.00	0.05
776	6.22	0.02	10.00	0.00	0.58
777	6.95	0.07	10.00	0.00	0.58
778	7.67	0.11	10.00	0.00	0.58

NODI INTERNI SHELL

IDENT. Nodo3d N.ro	POSIZIONE NODO			ATTRIBUTI	
	Coord.X (m)	Coord.Y (m)	Coord.Z (m)	Piano Sism.	Peso (kN*10)
779	9.57	0.24	9.80	3.00	0.09
780	9.57	0.24	10.00	0.00	0.93
781	11.66	0.37	9.80	3.00	0.07
782	12.58	0.43	9.80	3.00	0.07
783	13.50	0.49	9.80	3.00	0.07
784	11.66	0.37	10.00	0.00	0.47
785	12.58	0.43	10.00	0.00	0.47
786	13.50	0.49	10.00	0.00	0.47
787	16.23	7.84	9.80	3.00	0.08
788	16.23	7.84	10.00	0.00	0.85
789	18.29	14.65	9.80	3.00	0.08
790	17.97	13.67	9.80	3.00	0.08
791	17.65	12.70	9.80	3.00	0.08
792	18.29	14.65	10.00	0.00	0.48
793	17.97	13.67	10.00	0.00	0.48
794	17.65	12.70	10.00	0.00	0.48
795	9.84	17.07	9.80	3.00	0.07
796	10.73	16.93	9.80	3.00	0.07
797	11.62	16.78	9.80	3.00	0.07
798	9.84	17.07	10.00	0.00	0.56
799	10.73	16.93	10.00	0.00	0.56
800	11.62	16.78	10.00	0.00	0.56
801	7.05	17.53	9.80	3.00	0.05
802	7.69	17.43	9.80	3.00	0.05
803	8.32	17.33	9.80	3.00	0.05
804	7.05	17.53	10.00	0.00	0.40
805	7.69	17.43	10.00	0.00	0.40
806	8.32	17.33	10.00	0.00	0.40
807	4.25	18.00	9.80	3.00	0.05
808	4.97	17.88	9.80	3.00	0.05
809	5.69	17.76	9.80	3.00	0.05
810	4.25	18.00	10.00	0.00	0.43
811	4.97	17.88	10.00	0.00	0.43
812	5.69	17.76	10.00	0.00	0.43
813	1.88	18.62	9.80	3.00	0.08
814	0.85	18.93	9.80	3.00	0.08
815	-0.19	19.24	9.80	3.00	0.08
816	1.88	18.62	10.00	0.00	0.66
817	0.85	18.93	10.00	0.00	0.66
818	-0.19	19.24	10.00	0.00	0.66
819	1.25	12.19	9.80	3.00	0.09
820	0.11	12.41	9.80	3.00	0.09
821	-1.03	12.62	9.80	3.00	0.09
822	1.25	12.19	10.00	0.00	0.75
823	0.11	12.41	10.00	0.00	0.75
824	-1.03	12.62	10.00	0.00	0.75
825	-0.28	6.70	9.80	3.00	0.11
826	-0.28	6.70	10.07	0.00	0.32
827	11.05	10.69	9.80	3.00	0.06
828	10.04	10.73	9.80	3.00	0.06
829	9.03	10.76	9.80	3.00	0.06

Tabulati di calcolo – Palazzo Magnalbò

NODI INTERNI SHELL

IDENT. Nodo3d N.ro	POSIZIONE NODO			ATTRIBUTI	
	Coord.X (m)	Coord.Y (m)	Coord.Z (m)	Piano Sism.	Peso (kN*10)
830	8.02	10.80	9.80	3.00	0.06
831	12.06	10.65	10.58	0.00	0.13
832	11.05	10.69	10.58	0.00	0.12
833	10.04	10.73	10.58	0.00	0.12
834	9.03	10.76	10.58	0.00	0.12
835	8.02	10.80	10.58	0.00	0.12
836	7.01	10.83	10.58	0.00	0.10
837	11.05	10.69	11.35	0.00	1.34
838	10.04	10.73	11.35	0.00	1.34
839	9.03	10.76	11.35	0.00	1.34
840	8.02	10.80	11.35	0.00	1.34
841	6.79	10.16	10.58	0.00	0.08
842	6.57	9.49	10.58	0.00	0.11
843	6.79	10.16	11.35	0.00	0.50
844	11.26	8.18	9.80	3.00	0.04
845	11.26	8.18	10.58	0.00	0.08
846	11.26	8.18	11.35	0.00	0.84

COMBINAZIONI CARICHI - S.L.V. - A1 / S.L.D.

DESCRIZIONI	1	2	3	4	5	6	7	8	9	10	11	12	13	14	15
Peso Strutturale	1.30	1.30	1.00	1.00	1.00	1.00	1.00	1.00	1.00	1.00	1.00	1.00	1.00	1.00	1.00
Perm.Non Strutturale	1.50	1.50	1.00	1.00	1.00	1.00	1.00	1.00	1.00	1.00	1.00	1.00	1.00	1.00	1.00
Var.Amb.affol.	1.50	1.05	0.60	0.60	0.60	0.60	0.60	0.60	0.60	0.60	0.60	0.60	0.60	0.60	0.60
Var.Neve h<=1000	0.75	1.50	0.00	0.00	0.00	0.00	0.00	0.00	0.00	0.00	0.00	0.00	0.00	0.00	0.00
Var.Coperture	1.50	0.00	0.00	0.00	0.00	0.00	0.00	0.00	0.00	0.00	0.00	0.00	0.00	0.00	0.00
Corr. Tors. dir. 0	0.00	0.00	1.00	-1.00	1.00	-1.00	1.00	-1.00	1.00	-1.00	1.00	-1.00	1.00	-1.00	-1.00
Corr. Tors. dir. 90	0.00	0.00	0.30	0.30	-0.30	-0.30	-0.30	0.30	0.30	0.30	0.30	0.30	-0.30	-0.30	-0.30
Sisma direz. grd 0	0.00	0.00	1.00	1.00	1.00	1.00	1.00	1.00	1.00	1.00	-1.00	-1.00	-1.00	-1.00	-1.00
Sisma direz. grd 90	0.00	0.00	0.30	0.30	0.30	0.30	-0.30	-0.30	-0.30	-0.30	0.30	0.30	0.30	0.30	-0.30

COMBINAZIONI CARICHI - S.L.V. - A1 / S.L.D.

DESCRIZIONI	16	17	18	19	20	21	22	23	24	25	26	27	28	29	30
Peso Strutturale	1.00	1.00	1.00	1.00	1.00	1.00	1.00	1.00	1.00	1.00	1.00	1.00	1.00	1.00	1.00
Perm.Non Strutturale	1.00	1.00	1.00	1.00	1.00	1.00	1.00	1.00	1.00	1.00	1.00	1.00	1.00	1.00	1.00
Var.Amb.affol.	0.60	0.60	0.60	0.60	0.60	0.60	0.60	0.60	0.60	0.60	0.60	0.60	0.60	0.60	0.60
Var.Neve h<=1000	0.00	0.00	0.00	0.00	0.00	0.00	0.00	0.00	0.00	0.00	0.00	0.00	0.00	0.00	0.00
Var.Coperture	0.00	0.00	0.00	0.00	0.00	0.00	0.00	0.00	0.00	0.00	0.00	0.00	0.00	0.00	0.00
Corr. Tors. dir. 0	1.00	-1.00	1.00	0.30	-0.30	0.30	-0.30	0.30	-0.30	0.30	-0.30	-0.30	0.30	-0.30	0.30
Corr. Tors. dir. 90	-0.30	0.30	0.30	1.00	1.00	-1.00	-1.00	-1.00	-1.00	1.00	1.00	1.00	1.00	-1.00	-1.00
Sisma direz. grd 0	-1.00	-1.00	-1.00	0.30	0.30	0.30	0.30	0.30	0.30	0.30	0.30	-0.30	-0.30	-0.30	-0.30
Sisma direz. grd 90	-0.30	-0.30	-0.30	1.00	1.00	1.00	1.00	-1.00	-1.00	-1.00	-1.00	1.00	1.00	1.00	1.00

COMBINAZIONI CARICHI - S.L.V. - A1 / S.L.D.

DESCRIZIONI	31	32	33	34
Peso Strutturale	1.00	1.00	1.00	1.00
Perm.Non Strutturale	1.00	1.00	1.00	1.00
Var.Amb.affol.	0.60	0.60	0.60	0.60
Var.Neve h<=1000	0.00	0.00	0.00	0.00
Var.Coperture	0.00	0.00	0.00	0.00
Corr. Tors. dir. 0	-0.30	0.30	-0.30	0.30
Corr. Tors. dir. 90	-1.00	-1.00	1.00	1.00
Sisma direz. grd 0	-0.30	-0.30	-0.30	-0.30
Sisma direz. grd 90	-1.00	-1.00	-1.00	-1.00

COMBINAZIONI RARE - S.L.E.

DESCRIZIONI	1	2
Peso Strutturale	1.00	1.00
Perm.Non Strutturale	1.00	1.00
Var.Amb.affol.	1.00	0.70
Var.Neve h<=1000	0.50	1.00
Var.Coperture	1.00	0.00
Corr. Tors. dir. 0	0.00	0.00
Corr. Tors. dir. 90	0.00	0.00
Sisma direz. grd 0	0.00	0.00
Sisma direz. grd 90	0.00	0.00

COMBINAZIONI FREQUENTI - S.L.E.

Tabulati di calcolo – Palazzo Magnalbò

DESCRIZIONI	1	2
Peso Strutturale	1.00	1.00
Perm.Non Strutturale	1.00	1.00
Var.Amb.affol.	0.70	0.60
Var.Neve h<=1000	0.00	0.20
Var.Coperture	0.00	0.00
Corr. Tors. dir. 0	0.00	0.00
Corr. Tors. dir. 90	0.00	0.00
Sisma direz. grd 0	0.00	0.00
Sisma direz. grd 90	0.00	0.00

COMBINAZIONI PERMANENTI - S.L.E.

DESCRIZIONI	1
Peso Strutturale	1.00
Perm.Non Strutturale	1.00
Var.Amb.affol.	0.60
Var.Neve h<=1000	0.00
Var.Coperture	0.00
Corr. Tors. dir. 0	0.00
Corr. Tors. dir. 90	0.00
Sisma direz. grd 0	0.00
Sisma direz. grd 90	0.00

DATI ARMATURE ASTE3D - SEZIONE RETTANGOLARE

ASTE IN C.A. CON SEZIONE RETTANGOLARE

IDENTIFICATIVO		ARMATURE DI INPUT											AGGIUNTIVE		RINFORZO IN FRP						
Asta Num.	Concio	FiSp mm	NFer Sup.	FiSu mm	NFer Inf.	FiIn mm	NFer Par.	FiPa mm	FiSt mm	PsSt cm	Brac DirX	Brac DirY	AfSup cmq	AfInf cmq	Mat. N.ro	Lung cm	Rag. mm	Num Avv	Nod Con	Condiz. Ambient	SpSol cm
4	Iniz.	14	1	14	1	14	0	10	8	30	2	2	0.0	0.0							
	Mezz.	14	1	14	1	14	0	10	8	30	2	2	0.0	0.0							
	Finale	14	1	14	1	14	0	10	8	30	2	2	0.0	0.0							
5	Iniz.	14	1	14	1	14	0	10	8	30	2	2	0.0	0.0							
	Mezz.	14	1	14	1	14	0	10	8	30	2	2	0.0	0.0							
	Finale	14	1	14	1	14	0	10	8	30	2	2	0.0	0.0							
6	Iniz.	14	1	14	1	14	0	10	8	30	2	2	0.0	0.0							
	Mezz.	14	1	14	1	14	0	10	8	30	2	2	0.0	0.0							
	Finale	14	1	14	1	14	0	10	8	30	2	2	0.0	0.0							
7	Iniz.	14	1	14	1	14	0	10	8	30	2	2	0.0	0.0							
	Mezz.	14	1	14	1	14	0	10	8	30	2	2	0.0	0.0							
	Finale	14	1	14	1	14	0	10	8	30	2	2	0.0	0.0							
8	Iniz.	14	1	14	1	14	0	10	8	30	2	2	0.0	0.0							
	Mezz.	14	1	14	1	14	0	10	8	30	2	2	0.0	0.0							
	Finale	14	1	14	1	14	0	10	8	30	2	2	0.0	0.0							
9	Iniz.	14	1	14	1	14	0	10	8	30	2	2	0.0	0.0							
	Mezz.	14	1	14	1	14	0	10	8	30	2	2	0.0	0.0							
	Finale	14	1	14	1	14	0	10	8	30	2	2	0.0	0.0							
10	Iniz.	14	1	14	1	14	0	10	8	30	2	2	0.0	0.0							
	Mezz.	14	1	14	1	14	0	10	8	30	2	2	0.0	0.0							
	Finale	14	1	14	1	14	0	10	8	30	2	2	0.0	0.0							
11	Iniz.	14	1	14	1	14	0	10	8	30	2	2	0.0	0.0							
	Mezz.	14	1	14	1	14	0	10	8	30	2	2	0.0	0.0							
	Finale	14	1	14	1	14	0	10	8	30	2	2	0.0	0.0							
12	Iniz.	14	1	14	1	14	0	10	8	30	2	2	0.0	0.0							
	Mezz.	14	1	14	1	14	0	10	8	30	2	2	0.0	0.0							
	Finale	14	1	14	1	14	0	10	8	30	2	2	0.0	0.0							
13	Iniz.	14	1	14	1	14	0	10	8	30	2	2	0.0	0.0							
	Mezz.	14	1	14	1	14	0	10	8	30	2	2	0.0	0.0							
	Finale	14	1	14	1	14	0	10	8	30	2	2	0.0	0.0							
14	Iniz.	14	1	14	1	14	0	10	8	30	2	2	0.0	0.0							
	Mezz.	14	1	14	1	14	0	10	8	30	2	2	0.0	0.0							
	Finale	14	1	14	1	14	0	10	8	30	2	2	0.0	0.0							
15	Iniz.	14	1	14	1	14	0	10	8	30	2	2	0.0	0.0							
	Mezz.	14	1	14	1	14	0	10	8	30	2	2	0.0	0.0							
	Finale	14	1	14	1	14	0	10	8	30	2	2	0.0	0.0							
16	Iniz.	14	1	14	1	14	0	10	8	30	2	2	0.0	0.0							
	Mezz.	14	1	14	1	14	0	10	8	30	2	2	0.0	0.0							
	Finale	14	1	14	1	14	0	10	8	30	2	2	0.0	0.0							

Tabulati di calcolo – Palazzo Magnalbò

DATI ARMATURE ASTE3D - SEZIONE RETTANGOLARE																					
ASTE IN C.A. CON SEZIONE RETTANGOLARE																					
IDENTIFICATIVO		ARMATURE DI INPUT											AGGIUNTIVE		RINFORZO IN FRP						
Asta Num.	Concio	FiSp mm	NFer Sup.	FiSu mm	NFer Inf.	FiIn mm	NFer Par.	FiPa mm	FiSt mm	PsSt cm	Brac DirX	Brac DirY	AfSup cmq	AfInf cmq	Mat. N.ro	Lung cm	Rag. mm	Num Avv	Nod Con	Condiz. Ambient	SpSol cm
18	Iniz.	14	1	14	1	14	0	10	8	30	2	2	0.0	0.0							
	Mezz.	14	1	14	1	14	0	10	8	30	2	2	0.0	0.0							
	Finale	14	1	14	1	14	0	10	8	30	2	2	0.0	0.0							
19	Iniz.	14	1	14	1	14	0	10	8	30	2	2	0.0	0.0							
	Mezz.	14	1	14	1	14	0	10	8	30	2	2	0.0	0.0							
	Finale	14	1	14	1	14	0	10	8	30	2	2	0.0	0.0							
20	Iniz.	14	1	14	1	14	0	10	8	30	2	2	0.0	0.0							
	Mezz.	14	1	14	1	14	0	10	8	30	2	2	0.0	0.0							
	Finale	14	1	14	1	14	0	10	8	30	2	2	0.0	0.0							
21	Iniz.	14	1	14	1	14	0	10	8	30	2	2	0.0	0.0							
	Mezz.	14	1	14	1	14	0	10	8	30	2	2	0.0	0.0							
	Finale	14	1	14	1	14	0	10	8	30	2	2	0.0	0.0							
22	Iniz.	14	1	14	1	14	0	10	8	30	2	2	0.0	0.0							
	Mezz.	14	1	14	1	14	0	10	8	30	2	2	0.0	0.0							
	Finale	14	1	14	1	14	0	10	8	30	2	2	0.0	0.0							
23	Iniz.	14	1	14	1	14	0	10	8	30	2	2	0.0	0.0							
	Mezz.	14	1	14	1	14	0	10	8	30	2	2	0.0	0.0							
	Finale	14	1	14	1	14	0	10	8	30	2	2	0.0	0.0							
24	Iniz.	14	1	14	1	14	0	10	8	30	2	2	0.0	0.0							
	Mezz.	14	1	14	1	14	0	10	8	30	2	2	0.0	0.0							
	Finale	14	1	14	1	14	0	10	8	30	2	2	0.0	0.0							
25	Iniz.	14	1	14	1	14	0	10	8	30	2	2	0.0	0.0							
	Mezz.	14	1	14	1	14	0	10	8	30	2	2	0.0	0.0							
	Finale	14	1	14	1	14	0	10	8	30	2	2	0.0	0.0							
26	Iniz.	14	1	14	1	14	0	10	8	30	2	2	0.0	0.0							
	Mezz.	14	1	14	1	14	0	10	8	30	2	2	0.0	0.0							
	Finale	14	1	14	1	14	0	10	8	30	2	2	0.0	0.0							
27	Iniz.	14	1	14	1	14	0	10	8	30	2	2	0.0	0.0							
	Mezz.	14	1	14	1	14	0	10	8	30	2	2	0.0	0.0							
	Finale	14	1	14	1	14	0	10	8	30	2	2	0.0	0.0							
28	Iniz.	14	1	14	1	14	0	10	8	30	2	2	0.0	0.0							
	Mezz.	14	1	14	1	14	0	10	8	30	2	2	0.0	0.0							
	Finale	14	1	14	1	14	0	10	8	30	2	2	0.0	0.0							
29	Iniz.	14	1	14	1	14	0	10	8	30	2	2	0.0	0.0							
	Mezz.	14	1	14	1	14	0	10	8	30	2	2	0.0	0.0							
	Finale	14	1	14	1	14	0	10	8	30	2	2	0.0	0.0							
30	Iniz.	14	1	14	1	14	0	10	8	30	2	2	0.0	0.0							
	Mezz.	14	1	14	1	14	0	10	8	30	2	2	0.0	0.0							
	Finale	14	1	14	1	14	0	10	8	30	2	2	0.0	0.0							
31	Iniz.	14	1	14	1	14	0	10	8	30	2	2	0.0	0.0							
	Mezz.	14	1	14	1	14	0	10	8	30	2	2	0.0	0.0							
	Finale	14	1	14	1	14	0	10	8	30	2	2	0.0	0.0							
32	Iniz.	14	1	14	1	14	0	10	8	30	2	2	0.0	0.0							
	Mezz.	14	1	14	1	14	0	10	8	30	2	2	0.0	0.0							
	Finale	14	1	14	1	14	0	10	8	30	2	2	0.0	0.0							
33	Iniz.	14	1	14	1	14	0	10	8	30	2	2	0.0	0.0							
	Mezz.	14	1	14	1	14	0	10	8	30	2	2	0.0	0.0							
	Finale	14	1	14	1	14	0	10	8	30	2	2	0.0	0.0							
34	Iniz.	14	1	14	1	14	0	10	8	30	2	2	0.0	0.0							
	Mezz.	14	1	14	1	14	0	10	8	30	2	2	0.0	0.0							
	Finale	14	1	14	1	14	0	10	8	30	2	2	0.0	0.0							
35	Iniz.	14	1	14	1	14	0	10	8	30	2	2	0.0	0.0							
	Mezz.	14	1	14	1	14	0	10	8	30	2	2	0.0	0.0							
	Finale	14	1	14	1	14	0	10	8	30	2	2	0.0	0.0							

Dott. Ing. Lucio D'Angelo - Piazza del Popolo 24 - 63073 Offida (AP)

SOFTWARE: C.D.S. - Full - Rel.2017 - Lic. Nro: 35224

Tabulati di calcolo – Palazzo Magnalbò

DATI ARMATURE ASTE3D - SEZIONE RETTANGOLARE																					
ASTE IN C.A. CON SEZIONE RETTANGOLARE																					
IDENTIFICATIVO		ARMATURE DI INPUT											AGGIUNTIVE		RINFORZO IN FRP						
Asta Num.	Concio	FiSp mm	NFer Sup.	FiSu mm	NFer Inf.	Filn mm	NFer Par.	FiPa mm	FiSt mm	PsSt cm	Brac DirX	Brac DirY	AfSup cmq	AfInf cmq	Mat. N.ro	Lung cm	Rag. mm	Num Avv	Nod Con	Condiz. Ambient	SpSol cm
36	Iniz.	14	1	14	1	14	0	10	8	30	2	2	0.0	0.0							
	Mezz.	14	1	14	1	14	0	10	8	30	2	2	0.0	0.0							
	Finale	14	1	14	1	14	0	10	8	30	2	2	0.0	0.0							
37	Iniz.	14	1	14	1	14	0	10	8	30	2	2	0.0	0.0							
	Mezz.	14	1	14	1	14	0	10	8	30	2	2	0.0	0.0							
	Finale	14	1	14	1	14	0	10	8	30	2	2	0.0	0.0							
116	Iniz.	16	1	16	1	16	2	12	6	15	2	2	0.0	0.0							
	Mezz.	16	1	16	1	16	2	12	6	15	2	2	0.0	0.0							
	Finale	16	1	16	1	16	2	12	6	15	2	2	0.0	0.0							
117	Iniz.	16	1	16	1	16	2	12	6	15	2	2	0.0	0.0							
	Mezz.	16	1	16	1	16	2	12	6	15	2	2	0.0	0.0							
	Finale	16	1	16	1	16	2	12	6	15	2	2	0.0	0.0							
118	Iniz.	16	1	16	1	16	2	12	6	15	2	2	0.0	0.0							
	Mezz.	16	1	16	1	16	2	12	6	15	2	2	0.0	0.0							
	Finale	16	1	16	1	16	2	12	6	15	2	2	0.0	0.0							
119	Iniz.	16	1	16	1	16	2	12	6	15	2	2	0.0	0.0							
	Mezz.	16	1	16	1	16	2	12	6	15	2	2	0.0	0.0							
	Finale	16	1	16	1	16	2	12	6	15	2	2	0.0	0.0							
120	Iniz.	16	1	16	1	16	2	12	6	15	2	2	0.0	0.0							
	Mezz.	16	1	16	1	16	2	12	6	15	2	2	0.0	0.0							
	Finale	16	1	16	1	16	2	12	6	15	2	2	0.0	0.0							
121	Iniz.	16	1	16	1	16	2	12	6	15	2	2	0.0	0.0							
	Mezz.	16	1	16	1	16	2	12	6	15	2	2	0.0	0.0							
	Finale	16	1	16	1	16	2	12	6	15	2	2	0.0	0.0							
122	Iniz.	16	1	16	1	16	2	12	6	15	2	2	0.0	0.0							
	Mezz.	16	1	16	1	16	2	12	6	15	2	2	0.0	0.0							
	Finale	16	1	16	1	16	2	12	6	15	2	2	0.0	0.0							
123	Iniz.	16	1	16	1	16	2	12	6	15	2	2	0.0	0.0							
	Mezz.	16	1	16	1	16	2	12	6	15	2	2	0.0	0.0							
	Finale	16	1	16	1	16	2	12	6	15	2	2	0.0	0.0							
124	Iniz.	16	1	16	1	16	2	12	6	15	2	2	0.0	0.0							
	Mezz.	16	1	16	1	16	2	12	6	15	2	2	0.0	0.0							
	Finale	16	1	16	1	16	2	12	6	15	2	2	0.0	0.0							
125	Iniz.	16	1	16	1	16	2	12	6	15	2	2	0.0	0.0							
	Mezz.	16	1	16	1	16	2	12	6	15	2	2	0.0	0.0							
	Finale	16	1	16	1	16	2	12	6	15	2	2	0.0	0.0							
131	Iniz.	16	1	16	1	16	2	12	6	15	2	2	0.0	0.0							
	Mezz.	16	1	16	1	16	2	12	6	15	2	2	0.0	0.0							
	Finale	16	1	16	1	16	2	12	6	15	2	2	0.0	0.0							
132	Iniz.	16	1	16	1	16	2	12	6	15	2	2	0.0	0.0							
	Mezz.	16	1	16	1	16	2	12	6	15	2	2	0.0	0.0							
	Finale	16	1	16	1	16	2	12	6	15	2	2	0.0	0.0							
133	Iniz.	16	1	16	1	16	2	12	6	15	2	2	0.0	0.0							
	Mezz.	16	1	16	1	16	2	12	6	15	2	2	0.0	0.0							
	Finale	16	1	16	1	16	2	12	6	15	2	2	0.0	0.0							
134	Iniz.	16	1	16	1	16	2	12	6	15	2	2	0.0	0.0							
	Mezz.	16	1	16	1	16	2	12	6	15	2	2	0.0	0.0							
	Finale	16	1	16	1	16	2	12	6	15	2	2	0.0	0.0							
135	Iniz.	16	1	16	1	16	2	12	6	15	2	2	0.0	0.0							
	Mezz.	16	1	16	1	16	2	12	6	15	2	2	0.0	0.0							
	Finale	16	1	16	1	16	2	12	6	15	2	2	0.0	0.0							
136	Iniz.	16	1	16	1	16	2	12	6	15	2	2	0.0	0.0							
	Mezz.	16	1	16	1	16	2	12	6	15	2	2	0.0	0.0							
	Finale	16	1	16	1	16	2	12	6	15	2	2	0.0	0.0							
137	Iniz.	16	1	16	1	16	2	12	6	15	2	2	0.0	0.0							

Dott. Ing. Lucio D'Angelo - Piazza del Popolo 24 - 63073 Offida (AP)

SOFTWARE: C.D.S. - Full - Rel.2017 - Lic. Nro: 35224

Tabulati di calcolo – Palazzo Magnalbò

DATI ARMATURE ASTE3D - SEZIONE RETTANGOLARE																					
ASTE IN C.A. CON SEZIONE RETTANGOLARE																					
IDENTIFICATIVO		ARMATURE DI INPUT											AGGIUNTIVE		RINFORZO IN FRP						
Asta Num.	Concio	FiSp mm	NFer Sup.	FiSu mm	NFer Inf.	FiIn mm	NFer Par.	FiPa mm	FiSt mm	PsSt cm	Brac DirX	Brac DirY	AfSup cmq	AfInf cmq	Mat. N.ro	Lung cm	Rag. mm	Num Avv	Nod Con	Condiz. Ambient	SpSol cm
	Mezz. Finale	16	1	16	1	16	2	12	6	15	2	2	0.0	0.0							
138	Iniz. Mezz. Finale	16	1	16	1	16	2	12	6	15	2	2	0.0	0.0							
		16	1	16	1	16	2	12	6	15	2	2	0.0	0.0							
139	Iniz. Mezz. Finale	16	1	16	1	16	2	12	6	15	2	2	0.0	0.0							
		16	1	16	1	16	2	12	6	15	2	2	0.0	0.0							
140	Iniz. Mezz. Finale	16	1	16	1	16	2	12	6	15	2	2	0.0	0.0							
		16	1	16	1	16	2	12	6	15	2	2	0.0	0.0							
141	Iniz. Mezz. Finale	16	1	16	1	16	2	12	6	15	2	2	0.0	0.0							
		16	1	16	1	16	2	12	6	15	2	2	0.0	0.0							
142	Iniz. Mezz. Finale	16	1	16	1	16	2	12	6	15	2	2	0.0	0.0							
		16	1	16	1	16	2	12	6	15	2	2	0.0	0.0							
337	Iniz. Mezz. Finale	14	2	14	2	14	0	10	8	15	2	2	0.0	0.0							
		14	2	14	2	14	0	10	8	15	2	2	0.0	0.0							
		14	6	14	9	14	0	10	8	15	2	2	0.0	0.0							
338	Iniz. Mezz. Finale	14	6	14	9	14	0	10	8	15	2	2	0.0	0.0							
		14	2	14	5	14	0	10	8	15	2	2	0.0	0.0							
		14	5	14	5	14	0	10	8	15	2	2	0.0	0.0							
339	Iniz. Mezz. Finale	14	13	14	4	14	0	10	8	15	2	2	0.0	0.0							
		14	3	14	8	14	0	10	8	15	2	2	0.0	0.0							
		14	19	14	14	14	0	10	8	15	2	2	0.0	0.0							
340	Iniz. Mezz. Finale	14	19	14	14	14	0	10	8	15	2	2	0.0	0.0							
		14	3	14	7	14	0	10	8	15	2	2	0.0	0.0							
		14	16	14	12	14	0	10	8	15	2	2	0.0	0.0							
341	Iniz. Mezz. Finale	14	12	14	2	14	0	10	8	15	2	2	0.0	0.0							
		14	2	14	6	14	0	10	8	15	2	2	0.0	0.0							
		14	16	14	12	14	0	10	8	15	2	2	0.0	0.0							
342	Iniz. Mezz. Finale	14	1	14	1	14	0	10	6	20	2	2	0.0	0.0							
		14	1	14	1	14	0	10	8	15	2	2	0.0	0.0							
		14	1	14	1	14	0	10	8	15	2	2	0.0	0.0							
343	Iniz. Mezz. Finale	14	1	14	1	14	0	10	6	20	2	2	0.0	0.0							
		14	1	14	1	14	0	10	8	15	2	2	0.0	0.0							
		14	1	14	1	14	0	10	8	15	2	2	0.0	0.0							
344	Iniz. Mezz. Finale	16	2	16	2	16	0	10	6	20	2	2	0.0	0.0							
		16	2	16	2	16	0	10	6	20	2	2	0.0	0.0							
		16	2	16	2	16	0	10	6	20	2	2	0.0	0.0							
345	Iniz. Mezz. Finale	14	6	14	4	14	0	10	8	15	2	2	0.0	0.0							
		14	4	14	4	14	0	10	8	15	2	2	0.0	0.0							
		14	9	14	9	14	0	10	8	15	2	2	0.0	0.0							
346	Iniz. Mezz. Finale	14	5	14	4	14	0	10	8	15	2	2	0.0	0.0							
		14	3	14	4	14	0	10	8	15	2	2	0.0	0.0							
		14	8	14	9	14	0	10	8	15	2	2	0.0	0.0							
347	Iniz. Mezz. Finale	14	9	14	9	14	0	10	8	15	2	2	0.0	0.0							
		14	3	14	3	14	0	10	8	15	2	2	0.0	0.0							
		14	8	14	9	14	0	10	8	15	2	2	0.0	0.0							
348	Iniz. Mezz. Finale	14	1	14	1	14	0	10	6	20	2	2	0.0	0.0							
		14	1	14	1	14	0	10	8	15	2	2	0.0	0.0							
		14	1	14	1	14	0	10	8	15	2	2	0.0	0.0							
349	Iniz. Mezz.	14	2	14	2	14	0	10	8	15	2	2	0.0	0.0							
		14	6	14	6	14	0	10	8	15	2	2	0.0	0.0							

Dott. Ing. Lucio D'Angelo - Piazza del Popolo 24 - 63073 Offida (AP)

SOFTWARE: C.D.S. - Full - Rel.2017 - Lic. Nro: 35224

Tabulati di calcolo – Palazzo Magnalbò

DATI ARMATURE ASTE3D - SEZIONE RETTANGOLARE																					
ASTE IN C.A. CON SEZIONE RETTANGOLARE																					
IDENTIFICATIVO		ARMATURE DI INPUT											AGGIUNTIVE		RINFORZO IN FRP						
Asta Num.	Concio	FiSp mm	NFer Sup.	FiSu mm	NFer Inf.	FiIn mm	NFer Par.	FiPa mm	FiSt mm	PsSt cm	Brac DirX	Brac DirY	AfSup cmq	AfInf cmq	Mat. N.ro	Lung cm	Rag. mm	Num Avv	Nod Con	Condiz. Ambient	SpSol cm
	Finale	14	6	14	6	14	0	10	8	15	2	2	0.0	0.0							
350	Iniz.	14	5	14	2	14	0	10	8	15	2	2	0.0	0.0							
	Mezz.	14	2	14	2	14	0	10	8	15	2	2	0.0	0.0							
	Finale	14	6	14	6	14	0	10	8	15	2	2	0.0	0.0							
351	Iniz.	14	14	14	11	14	0	10	8	15	2	2	0.0	0.0							
	Mezz.	14	14	14	11	14	0	10	8	15	2	2	0.0	0.0							
	Finale	14	14	14	11	14	0	10	8	15	2	2	0.0	0.0							
352	Iniz.	14	6	14	8	14	0	10	8	15	2	2	0.0	0.0							
	Mezz.	14	6	14	8	14	0	10	8	15	2	2	0.0	0.0							
	Finale	14	10	14	8	14	0	10	8	15	2	2	0.0	0.0							
353	Iniz.	14	2	14	2	14	0	10	6	15	2	2	0.0	0.0							
	Mezz.	14	2	14	2	14	0	10	6	15	2	2	0.0	0.0							
	Finale	14	2	14	2	14	0	10	6	15	2	2	0.0	0.0							
355	Iniz.	14	5	14	2	14	0	10	8	15	2	2	0.0	0.0							
	Mezz.	14	2	14	2	14	0	10	8	15	2	2	0.0	0.0							
	Finale	14	6	14	6	14	0	10	8	15	2	2	0.0	0.0							
356	Iniz.	14	2	14	2	14	0	10	8	15	2	2	0.0	0.0							
	Mezz.	14	2	14	2	14	0	10	8	15	2	2	0.0	0.0							
	Finale	14	6	14	6	14	0	10	8	15	2	2	0.0	0.0							
357	Iniz.	14	6	14	6	14	0	10	8	15	2	2	0.0	0.0							
	Mezz.	14	6	14	6	14	0	10	8	15	2	2	0.0	0.0							
	Finale	14	6	14	6	14	0	10	8	15	2	2	0.0	0.0							
358	Iniz.	14	6	14	6	14	0	10	8	15	2	2	0.0	0.0							
	Mezz.	14	2	14	2	14	0	10	8	15	2	2	0.0	0.0							
	Finale	14	6	14	6	14	0	10	8	15	2	2	0.0	0.0							
359	Iniz.	14	1	14	1	14	0	10	6	20	2	2	0.0	0.0							
	Mezz.	14	1	14	1	14	0	10	8	15	2	2	0.0	0.0							
	Finale	14	1	14	1	14	0	10	8	15	2	2	0.0	0.0							
360	Iniz.	14	1	14	1	14	0	10	6	20	2	2	0.0	0.0							
	Mezz.	14	1	14	1	14	0	10	8	15	2	2	0.0	0.0							
	Finale	14	1	14	1	14	0	10	8	15	2	2	0.0	0.0							
361	Iniz.	14	1	14	1	14	0	10	6	20	2	2	0.0	0.0							
	Mezz.	14	1	14	1	14	0	10	8	15	2	2	0.0	0.0							
	Finale	14	1	14	1	14	0	10	8	15	2	2	0.0	0.0							
362	Iniz.	14	1	14	1	14	0	10	6	20	2	2	0.0	0.0							
	Mezz.	14	1	14	1	14	0	10	8	15	2	2	0.0	0.0							
	Finale	14	1	14	1	14	0	10	8	15	2	2	0.0	0.0							
363	Iniz.	14	9	14	6	14	0	10	8	15	2	2	12.0	12.0							
	Mezz.	14	3	14	12	14	0	10	8	15	2	2	0.0	0.0							
	Finale	14	11	14	9	14	0	10	8	15	2	2	0.0	0.0							
364	Iniz.	14	5	14	5	14	0	10	8	15	2	2	0.0	0.0							
	Mezz.	14	5	14	5	14	0	10	8	15	2	2	0.0	0.0							
	Finale	14	2	14	2	14	0	10	8	15	2	2	0.0	0.0							
365	Iniz.	14	6	14	3	14	0	10	8	15	2	2	0.0	0.0							
	Mezz.	14	2	14	3	14	0	10	8	15	2	2	0.0	0.0							
	Finale	14	14	14	11	14	0	10	8	15	2	2	0.0	0.0							
366	Iniz.	14	4	14	2	14	0	10	8	15	2	2	0.0	0.0							
	Mezz.	14	2	14	2	14	0	10	8	15	2	2	0.0	0.0							
	Finale	14	4	14	2	14	0	10	8	15	2	2	0.0	0.0							
367	Iniz.	14	5	14	5	14	0	10	8	15	2	2	0.0	0.0							
	Mezz.	14	1	14	1	14	0	10	8	15	2	2	0.0	0.0							
	Finale	14	11	14	9	14	0	10	8	15	2	2	0.0	0.0							
368	Iniz.	14	5	14	2	14	0	10	8	15	2	2	0.0	0.0							
	Mezz.	14	5	14	2	14	0	10	8	15	2	2	0.0	0.0							
	Finale	14	5	14	2	14	0	10	8	15	2	2	0.0	0.0							

Tabulati di calcolo – Palazzo Magnalbò

DATI ARMATURE ASTE3D - SEZIONE RETTANGOLARE																					
ASTE IN C.A. CON SEZIONE RETTANGOLARE																					
IDENTIFICATIVO		ARMATURE DI INPUT											AGGIUNTIVE		RINFORZO IN FRP						
Asta Num.	Concio	FiSp mm	NFer Sup.	FiSu mm	NFer Inf.	FiIn mm	NFer Par.	FiPa mm	FiSt mm	PsSt cm	Brac DirX	Brac DirY	AfSup cmq	AfInf cmq	Mat. N.ro	Lung cm	Rag. mm	Num Avv	Nod Con	Condiz. Ambient	SpSol cm
369	Iniz.	14	6	14	6	14	0	10	8	15	2	2	0.0	0.0							
	Mezz.	14	6	14	6	14	0	10	8	15	2	2	0.0	0.0							
	Finale	14	2	14	2	14	0	10	8	15	2	2	0.0	0.0							
370	Iniz.	14	6	14	3	14	0	10	8	15	2	2	0.0	0.0							
	Mezz.	14	2	14	2	14	0	10	8	15	2	2	0.0	0.0							
	Finale	14	10	14	11	14	0	10	8	15	2	2	0.0	0.0							
371	Iniz.	14	10	14	11	14	0	10	8	15	2	2	0.0	0.0							
	Mezz.	14	4	14	7	14	0	10	8	15	2	2	0.0	0.0							
	Finale	14	6	14	5	14	0	10	8	15	2	2	10.0	0.0							
372	Iniz.	14	6	14	4	14	0	10	8	15	2	2	0.0	0.0							
	Mezz.	14	4	14	4	14	0	10	8	15	2	2	0.0	0.0							
	Finale	14	6	14	4	14	0	10	8	15	2	2	0.0	0.0							
373	Iniz.	14	6	14	4	14	0	10	8	15	2	2	0.0	0.0							
	Mezz.	14	4	14	4	14	0	10	8	15	2	2	0.0	0.0							
	Finale	14	6	14	4	14	0	10	8	15	2	2	0.0	0.0							
375	Iniz.	14	2	14	2	14	0	10	8	15	2	2	0.0	0.0							
	Mezz.	14	5	14	2	14	0	10	8	15	2	2	0.0	0.0							
	Finale	14	5	14	2	14	0	10	8	15	2	2	0.0	0.0							
376	Iniz.	14	4	14	3	14	0	10	8	20	2	2	0.0	0.0							
	Mezz.	14	4	14	3	14	0	10	8	20	2	2	0.0	0.0							
	Finale	14	4	14	3	14	0	10	8	20	2	2	0.0	0.0							
377	Iniz.	14	4	14	3	14	0	10	8	20	2	2	0.0	0.0							
	Mezz.	14	4	14	3	14	0	10	8	20	2	2	0.0	0.0							
	Finale	14	4	14	3	14	0	10	8	20	2	2	0.0	0.0							
397	Iniz.	16	1	16	1	16	2	12	6	15	2	2	0.0	0.0							
	Mezz.	16	1	16	1	16	2	12	6	15	2	2	0.0	0.0							
	Finale	16	1	16	1	16	2	12	6	15	2	2	0.0	0.0							
398	Iniz.	16	1	16	1	16	2	12	6	15	2	2	0.0	0.0							
	Mezz.	16	1	16	1	16	2	12	6	15	2	2	0.0	0.0							
	Finale	16	1	16	1	16	2	12	6	15	2	2	0.0	0.0							
399	Iniz.	16	1	16	1	16	2	12	6	15	2	2	0.0	0.0							
	Mezz.	16	1	16	1	16	2	12	6	15	2	2	0.0	0.0							
	Finale	16	1	16	1	16	2	12	6	15	2	2	0.0	0.0							
400	Iniz.	16	1	16	1	16	2	12	6	15	2	2	0.0	0.0							
	Mezz.	16	1	16	1	16	2	12	6	15	2	2	0.0	0.0							
	Finale	16	1	16	1	16	2	12	6	15	2	2	0.0	0.0							
401	Iniz.	16	1	16	1	16	2	12	6	15	2	2	0.0	0.0							
	Mezz.	16	1	16	1	16	2	12	6	15	2	2	0.0	0.0							
	Finale	16	1	16	1	16	2	12	6	15	2	2	0.0	0.0							
402	Iniz.	16	1	16	1	16	2	12	6	15	2	2	0.0	0.0							
	Mezz.	16	1	16	1	16	2	12	6	15	2	2	0.0	0.0							
	Finale	16	1	16	1	16	2	12	6	15	2	2	0.0	0.0							
403	Iniz.	16	1	16	1	16	2	12	6	15	2	2	0.0	0.0							
	Mezz.	16	1	16	1	16	2	12	6	15	2	2	0.0	0.0							
	Finale	16	1	16	1	16	2	12	6	15	2	2	0.0	0.0							
404	Iniz.	16	1	16	1	16	2	12	6	15	2	2	0.0	0.0							
	Mezz.	16	1	16	1	16	2	12	6	15	2	2	0.0	0.0							
	Finale	16	1	16	1	16	2	12	6	15	2	2	0.0	0.0							
405	Iniz.	16	1	16	1	16	2	12	6	15	2	2	0.0	0.0							
	Mezz.	16	1	16	1	16	2	12	6	15	2	2	0.0	0.0							
	Finale	16	1	16	1	16	2	12	6	15	2	2	0.0	0.0							
406	Iniz.	16	1	16	1	16	2	12	6	15	2	2	0.0	0.0							
	Mezz.	16	1	16	1	16	2	12	6	15	2	2	0.0	0.0							
	Finale	16	1	16	1	16	2	12	6	15	2	2	0.0	0.0							

Dott. Ing. Lucio D'Angelo - Piazza del Popolo 24 - 63073 Offida (AP)

SOFTWARE: C.D.S. - Full - Rel.2017 - Lic. Nro: 35224

Tabulati di calcolo – Palazzo Magnalbò

DATI ARMATURE ASTE3D - SEZIONE RETTANGOLARE																					
ASTE IN C.A. CON SEZIONE RETTANGOLARE																					
IDENTIFICATIVO		ARMATURE DI INPUT											AGGIUNTIVE		RINFORZO IN FRP						
Asta Num.	Concio	FiSp mm	NFer Sup.	FiSu mm	NFer Inf.	FiL mm	NFer Par.	FiPa mm	FiSt mm	PsSt cm	Brac DirX	Brac DirY	AfSup cmq	AfInf cmq	Mat. N.ro	Lung cm	Rag. mm	Num Avv	Nod Con	Condiz. Ambient	SpSol cm
412	Iniz.	16	1	16	1	16	2	12	6	15	2	2	0.0	0.0							
	Mezz. Finale	16	1	16	1	16	2	12	6	15	2	2	0.0	0.0							
413	Iniz.	16	1	16	1	16	2	12	6	15	2	2	0.0	0.0							
	Mezz. Finale	16	1	16	1	16	2	12	6	15	2	2	0.0	0.0							
414	Iniz.	16	1	16	1	16	2	12	6	15	2	2	0.0	0.0							
	Mezz. Finale	16	1	16	1	16	2	12	6	15	2	2	0.0	0.0							
415	Iniz.	16	1	16	1	16	2	12	6	15	2	2	0.0	0.0							
	Mezz. Finale	16	1	16	1	16	2	12	6	15	2	2	0.0	0.0							
416	Iniz.	16	1	16	1	16	2	12	6	15	2	2	0.0	0.0							
	Mezz. Finale	16	1	16	1	16	2	12	6	15	2	2	0.0	0.0							
417	Iniz.	16	1	16	1	16	2	12	6	15	2	2	0.0	0.0							
	Mezz. Finale	16	1	16	1	16	2	12	6	15	2	2	0.0	0.0							
418	Iniz.	16	1	16	1	16	2	12	6	15	2	2	0.0	0.0							
	Mezz. Finale	16	1	16	1	16	2	12	6	15	2	2	0.0	0.0							
419	Iniz.	16	1	16	1	16	2	12	6	15	2	2	0.0	0.0							
	Mezz. Finale	16	1	16	1	16	2	12	6	15	2	2	0.0	0.0							
420	Iniz.	16	1	16	1	16	2	12	6	15	2	2	0.0	0.0							
	Mezz. Finale	16	1	16	1	16	2	12	6	15	2	2	0.0	0.0							
421	Iniz.	16	1	16	1	16	2	12	6	15	2	2	0.0	0.0							
	Mezz. Finale	16	1	16	1	16	2	12	6	15	2	2	0.0	0.0							
422	Iniz.	16	1	16	1	16	2	12	6	15	2	2	0.0	0.0							
	Mezz. Finale	16	1	16	1	16	2	12	6	15	2	2	0.0	0.0							
423	Iniz.	16	1	16	1	16	2	12	6	15	2	2	0.0	0.0							
	Mezz. Finale	16	1	16	1	16	2	12	6	15	2	2	0.0	0.0							
545	Iniz.	14	2	14	2	14	0	10	8	15	2	2	0.0	0.0							
	Mezz.	14	2	14	2	14	0	10	8	15	2	2	0.0	0.0							
	Finale	14	6	14	9	14	0	10	8	15	2	2	0.0	0.0							
546	Iniz.	14	6	14	9	14	0	10	8	15	2	2	0.0	0.0							
	Mezz.	14	2	14	5	14	0	10	8	15	2	2	0.0	0.0							
	Finale	14	5	14	5	14	0	10	8	15	2	2	0.0	0.0							
547	Iniz.	14	13	14	4	14	0	10	8	15	2	2	0.0	0.0							
	Mezz.	14	3	14	8	14	0	10	8	15	2	2	0.0	0.0							
	Finale	14	19	14	14	14	0	10	8	15	2	2	0.0	0.0							
548	Iniz.	14	19	14	14	14	0	10	8	15	2	2	0.0	0.0							
	Mezz.	14	3	14	7	14	0	10	8	15	2	2	0.0	0.0							
	Finale	14	16	14	12	14	0	10	8	15	2	2	0.0	0.0							
549	Iniz.	14	12	14	2	14	0	10	8	15	2	2	0.0	0.0							
	Mezz.	14	2	14	6	14	0	10	8	15	2	2	0.0	0.0							
	Finale	14	16	14	12	14	0	10	8	15	2	2	0.0	0.0							
550	Iniz.	14	1	14	1	14	0	10	6	20	2	2	0.0	0.0							
	Mezz.	14	1	14	1	14	0	10	6	20	2	2	0.0	0.0							
	Finale	14	1	14	1	14	0	10	6	20	2	2	0.0	0.0							
551	Iniz.	14	1	14	1	14	0	10	6	20	2	2	0.0	0.0							

Dott. Ing. Lucio D'Angelo - Piazza del Popolo 24 - 63073 Offida (AP)

SOFTWARE: C.D.S. - Full - Rel.2017 - Lic. Nro: 35224

Tabulati di calcolo – Palazzo Magnalbò

DATI ARMATURE ASTE3D - SEZIONE RETTANGOLARE																					
ASTE IN C.A. CON SEZIONE RETTANGOLARE																					
IDENTIFICATIVO		ARMATURE DI INPUT											AGGIUNTIVE		RINFORZO IN FRP						
Asta Num.	Concio	FiSp mm	NFer Sup.	FiSu mm	NFer Inf.	FiIn mm	NFer Par.	FiPa mm	FiSt mm	PsSt cm	Brac DirX	Brac DirY	AfSup cmq	AfInf cmq	Mat. N.ro	Lung cm	Rag. mm	Num Avv	Nod Con	Condiz. Ambient	SpSol cm
	Mezz.	14	1	14	1	14	0	10	6	20	2	2	0.0	0.0							
	Finale	14	1	14	1	14	0	10	6	20	2	2	0.0	0.0							
552	Iniz.	16	2	16	2	16	0	10	6	20	2	2	0.0	0.0							
	Mezz.	16	2	16	2	16	0	10	6	20	2	2	0.0	0.0							
	Finale	16	2	16	2	16	0	10	6	20	2	2	0.0	0.0							
553	Iniz.	14	6	14	4	14	0	10	8	15	2	2	0.0	0.0							
	Mezz.	14	4	14	4	14	0	10	8	15	2	2	0.0	0.0							
	Finale	14	9	14	9	14	0	10	8	15	2	2	0.0	0.0							
554	Iniz.	14	5	14	4	14	0	10	8	15	2	2	0.0	0.0							
	Mezz.	14	3	14	4	14	0	10	8	15	2	2	0.0	0.0							
	Finale	14	8	14	9	14	0	10	8	15	2	2	0.0	0.0							
555	Iniz.	14	9	14	9	14	0	10	8	15	2	2	0.0	0.0							
	Mezz.	14	3	14	3	14	0	10	8	15	2	2	0.0	0.0							
	Finale	14	8	14	9	14	0	10	8	15	2	2	0.0	0.0							
556	Iniz.	14	1	14	1	14	0	10	6	20	2	2	0.0	0.0							
	Mezz.	14	1	14	1	14	0	10	6	20	2	2	0.0	0.0							
	Finale	14	1	14	1	14	0	10	6	20	2	2	0.0	0.0							
557	Iniz.	14	2	14	2	14	0	10	8	15	2	2	0.0	0.0							
	Mezz.	14	6	14	6	14	0	10	8	15	2	2	0.0	0.0							
	Finale	14	6	14	6	14	0	10	8	15	2	2	0.0	0.0							
558	Iniz.	14	5	14	2	14	0	10	8	15	2	2	0.0	0.0							
	Mezz.	14	2	14	2	14	0	10	8	15	2	2	0.0	0.0							
	Finale	14	6	14	6	14	0	10	8	15	2	2	0.0	0.0							
559	Iniz.	14	14	14	11	14	0	10	8	15	2	2	0.0	0.0							
	Mezz.	14	14	14	11	14	0	10	8	15	2	2	0.0	0.0							
	Finale	14	14	14	11	14	0	10	8	15	2	2	0.0	0.0							
560	Iniz.	14	6	14	8	14	0	10	8	15	2	2	0.0	0.0							
	Mezz.	14	6	14	8	14	0	10	8	15	2	2	0.0	0.0							
	Finale	14	10	14	8	14	0	10	8	15	2	2	0.0	0.0							
561	Iniz.	14	2	14	2	14	0	10	8	15	2	2	0.0	0.0							
	Mezz.	14	2	14	2	14	0	10	8	15	2	2	0.0	0.0							
	Finale	14	2	14	2	14	0	10	8	15	2	2	0.0	0.0							
563	Iniz.	14	5	14	2	14	0	10	8	15	2	2	0.0	0.0							
	Mezz.	14	2	14	2	14	0	10	8	15	2	2	0.0	0.0							
	Finale	14	6	14	6	14	0	10	8	15	2	2	0.0	0.0							
564	Iniz.	14	2	14	2	14	0	10	8	15	2	2	0.0	0.0							
	Mezz.	14	2	14	2	14	0	10	8	15	2	2	0.0	0.0							
	Finale	14	6	14	6	14	0	10	8	15	2	2	0.0	0.0							
565	Iniz.	14	6	14	6	14	0	10	8	15	2	2	0.0	0.0							
	Mezz.	14	6	14	6	14	0	10	8	15	2	2	0.0	0.0							
	Finale	14	6	14	6	14	0	10	8	15	2	2	0.0	0.0							
566	Iniz.	14	6	14	6	14	0	10	8	15	2	2	0.0	0.0							
	Mezz.	14	2	14	2	14	0	10	8	15	2	2	0.0	0.0							
	Finale	14	6	14	6	14	0	10	8	15	2	2	0.0	0.0							
567	Iniz.	14	1	14	1	14	0	10	6	20	2	2	0.0	0.0							
	Mezz.	14	1	14	1	14	0	10	6	20	2	2	0.0	0.0							
	Finale	14	1	14	1	14	0	10	6	20	2	2	0.0	0.0							
568	Iniz.	14	1	14	1	14	0	10	6	20	2	2	0.0	0.0							
	Mezz.	14	1	14	1	14	0	10	6	20	2	2	0.0	0.0							
	Finale	14	1	14	1	14	0	10	6	20	2	2	0.0	0.0							
569	Iniz.	14	1	14	1	14	0	10	6	20	2	2	0.0	0.0							
	Mezz.	14	1	14	1	14	0	10	6	20	2	2	0.0	0.0							
	Finale	14	1	14	1	14	0	10	6	20	2	2	0.0	0.0							
570	Iniz.	14	1	14	1	14	0	10	6	20	2	2	0.0	0.0							
	Mezz.	14	1	14	1	14	0	10	6	20	2	2	0.0	0.0							

Dott. Ing. Lucio D'Angelo - Piazza del Popolo 24 - 63073 Offida (AP)

SOFTWARE: C.D.S. - Full - Rel.2017 - Lic. Nro: 35224

Tabulati di calcolo – Palazzo Magnalbò

DATI ARMATURE ASTE3D - SEZIONE RETTANGOLARE																					
ASTE IN C.A. CON SEZIONE RETTANGOLARE																					
IDENTIFICATIVO		ARMATURE DI INPUT											AGGIUNTIVE		RINFORZO IN FRP						
Asta Num.	Concio	FiSp mm	NFer Sup.	FiSu mm	NFer Inf.	FiIn mm	NFer Par.	FiPa mm	FiSt mm	PsSt cm	Brac DirX	Brac DirY	AfSup cmq	AfInf cmq	Mat. N.ro	Lung cm	Rag. mm	Num Avv	Nod Con	Condiz. Ambient	SpSol cm
	Finale	14	1	14	1	14	0	10	6	20	2	2	0.0	0.0							
571	Iniz.	14	9	14	6	14	0	10	8	15	2	2	12.0	12.0							
	Mezz.	14	3	14	12	14	0	10	8	15	2	2	0.0	0.0							
	Finale	14	11	14	9	14	0	10	8	15	2	2	0.0	0.0							
572	Iniz.	14	5	14	5	14	0	10	8	15	2	2	0.0	0.0							
	Mezz.	14	5	14	5	14	0	10	8	15	2	2	0.0	0.0							
	Finale	14	2	14	2	14	0	10	8	15	2	2	0.0	0.0							
573	Iniz.	14	6	14	3	14	0	10	8	15	2	2	0.0	0.0							
	Mezz.	14	2	14	3	14	0	10	8	15	2	2	0.0	0.0							
	Finale	14	14	14	11	14	0	10	8	15	2	2	0.0	0.0							
574	Iniz.	14	4	14	2	14	0	10	8	15	2	2	0.0	0.0							
	Mezz.	14	2	14	2	14	0	10	8	15	2	2	0.0	0.0							
	Finale	14	4	14	2	14	0	10	8	15	2	2	0.0	0.0							
575	Iniz.	14	5	14	5	14	0	10	8	15	2	2	0.0	0.0							
	Mezz.	14	1	14	1	14	0	10	8	15	2	2	0.0	0.0							
	Finale	14	11	14	9	14	0	10	8	15	2	2	0.0	0.0							
576	Iniz.	14	5	14	2	14	0	10	8	15	2	2	0.0	0.0							
	Mezz.	14	5	14	2	14	0	10	8	15	2	2	0.0	0.0							
	Finale	14	5	14	2	14	0	10	8	15	2	2	0.0	0.0							
577	Iniz.	14	6	14	6	14	0	10	8	15	2	2	0.0	0.0							
	Mezz.	14	6	14	6	14	0	10	8	15	2	2	0.0	0.0							
	Finale	14	2	14	2	14	0	10	8	15	2	2	0.0	0.0							
578	Iniz.	14	6	14	3	14	0	10	8	15	2	2	0.0	0.0							
	Mezz.	14	2	14	2	14	0	10	8	15	2	2	0.0	0.0							
	Finale	14	10	14	11	14	0	10	8	15	2	2	0.0	0.0							
579	Iniz.	14	10	14	11	14	0	10	8	15	2	2	0.0	0.0							
	Mezz.	14	4	14	7	14	0	10	8	15	2	2	0.0	0.0							
	Finale	14	6	14	5	14	0	10	8	15	2	2	10.0	0.0							
580	Iniz.	14	6	14	4	14	0	10	8	15	2	2	0.0	0.0							
	Mezz.	14	4	14	4	14	0	10	8	15	2	2	0.0	0.0							
	Finale	14	6	14	4	14	0	10	8	15	2	2	0.0	0.0							
581	Iniz.	14	6	14	4	14	0	10	8	15	2	2	0.0	0.0							
	Mezz.	14	4	14	4	14	0	10	8	15	2	2	0.0	0.0							
	Finale	14	6	14	4	14	0	10	8	15	2	2	0.0	0.0							
582	Iniz.	14	2	14	2	14	0	10	8	15	2	2	0.0	0.0							
	Mezz.	14	5	14	2	14	0	10	8	15	2	2	0.0	0.0							
	Finale	14	5	14	2	14	0	10	8	15	2	2	0.0	0.0							
583	Iniz.	14	4	14	3	14	0	10	8	20	2	2	0.0	0.0							
	Mezz.	14	4	14	3	14	0	10	8	20	2	2	0.0	0.0							
	Finale	14	4	14	3	14	0	10	8	20	2	2	0.0	0.0							
584	Iniz.	14	4	14	3	14	0	10	8	20	2	2	0.0	0.0							
	Mezz.	14	4	14	3	14	0	10	8	20	2	2	0.0	0.0							
	Finale	14	4	14	3	14	0	10	8	20	2	2	0.0	0.0							
603	Iniz.	16	1	16	1	16	2	12	6	15	2	2	0.0	0.0							
	Mezz.	16	1	16	1	16	2	12	6	15	2	2	0.0	0.0							
	Finale	16	1	16	1	16	2	12	6	15	2	2	0.0	0.0							
604	Iniz.	16	1	16	1	16	2	12	6	15	2	2	0.0	0.0							
	Mezz.	16	1	16	1	16	2	12	6	15	2	2	0.0	0.0							
	Finale	16	1	16	1	16	2	12	6	15	2	2	0.0	0.0							
605	Iniz.	16	1	16	1	16	2	12	6	15	2	2	0.0	0.0							
	Mezz.	16	1	16	1	16	2	12	6	15	2	2	0.0	0.0							
	Finale	16	1	16	1	16	2	12	6	15	2	2	0.0	0.0							
606	Iniz.	16	1	16	1	16	2	12	6	15	2	2	0.0	0.0							
	Mezz.	16	1	16	1	16	2	12	6	15	2	2	0.0	0.0							
	Finale	16	1	16	1	16	2	12	6	15	2	2	0.0	0.0							

Dott. Ing. Lucio D'Angelo - Piazza del Popolo 24 - 63073 Offida (AP)

SOFTWARE: C.D.S. - Full - Rel.2017 - Lic. Nro: 35224

Tabulati di calcolo – Palazzo Magnalbò

DATI ARMATURE ASTE3D - SEZIONE RETTANGOLARE																					
ASTE IN C.A. CON SEZIONE RETTANGOLARE																					
IDENTIFICATIVO		ARMATURE DI INPUT											AGGIUNTIVE		RINFORZO IN FRP						
Asta Num.	Concio	FiSp mm	NFer Sup.	FiSu mm	NFer Inf.	FiIn mm	NFer Par.	FiPa mm	FiSt mm	PsSt cm	Brac DirX	Brac DirY	AfSup cmq	AfInf cmq	Mat. N.ro	Lung cm	Rag. mm	Num Avv	Nod Con	Condiz. Ambient	SpSol cm
607	Iniz.	16	1	16	1	16	2	12	6	15	2	2	0.0	0.0							
	Mezz.	16	1	16	1	16	2	12	6	15	2	2	0.0	0.0							
608	Iniz.	16	1	16	1	16	2	12	6	15	2	2	0.0	0.0							
	Mezz.	16	1	16	1	16	2	12	6	15	2	2	0.0	0.0							
609	Iniz.	16	1	16	1	16	2	12	6	15	2	2	0.0	0.0							
	Mezz.	16	1	16	1	16	2	12	6	15	2	2	0.0	0.0							
610	Iniz.	16	1	16	1	16	2	12	6	15	2	2	0.0	0.0							
	Mezz.	16	1	16	1	16	2	12	6	15	2	2	0.0	0.0							
611	Iniz.	16	1	16	1	16	2	12	6	15	2	2	0.0	0.0							
	Mezz.	16	1	16	1	16	2	12	6	15	2	2	0.0	0.0							
612	Iniz.	16	1	16	1	16	2	12	6	15	2	2	0.0	0.0							
	Mezz.	16	1	16	1	16	2	12	6	15	2	2	0.0	0.0							
618	Iniz.	16	1	16	1	16	2	12	6	15	2	2	0.0	0.0							
	Mezz.	16	1	16	1	16	2	12	6	15	2	2	0.0	0.0							
619	Iniz.	16	1	16	1	16	2	12	6	15	2	2	0.0	0.0							
	Mezz.	16	1	16	1	16	2	12	6	15	2	2	0.0	0.0							
620	Iniz.	16	1	16	1	16	2	12	6	15	2	2	0.0	0.0							
	Mezz.	16	1	16	1	16	2	12	6	15	2	2	0.0	0.0							
621	Iniz.	16	1	16	1	16	2	12	6	15	2	2	0.0	0.0							
	Mezz.	16	1	16	1	16	2	12	6	15	2	2	0.0	0.0							
622	Iniz.	16	1	16	1	16	2	12	6	15	2	2	0.0	0.0							
	Mezz.	16	1	16	1	16	2	12	6	15	2	2	0.0	0.0							
623	Iniz.	16	1	16	1	16	2	12	6	15	2	2	0.0	0.0							
	Mezz.	16	1	16	1	16	2	12	6	15	2	2	0.0	0.0							
624	Iniz.	16	1	16	1	16	2	12	6	15	2	2	0.0	0.0							
	Mezz.	16	1	16	1	16	2	12	6	15	2	2	0.0	0.0							
625	Iniz.	16	1	16	1	16	2	12	6	15	2	2	0.0	0.0							
	Mezz.	16	1	16	1	16	2	12	6	15	2	2	0.0	0.0							
626	Iniz.	16	1	16	1	16	2	12	6	15	2	2	0.0	0.0							
	Mezz.	16	1	16	1	16	2	12	6	15	2	2	0.0	0.0							
627	Iniz.	16	1	16	1	16	2	12	6	15	2	2	0.0	0.0							
	Mezz.	16	1	16	1	16	2	12	6	15	2	2	0.0	0.0							
628	Iniz.	16	1	16	1	16	2	12	6	15	2	2	0.0	0.0							
	Mezz.	16	1	16	1	16	2	12	6	15	2	2	0.0	0.0							
629	Iniz.	16	1	16	1	16	2	12	6	15	2	2	0.0	0.0							
	Mezz.	16	1	16	1	16	2	12	6	15	2	2	0.0	0.0							

Dott. Ing. Lucio D'Angelo - Piazza del Popolo 24 - 63073 Offida (AP)

SOFTWARE: C.D.S. - Full - Rel.2017 - Lic. Nro: 35224

Tabulati di calcolo – Palazzo Magnalbò

DATI ARMATURE ASTE3D - SEZIONE RETTANGOLARE																					
ASTE IN C.A. CON SEZIONE RETTANGOLARE																					
IDENTIFICATIVO		ARMATURE DI INPUT												AGGIUNTIVE		RINFORZO IN FRP					
Asta Num.	Concio	FiSp mm	NFer Sup.	FiSu mm	NFer Inf.	FiIn mm	NFer Par.	FiPa mm	FiSt mm	PsSt cm	Brac DirX	Brac DirY	AfSup cmq	AfInf cmq	Mat. N.ro	Lung cm	Rag. mm	Num Avv	Nod Con	Condiz. Ambient	SpSol cm
750	Iniz.	14	9	14	6	14	0	10	8	15	2	2	12.0	12.0							
	Mezz.	14	3	14	12	14	0	10	8	15	2	2	0.0	0.0							
	Finale	14	11	14	9	14	0	10	8	15	2	2	0.0	0.0							
751	Iniz.	14	5	14	5	14	0	10	8	15	2	2	0.0	0.0							
	Mezz.	14	5	14	5	14	0	10	8	15	2	2	0.0	0.0							
	Finale	14	2	14	2	14	0	10	8	15	2	2	0.0	0.0							
752	Iniz.	14	6	14	3	14	0	10	8	15	2	2	0.0	0.0							
	Mezz.	14	2	14	3	14	0	10	8	15	2	2	0.0	0.0							
	Finale	14	14	14	11	14	0	10	8	15	2	2	0.0	0.0							
753	Iniz.	14	4	14	2	14	0	10	8	15	2	2	0.0	0.0							
	Mezz.	14	2	14	2	14	0	10	8	15	2	2	0.0	0.0							
	Finale	14	4	14	2	14	0	10	8	15	2	2	0.0	0.0							
754	Iniz.	14	5	14	5	14	0	10	8	15	2	2	0.0	0.0							
	Mezz.	14	1	14	1	14	0	10	8	15	2	2	0.0	0.0							
	Finale	14	11	14	9	14	0	10	8	15	2	2	0.0	0.0							
755	Iniz.	14	5	14	2	14	0	10	8	15	2	2	0.0	0.0							
	Mezz.	14	5	14	2	14	0	10	8	15	2	2	0.0	0.0							
	Finale	14	5	14	2	14	0	10	8	15	2	2	0.0	0.0							
756	Iniz.	14	6	14	6	14	0	10	8	15	2	2	0.0	0.0							
	Mezz.	14	6	14	6	14	0	10	8	15	2	2	0.0	0.0							
	Finale	14	2	14	2	14	0	10	8	15	2	2	0.0	0.0							
757	Iniz.	14	2	14	2	14	0	10	8	15	2	2	0.0	0.0							
	Mezz.	14	6	14	6	14	0	10	8	15	2	2	0.0	0.0							
	Finale	14	6	14	6	14	0	10	8	15	2	2	0.0	0.0							
758	Iniz.	14	6	14	6	14	0	10	8	15	2	2	0.0	0.0							
	Mezz.	14	6	14	6	14	0	10	8	15	2	2	0.0	0.0							
	Finale	14	6	14	6	14	0	10	8	15	2	2	0.0	0.0							
759	Iniz.	14	14	14	11	14	0	10	8	15	2	2	0.0	0.0							
	Mezz.	14	14	14	11	14	0	10	8	15	2	2	0.0	0.0							
	Finale	14	14	14	11	14	0	10	8	15	2	2	0.0	0.0							
760	Iniz.	14	6	14	8	14	0	10	8	15	2	2	0.0	0.0							
	Mezz.	14	6	14	8	14	0	10	8	15	2	2	0.0	0.0							
	Finale	14	10	14	8	14	0	10	8	15	2	2	0.0	0.0							
761	Iniz.	14	4	14	4	14	0	10	8	15	2	2	0.0	0.0							
	Mezz.	14	4	14	4	14	0	10	8	15	2	2	0.0	0.0							
	Finale	14	4	14	4	14	0	10	8	15	2	2	0.0	0.0							
762	Iniz.	14	6	14	3	14	0	10	8	15	2	2	0.0	0.0							
	Mezz.	14	2	14	2	14	0	10	8	15	2	2	0.0	0.0							
	Finale	14	10	14	11	14	0	10	8	15	2	2	0.0	0.0							
763	Iniz.	14	10	14	11	14	0	10	8	15	2	2	0.0	0.0							
	Mezz.	14	4	14	7	14	0	10	8	15	2	2	0.0	0.0							
	Finale	14	6	14	5	14	0	10	8	15	2	2	10.0	0.0							
764	Iniz.	14	6	14	4	14	0	10	8	15	2	2	0.0	0.0							
	Mezz.	14	4	14	4	14	0	10	8	15	2	2	0.0	0.0							
	Finale	14	6	14	4	14	0	10	8	15	2	2	0.0	0.0							
765	Iniz.	14	6	14	6	14	0	10	8	15	2	2	0.0	0.0							
	Mezz.	14	2	14	2	14	0	10	8	15	2	2	0.0	0.0							
	Finale	14	6	14	6	14	0	10	8	15	2	2	0.0	0.0							
784	Iniz.	14	2	14	2	14	0	10	8	15	2	2	0.0	0.0							
	Mezz.	14	5	14	2	14	0	10	8	15	2	2	0.0	0.0							
	Finale	14	5	14	2	14	0	10	8	15	2	2	0.0	0.0							
789	Iniz.	14	2	14	2	14	0	10	8	15	2	2	0.0	0.0							
	Mezz.	14	2	14	2	14	0	10	8	15	2	2	0.0	0.0							
	Finale	14	5	14	2	14	0	10	8	15	2	2	0.0	0.0							
790	Iniz.	14	6	14	4	14	0	10	8	15	2	2	0.0	0.0							

Dott. Ing. Lucio D'Angelo - Piazza del Popolo 24 - 63073 Offida (AP)

SOFTWARE: C.D.S. - Full - Rel.2017 - Lic. Nro: 35224

Tabulati di calcolo – Palazzo Magnalbò

DATI ARMATURE ASTE3D - SEZIONE RETTANGOLARE																							
ASTE IN C.A. CON SEZIONE RETTANGOLARE																							
IDENTIFICATIVO		ARMATURE DI INPUT												AGGIUNTIVE		RINFORZO IN FRP							
Asta Num.	Concio	FiSp mm	NFer Sup.	FiSu mm	NFer Inf.	Filn mm	NFer Par.	FiPa mm	FiSt mm	PsSt cm	Brac DirX	Brac DirY	AfSup cmq	AfInf cmq	Mat. N.ro	Lung cm	Rag. mm	Num Avv	Nod Con	Condiz. Ambient	SpSol cm		
	Mezz.	14	4	14	4	14	0	10	8	15	2	2	0.0	0.0									
	Finale	14	6	14	4	14	0	10	8	15	2	2	0.0	0.0									

DATI ARMATURE ASTE3D - SEZIONE A 'T'																						
ASTE IN C.A. CON SEZIONE A 'T'																						
IDENTIFICATI		ARMATURE DI INPUT													AGGIUNTIVE		RINFORZO IN FRP					
Asta Num.	Con cio	FiSp mm	NFer Sup.	FiSu mm	NFerr InfSx	NFerr InfCe	NFerr InfDx	Filnf mm	NFerr Paret	FiPar mm	FiSta mm	PsSta cm	Brac Y	AfSup cmq	AfInf cmq	Mat. N.ro	Lung cm	Rag. mm	Num Avv	Nod Con	Condiz. Ambient	SpSol cm
1	Iniz.	14	4	14	2	6	2	14	3	14	8	15	2	0.0	0.0							
	Mezz.	14	4	14	2	6	2	14	3	14	8	15	2	0.0	0.0							
	Final	14	4	14	2	6	2	14	3	14	8	15	2	0.0	0.0							
2	Iniz.	14	4	14	2	6	2	14	3	14	8	15	2	0.0	0.0							
	Mezz.	14	4	14	2	6	2	14	3	14	8	15	2	0.0	0.0							
	Final	14	4	14	2	6	2	14	3	14	8	15	2	0.0	0.0							
3	Iniz.	14	4	14	2	6	2	14	3	14	8	15	2	0.0	0.0							
	Mezz.	14	4	14	2	6	2	14	3	14	8	15	2	0.0	0.0							
	Final	14	4	14	2	6	2	14	3	14	8	15	2	0.0	0.0							
38	Iniz.	14	4	14	2	6	2	14	3	14	8	15	2	0.0	0.0							
	Mezz.	14	4	14	2	6	2	14	3	14	8	15	2	0.0	0.0							
	Final	14	4	14	2	6	2	14	3	14	8	15	2	0.0	0.0							
39	Iniz.	14	4	14	2	6	2	14	3	14	8	15	2	0.0	0.0							
	Mezz.	14	4	14	2	6	2	14	3	14	8	15	2	0.0	0.0							
	Final	14	4	14	2	6	2	14	3	14	8	15	2	0.0	0.0							
40	Iniz.	14	4	14	2	6	2	14	3	14	8	15	2	0.0	0.0							
	Mezz.	14	4	14	2	6	2	14	3	14	8	15	2	0.0	0.0							
	Final	14	4	14	2	6	2	14	3	14	8	15	2	0.0	0.0							
41	Iniz.	14	4	14	2	6	2	14	3	14	8	15	2	0.0	0.0							
	Mezz.	14	4	14	2	6	2	14	3	14	8	15	2	0.0	0.0							
	Final	14	4	14	2	6	2	14	3	14	8	15	2	0.0	0.0							
42	Iniz.	14	4	14	2	6	2	14	3	14	8	15	2	0.0	0.0							
	Mezz.	14	4	14	2	6	2	14	3	14	8	15	2	0.0	0.0							
	Final	14	4	14	2	6	2	14	3	14	8	15	2	0.0	0.0							
43	Iniz.	14	4	14	2	6	2	14	3	14	8	15	2	0.0	0.0							
	Mezz.	14	4	14	2	6	2	14	3	14	8	15	2	0.0	0.0							
	Final	14	4	14	2	6	2	14	3	14	8	15	2	0.0	0.0							
44	Iniz.	14	4	14	2	6	2	14	3	14	8	15	2	0.0	0.0							
	Mezz.	14	4	14	2	6	2	14	3	14	8	15	2	0.0	0.0							
	Final	14	4	14	2	6	2	14	3	14	8	15	2	0.0	0.0							
45	Iniz.	14	4	14	2	6	2	14	3	14	8	15	2	0.0	0.0							
	Mezz.	14	4	14	2	6	2	14	3	14	8	15	2	0.0	0.0							
	Final	14	4	14	2	6	2	14	3	14	8	15	2	0.0	0.0							
46	Iniz.	14	4	14	2	6	2	14	3	14	8	15	2	0.0	0.0							
	Mezz.	14	4	14	2	6	2	14	3	14	8	15	2	0.0	0.0							
	Final	14	4	14	2	6	2	14	3	14	8	15	2	0.0	0.0							
47	Iniz.	14	4	14	2	6	2	14	3	14	8	15	2	0.0	0.0							
	Mezz.	14	4	14	2	6	2	14	3	14	8	15	2	0.0	0.0							
	Final	14	4	14	2	6	2	14	3	14	8	15	2	0.0	0.0							
48	Iniz.	14	4	14	2	6	2	14	3	14	8	15	2	0.0	0.0							
	Mezz.	14	4	14	2	6	2	14	3	14	8	15	2	0.0	0.0							
	Final	14	4	14	2	6	2	14	3	14	8	15	2	0.0	0.0							
49	Iniz.	14	4	14	2	6	2	14	3	14	8	15	2	0.0	0.0							
	Mezz.	14	4	14	2	6	2	14	3	14	8	15	2	0.0	0.0							
	Final	14	4	14	2	6	2	14	3	14	8	15	2	0.0	0.0							
50	Iniz.	14	4	14	2	6	2	14	3	14	8	15	2	0.0	0.0							
	Mezz.	14	4	14	2	6	2	14	3	14	8	15	2	0.0	0.0							
	Final	14	4	14	2	6	2	14	3	14	8	15	2	0.0	0.0							
51	Iniz.	14	4	14	2	6	2	14	3	14	8	15	2	0.0	0.0							
	Mezz.	14	4	14	2	6	2	14	3	14	8	15	2	0.0	0.0							
	Final	14	4	14	2	6	2	14	3	14	8	15	2	0.0	0.0							

Tabulati di calcolo – Palazzo Magnalbò

DATI ARMATURE ASTE3D - SEZIONE A 'T'																							
ASTE IN C.A. CON SEZIONE A 'T'																							
IDENTIFICATI		ARMATURE DI INPUT													AGGIUNTIVE		RINFORZO IN FRP						
Asta Num.	Con cio	FiSp mm	NFer Sup.	FiSu mm	NFerr InfSx	NFerr InfCe	NFerr InfDx	FiInf mm	NFerr Paret	FiPar mm	FiSta mm	PsSta cm	Brac Y	AfSup cmq	AfInf cmq	Mat. N.ro	Lung cm	Rag. mm	Num Avv	Nod Con	Condiz. Ambient	SpSol cm	
52	Iniz.	14	4	14	2	6	2	14	3	14	8	15	2	0.0	0.0								
	Mezz.	14	4	14	2	6	2	14	3	14	8	15	2	0.0	0.0								
	Final	14	4	14	2	6	2	14	3	14	8	15	2	0.0	0.0								
53	Iniz.	14	4	14	2	6	2	14	3	14	8	15	2	0.0	0.0								
	Mezz.	14	4	14	2	6	2	14	3	14	8	15	2	0.0	0.0								
	Final	14	4	14	2	6	2	14	3	14	8	15	2	0.0	0.0								
54	Iniz.	14	4	14	2	6	2	14	3	14	8	15	2	0.0	0.0								
	Mezz.	14	4	14	2	6	2	14	3	14	8	15	2	0.0	0.0								
	Final	14	4	14	2	6	2	14	3	14	8	15	2	0.0	0.0								
55	Iniz.	14	4	14	2	6	2	14	3	14	8	15	2	0.0	0.0								
	Mezz.	14	4	14	2	6	2	14	3	14	8	15	2	0.0	0.0								
	Final	14	4	14	2	6	2	14	3	14	8	15	2	0.0	0.0								
56	Iniz.	14	4	14	2	6	2	14	3	14	8	15	2	0.0	0.0								
	Mezz.	14	4	14	2	6	2	14	3	14	8	15	2	0.0	0.0								
	Final	14	4	14	2	6	2	14	3	14	8	15	2	0.0	0.0								
57	Iniz.	14	4	14	2	6	2	14	3	14	8	15	2	0.0	0.0								
	Mezz.	14	4	14	2	6	2	14	3	14	8	15	2	0.0	0.0								
	Final	14	4	14	2	6	2	14	3	14	8	15	2	0.0	0.0								
58	Iniz.	14	4	14	2	6	2	14	3	14	8	15	2	0.0	0.0								
	Mezz.	14	4	14	2	6	2	14	3	14	8	15	2	0.0	0.0								
	Final	14	4	14	2	6	2	14	3	14	8	15	2	0.0	0.0								
59	Iniz.	14	4	14	2	6	2	14	3	14	8	15	2	0.0	0.0								
	Mezz.	14	4	14	2	6	2	14	3	14	8	15	2	0.0	0.0								
	Final	14	4	14	2	6	2	14	3	14	8	15	2	0.0	0.0								
60	Iniz.	14	4	14	2	6	2	14	3	14	8	15	2	0.0	0.0								
	Mezz.	14	4	14	2	6	2	14	3	14	8	15	2	0.0	0.0								
	Final	14	4	14	2	6	2	14	3	14	8	15	2	0.0	0.0								
61	Iniz.	14	4	14	2	6	2	14	3	14	8	15	2	0.0	0.0								
	Mezz.	14	4	14	2	6	2	14	3	14	8	15	2	0.0	0.0								
	Final	14	4	14	2	6	2	14	3	14	8	15	2	0.0	0.0								
62	Iniz.	14	4	14	2	6	2	14	3	14	8	15	2	0.0	0.0								
	Mezz.	14	4	14	2	6	2	14	3	14	8	15	2	0.0	0.0								
	Final	14	4	14	2	6	2	14	3	14	8	15	2	0.0	0.0								
63	Iniz.	14	4	14	2	6	2	14	3	14	8	15	2	0.0	0.0								
	Mezz.	14	4	14	2	6	2	14	3	14	8	15	2	0.0	0.0								
	Final	14	4	14	2	6	2	14	3	14	8	15	2	0.0	0.0								
64	Iniz.	14	4	14	2	6	2	14	3	14	8	15	2	0.0	0.0								
	Mezz.	14	4	14	2	6	2	14	3	14	8	15	2	0.0	0.0								
	Final	14	4	14	2	6	2	14	3	14	8	15	2	0.0	0.0								
65	Iniz.	14	4	14	2	6	2	14	3	14	8	15	2	0.0	0.0								
	Mezz.	14	4	14	2	6	2	14	3	14	8	15	2	0.0	0.0								
	Final	14	4	14	2	6	2	14	3	14	8	15	2	0.0	0.0								
66	Iniz.	14	4	14	2	6	2	14	3	14	8	15	2	0.0	0.0								
	Mezz.	14	4	14	2	6	2	14	3	14	8	15	2	0.0	0.0								
	Final	14	4	14	2	6	2	14	3	14	8	15	2	0.0	0.0								
67	Iniz.	14	4	14	2	6	2	14	3	14	8	15	2	0.0	0.0								
	Mezz.	14	4	14	2	6	2	14	3	14	8	15	2	0.0	0.0								
	Final	14	4	14	2	6	2	14	3	14	8	15	2	0.0	0.0								
68	Iniz.	14	4	14	2	6	2	14	3	14	8	15	2	0.0	0.0								
	Mezz.	14	4	14	2	6	2	14	3	14	8	15	2	0.0	0.0								
	Final	14	4	14	2	6	2	14	3	14	8	15	2	0.0	0.0								
69	Iniz.	14	4	14	2	6	2	14	3	14	8	15	2	0.0	0.0								
	Mezz.	14	4	14	2	6	2	14	3	14	8	15	2	0.0	0.0								
	Final	14	4	14	2	6	2	14	3	14	8	15	2	0.0	0.0								
70	Iniz.	14	4	14	2	6	2	14	3	14	8	15	2	0.0	0.0								
	Mezz.	14	4	14	2	6	2	14	3	14	8	15	2	0.0	0.0								
	Final	14	4	14	2	6	2	14	3	14	8	15	2	0.0	0.0								
71	Iniz.	14	4	14	2	6	2	14	3	14	8	15	2	0.0	0.0								
	Mezz.	14	4	14	2	6	2	14	3	14	8	15	2	0.0	0.0								

Dott. Ing. Lucio D'Angelo - Piazza del Popolo 24 - 63073 Offida (AP)

SOFTWARE: C.D.S. - Full - Rel.2017 - Lic. Nro: 35224

Tabulati di calcolo – Palazzo Magnalbò

DATI ARMATURE ASTE3D - SEZIONE A 'T'																						
ASTE IN C.A. CON SEZIONE A 'T'																						
IDENTIFICATI		ARMATURE DI INPUT													AGGIUNTIVE		RINFORZO IN FRP					
Asta Num.	Con cio	FiSp mm	NFer Sup.	FiSu mm	NFerr InfSx	NFerr InfCe	NFerr InfDx	FiInf mm	NFerr Paret	FiPar mm	FiSta mm	PsSta cm	Brac Y	AfSup cmq	AfInf cmq	Mat. N.ro	Lung cm	Rag. mm	Num Avv	Nod Con	Condiz. Ambient	SpSol cm
	Final	14	4	14	2	6	2	14	3	14	8	15	2	0.0	0.0							
72	Iniz.	14	4	14	2	6	2	14	3	14	8	15	2	0.0	0.0							
	Mezz.	14	4	14	2	6	2	14	3	14	8	15	2	0.0	0.0							
	Final	14	4	14	2	6	2	14	3	14	8	15	2	0.0	0.0							
73	Iniz.	14	4	14	2	6	2	14	3	14	8	15	2	0.0	0.0							
	Mezz.	14	4	14	2	6	2	14	3	14	8	15	2	0.0	0.0							
	Final	14	4	14	2	6	2	14	3	14	8	15	2	0.0	0.0							
74	Iniz.	14	4	14	2	6	2	14	3	14	8	15	2	0.0	0.0							
	Mezz.	14	4	14	2	6	2	14	3	14	8	15	2	0.0	0.0							
	Final	14	4	14	2	6	2	14	3	14	8	15	2	0.0	0.0							
75	Iniz.	14	4	14	2	6	2	14	3	14	8	15	2	0.0	0.0							
	Mezz.	14	4	14	2	6	2	14	3	14	8	15	2	0.0	0.0							
	Final	14	4	14	2	6	2	14	3	14	8	15	2	0.0	0.0							
76	Iniz.	14	4	14	2	6	2	14	3	14	8	15	2	0.0	0.0							
	Mezz.	14	4	14	2	6	2	14	3	14	8	15	2	0.0	0.0							
	Final	14	4	14	2	6	2	14	3	14	8	15	2	0.0	0.0							
77	Iniz.	14	4	14	2	6	2	14	3	14	8	15	2	0.0	0.0							
	Mezz.	14	4	14	2	6	2	14	3	14	8	15	2	0.0	0.0							
	Final	14	4	14	2	6	2	14	3	14	8	15	2	0.0	0.0							
78	Iniz.	14	4	14	2	6	2	14	3	14	8	15	2	0.0	0.0							
	Mezz.	14	4	14	2	6	2	14	3	14	8	15	2	0.0	0.0							
	Final	14	4	14	2	6	2	14	3	14	8	15	2	0.0	0.0							
79	Iniz.	14	4	14	2	6	2	14	3	14	8	15	2	0.0	0.0							
	Mezz.	14	4	14	2	6	2	14	3	14	8	15	2	0.0	0.0							
	Final	14	4	14	2	6	2	14	3	14	8	15	2	0.0	0.0							
80	Iniz.	14	4	14	2	6	2	14	3	14	8	15	2	0.0	0.0							
	Mezz.	14	4	14	2	6	2	14	3	14	8	15	2	0.0	0.0							
	Final	14	4	14	2	6	2	14	3	14	8	15	2	0.0	0.0							
81	Iniz.	14	4	14	2	6	2	14	3	14	8	15	2	0.0	0.0							
	Mezz.	14	4	14	2	6	2	14	3	14	8	15	2	0.0	0.0							
	Final	14	4	14	2	6	2	14	3	14	8	15	2	0.0	0.0							
82	Iniz.	14	4	14	2	6	2	14	3	14	8	15	2	0.0	0.0							
	Mezz.	14	4	14	2	6	2	14	3	14	8	15	2	0.0	0.0							
	Final	14	4	14	2	6	2	14	3	14	8	15	2	0.0	0.0							
83	Iniz.	14	4	14	2	6	2	14	3	14	8	15	2	0.0	0.0							
	Mezz.	14	4	14	2	6	2	14	3	14	8	15	2	0.0	0.0							
	Final	14	4	14	2	6	2	14	3	14	8	15	2	0.0	0.0							
84	Iniz.	14	4	14	2	6	2	14	3	14	8	15	2	0.0	0.0							
	Mezz.	14	4	14	2	6	2	14	3	14	8	15	2	0.0	0.0							
	Final	14	4	14	2	6	2	14	3	14	8	15	2	0.0	0.0							
85	Iniz.	14	4	14	2	6	2	14	3	14	8	15	2	0.0	0.0							
	Mezz.	14	4	14	2	6	2	14	3	14	8	15	2	0.0	0.0							
	Final	14	4	14	2	6	2	14	3	14	8	15	2	0.0	0.0							
86	Iniz.	14	4	14	2	6	2	14	3	14	8	15	2	0.0	0.0							
	Mezz.	14	4	14	2	6	2	14	3	14	8	15	2	0.0	0.0							
	Final	14	4	14	2	6	2	14	3	14	8	15	2	0.0	0.0							
87	Iniz.	14	4	14	2	6	2	14	3	14	8	15	2	0.0	0.0							
	Mezz.	14	4	14	2	6	2	14	3	14	8	15	2	0.0	0.0							
	Final	14	4	14	2	6	2	14	3	14	8	15	2	0.0	0.0							
88	Iniz.	14	4	14	2	6	2	14	3	14	8	15	2	0.0	0.0							
	Mezz.	14	4	14	2	6	2	14	3	14	8	15	2	0.0	0.0							
	Final	14	4	14	2	6	2	14	3	14	8	15	2	0.0	0.0							
89	Iniz.	14	4	14	2	6	2	14	3	14	8	15	2	0.0	0.0							
	Mezz.	14	4	14	2	6	2	14	3	14	8	15	2	0.0	0.0							
	Final	14	4	14	2	6	2	14	3	14	8	15	2	0.0	0.0							
90	Iniz.	14	4	14	2	6	2	14	3	14	8	15	2	0.0	0.0							
	Mezz.	14	4	14	2	6	2	14	3	14	8	15	2	0.0	0.0							
	Final	14	4	14	2	6	2	14	3	14	8	15	2	0.0	0.0							

Tabulati di calcolo – Palazzo Magnalbò

DATI ARMATURE ASTE3D - SEZIONE A 'T'																						
ASTE IN C.A. CON SEZIONE A 'T'																						
IDENTIFICATI		ARMATURE DI INPUT													AGGIUNTIVE		RINFORZO IN FRP					
Asta Num.	Con cio	FiSp mm	NFer Sup.	FiSu mm	NFerr InfSx	NFerr InfCe	NFerr InfDx	FiInf mm	NFerr Paret	FiPar mm	FiSta mm	PsSta cm	Brac Y	AfSup cmq	AfInf cmq	Mat. N.ro	Lung cm	Rag. mm	Num Avv	Nod Con	Condiz. Ambient	SpSol cm
91	Iniz.	14	4	14	2	6	2	14	3	14	8	15	2	0.0	0.0							
	Mezz.	14	4	14	2	6	2	14	3	14	8	15	2	0.0	0.0							
	Final	14	4	14	2	6	2	14	3	14	8	15	2	0.0	0.0							
92	Iniz.	14	4	14	2	6	2	14	3	14	8	15	2	0.0	0.0							
	Mezz.	14	4	14	2	6	2	14	3	14	8	15	2	0.0	0.0							
	Final	14	4	14	2	6	2	14	3	14	8	15	2	0.0	0.0							
93	Iniz.	14	4	14	2	6	2	14	3	14	8	15	2	0.0	0.0							
	Mezz.	14	4	14	2	6	2	14	3	14	8	15	2	0.0	0.0							
	Final	14	4	14	2	6	2	14	3	14	8	15	2	0.0	0.0							
94	Iniz.	14	4	14	2	6	2	14	3	14	8	15	2	0.0	0.0							
	Mezz.	14	4	14	2	6	2	14	3	14	8	15	2	0.0	0.0							
	Final	14	4	14	2	6	2	14	3	14	8	15	2	0.0	0.0							
95	Iniz.	14	4	14	2	6	2	14	3	14	8	15	2	0.0	0.0							
	Mezz.	14	4	14	2	6	2	14	3	14	8	15	2	0.0	0.0							
	Final	14	4	14	2	6	2	14	3	14	8	15	2	0.0	0.0							
96	Iniz.	14	4	14	2	6	2	14	3	14	8	15	2	0.0	0.0							
	Mezz.	14	4	14	2	6	2	14	3	14	8	15	2	0.0	0.0							
	Final	14	4	14	2	6	2	14	3	14	8	15	2	0.0	0.0							
97	Iniz.	14	4	14	2	6	2	14	3	14	8	15	2	0.0	0.0							
	Mezz.	14	4	14	2	6	2	14	3	14	8	15	2	0.0	0.0							
	Final	14	4	14	2	6	2	14	3	14	8	15	2	0.0	0.0							
98	Iniz.	14	4	14	2	6	2	14	3	14	8	15	2	0.0	0.0							
	Mezz.	14	4	14	2	6	2	14	3	14	8	15	2	0.0	0.0							
	Final	14	4	14	2	6	2	14	3	14	8	15	2	0.0	0.0							
99	Iniz.	14	4	14	2	6	2	14	3	14	8	15	2	0.0	0.0							
	Mezz.	14	4	14	2	6	2	14	3	14	8	15	2	0.0	0.0							
	Final	14	4	14	2	6	2	14	3	14	8	15	2	0.0	0.0							
100	Iniz.	14	4	14	2	6	2	14	3	14	8	15	2	0.0	0.0							
	Mezz.	14	4	14	2	6	2	14	3	14	8	15	2	0.0	0.0							
	Final	14	4	14	2	6	2	14	3	14	8	15	2	0.0	0.0							
101	Iniz.	14	4	14	2	6	2	14	3	14	8	15	2	0.0	0.0							
	Mezz.	14	4	14	2	6	2	14	3	14	8	15	2	0.0	0.0							
	Final	14	4	14	2	6	2	14	3	14	8	15	2	0.0	0.0							
102	Iniz.	14	4	14	2	6	2	14	3	14	8	15	2	0.0	0.0							
	Mezz.	14	4	14	2	6	2	14	3	14	8	15	2	0.0	0.0							
	Final	14	4	14	2	6	2	14	3	14	8	15	2	0.0	0.0							
103	Iniz.	14	4	14	2	6	2	14	3	14	8	15	2	0.0	0.0							
	Mezz.	14	4	14	2	6	2	14	3	14	8	15	2	0.0	0.0							
	Final	14	4	14	2	6	2	14	3	14	8	15	2	0.0	0.0							
104	Iniz.	14	4	14	2	6	2	14	3	14	8	15	2	0.0	0.0							
	Mezz.	14	4	14	2	6	2	14	3	14	8	15	2	0.0	0.0							
	Final	14	4	14	2	6	2	14	3	14	8	15	2	0.0	0.0							
105	Iniz.	14	4	14	2	6	2	14	3	14	8	15	2	0.0	0.0							
	Mezz.	14	4	14	2	6	2	14	3	14	8	15	2	0.0	0.0							
	Final	14	4	14	2	6	2	14	3	14	8	15	2	0.0	0.0							
106	Iniz.	14	4	14	2	6	2	14	3	14	8	15	2	0.0	0.0							
	Mezz.	14	4	14	2	6	2	14	3	14	8	15	2	0.0	0.0							
	Final	14	4	14	2	6	2	14	3	14	8	15	2	0.0	0.0							
107	Iniz.	14	4	14	2	6	2	14	3	14	8	15	2	0.0	0.0							
	Mezz.	14	4	14	2	6	2	14	3	14	8	15	2	0.0	0.0							
	Final	14	4	14	2	6	2	14	3	14	8	15	2	0.0	0.0							
108	Iniz.	14	4	14	2	6	2	14	3	14	8	15	2	0.0	0.0							
	Mezz.	14	4	14	2	6	2	14	3	14	8	15	2	0.0	0.0							
	Final	14	4	14	2	6	2	14	3	14	8	15	2	0.0	0.0							
109	Iniz.	14	4	14	2	6	2	14	3	14	8	15	2	0.0	0.0							
	Mezz.	14	4	14	2	6	2	14	3	14	8	15	2	0.0	0.0							
	Final	14	4	14	2	6	2	14	3	14	8	15	2	0.0	0.0							
110	Iniz.	14	4	14	2	6	2	14	3	14	8	15	2	0.0	0.0							
	Mezz.	14	4	14	2	6	2	14	3	14	8	15	2	0.0	0.0							
	Final	14	4	14	2	6	2	14	3	14	8	15	2	0.0	0.0							

Dott. Ing. Lucio D'Angelo - Piazza del Popolo 24 - 63073 Offida (AP)

SOFTWARE: C.D.S. - Full - Rel.2017 - Lic. Nro: 35224

Tabulati di calcolo – Palazzo Magnalbò

DATI ARMATURE ASTE3D - SEZIONE A 'T'																							
ASTE IN C.A. CON SEZIONE A 'T'																							
IDENTIFICATI		ARMATURE DI INPUT													AGGIUNTIVE		RINFORZO IN FRP						
Asta Num.	Con cio	FiSp mm	NFer Sup.	FiSu mm	NFerr InfSx	NFerr InfCe	NFerr InfDx	FiInf mm	NFerr Paret	FiPar mm	FiSta mm	PsSta cm	Brac Y	AfSup cmq	AfInf cmq	Mat. N.ro	Lung cm	Rag. mm	Num Avv	Nod Con	Condiz. Ambient	SpSol cm	
	Final	14	4	14	2	6	2	14	3	14	8	15	2	0.0	0.0								
111	Iniz.	14	4	14	2	6	2	14	3	14	8	15	2	0.0	0.0								
	Mezz.	14	4	14	2	6	2	14	3	14	8	15	2	0.0	0.0								
	Final	14	4	14	2	6	2	14	3	14	8	15	2	0.0	0.0								
112	Iniz.	14	4	14	2	6	2	14	3	14	8	15	2	0.0	0.0								
	Mezz.	14	4	14	2	6	2	14	3	14	8	15	2	0.0	0.0								
	Final	14	4	14	2	6	2	14	3	14	8	15	2	0.0	0.0								
747	Iniz.	14	1	14	0	1	3	14	3	14	8	20	2	0.0	0.0		2	0	100	20	NO	NO	0
	Mezz.	14	1	14	0	1	3	14	3	14	8	20	2	0.0	0.0								
	Final	14	1	14	0	1	3	14	3	14	8	20	2	0.0	0.0								
748	Iniz.	14	1	14	0	1	3	14	3	14	8	20	2	0.0	0.0								
	Mezz.	14	1	14	0	1	3	14	3	14	8	20	2	0.0	0.0								
	Final	14	1	14	0	1	3	14	3	14	8	20	2	0.0	0.0								
785	Iniz.	14	1	14	0	1	3	14	3	14	8	20	2	0.0	0.0								
	Mezz.	14	1	14	0	1	3	14	3	14	8	20	2	0.0	0.0								
	Final	14	1	14	0	1	3	14	3	14	8	20	2	0.0	0.0								
786	Iniz.	14	1	14	0	1	3	14	3	14	8	20	2	0.0	0.0								
	Mezz.	14	1	14	0	1	3	14	3	14	8	20	2	0.0	0.0								
	Final	14	1	14	0	1	3	14	3	14	8	20	2	0.0	0.0								
787	Iniz.	14	1	14	0	1	3	14	3	14	8	20	2	0.0	0.0								
	Mezz.	14	1	14	0	1	3	14	3	14	8	20	2	0.0	0.0								
	Final	14	1	14	0	1	3	14	3	14	8	20	2	0.0	0.0								
788	Iniz.	14	1	14	0	1	3	14	3	14	8	20	2	0.0	0.0								
	Mezz.	14	1	14	0	1	3	14	3	14	8	20	2	0.0	0.0								
	Final	14	1	14	0	1	3	14	3	14	8	20	2	0.0	0.0								
791	Iniz.	14	1	14	0	1	3	14	3	14	8	20	2	0.0	0.0								
	Mezz.	14	1	14	0	1	3	14	3	14	8	20	2	0.0	0.0								
	Final	14	1	14	0	1	3	14	3	14	8	20	2	0.0	0.0								
792	Iniz.	14	1	14	0	1	3	14	3	14	8	20	2	0.0	0.0								
	Mezz.	14	1	14	0	1	3	14	3	14	8	20	2	0.0	0.0								
	Final	14	1	14	0	1	3	14	3	14	8	20	2	0.0	0.0								
793	Iniz.	14	1	14	0	1	3	14	3	14	8	20	2	0.0	0.0								
	Mezz.	14	1	14	0	1	3	14	3	14	8	20	2	0.0	0.0								
	Final	14	1	14	0	1	3	14	3	14	8	20	2	0.0	0.0								
794	Iniz.	14	1	14	0	1	3	14	3	14	8	20	2	0.0	0.0								
	Mezz.	14	1	14	0	1	3	14	3	14	8	20	2	0.0	0.0								
	Final	14	1	14	0	1	3	14	3	14	8	20	2	0.0	0.0								
795	Iniz.	14	1	14	0	1	3	14	3	14	8	20	2	0.0	0.0								
	Mezz.	14	1	14	0	1	3	14	3	14	8	20	2	0.0	0.0								
	Final	14	1	14	0	1	3	14	3	14	8	20	2	0.0	0.0								
796	Iniz.	14	1	14	0	1	3	14	3	14	8	20	2	0.0	0.0								
	Mezz.	14	1	14	0	1	3	14	3	14	8	20	2	0.0	0.0								
	Final	14	1	14	0	1	3	14	3	14	8	20	2	0.0	0.0								
797	Iniz.	14	1	14	0	1	3	14	3	14	8	20	2	0.0	0.0								
	Mezz.	14	1	14	0	1	3	14	3	14	8	20	2	0.0	0.0								
	Final	14	1	14	0	1	3	14	3	14	8	20	2	0.0	0.0								
798	Iniz.	14	1	14	0	1	3	14	3	14	8	20	2	0.0	0.0								
	Mezz.	14	1	14	0	1	3	14	3	14	8	20	2	0.0	0.0								
	Final	14	1	14	0	1	3	14	3	14	8	20	2	0.0	0.0								
799	Iniz.	14	1	14	0	1	3	14	3	14	8	20	2	0.0	0.0								
	Mezz.	14	1	14	0	1	3	14	3	14	8	20	2	0.0	0.0								
	Final	14	1	14	0	1	3	14	3	14	8	20	2	0.0	0.0								
800	Iniz.	14	1	14	0	1	3	14	3	14	8	20	2	0.0	0.0								
	Mezz.	14	1	14	0	1	3	14	3	14	8	20	2	0.0	0.0								
	Final	14	1	14	0	1	3	14	3	14	8	20	2	0.0	0.0								
801	Iniz.	14	1	14	0	1	3	14	3	14	8	20	2	0.0	0.0								
	Mezz.	14	1	14	0	1	3	14	3	14	8	20	2	0.0	0.0								
	Final	14	1	14	0	1	3	14	3	14	8	20	2	0.0	0.0								

Dott. Ing. Lucio D'Angelo - Piazza del Popolo 24 - 63073 Offida (AP)

SOFTWARE: C.D.S. - Full - Rel.2017 - Lic. Nro: 35224

Tabulati di calcolo – Palazzo Magnalbò

DATI ARMATURE ASTE3D - SEZIONE A 'T'																						
ASTE IN C.A. CON SEZIONE A 'T'																						
IDENTIFICATI		ARMATURE DI INPUT												AGGIUNTIVE		RINFORZO IN FRP						
Asta Num.	Con cio	FiSp mm	NFer Sup.	FiSu mm	NFerr InfSx	NFerr InfCe	NFerr InfDx	FiInf mm	NFerr Paret	FiPar mm	FiSta mm	PsSta cm	Brac Y	AfSup cmq	AfInf cmq	Mat. N.ro	Lung cm	Rag. mm	Num Avv	Nod Con	Condiz. Ambient	SpSol cm
802	Iniz.	14	1	14	0	1	3	14	3	14	8	20	2	0.0	0.0							
	Mezz.	14	1	14	0	1	3	14	3	14	8	20	2	0.0	0.0							
	Final	14	1	14	0	1	3	14	3	14	8	20	2	0.0	0.0							
803	Iniz.	14	1	14	0	1	3	14	3	14	8	20	2	0.0	0.0							
	Mezz.	14	1	14	0	1	3	14	3	14	8	20	2	0.0	0.0							
	Final	14	1	14	0	1	3	14	3	14	8	20	2	0.0	0.0							
804	Iniz.	14	1	14	0	1	3	14	3	14	8	20	2	0.0	0.0							
	Mezz.	14	1	14	0	1	3	14	3	14	8	20	2	0.0	0.0							
	Final	14	1	14	0	1	3	14	3	14	8	20	2	0.0	0.0							
805	Iniz.	14	1	14	0	1	3	14	3	14	8	20	2	0.0	0.0							
	Mezz.	14	1	14	0	1	3	14	3	14	8	20	2	0.0	0.0							
	Final	14	1	14	0	1	3	14	3	14	8	20	2	0.0	0.0							
806	Iniz.	14	1	14	0	1	3	14	3	14	8	20	2	0.0	0.0							
	Mezz.	14	1	14	0	1	3	14	3	14	8	20	2	0.0	0.0							
	Final	14	1	14	0	1	3	14	3	14	8	20	2	0.0	0.0							
807	Iniz.	14	1	14	0	1	3	14	3	14	8	20	2	0.0	0.0							
	Mezz.	14	1	14	0	1	3	14	3	14	8	20	2	0.0	0.0							
	Final	14	1	14	0	1	3	14	3	14	8	20	2	0.0	0.0							
808	Iniz.	14	1	14	0	1	3	14	3	14	8	20	2	0.0	0.0							
	Mezz.	14	1	14	0	1	3	14	3	14	8	20	2	0.0	0.0							
	Final	14	1	14	0	1	3	14	3	14	8	20	2	0.0	0.0							
809	Iniz.	14	1	14	0	1	3	14	3	14	8	20	2	0.0	0.0							
	Mezz.	14	1	14	0	1	3	14	3	14	8	20	2	0.0	0.0							
	Final	14	1	14	0	1	3	14	3	14	8	20	2	0.0	0.0							

DATI ARMATURE ASTE3D - SEZIONE CIRCOLARE												
ASTE IN C.A. CON SEZIONE CIRCOLARE												
IDENTIFICATIVO		ARMATURE DI INPUT				RINFORZO IN FRP						
Asta Num.	Concio	FiFer mm	NFerr Long.	FiSta mm	PsSta cm	Mater Nro	Lungh cm	Rag. mm	Num. Avv.	Nodo Conf	Condiz. Ambient.	SpSol cm
126	Iniz.	14	8	8	12							
	Mezz.											
	Finale	14	8	8	12							
127	Iniz.	14	8	8	12							
	Mezz.											
	Finale	14	8	8	12							
128	Iniz.	14	8	8	12							
	Mezz.											
	Finale	14	8	8	12							
129	Iniz.	14	8	8	12							
	Mezz.											
	Finale	14	8	8	12							
130	Iniz.	14	8	8	12							
	Mezz.											
	Finale	14	8	8	12							
407	Iniz.	14	8	8	12							
	Mezz.											
	Finale	14	8	8	12							

DATI ARMATURE ASTE3D - SEZIONE CIRCOLARE

ASTE IN C.A. CON SEZIONE CIRCOLARE

IDENTIFICATIVO		ARMATURE DI INPUT				RINFORZO IN FRP						
Asta Num.	Concio	FiFer mm	NFerr Long.	FiSta mm	PsSta cm	Mater Nro	Lungh cm	Rag. mm	Num. Avv.	Nodo Conf	Condiz. Ambient.	SpSol cm
408	Iniz.	14	8	8	12							
	Mezz. Finale	14	8	8	12							
409	Iniz.	14	8	8	12							
	Mezz. Finale	14	8	8	12							
410	Iniz.	14	8	8	12							
	Mezz. Finale	14	8	8	12							
411	Iniz.	14	8	8	12							
	Mezz. Finale	14	8	8	12							
613	Iniz.	14	8	8	12							
	Mezz. Finale	14	8	8	12							
614	Iniz.	14	8	8	12							
	Mezz. Finale	14	8	8	12							
615	Iniz.	14	8	8	12							
	Mezz. Finale	14	8	8	12							
616	Iniz.	14	8	8	12							
	Mezz. Finale	14	8	8	12							
617	Iniz.	14	8	8	12							
	Mezz. Finale	14	8	8	12							
891	Iniz.	14	8	8	12							
	Mezz. Finale	14	8	8	12							
892	Iniz.	14	8	8	12							
	Mezz. Finale	14	8	8	12							
893	Iniz.	14	8	8	12							
	Mezz. Finale	14	8	8	12							
894	Iniz.	14	8	8	12							

DATI ARMATURE ASTE3D - SEZIONE CIRCOLARE

ASTE IN C.A. CON SEZIONE CIRCOLARE

IDENTIFICATIVO		ARMATURE DI INPUT				RINFORZO IN FRP						
Asta Num.	Concio	FiFer mm	NFerr Long.	FiSta mm	PsSta cm	Mater Nro	Lungh cm	Rag. mm	Num. Avv.	Nodo Conf	Condiz. Ambient.	SpSol cm
	Mezz. Finale	14	8	8	12							

• SPECIFICHE CAMPI TABELLA DI STAMPA PUSH-OVER

Numero d'ordine della PushOver	: Tipo di distribuzione delle forze orizzontali utilizzate nell'analisi.
Angolo Ingr. Sisma (Grd)	: Angolo di ingresso del sisma della PushOver.
Numero collassi totali	: Numero di elementi che hanno raggiunto la condizione di collasso al termine dell'analisi.
Numero passo Resist.Max.	: Numero del passo a cui corrisponde il picco massimo del taglio alla base nella curva di capacità.
Numero passi significativi	: Numero dei passi significativi alla fine dell'analisi.
Massa SDOF, (t)	: Massa totale del sistema equivalente.
Taglio alla base max., (t)	: Tagliante massimo alla base della struttura reale.
Coeff. Partecipazione	: Coefficiente di partecipazione relativo alla distribuzione di forze orizzontali utilizzate nell'analisi della PushOver.
Resistenza SDOF, (t)	: Resistenza allo snervamento del sistema ad un grado di libertà equivalente.
Rigidezza SDOF, (t/m)	: Rigidezza all'origine del sistema ad un grado di libertà equivalente.
Spostam. Snervam. SDOF, (mm)	: Spostamento a cui corrisponde lo snervamento del sistema ad un grado di libertà equivalente.
Periodo SDOF, (sec)	: Periodo proprio del sistema ad un grado di libertà equivalente.
Rapporto di incrudimento	: Rapporto tra la rigidezza incrudente e la rigidezza all'origine del sistema ad un grado di libertà equivalente. Per un sistema elastico perfettamente plastico tale rapporto vale sempre 0.
Rapporto Alfau/alfa1	: Rapporto tra il tagliante ultimo e il tagliante a cui corrisponde la formazione della prima cerniera plastica. Per le strutture esistenti tale valore può assumere valori molto alti in quanto per bassi valori di forze orizzontali spesso viene raggiunto il limite elastico in qualche sezione.
Fattore struttura	: Fattore di struttura (q) calcolato a posteriori in funzione delle effettive risorse anelastiche della struttura.
Coeff Smorzam.Equival.	: Coefficiente di smorzamento di un oscillatore elasto-viscoso che dissipa per viscosità la stessa energia della struttura.
Duttilità	: Duttilità misurata sul legame bilatero del sistema elasto-plastico equivalente come rapporto tra lo spostamento ultimo (fine del tratto orizzontale) e lo spostamento al limite elastico (inizio tratto orizzontale).

Per ogni stato limite richiesto, la frase “MECCANISMI CONSIDERATI NELL'ANALISI” significa:

Con Flag di post-verifica = NO	: Considera nell'analisi al passo non lineare sia i meccanismi fragili attivati che quelli duttili.
Con Flag di post-verifica = SI	: Verifica a posteriori dei meccanismi fragili in corrispondenza dei passi della curva di capacità precedentemente valutata per il solo comportamento duttile. I risultati relativi ai soli meccanismi fragili sono riportati in una apposita tabella.

Spostamento	: Domanda/Capacità dello spostamento relativo allo stato limite.
S.L.x	: Flag riassuntivo della verifica effettuata per i meccanismi considerati nell'analisi.
PgaLx/g	: Valore della PGA limite corrispondente alla prestazione definita per lo stato limite considerato e per i meccanismi considerati nell'analisi.
q*	: Rapporto tra la domanda elastica di tagliante alla base e la resistenza del sistema SDOF equivalente. Viene utilizzato solo per le strutture in muratura in qual caso non può superare il valore 3.
Numero passo precedente	: Numero passo precedente al punto della curva per cui si raggiunge la capacità rispetto alla prestazione definita per lo stato limite e per i soli meccanismi considerati nell'analisi.
PgaLx/Pga y%	: Rapporto tra la PGA limite e la PGA al bedrock del sisma atteso nel sito con la probabilità prevista per lo stato limite corrispondente.
Asta3D Nro	: Numerazione 3D dell'asta in cui si raggiunge la prestazione definita per lo stato limite e per i soli meccanismi considerati nell'analisi.
TrCLx	: Valore del periodo di ritorno corrispondente all'evento sismico che provoca il raggiungimento della capacità per lo stato limite considerato e per i soli meccanismi considerati nell'analisi.
(TrCLx/TDLx)^a	: Rapporto tra il periodo di ritorno del sisma a cui corrisponde il raggiungimento della capacità ed il periodo di ritorno del sisma atteso nel sito con la probabilità prevista per lo stato limite corrispondente. L'esponente a vale 0,41 come previsto dalle linee guida nazionali.

DATI STAMPATI PER LE TABELLE AUSILIARIE

Push. nro	: Numero della PushOver.
PRIMO COLLASSO	: Dati relativi ai meccanismi fragili per gli elementi in calcestruzzo armato del Nodo e del Taglio.
TrCLC	: Valore del periodo di ritorno corrispondente all'evento sismico che provoca il raggiungimento della capacità per lo stato limite di collasso del Nodo/Taglio.
PgaLC/g	: Valore della PGA corrispondente all'evento sismico che provoca il raggiungimento della capacità per lo stato limite di collasso Nodo/Taglio.
Resistenza nel Piano di un pannello in muratura	: Indicatori di capacità relativi alla prestazione di raggiungimento della resistenza nel piano del primo pannello in muratura.
TrCLV	: Valore del periodo di ritorno corrispondente all'evento sismico che provoca il raggiungimento della capacità per lo stato limite di Salvaguardia della Vita. Prestazione definita dal raggiungimento della resistenza nel piano del primo pannello in muratura.
PgaLV/g	: Valore della PGA corrispondente all'evento sismico che provoca il raggiungimento della capacità per lo stato limite di Salvaguardia della Vita. Prestazione definita dal raggiungimento della resistenza nel piano del primo pannello in muratura.
VERIFICA MECCANISMI FRAGILI STRUTTURE IN C.A.	: Viene stampata la condizione di VERIFICATA/NON VERIFICATA. Nel caso non venga stampato nulla significa che la verifica effettuata a posteriori sulla curva di capacità determinata con l'analisi non lineare tenendo conto del solo comportamento duttile non è stata in grado di individuare alcun meccanismo fragile per cui è necessario ripetere l'analisi tenendo in conto i meccanismi fragili e settando il dato Push+PostVer. = No .

RISULTATI GENERALI PUSH-OVER

MECCANISMI DI COLLASSO CONSIDERATI NELLA ANALISI PUSH-OVER

- Analisi con meccanismi DUTTILI E FRAGILI
- NESSUNA modalita' di collasso considerata per il nodo in CLS
- Collasso a taglio considerato su TUTTE le aste in CLS
- Collasso per ripresa di getto IGNORATA
- Effetti P-Delta IGNORATI
- DISTRIBUZIONI FORZE SECONDO DEFORMATA MODALE: Proporzionale al Primo Modo

RISULTATI GENERALI PUSH-OVER

PUSH-OVER N.ro	1	-	DISTRIB. FORZE SECONDO DEFORMATA MODALE +Ecc5%	
Angolo Ingr. Sisma (Grd)	0		Numero collassi totali	1
Numero passo Resist.Max.	105		Numero passi significativi	105
Massa SDOF (t)	944.25		Taglio alla base max. (t)	243.01
Coeff. Partecipazione	1.27		Resistenza SDOF (t)	185.23
Rigidezza SDOF (t/m)	11565.08		Spostam. Snervam. SDOF mm	16
Periodo SDOF (sec)	0.57		Rapporto di incrudimento	0.000
Rapporto Alfau/alfa1	36774.348		Fattore struttura	1.497
Coeff Smorzam.Equival.	15.000		Duttilita	1.497
STATO LIMITE DI DANNO				
DOMANDA			CAPACITA'	
Spostamento mm	11.933		Spostamento mm	16.969
S.L. Danno	VERIFICATO		Numero passo precedente	90
PgaLD/g	0.093		PgaLD/Pga 63%	1.328
			PgaLD/Pga 63% > 0.60 (60%)	VERIFICA
Rapporto q*=Fe/Fy	0.75		Asta3D Nro	
Vita Residua (anni)	93.000		TrCLD	94.000
-----			(TrCLD/TDLD)^a	1.297
STATO LIMITE DI SALVAGUARDIA DELLA VITA				
DOMANDA			CAPACITA'	
Spostamento mm	34.235		Spostamento mm	23.977
S.L. Salvaguardia Vita	NON VERIFICA		Numero passo precedente	105
PgaLV/g	0.128		PgaLV/Pga 10%	0.725
			PgaLV/Pga 10% > 0.60 (60%)	VERIFICA
Rapporto q*=Fe/Fy	2.14		Asta3D Nro	
Vita Residua (anni)	21.000		TrCLV	201.000
-----			(TrCLV/TDLV)^a	0.702

RISULTATI GENERALI PUSH-OVER

PUSH-OVER N.ro	2	-	DISTRIB. FORZE SECONDO DEFORMATA MODALE +Ecc5%	
Angolo Ingr. Sisma (Grd)	180		Numero collassi totali	1
Numero passo Resist.Max.	96		Numero passi significativi	96
Massa SDOF (t)	944.25		Taglio alla base max. (t)	226.42
Coeff. Partecipazione	1.27		Resistenza SDOF (t)	175.26
Rigidezza SDOF (t/m)	11896.17		Spostam. Snervam. SDOF mm	15
Periodo SDOF (sec)	0.57		Rapporto di incrudimento	0.000
Rapporto Alfau/alfa1	35174.863		Fattore struttura	1.410
Coeff Smorzam.Equival.	14.000		Duttilita	1.410
STATO LIMITE DI DANNO				
DOMANDA			CAPACITA'	
Spostamento mm	11.765		Spostamento mm	18.133
S.L. Danno	VERIFICATO		Numero passo precedente	90
PgaLD/g	0.100		PgaLD/Pga 63%	1.432

Risultati Push-Over – Palazzo Magnalbò

Rapporto $q^*=F_e/F_y$ Vita Residua (anni) -----	0.80 111.000	PgaLD/Pga 63% > 0.60 (60%) Asta3D Nro TrCLD (TrCLD/TDLD)^a	VERIFICA 112.000 1.394
STATO LIMITE DI SALVAGUARDIA DELLA VITA			
DOMANDA		CAPACITA'	
Spostamento mm S.L. Salvaguardia Vita	33.756 NON VERIFICA	Spostamento mm Numero passo precedente	20.775 96
PgaLV/g	0.114	PgaLV/Pga 10% PgaLV/Pga 10% > 0.60 (60%)	0.649 VERIFICA
Rapporto $q^*=F_e/F_y$ Vita Residua (anni) -----	2.29 16.000	Asta3D Nro TrCLV (TrCLV/TDLV)^a	153.000 0.627

RISULTATI GENERALI PUSH-OVER

PUSH-OVER N.ro	3	-	DISTRIB. FORZE SECONDO DEFORMATATA MODALE +Ecc5%
Angolo Ingr. Sisma (Grd)	90	Numero collassi totali	1
Numero passo Resist.Max.	107	Numero passi significativi	107
Massa SDOF (t)	959.38	Taglio alla base max. (t)	238.73
Coeff. Partecipazione	1.27	Resistenza SDOF (t)	184.20
Rigidezza SDOF (t/m)	13139.74	Spostam. Snervam. SDOF mm	14
Periodo SDOF (sec)	0.54	Rapporto di incrudimento	0.000
Rapporto Alfau/alfa1	558.485	Fattore struttura	1.628
Coeff Smorzam.Equival.	17.000	Duttilita	1.628
STATO LIMITE DI DANNO			
DOMANDA		CAPACITA'	
Spostamento mm S.L. Danno	11.284 VERIFICATO	Spostamento mm Numero passo precedente	20.171 102
PgaLD/g	0.115	PgaLD/Pga 63% PgaLD/Pga 63% > 0.60 (60%)	1.648 VERIFICA
Rapporto $q^*=F_e/F_y$ Vita Residua (anni) -----	0.80 156.000	Asta3D Nro TrCLD (TrCLD/TDLD)^a	157.000 1.601
STATO LIMITE DI SALVAGUARDIA DELLA VITA			
DOMANDA		CAPACITA'	
Spostamento mm S.L. Salvaguardia Vita	32.375 NON VERIFICA	Spostamento mm Numero passo precedente	22.823 107
PgaLV/g	0.128	PgaLV/Pga 10% PgaLV/Pga 10% > 0.60 (60%)	0.729 VERIFICA
Rapporto $q^*=F_e/F_y$ Vita Residua (anni) -----	2.31 21.000	Asta3D Nro TrCLV (TrCLV/TDLV)^a	204.000 0.706

RISULTATI GENERALI PUSH-OVER

PUSH-OVER N.ro	4	-	DISTRIB. FORZE SECONDO DEFORMATATA MODALE +Ecc5%
Angolo Ingr. Sisma (Grd)	270	Numero collassi totali	1
Numero passo Resist.Max.	103	Numero passi significativi	103
Massa SDOF (t)	959.38	Taglio alla base max. (t)	241.23
Coeff. Partecipazione	1.27	Resistenza SDOF (t)	185.30
Rigidezza SDOF (t/m)	13352.49	Spostam. Snervam. SDOF mm	14
Periodo SDOF (sec)	0.54	Rapporto di incrudimento	0.000
Rapporto Alfau/alfa1	18302.439	Fattore struttura	1.639
Coeff Smorzam.Equival.	17.000	Duttilita	1.639
STATO LIMITE DI DANNO			

Risultati Push-Over – Palazzo Magalibò

D O M A N D A		C A P A C I T A'	
Spostamento mm	11.194	Spostamento mm	19.640
S.L. Danno	VERIFICATO	Numero passo precedente	98
PgaLD/g	0.114	PgaLD/Pga 63%	1.622
		PgaLD/Pga 63% > 0.60 (60%)	VERIFICA
Rapporto $q^*=F_e/F_y$	0.81	Asta3D Nro	
Vita Residua (anni)	150.000	TrCLD	151.000
-----		(TrCLD/TDLD)^a	1.576
S T A T O L I M I T E D I S A L V A G U A R D I A D E L L A V I T A			
D O M A N D A		C A P A C I T A'	
Spostamento mm	32.116	Spostamento mm	22.746
S.L. Salvaguardia Vita	NON VERIFICA	Numero passo precedente	103
PgaLV/g	0.129	PgaLV/Pga 10%	0.731
		PgaLV/Pga 10% > 0.60 (60%)	VERIFICA
Rapporto $q^*=F_e/F_y$	2.31	Asta3D Nro	
Vita Residua (anni)	22.000	TrCLV	206.000
-----		(TrCLV/TDLV)^a	0.709

RISULTATI GENERALI PUSH-OVER

PUSH-OVER N.ro	5	-	DISTRIB. FORZE PROPORZIONALE ALLE MASSE +Ecc5%
Angolo Ingr. Sisma (Grd)	0		Numero collassi totali
Numero passo Resist.Max.	103		Numero passi significativi
Massa SDOF (t)	1336.42		Taglio alla base max. (t)
Coeff. Partecipazione	1.00		Resistenza SDOF (t)
Rigidezza SDOF (t/m)	13300.25		Spostam. Snervam. SDOF mm
Periodo SDOF (sec)	0.64		Rapporto di incrudimento
Rapporto Alfau/alfa1	35889.285		Fattore struttura
Coeff Smorzam.Equival.	15.000		Duttilita
S T A T O L I M I T E D I D A N N O			
D O M A N D A		C A P A C I T A'	
Spostamento mm	13.238	Spostamento mm	20.687
S.L. Danno	VERIFICATO	Numero passo precedente	89
PgaLD/g	0.102	PgaLD/Pga 63%	1.453
		PgaLD/Pga 63% > 0.60 (60%)	VERIFICA
Rapporto $q^*=F_e/F_y$	0.68	Asta3D Nro	
Vita Residua (anni)	115.000	TrCLD	116.000
-----		(TrCLD/TDLD)^a	1.414
S T A T O L I M I T E D I S A L V A G U A R D I A D E L L A V I T A			
D O M A N D A		C A P A C I T A'	
Spostamento mm	37.979	Spostamento mm	29.074
S.L. Salvaguardia Vita	NON VERIFICA	Numero passo precedente	103
PgaLV/g	0.138	PgaLV/Pga 10%	0.785
		PgaLV/Pga 10% > 0.60 (60%)	VERIFICA
Rapporto $q^*=F_e/F_y$	1.96	Asta3D Nro	
Vita Residua (anni)	26.000	TrCLV	248.000
-----		(TrCLV/TDLV)^a	0.765

RISULTATI GENERALI PUSH-OVER

PUSH-OVER N.ro	6	-	DISTRIB. FORZE PROPORZIONALE ALLE MASSE +Ecc5%
Angolo Ingr. Sisma (Grd)	180		Numero collassi totali
Numero passo Resist.Max.	101		Numero passi significativi
Massa SDOF (t)	1336.42		Taglio alla base max. (t)
Coeff. Partecipazione	1.00		Resistenza SDOF (t)
Rigidezza SDOF (t/m)	13783.55		Spostam. Snervam. SDOF mm

Risultati Push-Over – Palazzo Magalibò

Periodo SDOF (sec)	0.62	Rapporto di incrudimento	0.000
Rapporto Alfau/alfa1	33850.859	Fattore struttura	1.373
Coeff Smorzam.Equival.	13.000	Duttilita	1.373
STATO LIMITE DI DANNO			
DOMANDA		CAPACITA'	
Spostamento mm	13.003	Spostamento mm	22.159
S.L. Danno	VERIFICATO	Numero passo precedente	96
PgaLD/g	0.111	PgaLD/Pga 63%	1.582
		PgaLD/Pga 63% > 0.60 (60%)	VERIFICA
Rapporto $q^*=F_e/F_y$	0.73	Asta3D Nro	
Vita Residua (anni)	141.000	TrCLD	142.000
-----		(TrCLD/TDLD)^a	1.537
STATO LIMITE DI SALVAGUARDIA DELLA VITA			
DOMANDA		CAPACITA'	
Spostamento mm	37.307	Spostamento mm	24.514
S.L. Salvaguardia Vita	NON VERIFICA	Numero passo precedente	101
PgaLV/g	0.121	PgaLV/Pga 10%	0.687
		PgaLV/Pga 10% > 0.60 (60%)	VERIFICA
Rapporto $q^*=F_e/F_y$	2.09	Asta3D Nro	
Vita Residua (anni)	19.000	TrCLV	176.000
-----		(TrCLV/TDLV)^a	0.665

RISULTATI GENERALI PUSH-OVER

PUSH-OVER N.ro	7 -	DISTRIB. FORZE PROPORZIONALE ALLE MASSE +Ecc5%	
Angolo Ingr. Sisma (Grd)	90	Numero collassi totali	1
Numero passo Resist.Max.	110	Numero passi significativi	110
Massa SDOF (t)	1336.42	Taglio alla base max. (t)	262.40
Coeff. Partecipazione	1.00	Resistenza SDOF (t)	256.55
Rigidezza SDOF (t/m)	14869.27	Spostam. Snervam. SDOF mm	17
Periodo SDOF (sec)	0.60	Rapporto di incrudimento	0.000
Rapporto Alfau/alfa1	865.113	Fattore struttura	1.651
Coeff Smorzam.Equival.	17.000	Duttilita	1.651
STATO LIMITE DI DANNO			
DOMANDA		CAPACITA'	
Spostamento mm	12.520	Spostamento mm	23.812
S.L. Danno	VERIFICATO	Numero passo precedente	102
PgaLD/g	0.122	PgaLD/Pga 63%	1.738
		PgaLD/Pga 63% > 0.60 (60%)	VERIFICA
Rapporto $q^*=F_e/F_y$	0.73	Asta3D Nro	
Vita Residua (anni)	178.000	TrCLD	179.000
-----		(TrCLD/TDLD)^a	1.690
STATO LIMITE DI SALVAGUARDIA DELLA VITA			
DOMANDA		CAPACITA'	
Spostamento mm	35.920	Spostamento mm	28.490
S.L. Salvaguardia Vita	NON VERIFICA	Numero passo precedente	110
PgaLV/g	0.143	PgaLV/Pga 10%	0.811
		PgaLV/Pga 10% > 0.60 (60%)	VERIFICA
Rapporto $q^*=F_e/F_y$	2.08	Asta3D Nro	
Vita Residua (anni)	28.000	TrCLV	270.000
-----		(TrCLV/TDLV)^a	0.793

RISULTATI GENERALI PUSH-OVER

PUSH-OVER N.ro	8 -	DISTRIB. FORZE PROPORZIONALE ALLE MASSE +Ecc5%	
Angolo Ingr. Sisma (Grd)	270	Numero collassi totali	1

Risultati Push-Over – Palazzo Magnalbò

Numero passo Resist.Max.	113	Numero passi significativi	113
Massa SDOF (t)	1336.42	Taglio alla base max. (t)	261.80
Coeff. Partecipazione	1.00	Resistenza SDOF (t)	256.72
Rigidezza SDOF (t/m)	15144.32	Spostam. Snervam. SDOF mm	17
Periodo SDOF (sec)	0.60	Rapporto di incrudimento	0.000
Rapporto Alfau/alfa1	18775.383	Fattore struttura	1.603
Coeff Smorzam.Equival.	16.000	Duttilita	1.603
STATO LIMITE DI DANNO			
DOMANDA		CAPACITA'	
Spostamento mm	12.406	Spostamento mm	23.225
S.L. Danno	VERIFICATO	Numero passo precedente	108
PgaLD/g	0.120	PgaLD/Pga 63%	1.714
		PgaLD/Pga 63% > 0.60 (60%)	VERIFICA
Rapporto q*=Fe/Fy	0.73	Asta3D Nro	
Vita Residua (anni)	172.000	TrCLD	173.000
-----		(TrCLD/TDLD)^a	1.667
STATO LIMITE DI SALVAGUARDIA DELLA VITA			
DOMANDA		CAPACITA'	
Spostamento mm	35.592	Spostamento mm	27.177
S.L. Salvaguardia Vita	NON VERIFICA	Numero passo precedente	113
PgaLV/g	0.138	PgaLV/Pga 10%	0.784
		PgaLV/Pga 10% > 0.60 (60%)	VERIFICA
Rapporto q*=Fe/Fy	2.10	Asta3D Nro	
Vita Residua (anni)	26.000	TrCLV	247.000
-----		(TrCLV/TDLV)^a	0.764

RISULTATI GENERALI PUSH-OVER

PUSH-OVER N.ro	9	DISTRIB. FORZE SECONDO DEFORMATA MODALE -Ecc5%	
Angolo Ingr. Sisma (Grd)	0	Numero collassi totali	1
Numero passo Resist.Max.	110	Numero passi significativi	110
Massa SDOF (t)	944.25	Taglio alla base max. (t)	240.39
Coeff. Partecipazione	1.27	Resistenza SDOF (t)	183.36
Rigidezza SDOF (t/m)	11653.11	Spostam. Snervam. SDOF mm	16
Periodo SDOF (sec)	0.57	Rapporto di incrudimento	0.000
Rapporto Alfau/alfa1	36991.922	Fattore struttura	1.480
Coeff Smorzam.Equival.	15.000	Duttilita	1.480
STATO LIMITE DI DANNO			
DOMANDA		CAPACITA'	
Spostamento mm	11.888	Spostamento mm	16.904
S.L. Danno	VERIFICATO	Numero passo precedente	92
PgaLD/g	0.093	PgaLD/Pga 63%	1.328
		PgaLD/Pga 63% > 0.60 (60%)	VERIFICA
Rapporto q*=Fe/Fy	0.76	Asta3D Nro	
Vita Residua (anni)	93.000	TrCLD	94.000
-----		(TrCLD/TDLD)^a	1.297
STATO LIMITE DI SALVAGUARDIA DELLA VITA			
DOMANDA		CAPACITA'	
Spostamento mm	34.106	Spostamento mm	23.286
S.L. Salvaguardia Vita	NON VERIFICA	Numero passo precedente	110
PgaLV/g	0.125	PgaLV/Pga 10%	0.708
		PgaLV/Pga 10% > 0.60 (60%)	VERIFICA
Rapporto q*=Fe/Fy	2.17	Asta3D Nro	
Vita Residua (anni)	20.000	TrCLV	190.000
-----		(TrCLV/TDLV)^a	0.686

RISULTATI GENERALI PUSH-OVER			
PUSH-OVER N.ro	10 -	DISTRIB. FORZE SECONDO DEFORMATA MODALE -Ecc5%	
Angolo Ingr. Sisma (Grd)	180	Numero collassi totali	1
Numero passo Resist.Max.	95	Numero passi significativi	95
Massa SDOF (t)	944.25	Taglio alla base max. (t)	229.77
Coeff. Partecipazione	1.27	Resistenza SDOF (t)	177.09
Rigidezza SDOF (t/m)	11796.52	Spostam. Snervam. SDOF mm	15
Periodo SDOF (sec)	0.57	Rapporto di incrudimento	0.000
Rapporto Alfau/alfa1	35097.559	Fattore struttura	1.439
Coeff Smorzam.Equival.	14.000	Duttilita	1.439
STATO LIMITE DI DANNO			
DOMANDA		CAPACITA'	
Spostamento mm	11.815	Spostamento mm	18.057
S.L. Danno	VERIFICATO	Numero passo precedente	87
PgaLD/g	0.099	PgaLD/Pga 63%	1.421
		PgaLD/Pga 63% > 0.60 (60%)	VERIFICA
Rapporto q*=Fe/Fy	0.79	Asta3D Nro	
Vita Residua (anni)	109.000	TrCLD	110.000
-----		(TrCLD/TDLD)^a	1.383
STATO LIMITE DI SALVAGUARDIA DELLA VITA			
DOMANDA		CAPACITA'	
Spostamento mm	33.898	Spostamento mm	21.606
S.L. Salvaguardia Vita	NON VERIFICA	Numero passo precedente	95
PgaLV/g	0.118	PgaLV/Pga 10%	0.669
		PgaLV/Pga 10% > 0.60 (60%)	VERIFICA
Rapporto q*=Fe/Fy	2.26	Asta3D Nro	
Vita Residua (anni)	17.000	TrCLV	165.000
-----		(TrCLV/TDLV)^a	0.647

RISULTATI GENERALI PUSH-OVER			
PUSH-OVER N.ro	11 -	DISTRIB. FORZE SECONDO DEFORMATA MODALE -Ecc5%	
Angolo Ingr. Sisma (Grd)	90	Numero collassi totali	1
Numero passo Resist.Max.	103	Numero passi significativi	103
Massa SDOF (t)	959.38	Taglio alla base max. (t)	238.54
Coeff. Partecipazione	1.27	Resistenza SDOF (t)	183.90
Rigidezza SDOF (t/m)	13133.18	Spostam. Snervam. SDOF mm	14
Periodo SDOF (sec)	0.54	Rapporto di incrudimento	0.000
Rapporto Alfau/alfa1	677.100	Fattore struttura	1.622
Coeff Smorzam.Equival.	17.000	Duttilita	1.622
STATO LIMITE DI DANNO			
DOMANDA		CAPACITA'	
Spostamento mm	11.287	Spostamento mm	19.857
S.L. Danno	VERIFICATO	Numero passo precedente	97
PgaLD/g	0.114	PgaLD/Pga 63%	1.626
		PgaLD/Pga 63% > 0.60 (60%)	VERIFICA
Rapporto q*=Fe/Fy	0.81	Asta3D Nro	
Vita Residua (anni)	151.000	TrCLD	152.000
-----		(TrCLD/TDLD)^a	1.580
STATO LIMITE DI SALVAGUARDIA DELLA VITA			
DOMANDA		CAPACITA'	
Spostamento mm	32.383	Spostamento mm	22.713
S.L. Salvaguardia Vita	NON VERIFICA	Numero passo precedente	103
PgaLV/g	0.128	PgaLV/Pga 10%	0.725

Risultati Push-Over – Palazzo Magnalbò

Rapporto $q^*=F_e/F_y$ Vita Residua (anni) -----	2.31 21.000	PgaLV/Pga 10% > 0.60 (60%) Asta3D Nro TrCLV (TrCLV/TDLV)^a	VERIFICA 201.000 0.702
--	----------------	---	----------------------------------

RISULTATI GENERALI PUSH-OVER

PUSH-OVER N.ro	12 -	DISTRIB. FORZE SECONDO DEFORMATA MODALE -Ecc5%	
Angolo Ingr. Sisma (Grd)	270	Numero collassi totali	1
Numero passo Resist.Max.	102	Numero passi significativi	102
Massa SDOF (t)	959.38	Taglio alla base max. (t)	244.49
Coeff. Partecipazione	1.27	Resistenza SDOF (t)	187.14
Rigidezza SDOF (t/m)	13245.86	Spostam. Snervam. SDOF mm	14
Periodo SDOF (sec)	0.54	Rapporto di incrudimento	0.000
Rapporto Alfau/alfa1	19504.957	Fattore struttura	1.668
Coeff Smorzam.Equival.	17.000	Duttilita	1.668
STATO LIMITE DI DANNO			
DOMANDA		CAPACITA'	
Spostamento mm	11.239	Spostamento mm	20.252
S.L. Danno	VERIFICATO	Numero passo precedente	95
PgaLD/g	0.116	PgaLD/Pga 63%	1.661
		PgaLD/Pga 63% > 0.60 (60%)	VERIFICA
Rapporto $q^*=F_e/F_y$ Vita Residua (anni) -----	0.80 159.000	Asta3D Nro TrCLD (TrCLD/TDLV)^a	160.000 1.614
STATO LIMITE DI SALVAGUARDIA DELLA VITA			
DOMANDA		CAPACITA'	
Spostamento mm	32.245	Spostamento mm	23.564
S.L. Salvaguardia Vita	NON VERIFICA	Numero passo precedente	102
PgaLV/g	0.132	PgaLV/Pga 10%	0.752
		PgaLV/Pga 10% > 0.60 (60%)	VERIFICA
Rapporto $q^*=F_e/F_y$ Vita Residua (anni) -----	2.28 23.000	Asta3D Nro TrCLV (TrCLV/TDLV)^a	222.000 0.731

RISULTATI GENERALI PUSH-OVER

PUSH-OVER N.ro	13 -	DISTRIB. FORZE PROPORZIONALE ALLE MASSE -Ecc5%	
Angolo Ingr. Sisma (Grd)	0	Numero collassi totali	1
Numero passo Resist.Max.	106	Numero passi significativi	106
Massa SDOF (t)	1336.42	Taglio alla base max. (t)	262.80
Coeff. Partecipazione	1.00	Resistenza SDOF (t)	255.90
Rigidezza SDOF (t/m)	13371.38	Spostam. Snervam. SDOF mm	19
Periodo SDOF (sec)	0.63	Rapporto di incrudimento	0.000
Rapporto Alfau/alfa1	35410.414	Fattore struttura	1.468
Coeff Smorzam.Equival.	15.000	Duttilita	1.468
STATO LIMITE DI DANNO			
DOMANDA		CAPACITA'	
Spostamento mm	13.202	Spostamento mm	20.534
S.L. Danno	VERIFICATO	Numero passo precedente	91
PgaLD/g	0.101	PgaLD/Pga 63%	1.448
		PgaLD/Pga 63% > 0.60 (60%)	VERIFICA
Rapporto $q^*=F_e/F_y$ Vita Residua (anni) -----	0.69 114.000	Asta3D Nro TrCLD (TrCLD/TDLV)^a	115.000 1.409
STATO LIMITE DI SALVAGUARDIA DELLA VITA			

Risultati Push-Over – Palazzo Magnalbò

D O M A N D A		C A P A C I T A'	
Spostamento mm	37.878	Spostamento mm	28.099
S.L. Salvaguardia Vita	NON VERIFICA	Numero passo precedente	106
PgaLV/g	0.134	PgaLV/Pga 10%	0.763
		PgaLV/Pga 10% > 0.60 (60%)	VERIFICA
Rapporto $q^*=F_e/F_y$	1.98	Asta3D Nro	
Vita Residua (anni)	24.000	TrCLV	230.000
-----		(TrCLV/TDLV)^a	0.742

RISULTATI GENERALI PUSH-OVER

PUSH-OVER N.ro	14 -	DISTRIB. FORZE PROPORZIONALE ALLE MASSE -Ecc5%	
Angolo Ingr. Sisma (Grd)	180	Numero collassi totali	1
Numero passo Resist.Max.	103	Numero passi significativi	103
Massa SDOF (t)	1336.42	Taglio alla base max. (t)	254.49
Coeff. Partecipazione	1.00	Resistenza SDOF (t)	249.54
Rigidezza SDOF (t/m)	13651.70	Spostam. Snervam. SDOF mm	18
Periodo SDOF (sec)	0.63	Rapporto di incrudimento	0.000
Rapporto Alfau/alfa1	34651.520	Fattore struttura	1.428
Coeff Smorzam.Equival.	14.000	Duttilita	1.428
S T A T O L I M I T E D I D A N N O			
D O M A N D A		C A P A C I T A'	
Spostamento mm	13.066	Spostamento mm	22.011
S.L. Danno	VERIFICATO	Numero passo precedente	94
PgaLD/g	0.110	PgaLD/Pga 63%	1.568
		PgaLD/Pga 63% > 0.60 (60%)	VERIFICA
Rapporto $q^*=F_e/F_y$	0.71	Asta3D Nro	
Vita Residua (anni)	138.000	TrCLD	139.000
-----		(TrCLD/TDLD)^a	1.523
S T A T O L I M I T E D I S A L V A G U A R D I A D E L L A V I T A			
D O M A N D A		C A P A C I T A'	
Spostamento mm	37.487	Spostamento mm	26.099
S.L. Salvaguardia Vita	NON VERIFICA	Numero passo precedente	103
PgaLV/g	0.127	PgaLV/Pga 10%	0.720
		PgaLV/Pga 10% > 0.60 (60%)	VERIFICA
Rapporto $q^*=F_e/F_y$	2.05	Asta3D Nro	
Vita Residua (anni)	21.000	TrCLV	198.000
-----		(TrCLV/TDLV)^a	0.698

RISULTATI GENERALI PUSH-OVER

PUSH-OVER N.ro	15 -	DISTRIB. FORZE PROPORZIONALE ALLE MASSE -Ecc5%	
Angolo Ingr. Sisma (Grd)	90	Numero collassi totali	1
Numero passo Resist.Max.	112	Numero passi significativi	112
Massa SDOF (t)	1336.42	Taglio alla base max. (t)	261.60
Coeff. Partecipazione	1.00	Resistenza SDOF (t)	256.30
Rigidezza SDOF (t/m)	14832.51	Spostam. Snervam. SDOF mm	17
Periodo SDOF (sec)	0.60	Rapporto di incrudimento	0.000
Rapporto Alfau/alfa1	586.697	Fattore struttura	1.624
Coeff Smorzam.Equival.	17.000	Duttilita	1.624
S T A T O L I M I T E D I D A N N O			
D O M A N D A		C A P A C I T A'	
Spostamento mm	12.535	Spostamento mm	23.518
S.L. Danno	VERIFICATO	Numero passo precedente	104
PgaLD/g	0.120	PgaLD/Pga 63%	1.718
		PgaLD/Pga 63% > 0.60 (60%)	VERIFICA

Risultati Push-Over – Palazzo Magnalbò

Rapporto $q^*=F_e/F_y$ Vita Residua (anni) -----	0.73 173.000	Asta3D Nro TrCLD (TrCLD/TDLD)^a	174.000 1.671
STATO LIMITE DI SALVAGUARDIA DELLA VITA			
DOMANDA		CAPACITA'	
Spostamento mm S.L. Salvaguardia Vita	35.964 NON VERIFICA	Spostamento mm Numero passo precedente	28.055 112
PgaLV/g	0.140	PgaLV/Pga 10% PgaLV/Pga 10% > 0.60 (60%)	0.798 VERIFICA
Rapporto $q^*=F_e/F_y$ Vita Residua (anni) -----	2.08 27.000	Asta3D Nro TrCLV (TrCLV/TDLV)^a	259.000 0.779

RISULTATI GENERALI PUSH-OVER

PUSH-OVER N.ro	16 -	DISTRIB. FORZE PROPORZIONALE ALLE MASSE -Ecc5%	
Angolo Ingr. Sisma (Grd)	270	Numero collassi totali	1
Numero passo Resist.Max.	114	Numero passi significativi	114
Massa SDOF (t)	1336.42	Taglio alla base max. (t)	265.72
Coeff. Partecipazione	1.00	Resistenza SDOF (t)	258.83
Rigidezza SDOF (t/m)	15084.60	Spostam. Snervam. SDOF mm	17
Periodo SDOF (sec)	0.60	Rapporto di incrudimento	0.000
Rapporto Alfau/alfa1	20342.904	Fattore struttura	1.658
Coeff Smorzam.Equival.	17.000	Duttilita	1.658
STATO LIMITE DI DANNO			
DOMANDA		CAPACITA'	
Spostamento mm S.L. Danno	12.430 VERIFICATO	Spostamento mm Numero passo precedente	24.124 107
PgaLD/g	0.124	PgaLD/Pga 63% PgaLD/Pga 63% > 0.60 (60%)	1.769 VERIFICA
Rapporto $q^*=F_e/F_y$ Vita Residua (anni) -----	0.72 186.000	Asta3D Nro TrCLD (TrCLD/TDLD)^a	187.000 1.721
STATO LIMITE DI SALVAGUARDIA DELLA VITA			
DOMANDA		CAPACITA'	
Spostamento mm S.L. Salvaguardia Vita	35.662 NON VERIFICA	Spostamento mm Numero passo precedente	28.455 114
PgaLV/g	0.143	PgaLV/Pga 10% PgaLV/Pga 10% > 0.60 (60%)	0.815 VERIFICA
Rapporto $q^*=F_e/F_y$ Vita Residua (anni) -----	2.08 29.000	Asta3D Nro TrCLV (TrCLV/TDLV)^a	274.000 0.797